

การศึกษาพุตติกรรมที่ขึ้นกับเวลาและอุดมภูมิของแオスฟัลติกอนกรีต

AC40/50 AC60/70 และ AC80/100

นาย วีรยุทธ โภมลวิลาศ

ศูนย์วิทยทรัพยากร จุฬาลงกรณ์มหาวิทยาลัย

วิทยานิพนธ์นี้เป็นส่วนหนึ่งของการศึกษาตามหลักสูตรปริญญาวิศวกรรมศาสตรมหาบัณฑิต

สาขาวิชาชีวกรรมโยธา ภาควิชาชีวกรรมโยธา

คณะวิศวกรรมศาสตร์ จุฬาลงกรณ์มหาวิทยาลัย

ปีการศึกษา 2553

ลิขสิทธิ์ของจุฬาลงกรณ์มหาวิทยาลัย



A STUDY OF TIME-TEMPERATURE DEPENDENT BEHAVIORS OF ASPHALTIC
CONCRETE AC40/50 AC60/70 AND AC80/100

Mr. Veerayut Komolvilas

ศูนย์วิทยบรังษยการ

A Thesis Submitted in Partial Fulfillment of the Requirements
for the Degree of Master of Engineering Program in Civil Engineering

Department of Civil Engineering

Faculty of Engineering

Chulalongkorn University

Academic Year 2010

Copyright of Chulalongkorn University

หัวข้อวิทยานิพนธ์ การศึกษาพฤติกรรมที่เข้มกับเวลาและอุณหภูมิของแอกส์เพลติก
โดย นาย วีรยุทธ โภมลวิตาศ
สาขาวิชา วิศวกรรมโยธา
อาจารย์ที่ปรึกษาวิทยานิพนธ์หลัก รองศาสตราจารย์ ดร. สุเชษฐ์ ลิขิตເລຂສරາງ

คณะกรรมการศาสตร์ จุฬาลงกรณ์มหาวิทยาลัย อนุมัติให้นับวิทยานิพนธ์ฉบับนี้เป็น^๑
ผลงานของศึกษาตามหลักสูตรปริญญามหาบัณฑิต

..... คณบดีคณะวิศวกรรมศาสตร์
(รองศาสตราจารย์ ดร. บุญสม เลิศหริรัญวงศ์)

คณะกรรมการสอบวิทยานิพนธ์

..... ประธานกรรมการ
(รองศาสตราจารย์ ดร. ชีรวัตร บุญญาศรี)

..... อ.ที่ปรึกษาวิทยานิพนธ์หลัก
(รองศาสตราจารย์ ดร. สุเชษฐ์ ลิขิตເລຂສරາງ)

..... กรรมการ
(อาจารย์ ดร. บุญชัย แสงเพชรบาง)

..... กรรมการภายนอกมหาวิทยาลัย
(ผู้ช่วยศาสตราจารย์ ดร. กันวีร์ ภนิชสูรพงศ์)

วิจัย โภมลวิตาศ : การศึกษาพฤติกรรมที่ขึ้นกับเวลาและอุณหภูมิของแอสฟัลติกคอนกรีต AC40/50 AC60/70 และ AC80/100 (A STUDY OF TIME-TEMPERATURE DEPENDENT BEHAVIORS OF ASPHALTIC CONCRETE AC40/50, AC60/70 AND AC80/100) อ.ที่ปรึกษาวิทยานิพนธ์ลักษณ์ : รศ.ดร. สุเชษฐ์ ลิขิตเลอสรวง, 212 หน้า

งานวิจัยนี้ศึกษาพฤติกรรมที่ขึ้นกับเวลาและอุณหภูมิของแอสฟัลติกคอนกรีต AC40/50 AC60/70 และ AC80/100 ตัวอย่างแอสฟัลติกคอนกรีตผสมร้อนประเททแน่นถูกเตรียมด้วยวิธีมาร์แซล เลือกใช้นิ่นปุนขนาดเรียกใช้ 12.5 มิลลิเมตรเป็นวัสดุมาตรฐานและแอสฟัลต์ซีเมนต์เกรดการเจาะลึกชนิด AC40/50 AC60/70 และ AC80/100 เป็นวัสดุเชื่อมประสาน จากนั้นนำมาระดัดเพื่อขึ้นรูปตัวอย่างด้วยเครื่องบดอัดใจ Ratho รุ่น Zupperfep ดำเนินการทดสอบแรงดึงทางอ้อมและแรงอัดแกนเดียวทั้งแบบสติกและพลวัต โดยระหว่างการทดสอบมีการควบคุมอุณหภูมิที่ 10°C 25°C 40°C และ 55°C ตามลำดับ รวมถึงมีการควบคุมอัตราความเครียดที่ระดับ 5 15 50 และ 150 มิลลิเมตรต่อนาทีตามลำดับ เมื่อทดสอบแบบสติก ผลการทดสอบนำไปสร้างกราฟความสัมพันธ์ระหว่างความเด่นกับความเครียด กราฟความสัมพันธ์ระหว่างโมดูลัสยึดหยุ่นกับความเครียด กราฟความสัมพันธ์ระหว่างการยุบตัวแบบถาวรกับจำนวนรอบการให้แรงกระทำสามารถคำนวณหาค่าโมดูลัสคืนตัวของแอสฟัลติกคอนกรีต และยังสามารถนำไปสร้างความสัมพันธ์เชิงประสบการณ์สำหรับประมาณค่าการยุบตัวแบบถาวรของแอสฟัลติกคอนกรีตโดยนำไปประยุกต์ใช้ในการออกแบบผิวทางแบบยึดหยุ่นได้

ศูนย์วิทยทรัพยากร จุฬาลงกรณ์มหาวิทยาลัย

ภาควิชา.....วิศวกรรมโยธา.....
สาขาวิชา.....วิศวกรรมโยธา.....
ปีการศึกษา.....2553.....

ลายมือชื่อนิสิต.....ลร.สุรุษ... โภมลวิตาศ.....
ลายมือชื่อ อ.ที่ปรึกษาวิทยานิพนธ์ลักษณ์ สุเชษฐ์ ลิขิตเลอสรวง.....

5270636221: MAJOR CIVIL ENGINEERING

KEYWORDS: DENSE GRADE HOT MIXED ASPHALT / TEMPERATURE / STRAIN RATE / PENETRATION GRADE / INDIRECT TENSILE TEST / UNIAXIAL COMPRESSION TEST

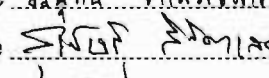
VEERAYUT KOMOLVILAS : A STUDY OF TIME-TEMPERATURE DEPENDENT BEHAVIORS OF ASPHALTIC CONCRETE AC40/50, AC60/70 AND AC80/100
ADVISOR : ASSOC.PROF. SUCHED LIKITLURSUANG, Ph.D., 212 pp.

This paper presents a study of time-temperature dependent behaviors of asphaltic concrete AC40/50, AC60/70 and AC80/100. The samples of dense grade hot-mixed asphalt were mixed according Marshall Method. Limestone with the nominal size of 12.5 mm and asphalt cement penetration grade of AC40/50, AC60/70 and AC80/100 were employed in this study for aggregate and asphalt binder respectively. All specimens were prepared using the Superpave gyratory compactor and tested according to the static indirect tensile test, the dynamic indirect tensile test, the static uniaxial compression test and the dynamic uniaxial compression test known as the Dynamic Creep test. During test, the temperatures were controlled at 10°C, 25°C, 40°C and 55°C respectively and the strain rates were controlled at 5, 15, 50 and 150 mm/minute respectively for static modes. The results can be used to construct the relationships between stress and strain, elastic modulus and strain and permanent deformation and numbers of cycles. Moreover, the results can be used to find resilient modulus and simplified as the empirical equations for approximated permanent deformation of asphaltic concrete. These could be employed in the flexible pavement design.

Department : Civil Engineering

Student's Signature 

Field of Study : Civil Engineering

Advisor's Signature 

Academic Year : 2010

กิตติกรรมประกาศ

ผู้เขียนขอกราบขอบพระคุณ รองศาสตราจารย์ ดร.สุเชษฐ์ ลิขิตเลอสรวง อ้าวารย์ที่ปรึกษาวิทยานิพนธ์ ผู้ซึ่งได้เสียเวลาอันมีค่าในการเสนอแนะแนวทางในการทำวิจัยในครั้งนี้ รวมทั้งช่วยตรวจสอบและแก้ไขข้อบกพร่องต่างๆ ที่เกิดขึ้นตลอดระยะเวลาในการทำวิจัย ขอกราบขอบพระคุณผู้ช่วยศาสตราจารย์ ดร.ธีรวัตร บุญญาภูริ อ้าวารย์ ดร.บุญชัย แสงเพชร งาม และผู้ช่วยศาสตราจารย์ ดร.กัณวีร์ กนิษฐ์พงศ์ คณบดีคณะกวารมการตรวจสอบวิทยานิพนธ์ที่ช่วยแนะนำ ตรวจสอบแก้ไขจนทำให้วิทยานิพนธ์ฉบับนี้มีความสมบูรณ์ยิ่งขึ้น

ผู้เขียนขอขอบคุณอย่างสุดซึ้งต่อ รุ่นพี่ เพื่อน และรุ่นน้องที่เคยให้ความช่วยเหลือในการทำงานวิจัยและเป็นกำลังใจที่ดีเสมอมา

ท้ายที่สุด ผู้เขียนขอกราบขอบพระคุณบิดา มารดาที่เคยให้กำลังใจและสนับสนุนการทำงานเป็นอย่างดี ตลอดจนอาจารย์ทุกๆท่านที่เคยส่งสอน อบรม และให้ความรู้ในสาขาวิชาต่างๆ พระคุณของท่านเหล่านี้ ผู้เขียนจะขอระลึกถึงจนกว่าชีวิตจะหายไป

ศูนย์วิทยทรัพยากร
จุฬาลงกรณ์มหาวิทยาลัย

สารบัญ

	หน้า
บทคัดย่อภาษาไทย.....	๑
บทคัดย่อภาษาอังกฤษ.....	๒
กิตติกรรมประกาศ.....	๓
สารบัญ.....	๔
สารบัญตราสาร.....	๘
สารบัญรูป.....	๙
 บทที่	
1. บทนำ.....	1
1.1 ความเป็นมาและความสำคัญของปัญหา.....	1
1.2 วัตถุประสงค์ของการวิจัย.....	2
1.3 ขอบเขตของการวิจัย.....	2
1.4 วิธีดำเนินงานวิจัย.....	4
1.5 แผนการดำเนินงานวิจัย.....	5
1.6 ปัญหาและอุปสรรค.....	6
1.7 ประโยชน์ที่ได้รับ.....	6
2. เอกสารและงานวิจัยที่เกี่ยวข้อง.....	7
2.1 ผิวทางแบบบีดหยุ่น.....	7
2.2 ความเสียหายของผิวทางแบบบีดหยุ่น.....	8
2.3 ความเด่นและความเครียดวิกฤตของผิวทางแบบบีดหยุ่น.....	12
2.4 ลักษณะเฉพาะของแผลพื้นติดค้อนกรีต.....	15
2.5 แผลพื้นตีซีเมนต์.....	18
2.6 คุณสมบัติของแผลพื้นตีซีเมนต์.....	19
2.7 ข้อกำหนดสำหรับแผลพื้นตีซีเมนต์.....	21
2.8 การทดสอบคุณสมบัติของแผลพื้นตีซีเมนต์.....	22
2.9 แผลพื้นตีซีเมนต์ประเมินประสานเกรดสมรรถนะ.....	28
2.10 การทดสอบแผลพื้นตีซีเมนต์ประเมินประสานเกรดสมรรถนะ.....	29
2.11 การเปรียบเทียบความสอดคล้องของข้อกำหนดแผลพื้นตีซีเมนต์เกรดต่างๆ.....	30

บทที่	หน้า
2.12 มวลรวม.....	31
2.13 แอกซ์เพลต์ผสมร้อน.....	35
2.14 การออกแบบแอกซ์เพลต์ผสมร้อนด้วยวิธีมาร์เชล.....	39
2.15 การออกแบบแอกซ์เพลต์ผสมร้อนด้วยวิธีชูเปอร์เพฟ.....	41
2.16 การทดสอบสมรรถนะของแอกซ์เพลต์ผสมร้อน.....	43
2.17 งานวิจัยที่เกี่ยวข้อง.....	48
3. วิธีดำเนินการวิจัย.....	73
3.1 ขั้นตอนการทดสอบวัสดุพื้นฐาน.....	73
3.2 ขั้นตอนการเตรียมตัวอย่าง.....	77
3.3 การทดสอบเชิงกลของแอกซ์เพลต์ผสมร้อน.....	79
3.4 ผลของอัตราการให้แรงและอุณหภูมิ.....	88
3.5 เครื่องมือทดสอบและความละเอียดในการวัด.....	89
3.6 จำนวนตัวอย่างและเวลาในการทดสอบ.....	92
4. ผลการวิจัย.....	93
4.1 ผลการทดสอบแรงดึงทางอ้อมแบบสติต.....	93
4.2 ผลการทดสอบแรงดึงทางอ้อมแบบพลวัต.....	104
4.3 ผลการทดสอบแรงอัดแบบปราศจากแรงดันด้านข้างแบบสติต.....	104
4.4 ผลการทดสอบแรงอัดแบบปราศจากแรงดันด้านข้างแบบพลวัต.....	114
5. สรุป ยกไปรายผลและข้อเสนอแนะ.....	119
5.1 สรุปผลการทดลอง.....	119
5.2 ยกไปรายผลการทดลอง.....	146
5.3 ข้อเสนอแนะ.....	151
รายการอ้างอิง.....	153
ภาคผนวก.....	155
ประวัติผู้เขียนวิทยานิพนธ์.....	212

สารบัญตาราง

	หน้า
ตารางที่ 1.1 อัตราความเครียดและอุณหภูมิที่ใช้ในการทดสอบแรงดึงทางข้อม.....	3
ตารางที่ 1.2 อัตราความเครียดและอุณหภูมิที่ใช้ในการทดสอบแรงอัดแบบปราศจาก แรงดันด้านข้าง.....	4
ตารางที่ 2.1 ข้อกำหนดการทดสอบแอสฟัลต์ซีเมนต์.....	23
ตารางที่ 2.2 ค่าการเจาะลึกของแอสฟัลต์ซีเมนต์เต่าละข้อกำหนด.....	30
ตารางที่ 2.3 เกณฑ์การออกแบบด้วยวิธีมาร์แซล (อ้างอิงจาก Asphalt Institute, 2007)....	40
ตารางที่ 2.4 เกณฑ์การออกแบบด้วยวิธีมาร์แซล (อ้างอิงจาก Asphalt Institute, 1979)....	40
ตารางที่ 2.5 ค่าโมดูลัสคืนตัวภายในตัวการเปลี่ยนแปลงอุณหภูมิ.....	56
ตารางที่ 2.6 ผลการทดสอบคุณสมบัติและสมรรถนะของวัสดุแอสฟัลติกคอนกรีต.....	72
ตารางที่ 3.1 การทดสอบสมบัติเบื้องต้นของหิน.....	73
ตารางที่ 3.2 การทดสอบสมบัติเบื้องต้นของแอสฟัลต์ซีเมนต์.....	74
ตารางที่ 3.3 คุณสมบัติทางวิศวกรรมของแอสฟัลต์ซีเมนต์.....	75
ตารางที่ 3.4 คุณสมบัติทางวิศวกรรมของมวลรวม.....	75
ตารางที่ 3.5 ส่วนผสมที่ใช้ในการเตรียมตัวอย่างด้วยวิธีมาร์แซล.....	78
ตารางที่ 3.6 โปรแกรมการทดสอบแรงดึงทางข้อม.....	84
ตารางที่ 3.7 โปรแกรมการทดสอบแรงอัดแบบปราศจากแรงดันด้านข้าง.....	87
ตารางที่ 3.8 จำนวนตัวอย่างและเวลาที่ใช้ในการทดสอบ.....	81
ตารางที่ 4.1 สรุปค่ากำลังรับแรงดึงทางข้อมของแอสฟัลติกคอนกรีต AC40/50.....	94
ตารางที่ 4.2 สรุปค่ากำลังรับแรงดึงทางข้อมของแอสฟัลติกคอนกรีต AC60/70.....	95
ตารางที่ 4.3 สรุปค่ากำลังรับแรงดึงทางข้อมของแอสฟัลติกคอนกรีต AC80/100.....	96
ตารางที่ 4.4 ผลการทดสอบแรงดึงทางข้อมแบบพลวัต.....	104
ตารางที่ 4.5 ผลการทดสอบแรงอัดแบบปราศจากแรงดันด้านข้างแบบสถิตของวัสดุแอส ฟัลติกคอนกรีต AC40/50.....	105
ตารางที่ 4.6 ผลการทดสอบแรงอัดแบบปราศจากแรงดันด้านข้างแบบสถิตของวัสดุแอส ฟัลติกคอนกรีต AC60/70.....	106
ตารางที่ 4.7 ผลการทดสอบแรงอัดแบบปราศจากแรงดันด้านข้างแบบสถิตของวัสดุแอส ฟัลติกคอนกรีต AC80/100.....	107

หน้า

ตารางที่ 4.8	สมการความสัมพันธ์ระหว่างความเครียดถาวรกับจำนวนรอบของแรงกระทำ.....	118
ตารางที่ 5.1	เปรียบเทียบผลการทดสอบหาค่าไมดูลัสศีนตัว.....	131
ตารางที่ 5.2	ค่าพารามิเตอร์ในสมการทำนายการยุบตัวแบบถาวรกับอุณหภูมิ.....	146
ตารางที่ 5.3	ผลการทดสอบการให้แรงแบบสถิตที่อัตราความเครียด 50 มิลลิเมตรต่อนาที..	150
ตารางที่ 5.4	ผลการทดสอบแบบพลวัต.....	151



ศูนย์วิทยทรัพยากร จุฬาลงกรณ์มหาวิทยาลัย

สารบัญรูป

	หน้า
รูปที่ 2.1 ภาพตัดขวางผิวทางแบบยึดหยุ่น.....	7
รูปที่ 2.2 รูปแบบความเสียหายและความเครียดวิกฤตในผิวทางแบบยึดหยุ่น (เอกสารประกอบรายวิชา Pavement design).....	9
รูปที่ 2.3 รอยแตกร้าวนំءองจากความถ้า (เอกสารประกอบรายวิชา Pavement design).....	10
รูปที่ 2.4 รอยแตกร้าวตามแนวยาว (เอกสารประกอบรายวิชา Pavement design).....	10
รูปที่ 2.5 รอยแตกร้าวนំءองจากอุณหภูมิ (เอกสารประกอบรายวิชา Pavement design).....	11
รูปที่ 2.6 รอยร่องล้อเนื่องจากส่วนผสม (เอกสารประกอบรายวิชา Pavement design).....	12
รูปที่ 2.7 รอยร่องล้อเนื่องจากชั้นดินเดิม (เอกสารประกอบรายวิชา Pavement design).....	12
รูปที่ 2.8 ความเค้นและความเครียดวิกฤตของผิวทางแบบยึดหยุ่น (เอกสารประกอบรายวิชา Pavement design).....	14
รูปที่ 2.9 นิยามของโมดูลัสการคืนตัว.....	15
รูปที่ 2.10 ผลการทดสอบค่าเฉลี่ยโมดูลัสคืนตัวจากภาคต่างๆของประเทศไทย (Phromsorn <i>et al.</i> , 2003).....	17
รูปที่ 2.11 (a) ความสัมพันธ์ระหว่างความเครียดถาวรสະสมกับจำนวนรอบของแรงกระทำ (b) ค่าคงที่การเสื่อมถอย a และ b (Regression constants a and b).....	18
รูปที่ 2.12 เอกซ์เพลตซีเมนต์ (http://cm.intelsteps.com).....	19
รูปที่ 2.13 เครื่องมือการทดสอบความหนืด (a)แบบสถาบันเอกซ์เพลต (b)แบบแคนนอนแม่นนิง (http://www.humboldtmfg.com).....	24
รูปที่ 2.14 เครื่องมือการทดสอบความหนืดแบบไฮท์ฟลู๊คส์ เอ็นไชร์ (http://www.humboldtmfg.com)	25

รูปที่ 2.15	ความสัมพันธ์ระหว่างความหนืดไคเนมาติกกับอุณหภูมิ (http://www.wearcheck.com).....	26
รูปที่ 2.16	เครื่องมือการทดสอบค่าการเจาะลึก (http://www.jazzar.com).....	27
รูปที่ 2.17	ไฮเทชันนอลวิสคอมิเตอร์.....	29
รูปที่ 2.18	ไดนามิกเชียร์รีโอมิเตอร์ (http://www.asphaltinstitute.org).....	30
รูปที่ 2.19	มวลรวม (http://www.anchsand.com).....	31
รูปที่ 2.20	แอสฟัลต์ผสมร้อนประเภทแน่น (http://www.asphaltwa.com).....	35
รูปที่ 2.21	เครื่องบดอัดใจราทอเรียแบบซูปเปอร์เพฟ.....	42
รูปที่ 2.22	ลักษณะการบดอัดตัวอย่างแอสฟัลต์ผสมร้อนด้วยเครื่องบดอัดใจราทอเรียแบบ ซูปเปอร์เพฟ (วาดใหม่ Asphalt Institute, 1996).....	43
รูปที่ 2.23	ลักษณะการพังทลายของตัวอย่าง (SP Technical Research Institute of Sweden, www.sp.se).....	45
รูปที่ 2.24	พฤติกรรมความเค้นและความเครียดภายใต้การเปลี่ยนแปลงอุณหภูมิและ อัตราความเครียด (a) 10°C (b) 25°C (c) 40°C (d) 55°C.....	53
รูปที่ 2.25	ความสัมพันธ์ระหว่าง E_{sec} และอุณหภูมิ.....	54
รูปที่ 2.26	ความสัมพันธ์ระหว่าง σ_{max} และอุณหภูมิ.....	54
รูปที่ 2.27	ความสัมพันธ์ระหว่างโมดูลัสคืนตัวและอุณหภูมิ.....	56
รูปที่ 2.28	ความสัมพันธ์ของความเค้นและความเครียดของการทดสอบแรงดึงทางอ้อม สำหรับโมดูลัสคืนตัว (รอบสุดท้าย).....	57
รูปที่ 2.29	พฤติกรรมความเค้นและความเครียดภายใต้การเปลี่ยนแปลงอุณหภูมิและ อัตราความเครียด (a) 10°C (b) 25°C (c) 40°C (d) 55°C.....	60
รูปที่ 2.30	ความสัมพันธ์ระหว่าง σ_{max} และอุณหภูมิ.....	61
รูปที่ 2.31	ความสัมพันธ์ระหว่าง E^{50} และอุณหภูมิ.....	61
รูปที่ 2.32	ความสัมพันธ์ระหว่าง ϵ_{peak} และอุณหภูมิ.....	62
รูปที่ 2.33	ความสัมพันธ์ระหว่างความเค้นและเวลาที่ลดลง.....	62
รูปที่ 2.34	ความสัมพันธ์ระหว่างฟังก์ชันอุณหภูมิเคลื่อนและอุณหภูมิ.....	63
รูปที่ 2.35	ผลการทดสอบการยุบตัวทารที่เกิดขึ้นกับตัวอย่างแอสฟัลติกคอนกรีต ณ อุณหภูมิ 25°C.....	66

	หน้า
รูปที่ 2.36 ผลการทดสอบการยุบตัวถาวรที่เกิดขึ้นกับตัวอย่างแอสฟัลติกคอนกรีต ณ อุณหภูมิ 40°C	67
รูปที่ 2.37 ผลการทดสอบการยุบตัวถาวรที่เกิดขึ้นกับตัวอย่างแอสฟัลติกคอนกรีต ณ อุณหภูมิ 55°C	68
รูปที่ 2.38 ความสัมพันธ์ลักษณะระหว่างความเครียดกับจำนวนครั้งของการให้แรงเพื่อสร้างสมการการยุบตัวถาวรอย่างง่าย.....	69
รูปที่ 2.39 ความสัมพันธ์ระหว่างค่าคงที่ a และอุณหภูมิ.....	70
รูปที่ 2.40 ความสัมพันธ์ระหว่างค่าคงที่ b และอุณหภูมิ.....	70
รูปที่ 3.1 ค่าความหนืดของแอสฟัลต์ซีเมนต์แต่ละประเภท.....	76
รูปที่ 3.2 ขนาดคละของมวลรวม.....	77
รูปที่ 3.3 เครื่องมือทดสอบ Universal Testing Machine (Instron UTM-1.2MN).....	81
รูปแบบการทดสอบแรงดึงทางอ้อมและการติดตั้งเกจวัดความเครียด.....	81
รูปที่ 3.5 เครื่องมือทดสอบ Universal Testing Machine (Controls UTM-14 kN).....	83
รูปแบบการติดตั้งตัวอย่างสำหรับทดสอบโมดูลัสคืนตัว.....	83
รูปที่ 3.7 รูปร่างและเงื่อนไขของแรงกระทำ.....	84
รูปแบบการติดตั้งอุปกรณ์การทดสอบ แรงอัดแบบปราศจากแรงดันด้านข้างแบบสติ๊ต.....	86
รูปที่ 3.9 รูปแบบการติดตั้งอุปกรณ์การทดสอบ แรงอัดแบบปราศจากแรงดันด้านข้างแบบพลวัต.....	87
รูปที่ 3.10 Instron UTM-1.2MN.....	90
รูปที่ 3.11 เกจวัดความเครียด (Strain gage).....	91
รูปที่ 4.1 ความสัมพันธ์ระหว่างความเค้นกับความเครียดของวัสดุแอสฟัลติกคอนกรีต AC40/50 จากการทดสอบแรงดึงทางอ้อมแบบสติ๊ต ณ อุณหภูมิต่างๆ (a) 10°C (b) 25°C (c) 40°C (d) 55°C.....	98
รูปที่ 4.2 ความสัมพันธ์ระหว่างความเค้นกับความเครียดของวัสดุแอสฟัลติกคอนกรีต AC60/70 จากการทดสอบแรงดึงทางอ้อมแบบสติ๊ต ณ อุณหภูมิต่างๆ (a) 10°C (b) 25°C (c) 40°C (d) 55°C.....	100

หน้า

รูปที่ 4.3	ความสัมพันธ์ระหว่างความเค็นกับความเครียดของวัสดุแอลฟ์ลิติกค่อนกรีต AC80/100 จากการทดสอบแรงดึงทางข้อมแบบสติ๊ต ณ อุณหภูมิต่างๆ (a) 10°C (b) 25°C (c) 40°C (d) 55°C.....	102
รูปที่ 4.4	ความสัมพันธ์ระหว่างความเค็นกับความเครียดของวัสดุแอลฟ์ลิติกค่อนกรีต AC40/50 จากการทดสอบแรงดึงแบบปราศจากแรงดันด้านข้างแบบสติ๊ต ณ อุณหภูมิต่างๆ กัน 4 ค่า (a) 10°C (b) 25°C (c) 40°C (d) 55°C.....	109
รูปที่ 4.5	ความสัมพันธ์ระหว่างความเค็นกับความเครียดของวัสดุแอลฟ์ลิติกค่อนกรีต AC60/70 จากการทดสอบแรงดึงแบบปราศจากแรงดันด้านข้างแบบสติ๊ต ณ อุณหภูมิต่างๆ กัน 4 ค่า (a) 10°C (b) 25°C (c) 40°C (d) 55°C.....	111
รูปที่ 4.6	ความสัมพันธ์ระหว่างความเค็นกับความเครียดของวัสดุแอลฟ์ลิติกค่อนกรีต AC80/100 จากการทดสอบแรงดึงแบบปราศจากแรงดันด้านข้างแบบสติ๊ต ณ อุณหภูมิต่างๆ กัน 4 ค่า (a) 10°C (b) 25°C (c) 40°C (d) 55°C.....	113
รูปที่ 4.7	ความสัมพันธ์ระหว่างความเครียดถาวรกับจำนวนรอบของแรงกระทำที่อุณหภูมิ ต่างๆ (a) 10°C (b) 25°C (c) 40°C (d) 55°C.....	116
รูปที่ 4.8	ตัวอย่างความสัมพันธ์ลือกระหว่างความเครียดถาวรกับจำนวนรอบของแรง กระทำของตัวอย่าง AC80/100 ที่อุณหภูมิการทดสอบ 40°C และ 55°C ตาม ลำดับ.....	117
รูปที่ 5.1	ความสัมพันธ์ระหว่างความเค็นสูงสุดกับอุณหภูมิของวัสดุแอลฟ์ลิติก ค่อนกรีต จากการทดสอบแรงดึงทางข้อมแบบสติ๊ตที่อัตราความเครียดต่างๆ (a) AC40/50 (b) AC60/70 (c) AC80/100.....	121
รูปที่ 5.2	ความสัมพันธ์ระหว่างค่าโมดูลัสของยังที่ 50% ของค่าความเค็นสูงสุดกับ อุณหภูมิของวัสดุแอลฟ์ลิติกค่อนกรีตจากการทดสอบแรงดึงทางข้อมแบบสติ๊ต ที่อัตราความเครียดต่างๆ (a) AC40/50 (b) AC60/70 (c) AC80/100.....	123
รูปที่ 5.3	ความสัมพันธ์ระหว่างความเค็นสูงสุดกับอุณหภูมิของวัสดุแอลฟ์ลิติก ค่อนกรีต จากการทดสอบแรงดึงทางข้อมแบบสติ๊ต ณ อัตราความเครียดต่างๆ (a) 0.0008 ต่อวินาที (b) 0.0025 ต่อวินาที (c) 0.0083 ต่อวินาที (d) 0.0250 ต่อ วินาที.....	125

หน้า

รูปที่ 5.4	ความสัมพันธ์ระหว่างค่าโมดูลัสของยังที่ 50% ของค่าความเค้นสูงสุดกับอุณหภูมิของวัสดุและฟลัติกคอนกรีตจากการทดสอบแรงดึงทางข้อมแบบสติติณ อัตราความเครียดต่างๆ (a) 0.0008 ต่อวินาที (b) 0.0025 ต่อวินาที (c) 0.0083 ต่อวินาที (d) 0.0250 ต่อวินาที.....	127
รูปที่ 5.5	ความสัมพันธ์ระหว่างค่าความเครียด ณ ความเค้นสูงสุดกับอุณหภูมิของวัสดุและฟลัติกคอนกรีตจากการทดสอบแรงดึงทางข้อมแบบสติติณ อัตราความเครียดต่างๆ (a) AC40/50 (b) AC60/70 (c) AC80/100.....	129
รูปที่ 5.6	ความสัมพันธ์ระหว่างค่าโมดูลัสคืนตัวกับอุณหภูมิ.....	131
รูปที่ 5.7	ตัวอย่างความสัมพันธ์ของความเค้นและความเครียดของการทดสอบหากค่าโมดูลัสคืนตัว.....	133
รูปที่ 5.8	ความสัมพันธ์ระหว่างความเค้นสูงสุดกับอุณหภูมิของวัสดุและฟลัติก คอนกรีตจากการทดสอบแรงดึงแบบปรานชาการแรงดันด้านข้างแบบสติติณ อัตราความเครียดต่างๆ (a) AC40/50 (b) AC60/70 (c) AC80/100.....	135
รูปที่ 5.9	ความสัมพันธ์ระหว่างค่าโมดูลัสของยังที่ 50% ของค่าความเค้นสูงสุดกับอุณหภูมิของวัสดุและฟลัติกคอนกรีตจากการทดสอบแรงดึงแบบปรานชาการแรงดันด้านข้างแบบสติติณ อัตราความเครียดต่างๆ (a) AC40/50 (b) AC60/70 (c) AC80/100.....	137
รูปที่ 5.10	ความสัมพันธ์ระหว่างความเค้นสูงสุดกับอุณหภูมิของวัสดุและฟลัติก คอนกรีตจากการทดสอบแรงดึงแบบปรานชาการแรงดันด้านข้างแบบสติติณ อัตราความเครียดต่างๆ (a) 0.0006/s (b) 0.0017/s (c) 0.0056/s (d) 0.0167/s.....	139
รูปที่ 5.11	ความสัมพันธ์ระหว่างค่าโมดูลัสของยังที่ 50% ของค่าความเค้นสูงสุดกับอุณหภูมิของวัสดุและฟลัติกคอนกรีตจากการทดสอบแรงดึงแบบปรานชาการแรงดันด้านข้างแบบสติติณ อัตราความเครียดต่างๆ (a) 0.0006/s (b) 0.0017/s (c) 0.0056/s (d) 0.0167/s.....	141
รูปที่ 5.12	ความสัมพันธ์ระหว่างค่าความเครียด ณ ความเค้นสูงสุดกับอุณหภูมิของวัสดุและฟลัติกคอนกรีตจากการทดสอบแรงดึงแบบปรานชาการแรงดันด้านข้างแบบสติติณ อัตราความเครียดต่างๆ (a) AC40/50 (b) AC60/70 (c) AC80/100.....	143

	หน้า
รูปที่ 5.13 ความสัมพันธ์ระหว่างความเครียดถาวรกับจำนวนรอบของแรงกระทำ.....	145
รูปที่ 5.14 ความสัมพันธ์ระหว่างค่าคงที่ b กับ อุณหภูมิ.....	145
รูปที่ 5.15 Digital Thermometer.....	152



บทที่ 1

บทนำ

1.1 ความเป็นมาและความสำคัญของปูนหิน

ผิวทางในประเทศไทยแบ่งออกเป็น ผิวทางแบบแข็งเกร็ง (Rigid pavement) และผิวทางแบบยืดหยุ่น (Flexible pavement) โดยส่วนใหญ่ของประเทศเป็นผิวทางแบบยืดหยุ่น วัสดุที่ใช้ในการก่อสร้างผิวทางแบบยืดหยุ่นจะใช้วัสดุแอลฟ์ติกคอนกรีตที่ผลิตจากมวลรวมในประเทศ และแอลฟ์ติกซีเมนต์ประเภทเกรดการเจาะลึก ในอดีตผิวทางแบบยืดหยุ่นใช้ AC80/100 เป็นตัวเรื่องมีประสาณในการผลิต ต่อมากพบว่าผิวทางแบบยืดหยุ่นเกิดความเสียหายในรูปแบบต่างๆมากขึ้น เช่น การแตกร้าว การเสียดูปอย่างถาวร เป็นต้น จึงมีการศึกษาปัจจัยที่เกี่ยวข้องที่ทำให้เกิดความเสียหาย ปัจจัยที่หลักที่พบ คือ กำลังของผิวทางมีค่าเสียรากค่อนข้างต่ำไม่สามารถรองรับอุณหภูมิผิวทาง ปริมาณการจราจร และน้ำหนักของยานพาหนะที่เพิ่มสูงขึ้น เนื่องจาก AC80/100 ที่ใช้เป็นตัวเรื่องมีประสาณมีความแข็งน้อยเกินไป จึงมีการนำเสนอให้เปลี่ยนตัวเรื่องมีประสาณเป็น AC60/70 ที่ใช้อุปกรณ์ปัจจุบัน หลังจากมีการเปลี่ยนตัวเรื่องมีประสาณเป็น AC60/70 ปัจจุบันก็ยังพบว่าผิวนนมีความเสียหายในรูปแบบต่างๆเกิดขึ้นอย่างต่อเนื่อง รวมไปถึงผลกระทบจากการลอกร้อนที่มีความร้อนแรงขึ้นทุกวัน ดังนั้นจึงมีแนวคิดที่จะเปลี่ยนตัวเรื่องมีประสาณจาก AC60/70 มาเป็น AC40/50 ที่มีความแข็งมากกว่าสำหรับการก่อสร้างผิวทางในอนาคต แต่มีข้อสังเกตว่าประเทศเพื่อนบ้าน เช่น มาเลเซีย ที่มีภูมิประเทศอยู่บริเวณเส้นศูนย์สูตร ซึ่งมีอุณหภูมิสูงกว่าประเทศไทยและมีปริมาณการจราจรถูกจำกัดเดียวกับประเทศไทยนั้นยังใช้ตัวเรื่องมีประสาณ AC 80/100 ในการก่อสร้างผิวทางแบบยืดหยุ่น

ดังนั้นงานวิจัยนี้จึงทำการทดสอบเพื่อหาพฤติกรรมทางด้านกำลังของวัสดุแอลฟ์ติกคอนกรีต ที่ใช้ตัวเรื่องมีประสาณชนิด AC40/50 AC60/70 และ AC80/100 ในการผสม โดยทำการทดสอบ ณ อุณหภูมิต่างๆที่มักเกิดขึ้นบนผิวทางในประเทศไทย และทำการทดสอบที่อัตราความเครียดแตกต่างกัน รูปแบบการทดสอบจะใช้การทดสอบแรงดึงทางอ้อม (Indirect tensile test) แบบสถิต และพลวัต ร่วมกับการทดสอบแรงอัดแบบปราศจากแรงดันด้านข้าง (Unconfined compression test) แบบสถิตและพลวัต ซึ่งสามารถหาความเค้นและความเครียดที่เกิดขึ้นจากการทดสอบรูปแบบต่างๆได้ รวมไปถึงสามารถหาค่าโมดูลัสคืนตัว (Resilient modulus) และการรูบตัวแบบถาวร (Permanent deformation) ที่ใช้ในการออกแบบผิวทางแบบยืดหยุ่นในปัจจุบัน ได้

งานวิจัยนี้มีจุดมุ่งหมายเพื่อทำการศึกษาพฤติกรรมทางด้านกำลังของวัสดุแอสฟัลติก คอนกรีตที่เกิดจากผลกระทบของอุณหภูมิ อัตราความเครียดและประเภทของแอสฟัลต์ แล้วนำไป หาความสัมพันธ์กับรูปแบบความเสียที่พบบ่อยในประเทศไทย ได้แก่ การแตกร้าว (Cracking) และการเสียรูปอย่างถาวร (Permanent deformation) หรือการเสียหายแบบร่องล้อ (Rutting)

1.2 วัตถุประสงค์ของการวิจัย

งานวิจัยนี้ทำการศึกษาคุณสมบัติทางกลศาสตร์ (Mechanistic) ของส่วนผสมแอสฟัลต์ ผสมร้อนประเท่าน (Hot Mixed Asphalt, HMA) โดยใช้หินปูนเป็นวัสดุมวลรวมและใช้ แอสฟัลต์ซีเมนต์ประเทา AC40/50 AC60/70 AC80/100 เป็นตัวเชื่อมประสาน ในการทดสอบเพื่อ ศึกษาคุณสมบัติทางกลศาสตร์จะทำการทดสอบที่อุณหภูมิและอัตราความเครียดแตกต่างกัน สามารถแบ่งวัตถุประสงค์หลักที่ต้องการศึกษาได้ดังนี้

1. ทำการศึกษาพฤติกรรมทางด้านกำลังของวัสดุแอสฟัลติก คอนกรีต ด้วยการทดสอบแรง ดึงทางอ้อมแบบสติตและพลวัต (Static and Dynamic Indirect tensile test, S-IDT and D-IDT) และการทดสอบแรงอัดแบบปราศจากแรงดันด้านข้างแบบสติตและพลวัต (Static and Dynamic Unconfined compression test, S-UC and D-UC)
2. เปรียบเทียบพฤติกรรมทางด้านกำลังของวัสดุแอสฟัลติก คอนกรีตระหว่างตัวเชื่อม ประสาน AC40/50 AC60/70 AC80/100
3. วิเคราะห์หาค่าโมดูลัสคืนตัว (Resilient Modulus) ของวัสดุแอสฟัลติก คอนกรีต
4. วิเคราะห์หาค่าการยุบตัวแบบถาวร (Permanent Deformation) ของวัสดุแอสฟัลติก คอนกรีต

1.3 ขอบเขตของการวิจัย

1. ทดสอบคุณสมบัติทางวิศวกรรมเบื้องต้นของแอสฟัลต์ซีเมนต์ ด้วยการทดสอบค่าการ เจาะลึก และค่าความหนืดเพื่อใช้ในการตรวจสอบคุณภาพของแอสฟัลต์ซีเมนต์ รวมถึงค่าความ ถ่วงจำเพาะเพื่อใช้ในการออกแบบส่วนผสม

2. ทดสอบคุณสมบัติทางวิศวกรรมของสัดมูลรวมที่จำเป็นต่อการออกแบบส่วนผสม และเพื่อตรวจสอบคุณภาพของมวลรวม คือ ค่าความถ่วงจำเพาะรวมและการขัดสีแบบลอสแอนเจลีส

3. ออกแบบส่วนผสมแอสฟัลต์ผสมร้อนประเภทแน่นด้วยวิธีมาเรล (Marshall method)

4. เตรียมตัวอย่างโดยการบดอัดส่วนผสมด้วยเครื่องบดอัดไจราГОวีแบบซูเปอร์เพฟ (Superpave Gyratory Compactor, SGC)

5. ทดสอบคุณสมบัติเชิงกลศาสตร์ของ HMA ด้วยการทดสอบแรงดึงทางอ้อมแบบสติตและพลวัต (Static and Dynamic Indirect tensile test, S-IDT and D-IDT) ตามมาตรฐาน ASTM D 4867 และ ASTM D 4123 ตามลำดับ โดยการทดสอบจะทดสอบด้วยอัตราความเครียดและอุณหภูมิ ดังแสดงในตารางที่ 1.1

6. ทดสอบคุณสมบัติเชิงกลศาสตร์ของ HMA ด้วยการทดสอบแรงอัดแบบปราศจากแรงดันด้านข้างแบบสติตและพลวัต (Static and Dynamic Unconfined compression test, S-UC and D-UC) ซึ่ง D-UC จะทดสอบตามรายงานของ The National Cooperative Highway Research Program (NCHRP) ฉบับที่ 465 ส่วน S-UC จะทำการทดสอบโดยใช้รูปแบบเดียวกับ มาตรฐาน ASTM D 4867 และทั้งสองการทดสอบจะทดสอบด้วยอัตราความเครียดและอุณหภูมิ ดังแสดงในตารางที่ 1.2

ตารางที่ 1.1 อัตราความเครียดและอุณหภูมิที่ใช้ในการทดสอบแรงดึงทางอ้อม

อัตราความเครียด (Strain rate) (ต่อวินาที)	อุณหภูมิ (°C)			
	10	25	40	55
0.0250	×	×	×	×
0.0083	×	×	×	×
0.0025	×	×	×	×
0.0008	×	×	×	×
1 Hz Load frequencies and 1:9 Load duration	×	×	×	×

ตารางที่ 1.2 อัตราความเครียดและอุณหภูมิที่ใช้ในการทดสอบแบบอัดแบบปราศจากแรงดันด้านข้าง

อัตราความเครียด (Strain rate) (ต่อวินาที)	อุณหภูมิ (°C)			
	10	25	40	55
0.0006	×	×	×	×
0.0017	×	×	×	×
0.0056	×	×	×	×
0.0167	×	×	×	×
1 Hz Load frequencies and 1:9 Load duration	×	×	×	×

1.4 วิธีดำเนินการวิจัย

สำหรับงานวิจัยการศึกษาพฤติกรรมที่ขึ้นกับเวลาและอุณหภูมิของแอสฟัลติกคอนกรีต AC40/50 AC60/70 และ AC80/100 มีแนวทางในการศึกษาและดำเนินงานเป็นขั้นตอนต่างๆ ได้แก่

1 ค้นคว้า และทำการศึกษาเนื้อหาที่เกี่ยวข้องกับงานวิจัย เช่น ชนิดและลักษณะของผิวทาง การทดสอบคุณสมบัติเบื้องต้นของแอสฟัลต์ซีเมนต์ การออกแบบส่วนผสมด้วยวิธีมาร์แซล การทดสอบพฤติกรรมทางด้านกำลังของวัสดุผิวทางแบบยืดหยุ่น เป็นต้น

2 กำหนดโครงร่างของเนื้อหา (Framework) วัตถุประสงค์ ขอบเขตของการศึกษา และประโยชน์ที่คาดว่าจะได้รับจากการวิจัย เพื่อจัดทำเป็นข้อเสนอโครงการ (Project proposal)

3 ทำการออกแบบส่วนผสมด้วยวิธีมาร์แซลและเตรียมตัวอย่างด้วยเครื่องบดอัดใจราหอวี แบบซุปเปอร์เพฟ (Superpave Gyratory Compactor, SGC) จากนั้นทดสอบคุณสมบัติทางด้าน กำลังของวัสดุผิวทางแอสฟัลต์ผสมร้อนประเภทแน่น (HMA)

4 วิเคราะห์ และสรุปผลที่ได้จากการทดสอบ

1.5 แผนการดำเนินงานวิจัย

1.6 ปัญหาและอุปสรรค

1. เครื่องมือที่ใช้ในการทดสอบมีผู้ใช้เป็นจำนวนมากทำให้ต้องรอเวลาในการขอใช้เครื่องมือการทดสอบ ทำให้แผนการดำเนินงานที่วางไว้ต้องล่าช้าออกไป
2. เกิดความล่าช้าในการจัดซื้อและจัดส่งเกจวัดความเครียด ทำให้แผนการดำเนินงานที่วางไว้ต้องล่าช้าออกไป
3. เครื่องมือที่ใช้ในการทดสอบมักเกิดการชำรุดเสียหาย เนื่องจากเครื่องมือมีอายุการใช้งานมาเป็นเวลานาน ทำให้ต้องรอเวลาในการซ่อมแซมเครื่องมือเป็นเวลานาน

1.7 ประโยชน์ที่ได้รับ

จากขั้นตอนการดำเนินงานวิจัยต่างๆ เช่น การรวบรวมองค์ความรู้ การทดสอบวัสดุเบื้องต้น การออกแบบส่วนผสม การทดสอบพฤติกรรมทางด้านกำลัง และการวิเคราะห์เปรียบเทียบผลการทดสอบ ประโยชน์ที่ได้รับจากการดำเนินงานวิจัยสามารถสรุปได้ดังนี้

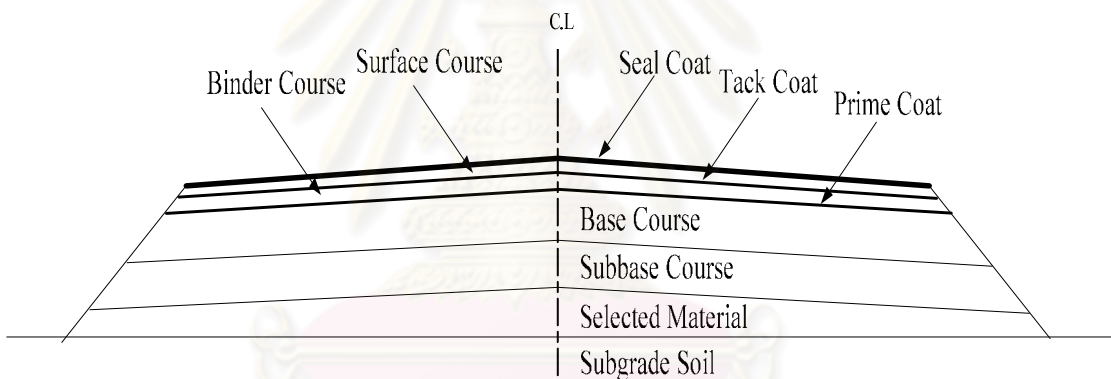
1. สามารถนำผลงานวิจัยนี้ไปใช้เป็นองค์ประกอบในการตัดสินใจเปลี่ยนชนิดของตัวเชือมประสาน ประเภท AC40/50 AC60/70 และ AC80/100 สำหรับการผสมแอสฟัลติกคอนกรีตที่ใช้ในการก่อสร้างผิวทางแบบยึดหยุ่นได้
2. สามารถนำผลการทดสอบไปใช้ในการวิเคราะห์ด้านวิศวกรรมผิวทาง โดยเข้าใจถึงพฤติกรรมเชิงกลของผิวทางแอสฟัลต์ผสมร้อนประเภทเน่น (HMA) ที่ใช้ตัวเชื่อมประสานแทกต่างกันในการผสม และถูกแรงกระทำที่ระดับต่างๆ ณ คุณภาพมิทีแตกต่างกัน ตัวอย่างเช่น การทดสอบแรงดึงทางอ้อมแบบสติ๊กสามารถนำผลการทดสอบไปวิเคราะห์การเกิดรอยแตกร้าว (Cracking) ของแอสฟัลติกคอนกรีตที่ใช้เป็นวัสดุผิวทาง ส่วนการทดสอบกำลังรับแรงดึงทางอ้อมแบบพลวัตทำให้ทราบค่าโมดูลัสศึกษา (Resilient Modulus) ของวัสดุและแอสฟัลติกคอนกรีตซึ่งเป็นพารามิเตอร์สำคัญสำหรับใช้ในการออกแบบโครงสร้างผิวทางแบบยึดหยุ่น และการทดสอบแรงอัดแบบปราศจากแรงดันด้านข้างแบบสติ๊กและพลวัตสามารถนำผลการทดสอบไปใช้ในการวิเคราะห์ความเสียหายของแอสฟัลติกคอนกรีตที่ใช้เป็นวัสดุผิวทาง คือ การยุบตัวแบบถาวรหือการเกิดร่องลักษ์ (Permanent deformation or Rutting)
3. เข้าใจถึงวิธีการดำเนินงานวิจัย เช่น การรวบรวมองค์ความรู้ การวางแผนงาน และการแก้ปัญหา เป็นต้น

บทที่ 2

เอกสารและงานวิจัยที่เกี่ยวข้อง

2.1. ผิวทางแบบยึดหยุ่น (Flexible Pavements)

รูปแบบของผิวทางแบบยึดหยุ่นเป็นระบบที่แบ่งออกเป็นชั้น (Layered system) โดยวัสดุที่มีคุณภาพดีกว่าจะอยู่ทางด้านบน เนื่องจากมีความเข้มข้นของความเด่นเกิดขึ้นที่ด้านบนมากกว่า และใช้วัสดุที่มีคุณภาพด้อยกว่าในส่วนด้านล่างของผิวทางที่มีความเข้มข้นของความเด่นน้อยกว่า ตามหลักเกณฑ์ในการออกแบบนี้จึงสามารถใช้วัสดุท้องถิ่นร่วมกับการใช้วัสดุที่มีคุณภาพดีได้ ทำให้สามารถออกแบบผิวทางได้อย่างประหยัด เพราะวัสดุท้องถิ่นมักมีราคาถูกและหาง่ายกว่า



รูปที่ 2.1 ภาพตัดขวางผิวทางแบบยึดหยุ่น

ส่วนประกอบของผิวทางแบบยึดหยุ่นนั้นสามารถแบ่งออกเป็นชั้นดังแสดงในรูปที่ 2.1 ได้ดังนี้

ชั้นผิวทาง (Surface course) จะอยู่ด้านบนสุดของผิวทางแบบยึดหยุ่น ส่วนมากชั้นผิวทางจะก่อสร้างด้วยแอสฟัลต์ผสมร้อน (Hot Mix Asphalt or HMA) ที่มีความหนาแน่นมาก ในส่วนสมบูติของผิวทางนั้นต้องมีความทนทานต่อการเปลี่ยนแปลงรูปร่างเนื่องจากการจราจรที่เกิดขึ้นรวมไปถึงต้องมีความราบรื่นและความต้านทานต่อการลื่นไถล (Skid resistance) นอกจากนี้ชั้นผิวทางต้องมีความสามารถในการซึมผ่านของน้ำได้ เพื่อป้องกันโครงสร้างผิวทางไม่ให้ถูกผลกระทบที่จะเกิดจากน้ำที่ซึมผ่านเข้ามา

ชั้นพื้นทางแอสฟัลต์ (Binder course or Asphalt base course) เป็นชั้นที่อยู่ด้านล่างของชั้นผิวทาง มีเหตุผลหลักสองประการที่จำเป็นต้องใส่ชั้นทางนี้ไว้ ประการแรกคือแอสฟัลต์ผสมร้อน

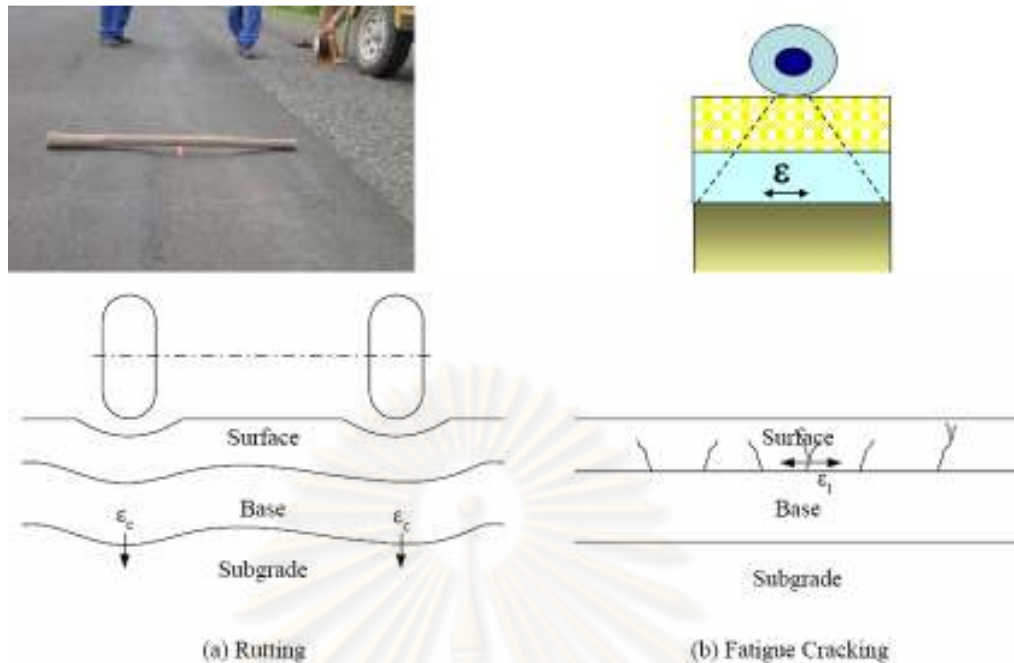
นั้นมีความหนามากเกินไปที่จะถูกบดขัดให้แน่นภายในครั้งเดียว จึงจำเป็นที่จะต้องทำให้เป็นสองชั้น ประการที่สองคือในชั้นพื้นทางแอสฟัลต์นี้ประกอบไปด้วยมวลรวมที่มีขนาดใหญ่กว่าและมีปริมาณแอสฟัลต์ที่น้อยกว่า รวมถึงไม่ต้องการคุณภาพที่ดีเท่าชั้นผิวทางจึงสามารถใช้ชั้นพื้นทางแอสฟัลต์นี้แทนชั้นผิวทางได้บางส่วน เพื่อให้การอกรอบแบบนั้นมีความประหยัดมากขึ้น แต่ถ้าชั้นพื้นทางแอสฟัลต์มีความหนาเกินกว่า 7.5 เซนติเมตรแล้ว จำเป็นที่จะต้องแบ่งชั้นพื้นทางแอสฟัลต์นี้ออกเป็นอีกสองชั้นย่อย

ชั้นพื้นทางและชั้นรองพื้นทาง (Base course and Subbase course) ชั้นพื้นทางเป็นชั้นของวัสดุที่อยู่ต่ำกว่าชั้นผิวทางหรือชั้นพื้นทางแอสฟัลต์ ชั้นพื้นทางประกอบไปด้วยหินหรือหินโลหะที่ถูกทำให้แตกละเอียดหรือวัสดุอื่นๆที่มีความแข็งแรงคงทน ในส่วนของชั้นรองพื้นทางจะอยู่ใต้ชั้นพื้นทาง ซึ่งเหตุผลในการใช้วัสดุที่แตกต่างกันสองชนิดนี้ก็เพื่อความคุ้มค่า แทนที่จะใช้วัสดุที่มีราคาแพงในการทำชั้นพื้นทาง เราสามารถใช้วัสดุท้องถิ่นที่หาได้ง่ายและมีราคากลางๆในการทำชั้นรองพื้นทางที่อยู่ด้านบนชั้นดินเดิม

ชั้นดินเดิม (Subgrade course) ส่วนบนสุดของชั้นดินเดิมซึ่งมีความหนาประมาณ 15 เซนติเมตรนั้น ควรที่จะมีการบดขัดให้แน่นเสียก่อน เพื่อให้ได้ความหนาแน่นของดินที่ใกล้เคียงกับค่าความหนาแน่นสูงสุดที่เป็นไปได้เนื่องจากการบดขัดในห้องปฏิบัติการ โดยชั้นดินเดิมที่ถูกบดขัดนี้อาจเป็นชั้นของดินที่มีอยู่แล้วหรืออาจเป็นชั้นของวัสดุคัดเลือกที่ได้

2.2 ความเสียหายของผิวทางแบบยืดหยุ่น (Flexible Pavement Distress)

ในปัจจุบันการอกรอบแบบผิวทางแบบยืดหยุ่นเพื่อรับปริมาณการจราจรที่คาดว่าจะมาใช้งานในถนนนั้น ได้มีการอกรอบโดยสนใจพุทธิกรรมทางด้านกำลังของวัสดุและความหนาของแต่ละชั้นทางเป็นหลัก ซึ่งมีแนวความคิดว่าผิวทางที่อกรอบจะไม่เกิดความเสียหายเกินเกณฑ์ที่ยอมรับได้ในช่วงอายุการใช้งาน ความเสียหายในผิวทางแบบยืดหยุ่นมีปัจจัยหลักมาจากการจราจร สภาพแวดล้อม และคุณสมบัติของวัสดุแอสฟัลติกคอนกรีต โดยความเสียหายที่พบบ่อยในผิวทางแบบยืดหยุ่น ได้แก่ การแตกร้าว (Cracking) และการเสียรูปอย่างถาวร (Permanent deformation)



รูปที่ 2.2 รูปแบบความเสียหายและความเครียดวิกฤตในผิวทางแบบยืดหยุ่น (Failure modes and critical strains in flexible pavement) (เอกสารประกอบรายวิชา Pavement Design)

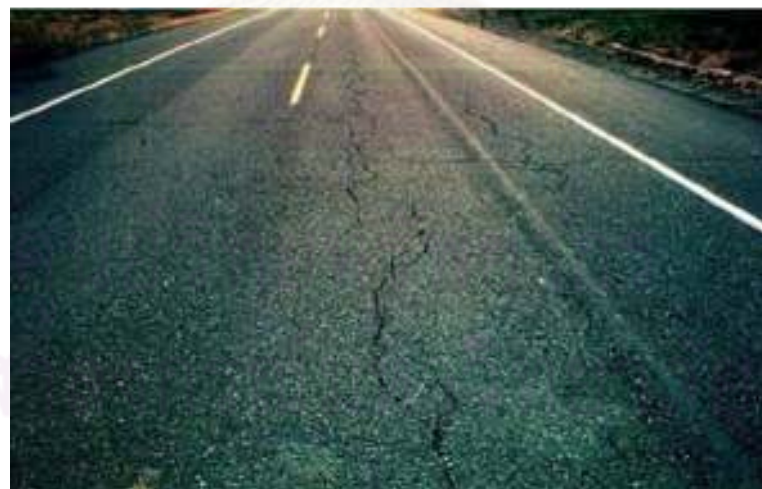
2.2.1 การแตกร้าว (Cracking)

การแตกร้าวที่เกิดขึ้นในพิวทางแบบยีดหยุ่นสามารถแบ่งออกได้เป็น 3 ประเภท ได้แก่



รูปที่ 2.3 รอยแตกร้าวเนื่องจากความล้า (Fatigue cracking) (เอกสารประกอบรายวิชา Pavement Design)

2. การแตกร้าวตามแนวยาว (Longitudinal cracking) คือ รอยแตกร้าวที่ขันนนกับแนวทางเดินรถของถนน มีสาเหตุมาจากหน่วยแรงดึงบิเวณดออกย่างของล้อรถที่กระทำต่อผิวนของชั้นแอสฟัลติกคอนกรีต ทำให้ความเสียหายลักษณะนี้จะเกิดรอยแตกร้าวจากผิวนลงไปหาผิวล่างของชั้นแอสฟัลติกคอนกรีต (top-down cracking)



รูปที่ 2.4 รอยแตกร้าวตามแนวยาว (Longitudinal cracking) (เอกสารประกอบรายวิชา Pavement Design)

3. การแตกร้าวเนื่องจากอุณหภูมิ (Thermal cracking) หรือการแตกร้าวตามแนวขวาง (Transverse cracking) มีสาเหตุจากการที่อุณหภูมิลดต่ำลงส่งผลให้ผิวทางแอสฟัลติกคอนกรีต

ทดสอบ ทำให้เกิดหน่วยแรงดึงดันขึ้นในชั้นแอสฟัลติกคอนกรีต เมื่อกำลังรับแรงดึงของวัสดุแอสฟัลติก คอนกรีตมีค่าน้อยกว่าหน่วยแรงดึงที่เกิดขึ้นจะทำให้เกิดรอยแตกร้าวบริเวณที่มีการทดสอบ



รูปที่ 2.5 รอยแตกร้าวเนื่องจากอุณหภูมิ (Thermal cracking) (เอกสารประกอบรายวิชา Pavement Design)

2.2.2 การเสียรูปอย่างถาวร (Permanent Deformation)

การเสียรูปอย่างถาวรของผิวทางแบบยึดหยุ่นแมกพบเป็นลักษณะรอยร่องล้อ (Rutting) คือ ผิวทางจะมีการยกตัวขึ้นทางด้านซ้ายตลอดแนวของรอยร่องล้อ มีสาเหตุมาจากการกำลังรับแรงอัดของ วัสดุที่ใช้ทำเป็นชั้นทางมีค่าน้อยกว่าหน่วยแรงอัดจากน้ำหนักจราจร โดยรอยร่องล้อที่เกิดขึ้น สามารถแบ่งออกได้เป็น 2 ประเภท ได้แก่

1. รอยร่องล้อเนื่องจากส่วนผสม (Mix rutting) มีสาเหตุมาจากการออกแบบส่วนผสมหรือ ขั้นตอนการบดอัดผิวถนนมีความผิดพลาด เมื่อมีน้ำหนักจราจารมากจะทำผิวถนนจึงเกิดการยุบตัว ตามแนวของล้อรถที่กระทำ โดยที่ชั้นดินด้านล่างไม่ได้เกิดการยุบตัวตามไปด้วย รอยร่องล้อแบบนี้ จะแabet ขนาดประมาณล้อรถที่มากกระทำและมีลักษณะเป็นลูกคลื่นโดยท้องคลื่นคือบริเวณที่ตรง กับล้อรถพอดี



รูปที่ 2.6 รอยร่องล้อเนื่องจากส่วนผสม (เอกสารประกอบรายวิชา Pavement Design)

2. รอยร่องล้อเนื่องจากชั้นดินเดิม (Subgrade rutting) มีสาเหตุมาจากการชั้นทางใต้ชั้นผิวทางเกิดการบุบตัวทำให้ชั้นผิวทางเกิดการทรุดตัวลงไปในร่องของชั้นทางด้านล่าง รอยร่องล้อแบบนี้จะมีลักษณะเป็นแอ่งบริเวณกว้าง



รูปที่ 2.7 รอยร่องล้อเนื่องจากชั้นดินเดิม (เอกสารประกอบรายวิชา Pavement Design)

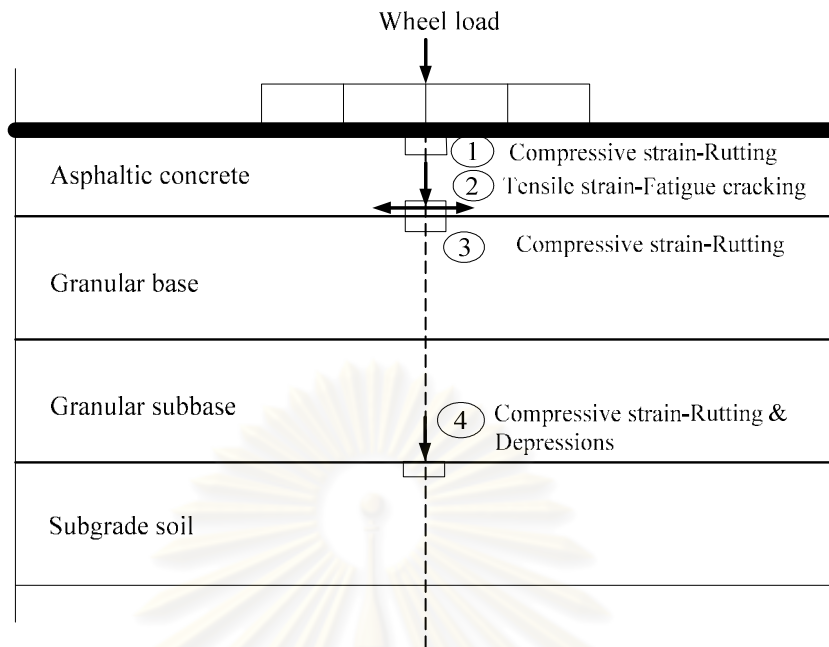
2.3 ความเค้นและความเครียดวิกฤตของผิวทางแบบยืดหยุ่น (Critical stress and strain of flexible pavement)

โครงสร้างผิวทางแบบยืดหยุ่นประกอบด้วยชั้นทางลาดชัน แต่ละชั้นทางใช้วัสดุที่แตกต่างกันในการก่อสร้าง ดังนั้นมีแรงภายนอกจากล้อรถมากจะทำจึงทำให้เกิดความเค้นหรือ

ความเครียดวิกฤตแตกต่างกันในแต่ละชั้นทาง ชั้นทางที่ก่อสร้างด้วยวัสดุที่มีแรงยึดเหนี่ยว (Bound material) เช่น แอสฟัลต์ผสมร้อน (Hot mixed asphalt) ความเครียดวิกฤตที่เกิดขึ้นมักจะเป็นความเครียดดึงบริเวณขอบล่างของชั้นทาง ส่วนชั้นทางที่ก่อสร้างด้วยวัสดุที่ไม่มีแรงยึดเหนี่ยว (Unbound material) เช่น หินคลุก (Crushed rock) ความเครียดวิกฤตที่เกิดขึ้นมักจะเป็นความเครียดอัดบริเวณขอบบนของชั้นทาง

วัสดุที่ใช้ในการก่อสร้างผิวทางแบบยึดหยุ่นมักมีความทนทานต่อความเค้นได้ดีกว่าความเครียด และเมื่อวัสดุเกิดความเสียหายพบว่าความเสียหายเนื่องจากความเครียดมีความแปรผันต่างกันตามความเค้น ดังนั้นในการออกแบบผิวทางแบบยึดหยุ่นด้วยวิธีออกแบบเชิงวิเคราะห์จึงใช้ความเครียดเป็นตัวชี้วัดความเสียหายในแต่ละชั้นทาง ถ้าความเครียดมีค่ามากกว่าขีดจำกัดของวัสดุจะส่งผลให้เกิดความเสียหายขึ้น โดยรูปแบบความเสียหายขึ้นอยู่กับปริมาณและชนิดของความเครียดที่เกิดขึ้น ซึ่งการแทกร้าวนี้องจากความล้าเป็นผลจากความเครียดดึงและรอยร่องล้อ เป็นผลจากการความเครียดอัด ดังนั้นในการออกแบบผิวทางแบบยึดหยุ่นจึงใช้ความเครียดดึงและความเครียดอัดเป็นเกณฑ์ในการกำหนดความเสียหาย

ความเค้นหรือความเครียดในโครงสร้างผิวทางแบบยึดหยุ่นที่เกิดจากน้ำหนักของล้อรถที่มากดทับสามารถแบ่งออกได้เป็น 3 รูปแบบ รูปแบบที่หนึ่งคือความเค้นหรือความเครียดในแนวตั้งที่กดลงบนแต่ละระดับของชั้นทางจะส่งผลให้ชั้นทางมีความหนาแน่นมากขึ้นและเกิดรอยร่องล้อ รูปแบบที่สองคือความเค้นหรือความเครียดในแนวตั้งที่ทำให้โครงสร้างผิวทางเกิดความไม่เสถียรโดยเฉพาะอย่างยิ่งเมื่อน้ำหนักจากล้อรถมีค่าสูง รูปแบบสุดท้ายคือความเค้นหรือความเครียดในแนวราบมีที่เกิดจากการแยกตัวของผิวถนนบริเวณขอบล่างของชั้นแอสฟัลติกคอนกรีต ความเค้นหรือความเครียดในแนวราบมีที่จะทำให้เกิดการแทกร้าวขึ้นจากผิวล่างของชั้นแอสฟัลติกคอนกรีตໄล์ชั้นไปหาผิวบน รูปที่ 2.8 แสดงตำแหน่งของความเค้นหรือความเครียดวิกฤตในโครงสร้างผิวทางแบบยึดหยุ่นเมื่อมีแรงจากล้อรถมากระทำ (FHWA, 1987)



รูปที่ 2.8 ความเค้นและความเครียดวิกฤตของผิวทางแบบยืดหยุ่น (Critical stress and strain of flexible pavement) (เอกสารประกอบรายวิชา Pavement Design)

ตำแหน่งที่ 1 แสดงความเครียดอัดในแนวตั้งบริเวณผิวนอกของชั้นแอสฟัลติกคอนกรีต ซึ่งรับน้ำหนักจากล้อรถโดยตรง แต่ผิวทางแอสฟัลติกคอนกรีตมีความแข็งแรงสูงจึงดูดซับความเค้นที่เกิดขึ้นไว้ส่วนใหญ่ แต่ถ้าความเค้นที่เกิดขึ้นสูงกว่ากำลังของวัสดุจะทำให้เกิดความเครียดอัดส่งผลให้วัสดุแอสฟัลติกคอนกรีตเกิดการบุบตัว ทำให้เกิดการเสียรูปอย่างถาวรหือรอยร่องล้อ

ตำแหน่งที่ 2 แสดงความเครียดตึงในแนวศ์มีบริเวณขอบล่างของชั้นแอสฟัลติกคอนกรีตที่เป็นจุดเชื่อมต่อระหว่างชั้นผิวทางและชั้นพื้นทาง ความเครียดตึงที่เกิดขึ้นนี้เป็นผลจากการที่ผิวทางเกิดการแยกตัวเนื่องจากน้ำหนักรถที่มากกระทำ หลังจากที่ผิวทางถูกน้ำหนักรถกระทำเป็นเวลานานจะทำให้เกิดการสะสมความเครียดตึงขึ้นจนกระทั่งแอสฟัลติกคอนกรีตไม่สามารถรองรับได้ แล้วเกิดเป็นรอยแตกร้าวเนื่องจากความล้า

ตำแหน่งที่ 3 แสดงความเครียดอัดในแนวตั้งบริเวณขอบบนของชั้นพื้นทางหรือชั้นรองพื้นทาง ความเครียดอัดที่เกิดขึ้นนี้เป็นผลมาจากการถ่ายน้ำหนักของล้อรถผ่านชั้นผิวทางแอสฟัลติกคอนกรีตลงมาทำให้ค่าความเค้นมีค่าลดลงเมื่อเทียบกับตำแหน่งที่ 1 แต่วัสดุที่ใช้ก่อสร้างชั้นพื้นทางหรือชั้นรองพื้นทางมีคุณภาพดีกว่าวัสดุแอสฟัลติกคอนกรีต ดังนั้นความเครียดอัดที่เกิดขึ้นจึงอาจเกินกำลังของวัสดุทำให้สามารถเกิดการเสียรูปอย่างถาวรได้

ตำแหน่งที่ 4 แสดงความเครียดอัดในแนวตั้งบริเวณขอบบนของชั้นดินเดิม ซึ่งชั้นดินเดิมมีค่าโมดูลัสยืดหยุ่นต่ำมากเมื่อเทียบกับชั้นทางอื่น ดังนั้นความเครียดอัดในแนวตั้งที่เกิดขึ้นจึงอาจ

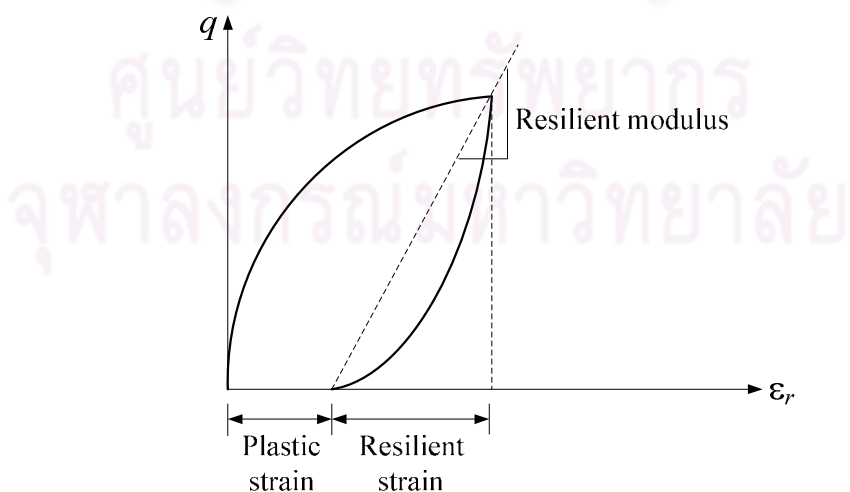
ทำให้เกิดการเสียรูปอย่างถาวรซึ่งจะนำไปสู่การเกิดรอยร่องลักษณะบนผิวนของชั้นแอสฟัลติกค่อนกรีตหรือที่เรียกว่ารอยร่องลักษณะจากชั้นดินเดิม (Subgrade rutting)

2.4 ลักษณะเฉพาะของแอสฟัลติกค่อนกรีต (Characteristics of asphaltic concrete)

ลักษณะเฉพาะของแอสฟัลติกค่อนกรีตที่สำคัญในการวิเคราะห์และออกแบบผิวทางแบบยืดหยุ่น มีสองลักษณะคือ โมดูลัสคืนตัว (Resilient modulus, M_R) ซึ่งบอกถึงความแข็งแรงของแอสฟัลติกค่อนกรีต และการเสียรูปอย่างถาวรหรือรอยร่องลักษณะวิธีสถาบันแอสฟัลต์ (Asphalt Institute Method) ใช้ลักษณะเฉพาะทั้งสองนี้เป็นเกณฑ์ความล้มเหลว (Failure criteria)

2.4.1 โมดูลัสคืนตัว (Resilient modulus, M_R)

ในงานวิศวกรรมการทางโมดูลัสคืนตัวเป็นพารามิเตอร์ที่สำคัญ สำหรับใช้ในการออกแบบผิวทางหรือใช้ในการวิเคราะห์ความแข็งแรงของวัสดุ เนื่องจากในช่วงเวลาสั้น ๆ ความเดินที่เกิดขึ้นในผิวทางมักมีค่าไม่สูงมากนักเมื่อเทียบกับกำลังของวัสดุผิวทาง วัสดุจึงสามารถกลับคืนสู่สภาพเดิมได้มากหลังจากถูกแรงกระทำ ถึงแม้ปกติวัสดุการทางจะมีพฤติกรรมอิลาสติกที่ไม่สมบูรณ์ เพราะมักมีความเครียดถาวร (Permanent strain) หรือความเครียดแบบพลาสติก (Plastic strain) เกิดขึ้นหลังจากถูกแรงกระทำตาม ซึ่งโมดูลัสคืนตัวเป็นโมดูลัสสี่ด้านประทับนิ่งที่เป็นค่าโมดูลัสในส่วนที่วัสดุคืนตัว (Resilient strain) ดังแสดงในรูปที่ 2.9



รูปที่ 2.9 นิยามของโมดูลัสการคืนตัว (Definition of resilient modulus)

จากรูปที่ 2.9 ค่าโมดูลัสคีนตัวเป็นอัตราส่วนระหว่างความเดันเบี่ยงเบน (Deviator stress, q) กับความเครียดคืนตัว (Resilient strain, ϵ_r) สามารถคำนวณได้จากสมการที่ 2.1

$$M_R = \frac{q}{\epsilon_r} \quad (2.1)$$

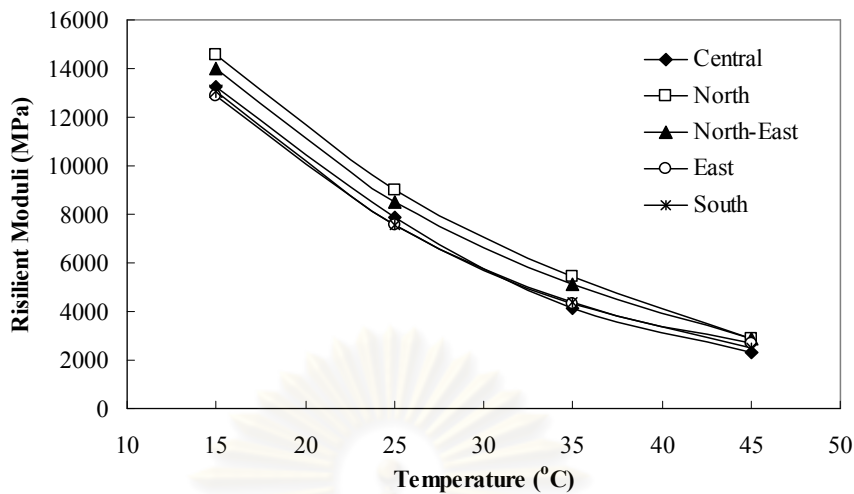
มาตรฐาน ASTM D 4123 ได้นำเสนอสมการสำหรับคำนวณค่าโมดูลัสคีนตัวของวัสดุแอกซ์ฟลิติกคอนกรีตที่ทำการพัฒนามาจากสมการที่ 2.1 ซึ่งสามารถใช้คำนวณค่าโมดูลัสคีนตัวด้วยผลจากการทดสอบแรงดึงทางข้อม (Indirect tensile test) ได้ดังแสดงในสมการที่ 2.2

$$M_R = \frac{P(v + 0.2734)}{\delta t} \quad (2.2)$$

เมื่อ P คือ แรงกระทำแบบพลศาสตร์ (Dynamic load) v คือ อัตราส่วนปีกชั้ง (Poisson's ratio) โดยทั่วไปสมมติให้มีค่าประมาณ 0.35 (ASTM D 4123) δ คือ การเสียรูปแบบคืนตัวทั้งหมด (Total recoverable deformation) และ t คือ ความหนาของตัวอย่าง (Specimen thickness)

ในปี พ.ศ. 2546 พรหมศรและคณะได้ทำการตรวจสอบคุณสมบัติกำลังรับแรงดึงทางข้อม และโมดูลัสคีนตัวของแอกซ์ฟลิติกคอนกรีตในประเทศไทย ด้วยการเก็บตัวอย่างแอกซ์ฟลิติกคอนกรีต มาจากภาคต่างๆ ของประเทศไทย ได้แก่ ภาคเหนือ ภาคตะวันออกเฉียงเหนือ ภาคตะวันออก และภาคใต้ แล้วทำการทดสอบหาค่าโมดูลัสคีนตัวด้วยอุณหภูมิที่แตกต่างกัน 4 อุณหภูมิ ได้แก่ 15, 25, 35 และ 45 องศาเซลเซียส ผลการทดสอบค่าเฉลี่ยโมดูลัสคีนตัวของแอกซ์ฟลิติกคอนกรีต ณ อุณหภูมิต่างๆ ได้แสดงไว้ในรูปที่ 2.10

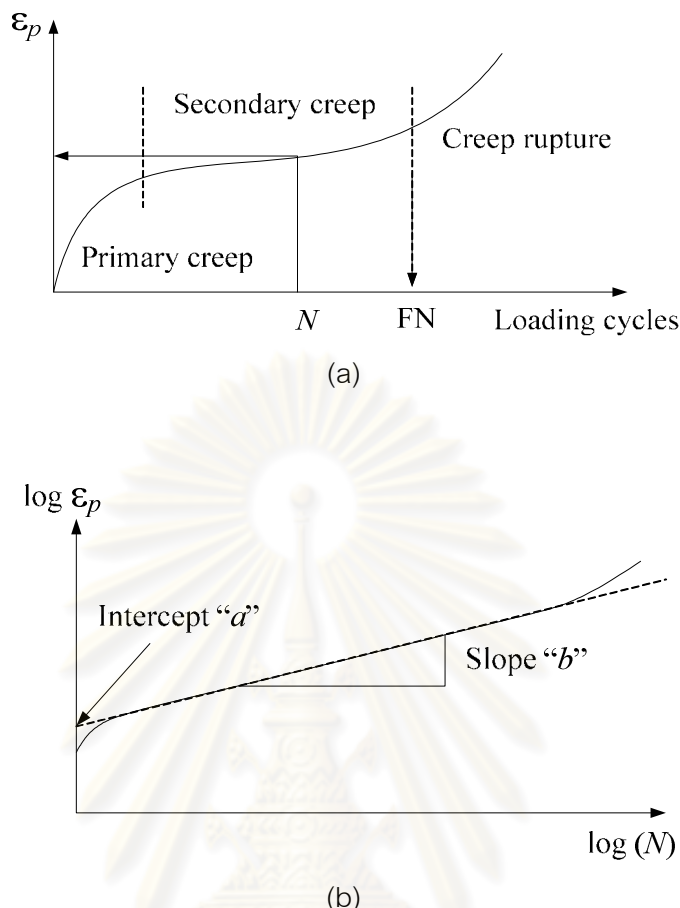
จุฬาลงกรณ์มหาวิทยาลัย



รูปที่ 2.10 ผลการทดสอบค่าเฉลี่ยโมดูลัสคืนตัวจากภาคต่างๆของประเทศไทย (Result of the average of resilient modulus: five regions in Thailand) (Phromsorn et al., 2003)

2.4.2 การเสียรูปอย่างถาวร (Permanent Deformation)

วัสดุขั้นทางเมื่อถูกกระทำจากแรงภายนอกจะเกิดความเครียดขึ้นค่าหนึ่ง และเมื่อถูกแรงกระทำซ้ำไปซ้ำมาจะเกิดการสะสมความเครียดจนกลایเป็นการเสียรูปอย่างถาวรหือรอยร่องลักษณะนี้มีการยกตัวขึ้นทางด้านข้างตลอดแนวของรอยร่องลักษ์ โดยทั่วไปอยู่ร่องลักษณะเกิดในทิศทางขนานกับแนวทางเดินรถ การเสียรูปอย่างถาวรสามารถอธิบายด้วยความสัมพันธ์ระหว่างความเครียดถาวรสัม (Cumulative permanent strain) หรือความเครียดพลาสติก (Plastic Strain, ε_p) กับจำนวนรอบของแรงกระทำ (Number of loading cycles, N) ดังแสดงในรูปที่ 2.11(a) จากลักษณะของกราฟสามารถวิเคราะห์ได้เป็น 3 ช่วง ได้แก่ ช่วงการคีบเวิ่มตัน (Primary creep) เป็นช่วงที่ผิวทางเกิดความเครียดถาวรมากในขณะที่จำนวนรอบของแรงกระทำยังมีค่าน้อย การคีบช่วงที่สอง (Secondary creep) เป็นช่วงที่ความเครียดถาวรที่เกิดขึ้นค่อนข้างแปรผันตรงกับจำนวนรอบของแรงกระทำที่มากขึ้น จนกระทั่งการคีบช่วงที่สาม (Creep rupture) เป็นช่วงที่แสดงว่าผิวทางเริ่มเกิดความเสียหาย โดยจุดเปลี่ยนความชันระหว่างช่วงที่สองและสามแสดงถึงค่าจำนวนการไหล (Flow number, FN) ซึ่งถ้าค่า FN มีค่ามากแสดงว่าผิวทางสามารถทนต่อจำนวนรอบของแรงกระทำได้สูง ในส่วนการวิเคราะห์ผลการทดสอบจะใช้สมการที่ 2.3 ซึ่งพิสูจน์จากสมการเลขยกกำลัง (Power function) เพื่อแสดงความสัมพันธ์ระหว่างค่าความเครียดพลาสติกกับจำนวนรอบของแรงกระทำที่เกิดขึ้น



รูปที่ 2.11 (a) ความสัมพันธ์ระหว่างความเครียดถาวรสัมสมกับจำนวนรอบของแรงกระทำ
(Typical relationship between total cumulative permanent strain and loading cycles)

(b) ค่าคงที่สมการรถถอย a และ b (Regression constants a and b)

$$\epsilon_p = aN^b \quad (2.3)$$

โดยที่ a และ b คือ ค่าคงที่ ซึ่งถ้าค่า b มีค่าน้อยแสดงว่าความชันของกราฟในรูปที่ 2.11(b) มีค่าต่ำ นั่นคือ ผิวทางจะสามารถต่อจำนวนรอบที่มากกระทำได้มาก

2.5 แอสฟัลต์ซีเมนต์ (Asphalt cement)

แอสฟัลต์จะเป็นของเหลวหนืดหรือของแข็งยึดหยุ่นขึ้นอยู่กับสารไฮโดรคาร์บอนซึ่งเป็นองค์ประกอบหลัก ดังนั้นจึงสามารถละลายได้ในคาร์บอนไดออกไซด์ (CO_2) และสามารถเปลี่ยนรูปได้ยากเมื่ออุณหภูมิต่ำและสามารถเปลี่ยนรูปได้อย่างช้าๆ เมื่ออุณหภูมิเพิ่มสูงขึ้น จึงกล่าวได้ว่า

แอสฟัลต์มีคุณสมบัติเป็นวัสดุหนึดยืดหยุ่น (Visco-Elastic material) คือ ที่คุณภาพมิต่างๆ เป็นของแข็งยึดหยุ่น ส่วนที่คุณภาพมิสูงเป็นของเหลวหนึด และที่คุณภาพมีลักษณะเป็นกึ่งของแข็ง แอสฟัลต์ที่นำมาใช้ในการก่อสร้างผิวทางนั้นแบ่งออกเป็น 3 ชนิด ได้แก่ แอสฟัลต์ซีเมนต์ (Asphalt cements) แอสฟัลต์อิมัลชัน (Emulsified asphalts) และคัตแบคแอสฟัลต์ (Cutback asphalts)

แอสฟัลต์ซีเมนต์ (Asphalt Cement) เป็นวัสดุประسانสีน้ำตาลแก่ถึงดำ มีบิทูเมน (Bitumen) เป็นองค์ประกอบหลัก สามารถผลิตได้จากการกลั่นน้ำมันปิโตรเลียมดิบหรือพับได้จาก การหั่นบดกันของแอสฟัลต์ในครัวนชาติ แอสฟัลต์ซีเมนต์ที่ใช้งานส่วนมากมาจากการกลั่นน้ำมัน ปิโตรเลียมดิบ ซึ่งเป็นการที่ได้จากการกลั่นแล้วนำไปผลิตเป็นแอสฟัลต์ซีเมนต์ประเภทต่างๆ

แอสฟัลต์ซีเมนต์ถูกนำมาใช้ในการผลิตแอสฟัลต์ผสมร้อน (Hot mix asphalt) เป็นส่วนใหญ่เพื่อนำไปใช้ในการก่อสร้างถนน แอสฟัลต์ซีเมนต์ที่นำมาใช้ในการผลิตแอสฟัลต์ผสมร้อนนั้นมีอยู่หลายเกรด ซึ่งแบ่งเกรดตามลักษณะความขั้นเหลวของแอสฟัลต์ซีเมนต์ ระบบการจัดเกรดของ แอสฟัลต์ซีเมนต์มีอยู่ 3 ระบบที่ใช้กันอย่างแพร่หลาย ได้แก่ ระบบเกรดการเจาะลึก (Penetration Grading System) ระบบเกรดความหนืด (Viscosity Grading System) และระบบซุปเปอร์เพฟ (Superpave Grading System)



รูปที่ 2.12 แอสฟัลต์ซีเมนต์ (Asphalt cement) (<http://cm.intelsteps.com>)

2.6 คุณสมบัติของแอสฟัลต์ซีเมนต์

สำหรับวัตถุประสงค์ทางวิศวกรรมและการก่อสร้าง คุณสมบัติหรือลักษณะเฉพาะของ แอสฟัลต์ซีเมนต์เป็นสิ่งสำคัญ ได้แก่ ความขั้นเหลว ความบริสุทธิ์ และความปลดภัย

2.6.1 ความขันเหลว (Consistency)

แอสฟัลต์เป็นวัสดุประเภทเทอร์โมพลาสติก (Thermoplastic materials) คือ มีลักษณะเหลวเมื่อได้รับความร้อนเพิ่มขึ้นและแข็ง เมื่อถูกทำให้เย็นลง ความขันเหลวเป็นคำที่ใช้อธิบายความหนืดหรือระดับความเป็นของไหล (Degree of fluidity) ของแอสฟัลต์ที่แต่ละอุณหภูมิ ความขันเหลวของแอสฟัลต์แปรผันตามอุณหภูมิ ดังนั้นเมื่อต้องการเปรียบเทียบลักษณะความขันเหลวของแอสฟัลต์แต่ละชนิดจึงจำเป็นต้องมีการระบุว่าจะเปรียบเทียบโดยการใช้อุณหภูมิที่เท่ากันหรือใช้ความขันเหลวที่เท่ากัน บางข้อกำหนดที่ใช้ในการจัดเกรดแอสฟัลต์จะขึ้นอยู่จากความขันเหลวที่อุณหภูมิมาตรฐาน และในบางข้อกำหนดการจัดเกรดแอสฟัลต์จะขึ้นอยู่จากอุณหภูมิที่ต้องใช้เพื่อจะทำให้แอสฟัลต์มีความขันเหลวตามมาตรฐานที่กำหนด

เมื่อแอสฟัลต์ที่มีลักษณะเป็นฟิล์มบางๆ สามผสกนกาอากาศ ณ ระดับอุณหภูมิที่เกิดขึ้นระหว่างกระบวนการผลสรุปของมวลรวมกับแอสฟัลต์จะทำให้แอสฟัลต์เสื่อมสภาพโดยมีลักษณะแข็ง หมายความว่า ความขันเหลวหรือความหนืดของแอสฟัลต์จะเพิ่มมากขึ้น เมื่อความแข็ง (Stiffness) เพิ่มมากขึ้นเกินกว่าขีดจำกัดที่ยอมรับได้จะส่งผลให้เกิดความเสียหายขั้นเนื่องมาจากการแข็งตัวของแอสฟัลต์ ดังนั้นในกระบวนการผลสรุปจึงต้องระมัดระวังในการเพิ่มอุณหภูมิที่ใช้ในการผล ความแข็งตัวของแอสฟัลต์ที่มากเกินไปจะเป็นสาเหตุให้ผิวทางแอสฟัลต์เกิดรอยแตกร้าวก่อนเวลาอันควร ซึ่งจะทำให้ผิวทางแอสฟัลต์ที่ก่อสร้างเสื่อมแล้วมีอายุการใช้งานสั้นลง

2.6.2 ความบริสุทธิ์ (Purity)

แอสฟัลต์ที่ได้จากการกลั่นน้ำมันปิโตรเลียมดิบมีปฏิเสธเป็นองค์ประกอบหลัก สามารถละลายได้ในคาร์บอนไดออกไซด์ (CO_2) มากกว่าร้อยละ 99.5 ส่วนที่เหลือซึ่งเป็นส่วนน้อยมักจะเป็นสารอนินทรีย์และสารที่ไม่บริสุทธิ์เมื่อนำไปปลดละลายในคาร์บอนไดออกไซด์จะไม่สามารถละลายได้ถ้าแอสฟัลต์ที่นำมาใช้งานมีความไม่บริสุทธิ์จะส่งผลต่ออายุการใช้งานของถนน เช่น ทำให้เกิดการหลุดร่อง (Raveling) เร็วกว่าปกติหรือทำให้วัสดุมวลรวมเกิดการแยกตัวจากแอสฟัลต์ตกไปด้านล่าง (Segregation) เป็นต้น

2.6.3 ความปลอดภัย (Safety)

แอสฟัลต์ที่อุณหภูมิสูงมากจะเดือดเป็นฟองซึ่งเป็นอันตราย จึงมีข้อกำหนดว่าถ้าอุณหภูมิสูงไม่เกิน 175 องศาเซลเซียส แอสฟัลต์ต้องไม่เดือดเป็นฟอง ปกติแอสฟัลต์ที่ผลิตจากการกลั่นจะปราศจากความชื้นหรือน้ำ อย่างไรก็ตามถังบรรจุที่ใช้ในการขนส่งแอสฟัลต์อาจมีความชื้นอยู่ เมื่อทำการบรรจุแอสฟัลต์ที่มีอุณหภูมิสูงลงไปจะทำให้น้ำที่มีอยู่กล้ายเป็นไอซ์ไอน้ำจะทำให้แอสฟัลต์เดือดเป็นฟอง

แอสฟัลต์เมื่อถูกไฟไหม้ความร้อนสูงถึงอุณหภูมนี้จะทำให้เกิดไฟระหว่างของแอสฟัลต์ ถ้าไออกระหว่างสัมผัสถับประการไฟจะส่งผลให้เกิดไฟลุก旺ขึ้นเนื่องจากแอสฟัลต์ อุณหภูมิที่สามารถทำให้เกิดเหตุการณ์ดังกล่าวเรียกว่าจุดควบไฟ (Flash point) ดังนั้นเพื่อความปลอดภัยจุดควบไฟต้องมีค่าสูงกว่าอุณหภูมิที่ใช้ในการผสม

2.7 ข้อกำหนดสำหรับแอสฟัลต์ซีเมนต์ (Asphalt Cement Specification)

แอสฟัลต์ซีเมนต์ที่นำมาใช้งานมักไม่ได้มาจากแหล่งกำเนิดเดียวกัน เช่น ได้จากแอสฟัลต์ตามธรรมชาติ หินแอสฟัลต์ ตะลบานแอสฟัลต์ และแอสฟัลต์ซีเมนต์ที่ได้จากการกลั่น ดังนั้น แอสฟัลต์ซีเมนต์จึงมีองค์ประกอบทั้งสารอินทรีย์และสารอินทรีย์แตกต่างกัน ส่งผลให้มีคุณภาพแตกต่างกันตามไปด้วย ดังนั้นข้อกำหนดสำหรับแอสฟัลต์ซีเมนต์จึงถูกกำหนดขึ้นเพื่อใช้ควบคุมคุณภาพของแอสฟัลต์ซีเมนต์ สามารถแบ่งข้อกำหนดสำหรับแอสฟัลต์ซีเมนต์ออกเป็น 3 ประเภท ได้แก่ ข้อกำหนดเกรดการเจาะลึก ข้อกำหนดเกรดความหนืด และข้อกำหนดแอสฟัลต์เข้มประสานเกรดสมรรถนะ

2.7.1 ข้อกำหนดเกรดการเจาะลึก (Penetration-Graded Specification) (ASTM D 946, AASHTO M 20)

ข้อกำหนดเกรดการเจาะลึกถูกคิดขึ้นในปี ค.ศ. 1947 เพื่อใช้ควบคุมคุณภาพของแอสฟัลต์ และตั้งแต่ค่าการเจาะลึกถูกนำมาเป็นปัจจัยในการจัดเกรดของแอสฟัลต์ ข้อกำหนดนี้จึงเป็นที่รู้จักกันในชื่อว่า ข้อกำหนดเกรดการเจาะลึก (Penetration Grading Specification)

ระบบการจัดเกรดด้วยค่าการเจาะลึกจะใช้ค่าการเจาะลึกที่อุณหภูมิ 25 องศาเซลเซียสใน การจัดเกรดของแอสฟัลต์ โดยจะใช้แอสฟัลต์ที่ยังไม่ได้ผ่านการเร่งอุ่นมา ก่อน ตัวอย่างเช่น เกรด 85/100 คือ แอสฟัลต์ที่มีค่าการเจาะลึกอยู่ระหว่าง 8.5 ถึง 10 มิลลิเมตรเป็นต้น เกรดการเจาะลึก

ที่นุ่มนิ่งกว่า เช่น เกรด200/300 เมื่อเอานิ้วกดที่อุณหภูมิห้องจะเกิดรอยบุ๋มที่ผิวน้ำของแอกซ์ฟล็อต และเกรดการเจาะลึกที่แข็งกว่า เช่น เกรด40/50 เมื่อเอานิ้วกดที่อุณหภูมิห้องจะเกิดเพียงรอยนิ้ว มือที่ผิวน้ำของแอกซ์ฟล็อตเท่านั้น

ข้อดีและจุดอ่อนของข้อกำหนดเกรดการเจาะลึก

แม้ว่าข้อกำหนดเกรดการเจาะลึกจะให้ความหมายในการประเมินความแข็ง (Stiffness) ของแอกซ์ฟล็อตได้ แต่ก็ยังมีข้อจำกัดอยู่บางประการ ประการแรกคือค่าการเจาะลึกเป็นการทดสอบเชิงประสมการณ์ที่ใช้ในการวัดการรวมตัวกันของพฤติกรรมความหนืดและความยึดหยุ่นของ แอกซ์ฟล็อต ผลที่ได้จากการทดสอบเชิงประสมการณ์จะต้องนำไปประกอบความสัมพันธ์กับสมรรถนะของ ผิวทาง เพื่อที่จะเข้าใจค่าที่ได้จากการทดสอบ ซึ่งความสัมพันธ์ระหว่างผลการทดสอบกับ สมรรถนะของผิวทางอาจจะไม่ครบถ้วน ขึ้นอยู่กับคุณภาพและปริมาณของข้อมูลที่นำมาใช้ในการ หาความสัมพันธ์

ประการที่สองคือข้อกำหนดเกรดการเจาะลึกวัดค่าความแข็งของแอกซ์ฟล็อตเฉพาะที่ อุณหภูมิปานกลาง โดยที่ค่าความแข็งที่อุณหภูมิสูงและที่อุณหภูมิต่ำจะได้จากการอ้างอิงค่าการ เจาะลึกที่อุณหภูมิปานกลางเท่านั้น เป็นสาเหตุให้สมรรถนะของผิวทางที่เกิดขึ้นจริงอาจจะมีความ แตกต่างอย่างมีนัยสำคัญสำหรับแอกซ์ฟล็อตที่อยู่ในเกรดเดียวกัน แต่ก่อสร้างในสถานที่ที่มีอุณหภูมิ แตกต่างกัน

ประการสุดท้ายคือแอกซ์ฟล็อตที่ผ่านการเร่งอายุด้วยวิธีการอบเยือบมาก่อนแล้วนำมา ทดสอบค่าการเจาะลึก ค่าการเจาะลึกที่ได้จะเป็นค่าการเจาะลึกในสูตรที่เร่งอายุแอกซ์ฟล็อตเพื่อ เลียนแบบช่วงเวลาการทดสอบและการก่อสร้างเท่านั้น ซึ่งในความเป็นจริงไม่มีกระบวนการเร่งอายุ แอกซ์ฟล็อตในช่วงเวลาหลังจากที่ผิวทางแอกซ์ฟล็อตได้ทำการเปิดใช้งานเป็นระยะเวลากลายไป

2.8 การทดสอบคุณสมบัติของแอกซ์ฟล็อตซีเมนต์

เพื่อพิสูจน์ว่าแอกซ์ฟล็อตซีเมนต์มีลักษณะเฉพาะ เช่น ความขันเหลว ความบริสุทธิ์ และ ความปลดภัยตามที่ต้องการ จึงจำเป็นที่จะต้องทำการพัฒนาวิธีการทดสอบและข้อกำหนดที่มี ความสัมพันธ์กับลักษณะของแอกซ์ฟล็อตซีเมนต์ ดังแสดงในตารางที่ 2.1

2.8.1 การทดสอบความหนืด (Viscosity test)

การทดสอบความหนืดสัมบูรณ์ (Absolute viscosity test) ที่อุณหภูมิ 60 องศาเซลเซียส ใช้เครื่องวัดความหนืดแบบหลอดครูเล็กมีอยู่ 2 ชนิดที่ใช้กันอย่างแพร่หลาย ได้แก่ แบบของสถาบันแอลฟ์ล็อต และแบบของแคนนอน-แม่นนิง เครื่องวัดความหนืดแต่ละชนิดจะถูกทำการสอบเทียบให้ตรงกับมาตรฐานโดยการใช้น้ำมันมาตรฐานที่ทราบความหนืดในการสอบเทียบ ค่าคงที่ในการสอบเทียบจะถูกพัฒนาสำหรับแต่ละเครื่องวัดความหนืดโดยผู้ผลิตเครื่องทดสอบและค่าคงที่ในการสอบเทียบจะถูกเตรียมไว้สำหรับแต่ละเครื่อง

เครื่องทดสอบความหนืดจะถูกควบคุมอุณหภูมิโดยการใช้อ่างควบคุมอุณหภูมิ ปกติจะใช้น้ำเป็นของเหลวตัวกลางในการควบคุมอุณหภูมิ เพราะว่าอุณหภูมิที่ใช้ในการทดสอบต่างๆ จะเดือดของน้ำ และที่อุณหภูมิ 60 องศาเซลเซียส แอลฟ์ล็อตจะมีความหนืดมากเกินไปในการให้ผ่านหลอดครูเล็กของเครื่องวัดความหนืด ได้อย่างทันที ดังนั้นการทดสอบความหนืดสัมบูรณ์จะต้องใช้สูญญากาศบางส่วนช่วย ทำให้ต้องติดปั๊มสูญญากาศ (Vacuum pump) ในฝักหลอดที่มีขนาดเล็ก เพื่อช่วยให้แอลฟ์ล็อตเกิดการไหลได้

ตารางที่ 2.1 ข้อกำหนดการทดสอบแอลฟ์ล็อตซีเมนต์

การทดสอบ	ตามมาตรฐาน	
	AASHTO	ASTM
ความหนืดสัมบูรณ์ (Absolute Viscosity)	T202	D2171
ความหนืดไคเนมาติก (Kinematics Viscosity)	T201	D2170
การเจาะลึก (Penetration)	T49	D5
จุดวาบไฟ (Flash point)	T48	D92
การทดสอบการอบเยื่อบาง (Thin Film Oven Test)	T719	D1754
การทดสอบการอบเยื่อบางแบบกลึง (Rolling Thin Film Oven Test)	T240	D2872
การยืดตัว (Ductility)	T51	D113
การละลายในไตรคลอโรเอทธิลีน (Solubility in Trichloroethylene)	T44	D2042
การทดสอบจุด (Spot Test)	T102	-



(a) The Asphalt Institute vacuum viscometer



(b) Cannon-Manning vacuum Viscometer

**รูปที่ 2.13 เครื่องมือการทดสอบความหนืด (a)แบบสถาบันแอสฟัลต์ (b)แบบแคนนอนแมนนิง
(<http://www.humboldtmfg.com>)**

เมื่อแอสฟัลต์เริ่มไหลเวลาที่แอสฟัลต์ใช้ในการเคลื่อนที่ผ่านจุดสองจุดซึ่งมีลักษณะเป็นกระปา(Bulb) ที่กำหนดไว้จะถูกวัดในหน่วยวินาที ผลคุณของเวลาที่วัดได้กับค่าคงที่ในการสอบเทียบสำหรับแต่ละกระปาของเครื่องทดสอบความหนืดจะให้ค่าความหนืดในหน่วย พอยซ์ (Poises) ซึ่งเป็นหน่วยมาตรฐานสำหรับการวัดค่าความหนืดของแอสฟัลต์

นอกจากการทดสอบความหนืดที่อุณหภูมิ 60 องศาเซลเซียสแล้ว ยังต้องทำการทดสอบโดยการให้แอสฟัลต์ไหลผ่านหลอดรูเล็กที่อุณหภูมิ 135 องศาเซลเซียส ภายใต้แรงโน้มถ่วงเพียง

อย่างเดียว ชนิดของความหนืดที่วัดด้วยวิธีนี้เรียกว่า ความหนืดไคเนมาติก (Kinematic viscosity) การทดสอบหาความหนืดไคเนมาติกไม่ต้องใช้สูญญากาศช่วยในการทดสอบ แต่ต้องใช้เครื่องมือในการทดสอบที่แตกต่างจากการทดสอบความหนืดสัมบูรณ์ เรียกว่า เครื่องมือการทดสอบความหนืดแบบไซท์ฟุคส์แขนไขว้ (Zeitfuchs cross-arm viscosity) เครื่องนี้อีกที่ใช้ในการทดสอบความหนืดแบบไคเนมาติกจะถูกทำการสอบเทียบด้วยวิธีการเดียวกับความหนืดสัมบูรณ์



รูปที่ 2.14 เครื่องมือการทดสอบความหนืดแบบไซท์ฟุคส์แขนไขว้ (Zeitfuchs cross-arm viscosity) (<http://www.humboldtmfg.com>)

การทดสอบความหนืดไคเนมาติกจะใช้น้ำมันบริสุทธิ์ในการควบคุมอุณหภูมิในอ่างควบคุม โดยให้ความดันเพียงเล็กน้อยเพื่อช่วยให้แอลตราเวิมตันไหลด้วยแรงโน้มถ่วง จากนั้นจับเวลาที่แอลตราเวิมตันไหลผ่านจุดสองจุดที่กำหนดไว้ตรงกระเบาะ นำเวลาที่วัดได้คูณกับแฟกเตอร์ค่าสอบเทียบจะได้ค่าความหนืดไคเนมาติกในหน่วยเซนติสโตค (Centistokes)

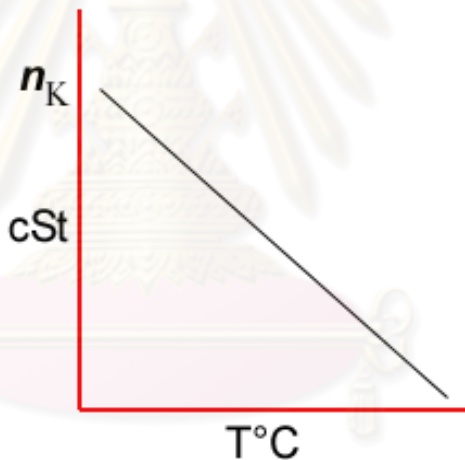
ในการทดสอบความหนืดไคเนมาติกจะใช้แรงโน้มถ่วงเป็นตัวทำให้เกิดการไหล ซึ่งความหนาแน่นของแอลตราเวิมตันจะส่งผลกระทบต่ออัตราการไหลของแอลตราเวิมตันผ่านหลอดดูลิก และในการทดสอบความหนืดสัมบูรณ์จะใช้สูญญากาศเป็นตัวทำให้แอลตราเวิมตันสามารถไหลผ่านหลอดดูลิกไปได้โดยที่ไม่ต้องคำนึงถึงผลของแรงโน้มถ่วง ดังนั้นหน่วยที่ได้จากการทดสอบความหนืดทั้งสองแบบ คือ หน่วยเซนติสโตคและหน่วยพอยต์ สามารถหาความสัมพันธ์ได้ด้วยการใช้ความหนาแน่นของแอลตราเวิมตันดังแสดงในสมการที่ 2.4

$$\nu = \frac{\mu}{\rho} \quad (2.4)$$

โดย ν คือ ความหนืดไคเนมาติก และ μ คือ ความหนืดสัมบูรณ์

ความหนืดที่วัดได้ ณ อุณหภูมิทั้งสองจะนำมาหาราฟแสดงความสัมพันธ์ระหว่าง อุณหภูมิกับความหนืด ความชันของเส้นที่ลากเข้ามต่อระหว่างจุดทั้งสองจะเป็นตัวบ่งชี้ความ อ่อนไหวต่ออุณหภูมิของแอกส์ฟล็อต เส้นที่มีความชันมากกว่าแอกส์ฟล็อตจะมีความอ่อนไหวต่อ อุณหภูมิมากกว่า คือ มีลักษณะเหลวที่อุณหภูมิสูงและจะแข็งที่อุณหภูมิต่ำ

นอกจากนี้ความสัมพันธ์ระหว่างอุณหภูมิกับความหนืดของแอกส์ฟล็อตมีความสำคัญมาก ในกรณานำมาคำนวณช่วงอุณหภูมิที่เหมาะสมสำหรับการทดสอบและการบดอัดส่วนผสมแอกส์ฟล็อตใน ห้องปฏิบัติการ



รูปที่ 2.15 ความสัมพันธ์ระหว่างความหนืดไคเนมาติกกับอุณหภูมิ

(<http://www.wearcheck.com>)

2.8.2 การทดสอบค่าการเจาะลึก (Penetration test)

การทดสอบค่าการเจาะลึกคือหนึ่งในการทดสอบที่มีการใช้งานมาอย่างยาวนาน เป็นการ ทดสอบเชิงประสมการณ์สำหรับการวัดความชันเหลวของแอกส์ฟล็อต

การดำเนินการทดสอบค่าการเจาะลึกเริ่มจากนำตัวอย่างแอกส์ฟล็อตไปอุ่นให้ร้อนแล้วเทลง ในถ้วยมาตรฐานขนาด 88 มิลลิลิตร สำหรับทำการทดสอบ หลังจากนั้นนำตัวอย่างไปใส่ในอ่าง ควบคุมอุณหภูมิจนกระทั่งตัวอย่างมีอุณหภูมิ 25 องศาเซลเซียสตามมาตรฐานที่ใช้ในการทดสอบ

นำตัวอย่างที่มีอุณหภูมิคงที่แล้วไปใส่ในเครื่องทดสอบค่าการเจาะลึก นำเข้ามาตรวจสอบน้ำหนัก 100 กรัมมาแขวนในแนงดึงบนผิวแอสฟัลต์จากนั้นปล่อยให้落ちลงไปในเนื้อแอสฟัลต์เป็นเวลา 5 วินาที วัดระยะที่เข็มจมลงไปในแอสฟัลต์แล้วรายงานผลเป็นค่าการเจาะลึกในหน่วยเพน (Pen) ซึ่ง มีค่าเท่ากับ 0.1 มิลลิเมตร

ที่อุณหภูมิมาตรฐานแอสฟัลต์ที่มีค่าการเจาะลึกมากกว่าจะมีความชันเหลว้น้อย คือ มีความหนืดน้อยกว่า และแอสฟัลต์ที่มีค่าการเจาะลึกน้อยกว่าจะมีความชันเหลวมาก คือ มีความหนืดมากกว่า



รูปที่ 2.16 เครื่องมือการทดสอบค่าการเจาะลึก (<http://www.jazzar.com>)

2.8.3 ค่าความถ่วงจำเพาะ (Specific gravity)

ค่าความถ่วงจำเพาะของแอสฟัลต์ นำไปใช้ในการเปลี่ยนค่าไปมาระหว่างมวลกับปริมาตร ถ้าทราบค่าความถ่วงจำเพาะของแอสฟัลต์จะทำให้คำนวนมวลของแอสฟัลต์ในถังบรรจุแอสฟัลต์ได้เมื่อทราบปริมาตรของถังบรรจุ นอกจากนั้นค่าความถ่วงจำเพาะของแอสฟัลต์ยังถูกใช้ในการคำนวนคุณสมบัติของส่วนผสมแอสฟัลต์อีกด้วย

การทดสอบค่าความถ่วงจำเพาะจะดำเนินการโดยเทแอสฟัลต์ลงในแก้ววัดความหนาแน่น (Glass pycnometer) ที่ได้ทำการซึ่งน้ำหนักและทำการสอบเทียบกับค่ามาตรฐานมาก่อนแล้ว จากนั้นเติมน้ำกับบิสุทธิ์ลงไปตามขีดที่กำหนด แล้วนำไปแขวนอยู่ในอ่างควบคุมอุณหภูมิที่ 25 องศา เชลเซียส เสร็จแล้วนำออกมาซึ่งน้ำหนัก และนำไปคำนวนค่าความถ่วงจำเพาะของแอสฟัลต์

2.9 แอกซ์พ्लัต์เชื่อมประสานเกรดสมรรถนะ (Performance Graded Asphalt Binder)

จากข้อบกพร่องของเกรดความหนืดและเกรดการเจาะลึก จึงได้มีการพัฒนาการทดสอบที่มีความสัมพันธ์กับสมรรถนะจริง เพื่อวัดคุณสมบัติทางกายภาพของแอกซ์พ्लัต์เชื่อมประสาน และได้มีข้อกำหนดใหม่สำหรับการจัดเกรดของแอกซ์พ्लัต์ เรียกว่า ข้อกำหนดแอกซ์พ์ลัต์เชื่อมประสานเกรดสมรรถนะ ซึ่งข้อกำหนดนี้สามารถใช้ได้ทั้งแอกซ์พ์ลัต์ธรรมด้าและโมดิฟายด์แอกซ์พ์ลัต์ นอกจากรางวัลในปีพุทธศักราช 2530 ได้มีการใช้คำว่าแอกซ์พ์ลัต์เชื่อมประสานแทนแอกซ์พ์ลัต์ซีเมนต์

2.9.1 ข้อกำหนดแอกซ์พ์ลัต์เชื่อมประสานเกรดสมรรถนะ (PG Asphalt Binder Specification)

จุดความสำคัญของข้อกำหนดแอกซ์พ์ลัต์เชื่อมประสานเกรดสมรรถนะ คือ การทดสอบแอกซ์พ์ลัต์เชื่อมประสานที่มีความสัมพันธ์กับสมรรถนะในการใช้งานจริงที่เกิดขึ้น โดยการทดสอบจะจำลองขั้นตอนวิกฤตที่แอกซ์พ์ลัต์เชื่อมประสานต้องประสบ เช่น ขั้นตอนการผสาน ขั้นตอนการรุบ ผิวทาง เป็นต้น

การดำเนินการทดสอบแอกซ์พ์ลัต์เชื่อมประสานที่ไม่ได้ผ่านการเร่งอายุเป็นการจำลองขั้นตอนวิกฤตแรก คือ การขันส่งและการเก็บรักษา ขั้นตอนวิกฤตที่สอง คือ ช่วงการทดสอบและการก่อสร้าง จะทำการทดสอบจำลองขั้นตอนนี้ด้วยการทดสอบแอกซ์พ์ลัต์เชื่อมประสานที่ผ่านการอบเยื่อบางและการอบเยื่อบางแบบกลิ้งมาก่อน ขั้นตอนวิกฤตสุดท้าย คือ ช่วงอายุของแอกซ์พ์ลัต์ที่เป็นส่วนหนึ่งของผิวทางแอกซ์พ์ลัต์หลังจากการปิดให้บริการมาเป็นระยะเวลาหนึ่ง จะทำการทดสอบจำลองขั้นตอนนี้ด้วยการทดสอบแอกซ์พ์ลัต์เชื่อมประสานที่ผ่านการใช้หม้อความดันเร่งอายุ (Pressure aging vessel) มาแล้ว หม้อความดันเร่งอายุเป็นกระบวนการที่ทำให้แอกซ์พ์ลัต์เชื่อมประสานสัมผัสกับความร้อนและความดันเพื่อจำลองการเสื่อมสภาพตามอายุการใช้งานจริงหลังการปิดให้บริการนานมาเป็นเวลานาน

ข้อกำหนดแอกซ์พ์ลัต์เชื่อมประสานเกรดสมรรถนะและวิธีการทดสอบที่ใช้ในการจัดประเภทของแอกซ์พ์ลัต์เชื่อมประสาน ได้แสดงไว้ใน AASHTO M 320

2.10 การทดสอบแอสฟัลต์เชื่อมประสานเกรดสมรรถนะ (PG Asphalt Binder Tests)

2.10.1 โรเทชันนอลวิสโคมิเตอร์ (Rotational Viscometer)

การทดสอบความหนืดแบบหมุนดังแสดงในรูปที่ 2.17 ใช้ในการหาลักษณะการไหลของ แอสฟัลต์เชื่อมประสานที่อุณหภูมิสูง เพื่อให้สามารถทราบว่าแอสฟัลต์เชื่อมประสานจะสามารถ สูบและนำไปใช้งานได้ โดย AASHTO T 316 บรรยายไว้ว่าการทดสอบโรเทชันนอลวิสโคอมิเตอร์มี ความจำเป็นมากในการประเมินชนิดที่หลักหลายของแอสฟัลต์เชื่อมประสาน



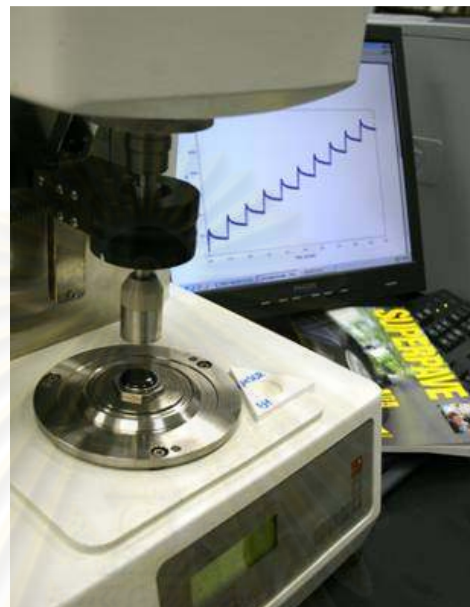
รูปที่ 2.17 โรเทชันนอลวิสโคอมิเตอร์

โรเทชันนอลวิสโคอมิเตอร์จะใช้ในการหาความหนืดโดยหาจากการวัดแรงบิดที่ใช้ในการ หมุนแกนทรงกระบอกที่จมอยู่ในแอสฟัลต์เชื่อมประสานให้มีความเร็วคงที่ ณ อุณหภูมิคงที่ค่าหนึ่ง ซึ่งแรงบิดนี้จะมีความสัมพันธ์โดยตรงกับความหนืดของแอสฟัลต์เชื่อมประสาน

2.10.2 การทดสอบการเจือนแบบพลวัตด้วยรีโอมิเตอร์ (Dynamic Shear Rheometer)

การทดสอบการเจือนแบบพลวัตด้วยรีโอมิเตอร์ใช้ในการทดสอบแอสฟัลต์เชื่อมประสาน และวัดคุณสมบัติด้านการไหล รวมไปถึงค่าโมดูลัสเจือนเชิงช้อน (G^*) และค่ามูมเฟส (δ) ที่ อุณหภูมิปานกลางถึงอุณหภูมิสูง ค่าพารามิเตอร์เหล่านี้สามารถใช้ได้กับทั้งพฤติกรรมแบบยืดหยุ่น และแบบหนืดของแอสฟัลต์เชื่อมประสาน โดยค่าโมดูลัสเจือนเชิงช้อนคือการวัดค่าของแรง

ต้านทานต่อการเสียรูปทั้งหมดของวัสดุเมื่อถูกความเครื่องเนื่องจากทำ ส่วนค่ามูฟเฟสจะใช้เป็นตัววัดความสัมพันธ์ด้านบริมาณขององค์ประกอบที่เป็นส่วนหนึ่งกับส่วนยืดหยุ่นของแอสฟัลต์ซึ่งมีผลต่อประสาน



รูปที่ 2.18 ไนามิกเซิร์ฟิโอมิเตอร์ (<http://www.asphaltinstitute.org>)

2.11 การเปรียบเทียบความสอดคล้องของข้อกำหนดแอสฟัลต์เกรดต่างๆ

จากการเปรียบเทียบข้อกำหนดแอสฟัลต์ซีเมนต์ประเภทเกรดความหนืดและเกรดการเจาะลึกพบว่าข้อกำหนดทั้งสองประเภทได้กำหนดให้ทดสอบแอสฟัลต์ซีเมนต์ด้วยวิธีต่างๆ ที่คล้ายคลึงกันหลายรายการทดสอบ หนึ่งในการทดสอบที่กำหนดให้ทดสอบเหมือนกัน คือ การทดสอบค่าการเจาะลึก เมื่อทำการเปรียบเทียบค่าการเจาะลึกในข้อกำหนดทั้งสองจะได้ดังตารางที่ 2.2

ตารางที่ 2.2 ค่าการเจาะลึกของแอสฟัลต์ซีเมนต์แต่ละข้อกำหนด

ประเภทแอสฟัลต์ซีเมนต์	ค่าการเจาะลึก (เพน)				
	40-50	60-70	85-100	120-150	200-300
เกรดการเจาะลึก (Penetration Graded)	AC 40-50	AC 60-70	AC 85-100	AC 120-150	AC 200-300
เกรดความหนืด (Viscosity Graded)	AC-40	AC-20	AC-10	AC-5	AC-2.5

ส่วนข้อกำหนดแอกซ์พ्ल็อกซ์ที่มีประสานเกรดสมรรถนะนั้นใช้วิธีในการทดสอบที่แตกต่าง
จากไปจากข้อกำหนดเกรดความหนืดและเกรดการเจาะลึกจึงไม่สามารถนำมาเปรียบเทียบ
ความสัมพันธ์กันได้ ดังนั้นหากต้องการทำการทำเปรียบเทียบหากความสัมพันธ์ระหว่างข้อกำหนด
เกรดการเจาะลึก ข้อกำหนดเกรดความหนืด และข้อกำหนดเกรดสมรรถนะต้องทำการทดสอบโดย
ควบคุุมให้มีการทดสอบที่เหมือนกัน เช่น การทดสอบความหนืด เป็นต้น

2.12 มวลรวม (Aggregate)

มวลรวม หมายถึง วัสดุที่แข็งและเนื้อย ใช้สำหรับผสมมีลักษณะเป็นก้อนหรือชิ้นเล็กๆ
โดย ASTM D 8 นิยามว่ามวลรวม คือ วัสดุที่เกิดจากการรวมตัวกันของเรือธาตุ เช่น ทราย (Sand)
กรวด (Gravel) หินย่อย (Crushed Rock) กากระถุงหรือตะกรันเหล็ก (slag) ซึ่งมวลรวมเป็นวัสดุ
หลักในการก่อสร้างผิวทางแบบยึดหยุ่นและผิวทางแบบแข็งเกร็ง วัสดุผสมแอกซ์พ्ल็อกซ์ที่ใช้ก่อสร้าง
ถนนผิวทางแบบยึดหยุ่น โดยทั่วไปประกอบด้วยมวลรวมร้อยละ 90 ถึงร้อยละ 95 โดยน้ำหนัก
หรือ ร้อยละ 75 ถึงร้อยละ 85 โดยปริมาตร ซึ่งมวลรวมมีหน้าที่สำคัญในการรองรับน้ำหนักบริทุก
ของโครงสร้างถนน และมีอิทธิพลโดยตรงต่อสมรรถนะของส่วนผสมแอกซ์พ์ล็อกซ์ผสมร้อน



รูปที่ 2.19 มวลรวม (<http://www.anchsand.com>)

มวลรวมมีต้นกำเนิดจากหิน โดยทั่วไปสามารถแบ่งออกเป็น 3 ประเภท ได้แก่ หินชั้น (Sedimentary rock) เกิดจากการรวมตัวของตะกอนที่ทับถมกัน ซึ่งเคลื่อนที่จากการถูกพัดพาโดย
น้ำลม ได้แก่ หินปูน (Limestone) และหินทราย (Sandstone) เป็นต้น หินอัคนี (Igneous rock)
เกิดจากการเย็นตัวและแข็งตัวของวัสดุหลอมเหลวที่เรียกว่า แมกมา (Magma) ซึ่งขัดตัวอยู่ภายใต้

เปลือกโลกแล้วปะทุขึ้นมาตามรอยแตกของผิวโลก เช่น หินแกรนิต (Granite) เป็นต้น หินแปร (Metamorphic rock) เกิดจากการเปลี่ยนสภาพของหินอัคนีและหินชั้น โดยอาศัยความกดดันสูงจากการเคลื่อนตัวอย่างรุนแรงของโลก มีความร้อนเป็นปัจจัยในการแปรสภาพ เช่น หินอ่อน (Marble) ซึ่งแปรสภาพมาจากหินปูน และหินควอตไชต์ (Quartzite) ที่แปรสภาพมาจากหินทราย เป็นต้น

มวลรวมที่ใช้ในปัจจุบันมากจากหินหลายแหล่ง ได้แก่ มวลรวมธรรมชาติ เรียกว่า มวลรวมจากบ่อ (Pit or Bank-Run materials) เช่น กรวด ทราย ที่ได้จากการกัดเซาะและพัดพาของน้ำหรือลม มวลรวมที่ได้จากการผลิต (Processed aggregates) คือ มวลรวมที่ได้มาจากการระเบิดหินภูเขา และนำมารบดให้ได้ขนาดต่างๆ และมวลรวมสังเคราะห์ (Artificial aggregates) คือ มวลรวมที่ได้จากการเปลี่ยนแปลงทางกายภาพและทางเคมี เช่น การถลุงแร่จะได้ผลผลอยได้เป็น ตะกรัน นำมาบดโดยใช้แท่นหินได้

มวลรวมสามารถแบ่งด้วยขนาดของอนุภาคออกเป็น 2 ประเภท ได้แก่

1. มวลรวมหยาบ (Coarse aggregate) คือ วัสดุที่มีขนาดใหญ่กว่า 4.75 มิลลิเมตร (ค้างอยู่บนตะแกรงมาตรฐานเบอร์ 4) ได้แก่ กรวด หินย่อยหรือหินไม่ เป็นต้น
2. มวลรวมละเอียด (Fine aggregate) คือ วัสดุที่มีขนาดเล็กกว่า 4.75 มิลลิเมตร (ผ่านตะแกรงมาตรฐานเบอร์ 4) แต่ไม่เล็กกว่า 0.075 มิลลิเมตร (ค้างอยู่บนตะแกรงมาตรฐานเบอร์ 200) ได้แก่ ทราย ผุ่น เป็นต้น

2.12.1 คุณสมบัติของมวลรวมสำหรับแอสฟัลต์ผสมร้อน

จากหนังสือ “The Aggregate Handbook” ได้กล่าวถึงความเกี่ยวข้องของมวลรวมที่มีต่อแอสฟัลต์ผสมร้อนไว้ว่า มวลรวมในคุณภาพต้องมีขนาดอนุภาคและขนาดคละที่เหมาะสม มีความแข็งแรง ทนทานรวมถึงต้องประกอบด้วยอนุภาคลักษณะใกล้เคียงรูปปูรูบากาศที่มีความพูนค่อนข้างต่ำ ผิวของมวลรวมต้องสะอาด ขาวะ และยึดติดแอสฟัลต์ได้ดีกว่า น้ำ อย่างไรก็ตามมวลรวมที่มีคุณภาพดีหรือมีคุณสมบัติที่เหมาะสมจะถูกเลือกมาใช้เป็นวัสดุมวลรวมทำผิวทางแอสฟัลต์ แต่ทั้งนี้ก็ขึ้นอยู่กับการใช้งานและต้นทุนของวัสดุสำหรับชนิดของการก่อสร้างอีกด้วย

ความเหมาะสมของมวลรวมสำหรับการก่อสร้างผิวทางแอสฟัลต์ โดยทั่วไปจะตัดสินใจจากการประเมินวัสดุตามลักษณะต่างๆดังต่อไปนี้

1. ขนาดและการคละขนาด (Size and Grading) เป็นสองคุณสมบัติที่สำคัญของมวลรวม ASTM D 8 ได้定หมายขนาดโตสุด (Maximum size) ไว้ว่าเป็นตะแกรงขนาดเล็กที่สุดที่มวลรวม

ห้องทดสอบผ่านไปได้ ส่วนขนาดเรียกว่า (Nominal maximum size) AASHTO MP 323 ได้ให้คำนิยามว่าเป็นขนาดตะแกรงที่ใหญ่กว่าตะแกรงที่มีรัศดคั่งมากกว่าร้อยละ 10 ครั้งแรก 1 เบอร์สำหรับการทำพิวทางให้มีผลลัพธ์ดีความหนาของชั้นแอสฟัลต์ผสมร้อน (HMA) ควรจะหนาอย่างน้อย 2 ถึง 2.5 เท่าของขนาดโถสูดในการผสม หรืออย่างน้อย 3 ถึง 4 เท่าของขนาดเรียกว่า

การคละขนาด (Grading) เป็นการกระจายของขนาดอนุภาคหลากหลายขนาด การคละขนาดโดยทั่วไปจะทำโดยการวิเคราะห์ตะแกรงแบบเบี้ยก (Washed sieve analysis) และการวิเคราะห์ตะแกรงแบบแห้ง (Dry sieve analysis) ตามมาตรฐานของ ASTM C 136 (AASHTO T 27) ตัวอย่างเช่นของขนาดคละแบบต่างๆ ได้แก่ ขนาดคละแน่น (Dense-Graded) ขนาดคละโปร่ง (Open-Graded) และเรียงข้ามขนาดคละ (Gap-Graded) เป็นต้น

2. ความต้านทานต่อแรงกระแทกและแรงขัดสี (Impact and abrasion) ความสามารถในการต้านทานต่อแรงกระแทกและการขัดสีของมวลรวม เป็นคุณสมบัติที่สามารถใช้เป็นตัวชี้บอกรถึงคุณภาพของมวลรวม และมีความสำคัญมากสำหรับมวลรวมที่ใช้ผลิตพิวทางแอสฟัลต์ที่ต้องรับแรงกระแทกหรือการขัดสี เช่น พื้นถนน และพื้นสนามบิน เป็นต้น ดังนั้น ดังนั้นมวลรวมจะต้องมีความทนทานต่อการขัดสีได้ ซึ่งมวลรวมที่สัมผัสกับล้อรถโดยตรงจะต้องมีความทนทานสูงกว่าส่วนที่ไม่ได้สัมผัสกับล้อรถโดยตรง การทดสอบความต้านทานต่อแรงขัดสีของมวลรวม ได้แก่ การทดสอบความสึกหรอของมวลรวม (Los Angeles Abrasion Test) ตามมาตรฐาน AASHTO T 96 (ASTM C 131)

3. รูปร่างและลักษณะผิว (Particle shape and surface texture) รูปร่างของมวลรวมมีผลต่อความสามารถในการรับน้ำหนักและความต้านทานต่อการเสื่อมสภาพ ดังนั้นการเลือกใช้มวลรวมทำแอสฟัลต์คอนกรีตควรเลือกมวลรวมที่มีเหลี่ยมมุมสมกับมวลรวมที่มีลักษณะกลม เพราะมวลรวมที่มีเหลี่ยมมุมจะทำหน้าที่รับแรง ส่วนมวลรวมที่มีลักษณะกลมจะเป็นตัวสนานที่ดีทำให้พิวทางสามารถรับแรงได้ดีและมีความคงทน ส่วนลักษณะผิวจะส่งผลต่อด้านกำลัง โดยทั่วไปการเลือกวัสดุมวลรวมเป็นส่วนผสมทำแอสฟัลต์คอนกรีต จะให้ความสำคัญต่อลักษณะผิวน้ำมากกว่ารูปร่างของมวลรวม เพราะแอสฟัลต์จะเกาะยึดแน่นกับมวลรวมผิวชุขระได้ดีกว่ามวลรวมผิวเรียบ

4. โครงสร้างของว่าง ความพรุนและการดูดซึม (Pore structure, Porosity, Absorption) โครงสร้างของว่างของมวลรวม คือ ลักษณะและรูปร่างภายในของช่องว่างในอนุภาคมวลรวม ซึ่งช่องว่างที่ติดต่อกันและเปิดสู่ผิวนอกของอนุภาคจะส่งผลให้มวลรวมมีความสามารถในการซึมน้ำได้สูง ในทางกลับกันช่องว่างที่แยกออกจากกันหรือไม่ติดเนื่องกันจะมีความสามารถในการซึมน้ำได้ต่ำ

ความพรุน คือ ปริมาตรทั้งหมดของซ่องว่างในอนุภาคมวลรวม อนุภาคที่มีความพรุนสูงกว่าจะมีกำลัง ความหนาแน่น และความถ่วงจำเพาะต่ำกว่า การดูดซึม คือ การดูดซึ่งเหลวเข้าไปในซ่องว่างของมวลรวม แต่ไม่ได้หมายความว่ามวลรวมที่มีความพรุนสูงจะมีการดูดซึมมากตามไปด้วยถ้าซ่องว่างส่วนมากมีความสามารถในการซึมน้ำได้ต่ำ อย่างไรก็ตามมวลรวมที่มีการดูดซึมสูงแสดงได้ว่ามีปริมาตรของซ่องว่างที่สามารถซึมน้ำได้ใหญ่

การทดสอบหากการดูดซึมแอสฟัลต์ของมวลรวมหยาบจะทำการทดสอบตามมาตรฐาน AASHTO T 85 (ASTM C 127) ส่วนการทดสอบหากการดูดซึมแอสฟัลต์ของมวลรวมละเอียดจะทำการทดสอบตามมาตรฐาน AASHTO T 84 (ASTM C 128) ในการทดสอบนี้จะแสดงผลการดูดซึมในรูปปริมาณน้ำที่ซึมน้ำได้เข้าไปในซ่องว่างเป็นร้อยละของน้ำหนักทั้งหมดของมวลรวมแห้ง ไม่คิดปริมาณน้ำที่ผิวของมวลรวม

5. ความถ่วงจำเพาะ (Specific gravity) คือ อัตราส่วนระหว่างความหนาแน่นของมวลรวมต่อความหนาแน่นของน้ำที่อุณหภูมิ 23 องศาเซลเซียส คุณสมบัตินี้ถูกใช้ในการคำนวณปริมาตรซ่องว่างเป็นตัวแรก รวมไปถึงความถ่วงจำเพาะรวม (Bulk specific gravity) จะถูกใช้ในการคำนวณปรับแก้ปริมาณของมวลรวมที่เป็นองค์ประกอบในแอสฟัลต์ผสมร้อน ความถ่วงจำเพาะที่ยอมรับกันทั่วไปของมวลรวมแบ่งออกเป็น 3 ประเภท ได้แก่ ความถ่วงจำเพาะปรากฏ (Apparent specific gravity) ความถ่วงจำเพาะรวม (Bulk specific gravity) และความถ่วงจำเพาะประสิทธิผล (Effective specific gravity) ซึ่งความถ่วงจำเพาะขึ้นอยู่กับคุณสมบัติของแร่ธาตุที่เป็นองค์ประกอบของมวลรวม และรูปรูนภายในอนุภาคมวลรวม

อุปกรณ์และกระบวนการในการหาความถ่วงจำเพาะรวมและความถ่วงจำเพาะปรากฏของมวลรวมหยาบจะทำการทดสอบตามมาตรฐาน AASHTO T 85 (ASTM C 127) ส่วนของมวลรวมละเอียดจะเป็นไปตามมาตรฐาน AASHTO T 84 (ASTM C 128) ส่วนการหาความถ่วงจำเพาะประสิทธิผลของมวลรวมจะใช้ข้อมูลที่ได้จากการหาความถ่วงจำเพาะสูงสุดของส่วนผสมแอสฟัลต์ตามมาตรฐาน (ASTM D 2041)

6. ความต้านทานต่อสภาพอากาศ (Weathering resistance) ความต้านทานต่อการเปลี่ยนแปลงสภาพอากาศ เป็นคุณสมบัติที่มีความสัมพันธ์กับความพรุนและอำนาจการดูดซึมของมวลรวม มวลรวมจะต้องมีความคงทนต่อการเปลี่ยนแปลงสภาพอากาศโดยไม่แตกตัวออกจากกัน คือ มวลรวมต้องมีรูพรุนพอที่จะดูดซึมน้ำและมีช่องว่างพอที่จะให้น้ำขยายตัวได้ในอากาศหนาว เพริ่งกว่าขยายตัวของน้ำจะทำให้ผิวทางแอสฟัลต์เกิดการแตกร้าวได้ การทดสอบความต้านทานต่อสภาพอากาศจะใช้สารละลายโซเดียมซัลเฟต (Sodium sulfate) เพื่อหาเบอร์เซ็นต์การละลาย

หายไปของมวลรวมแต่ละขนาดโดยเทียบกับน้ำหนักก่อนการทดสอบตามมาตรฐาน AASHTO T 104 (ASTM C 88)

2.13 แอสฟัลต์ผสมร้อน (Hot Mix Asphalt, HMA)

แอสฟัลต์ผสมร้อนประกอบด้วยการรวมกันของมวลรวมและแอสฟัลต์ซีเมนต์ ซึ่งมวลรวมต้องแห้งและแอสฟัลต์ซีเมนต์ต้องมีความเหลาเพียงพอสำหรับการผสมและการใช้งาน เพราะฉะนั้นต้องให้ความร้อนแก่มวลรวมและแอสฟัลต์ก่อนที่จะนำมาผสม จึงเรียกว่าการผสมร้อน การออกแบบแอสฟัลต์ผสมร้อนประกอบด้วย 3 ขั้นตอน ได้แก่ การเลือกชนิดและขนาดคละของมวลรวม การเลือกชนิดและเกรดของแอสฟัลต์เขื่อมประสาน การเลือกบริมาณของแอสฟัลต์เขื่อมประสานที่ใช้ในการผสมเพื่อให้ผ่านข้อกำหนด

มวลรวมที่ใช้เป็นสัดส่วนในการผลิตแอสฟัลต์ผสมร้อนนั้นมีขนาดคละเป็นช่วงกว้าง ทำให้แต่ละขนาดคละที่เลือกใช้มีลักษณะเฉพาะที่เหมาะสมกับข้อกำหนดในการออกแบบและการก่อสร้างแตกต่างกัน ซึ่งสามารถแบ่งแอสฟัลต์ผสมร้อนตามขนาดคละของมวลรวมที่เลือกใช้ได้ 3 ประเภท

1. แอสฟัลต์ผสมร้อนประเภทแน่น (Dense-Graded HMA) แอสฟัลติกคอนกรีตเป็นหนึ่งในชนิดของการผสมร้อนที่มีข้อกำหนดที่เข้มงวด ซึ่งแอสฟัลติกคอนกรีตต้องมีคุณภาพสูง จึงต้องควบคุมการผสมแอสฟัลต์ซีเมนต์กับมวลรวมที่มีขนาดคละดีและคุณภาพสูงอย่างระมัดระวัง ตลอดจนแอสฟัลติกคอนกรีตที่ได้หลังการบดอัดต้องมีความหนาแน่นสูงสม่ำเสมอตลอดทั้งก้อน



รูปที่ 2.20 แอสฟัลต์ผสมร้อนประเภทแน่น (Dense-graded hot mix asphalt)

(<http://www.asphaltwa.com>)

2. เอสฟ์ล็อกซ์สมร้อนแบบเกรดเปิด (Open-Graded HMA) ชั้นทางเกรดเปิดเป็นส่วนผสมของเอสฟ์ล็อกซ์สมร้อนที่ออกแบบให้มีปริมาตรซึ่งกว่าทางอากาศขนาดใหญ่ ดังนั้นจะสามารถระบายน้ำผ่านชั้นทางนี้ไปได้ ซึ่งจะถูกใช้เป็นชั้นผิวทางรับแรงเสียดทานเกรดเปิดเพื่อที่จะให้ผิวทางมีความต้านทานต่อการขัดสีและใช้เป็นชั้นพื้นทางพูนสำหรับการระบายน้ำโดยจะอยู่ต่ำกว่าชั้นผิวทางที่เป็นเอสฟ์ล็อกซ์สมร้อนหรือคอนกรีต

3. Stone Matrix Asphalt (SMA) เป็นเอสฟ์ล็อกซ์สมร้อนที่มีปริมาณมวลรวมหยาบปริมาณเอสฟ์ล็อกซ์ และปริมาณแร่เติมเต็มสูง ผลลัพธ์ที่ได้จากการผสมคือ หินแต่ละก้อนสามารถสัมผัสน์และสามารถต้านทานการเกิดร่องล้อได้ดี

2.13.1 การพิจารณาคุณสมบัติที่ต้องการสำหรับการออกแบบส่วนผสม

การที่จะสร้างผิวทางเอสฟ์ล็อกซ์สมร้อนที่ดี ต้องมีการออกแบบ ผลิตและก่อสร้างให้ได้คุณสมบัติที่แน่นอนตามที่ต้องการ ซึ่งคุณสมบัติของผิวทางที่ต้องการ ได้แก่ ความต้านทานต่อการเสียรูปแบบตาม ความต้านทานต่อการล้า ความต้านทานต่อการแตกร้าวที่อุณหภูมิต่ำ ความต้านทานต่อความชื้น ความหนาแนน ความต้านทานต่อการขัดสีและความสามารถในการใช้งาน

เป้าหมายที่สำคัญที่สุดในการออกแบบส่วนผสมเอสฟ์ล็อกซ์สมร้อนคือ การเลือกปริมาณเอสฟ์ล็อกซ์ที่จะทำให้ได้วับความสมดุลระหว่างคุณสมบัติทั้งหลายที่กล่าวมาข้างต้น เพราะไม่มีปริมาณเอสฟ์ล็อกซ์ใดที่สามารถทำให้ได้คุณสมบัติที่ดีที่สุดทุกประการ ดังนั้นปริมาณเอสฟ์ล็อกซ์ที่เลือกใช้ในการผสมจะต้องเลือกโดยอยู่ในพื้นฐานของคุณสมบัติที่จำเป็นสำหรับข้อกำหนดในแต่ละสภาพการณ์

2.13.2 พฤติกรรมของส่วนผสมเอสฟ์ล็อกซ์สมร้อน

ตัวอย่างส่วนผสมผิวทางที่ถูกเตรียมขึ้นในห้องปฏิบัติการสามารถนำมาวิเคราะห์หาสมรรถนะที่น่าจะเป็นไปได้เมื่อนำไปใช้เป็นโครงสร้างผิวทาง โดยการวิเคราะห์จะเน้นที่ลักษณะเฉพาะของส่วนผสม 5 ประการ ได้แก่ ความหนาแน่นของส่วนผสม (Mix density) ซึ่งว่างอากาศ (Air-voids) ซึ่งกว่าจะห่างอนุภาคของมวลรวม (Voids in the mineral aggregate) ซึ่งกว่าที่ถูกเติมเต็มด้วยเอสฟ์ล็อกซ์ (Voids fill with asphalt) และปริมาณเอสฟ์ล็อกซ์ (Asphalt content) นอกจากนั้นการวิเคราะห์จะเน้นไปที่อิทธิพลของลักษณะเฉพาะเหล่านี้ที่อาจส่งผลต่อพฤติกรรมของส่วนผสม

ความหนาแน่นของส่วนผสม (Mix density)

ความหนาแน่นของส่วนผสมที่ถูกบดอัด คือ หน่วยน้ำหนักของส่วนผสมที่ถูกบดอัดหรือน้ำหนักของปริมาตรจำเพาะของส่วนผสม หน่วยน้ำหนักที่มีค่าต่ำมากจะเกี่ยวเนื่องกับมวลรวมที่มีคุณภาพต่ำซึ่งจะนำไปสู่ปัญหาทางด้านสมรรถนะของผิวทางที่อาจเกิดขึ้น

ในการทดสอบและการวิเคราะห์การอัดแบบส่วนผสม ความหนาแน่นของตัวอย่างที่ถูกบดอัดแล้วจะแสดงในหน่วยกิโลกรัมต่อลูกบาศก์เมตร (kg/m^3) ซึ่งคำนวนจากผลคูณระหว่างความถ่วงจำเพาะรวมของส่วนผสมกับความหนาแน่นของน้ำ

ช่องว่างอากาศ (Air-voids)

ช่องว่างอากาศ คือ ช่องว่างที่เก็บอากาศขนาดเล็กระหว่างอนุภาคมวลรวมที่ถูกเคลือบด้วยแอกسفัลต์ในแอกسفัลต์ผสมร้อนที่บดอัดเรียบร้อยแล้ว ช่องว่างอากาศนี้มีความจำเป็นสำหรับแอกسفัลต์ผสมร้อนที่นำไปใช้งานเพื่อร้องรับน้ำหนักจากการจราจรที่มีสูงมากและรองรับการขยายตัวของแอกسفัลต์เนื่องมาจากการเพิ่มขึ้นของอุณหภูมิ โดยทั่วไประดับของช่องว่างอากาศที่ถูกใช้สำหรับการอัดแบบแอกسفัลต์ผสมร้อนคือร้อยละ 4

ความหนาแน่นของผิวทางแอกسفัลต์คอนกรีตยังขึ้นอยู่กับปริมาณช่องว่างอากาศของผิวทางแอกسفัลต์ผสมร้อนในที่อิกด้วย ปริมาณช่องว่างอากาศที่มากเกินไปน้ำจะออกอากาศจะสามารถเข้าไปสร้างความเสียหายได้ง่าย ส่วนปริมาณช่องว่างอากาศที่น้อยเกินไปจะนำไปสู่การหลุดพังหรือการเยิ้มตัวของแอกسفัลต์ในส่วนผสม

ความหนาแน่นกับปริมาณช่องว่างอากาศจะมีความสัมพันธ์กันแบบแปรผกผัน คือ ถ้าความหนาแน่นมีค่าสูงปริมาณช่องว่างอากาศจะมีค่าต่ำ

ช่องว่างระหว่างอนุภาคของมวลรวม (Voids in the mineral aggregate)

ช่องว่างระหว่างอนุภาคของมวลรวมเป็นช่องว่างที่อยู่ระหว่างอนุภาคของมวลรวมที่อยู่ติดกันในส่วนผสมผิวทางที่ถูกบดอัดแล้ว โดยช่องว่างระหว่างอนุภาคของมวลรวมจะประกอบไปด้วยช่องว่างอากาศและช่องว่างที่ถูกเติมเต็มด้วยแอกسفัลต์ ซึ่งเป็นการวัดเชิงปริมาตรแสดงเป็นร้อยละของปริมาตรห้องทรงดของส่วนผสมที่บดอัดแล้ว

ช่องว่างระหว่างอนุภาคของมวลรวมแสดงถึงช่องว่างที่สามารถบรรจุปริมาตรประสีทธิผลของแอกسفัลต์และปริมาตรของช่องว่างอากาศที่จำเป็นในส่วนผสม ถ้าช่องว่างระหว่างอนุภาคของมวลรวมมีค่ามากก็จะมีพื้นผิวให้แอกسفัลต์เคลือบตัวได้มาก จะทำให้ความหนาแน่นของส่วนผสมมากขึ้นตามไปด้วย ดังนั้นข้อกำหนดจำเพาะขั้นต่ำของช่องว่างระหว่างอนุภาคของมวลรวมจะถูก

แนะนำและกำหนดเป็นพิรุณกับขนาดของมวลรวม เพื่อให้มีพื้นที่สำหรับแอสฟัลต์ในการเคลือบ
มวลรวมมากเพียงพอ

ช่องว่างที่ถูกเติมเต็มด้วยแอสฟัลต์ (Voids filled with asphalt)

เป็นสัดส่วนของช่องว่างระหว่างอนุภาคของมวลรวมที่บรรจุแอสฟัลต์ไว้ ซึ่งจะนำมาใช้ใน
การรับรองความหนาของแอสฟัลต์ที่เคลือบมวลรวมในส่วนผสม ถ้ามีค่าน้อยเกินไปส่วนผสมจะมี
ความหนานานต่อ แต่ถ้ามีค่ามากเกินไปส่วนผสมก็จะขาดเสียร้าบ ปริมาณการจราจรสูงจะ
ต้องการช่องว่างที่ถูกเติมเต็มด้วยแอสฟัลต์ต่อ เพราะกำลังและเสถียรภาพของส่วนผสมจะมีค่ามาก
ส่วนปริมาณการจราจรต่อจะต้องการช่องว่างที่ถูกเติมเต็มด้วยแอสฟัลต์สูงเพื่อเพิ่มความหนาน
ให้แก่แอสฟัลต์ผสมร้อน

ปริมาณแอสฟัลต์ (Asphalt content)

ปริมาณแอสฟัลต์เป็นค่าที่สำคัญที่สุดในส่วนผสม จึงต้องคำนวณอย่างถูกต้องใน
ห้องปฏิบัติการและต้องมีการควบคุมอย่างแม่นยำเมื่อนำไปใช้งานจริง ปริมาณแอสฟัลต์สำหรับแต่
ละส่วนผสมจะถูกกำหนดด้วยเกณฑ์เฉพาะสำหรับแต่ละวิธีการออกแบบ

ปริมาณแอสฟัลต์ที่เหมาะสมที่สุดของส่วนผสมจะขึ้นอยู่กับลักษณะเฉพาะของมวลรวม
เช่น ขนาดคละและการดูดซึม เป็นต้น โดยขนาดคละของส่วนผสมที่จะเอียดกว่าจะมีพื้นที่ผิว
มากกว่าทำให้ต้องการปริมาณแอสฟัลต์ในการเคลือบมวลรวมมากกว่า ส่วนการดูดซึมของมวล
รวมเป็นค่าวิกฤตในการหาปริมาณแอสฟัลต์ที่เหมาะสม เพราะปริมาณแอสฟัลต์ในการผสม
นอกจากจะต้องคำนวณจากปริมาณแอสฟัลต์ที่ใช้ในการเคลือบมวลรวมแล้ว ยังต้องเพื่อไว้สำหรับ
ปริมาณแอสฟัลต์ที่จะถูกมวลรวมดูดซึมเข้าไปอีกด้วย

ในเทคโนโลยีแอสฟัลต์ผสมร้อนมีค่าที่ใช้ในการแสดงปริมาณของแอสฟัลต์อยู่ 2 คำ ได้แก่
ปริมาณแอสฟัลต์ทั้งหมด (Total asphalt content) คือ ปริมาณแอสฟัลต์ที่ต้องใช้ในการผลิต
ส่วนผสมเพื่อให้ได้คุณภาพตามที่ปรากฏ และปริมาณแอสฟัลต์ประสิทธิผล (Effective asphalt
content) ที่ขึ้นอยู่กับปริมาตรของแอสฟัลต์ที่ไม่ได้ถูกดูดซึมโดยมวลรวม ซึ่งจะคำนวณจากปริมาณ
แอสฟัลต์ทั้งหมดลบด้วยปริมาณแอสฟัลต์ที่ถูกดูดซึม

2.14 การออกแบบแอสฟัลต์ผสมร้อนด้วยวิธีมาร์เซล (Marshall HMA Mix Design System)

การออกแบบด้วยวิธีมาร์เซลโดยทั่วไปจะใช้ในการผลิตส่วนผสมพิวทางแอสฟัลต์ผสมร้อนประเภทแน่น (Dense-graded HMA paving mixture) โดยการใช้แอสฟัลต์ผสมกับมวลรวมที่มีขนาดโต๊ะสุด 25 มิลลิเมตรหรือเล็กกว่า วิธีมาร์เซลถูกใช้ทั้งการออกแบบแบบในห้องปฏิบัติการและการควบคุมคุณภาพของพิวทางแอสฟัลต์ผสมร้อน

วิธีมาร์เซลจะใช้ตัวอย่างทรงกระบวนการมาตรฐานเส้นผ่านศูนย์กลาง 102 มิลลิเมตรสูง 64 มิลลิเมตร การเตรียมตัวอย่างจะเป็นไปตามกระบวนการที่กำหนด ได้แก่ การให้ความร้อน การผสม และการบดอัดส่วนผสม ซึ่งตัวอย่างจะถูกบดอัดด้วยค้อนบดอัดแบบมาร์เซล จากนั้นนำไปทดสอบด้วยเครื่องทดสอบเสถียรภาพ (Stability) และการไหล (Flow) แบบมาร์เซล ลักษณะเด่นสองประการของวิธีมาร์เซลในการออกแบบส่วนผสม คือ การวิเคราะห์ความสัมพันธ์ระหว่างความแน่นกับช่องว่าง และการทดสอบเสถียรภาพกับการไหลของตัวอย่างที่ถูกบดอัด

เสถียรภาพของตัวอย่างที่ใช้ในการทดสอบ คือ ความต้านทานต่อแรงกระทำสูงสุดของตัวอย่างในการทดสอบมาตรฐานที่อุณหภูมิ 60 องศาเซลเซียส ส่วนค่าการไหล คือ การเคลื่อนตัวหรือความเครียดทั้งหมดที่เกิดขึ้นในตัวอย่างระหว่างไม่มีแรงกระทำและมีแรงกระทำสูงสุดในช่วงการทดสอบเสถียรภาพ

กระบวนการออกแบบส่วนผสมด้วยวิธีมาร์เซลประกอบด้วย 3 ขั้นตอนหลักๆ ดังนี้

- การเลือกมวลรวม ผู้ออกแบบต้องรับรองว่ามวลรวมผ่านข้อกำหนดทางกายภาพจากนั้นนำมวลรวมไปทดสอบโดยต้องผ่านข้อกำหนดขนาดคละและขนาดของมวลรวม
- การเลือกแอสฟัลต์เชื่อมประสาน ผู้ออกแบบต้องเลือกแอสฟัลต์ที่ใช้ในการผสมบนพื้นฐานกระบวนการที่กล่าวในเรื่องแอสฟัลต์ข้างต้น
- การผลิตตัวอย่างที่ใช้ในการทดสอบด้วยส่วนผสมเฉพาะหรือขนาดคละของมวลรวม ตัวอย่างจะถูกเตรียมด้วยปริมาณแอสฟัลต์ที่แตกต่างกันประมาณร้อยละ 0.5 ของน้ำหนักรวม ซึ่งทำให้ได้กราฟโค้งความสัมพันธ์ทำให้ทราบปริมาณแอสฟัลต์ที่เหมาะสมที่สุดในการผสมตัวอย่าง

การออกแบบโดยทั่วไปจะคำนวนหาปริมาณแอสฟัลต์ที่ทำให้ได้ช่องว่างอากาศประมาณร้อยละ 4 จากนั้นจะนำตัวอย่างไปทดสอบหาค่าสำหรับวิธีมาร์เซล คือ ค่าเสถียรภาพ ค่าการไหล ค่าช่องว่างระหว่างมวลรวม และค่าช่องว่างที่ถูกเติมเต็มด้วยแอสฟัลต์ ค่าต่างๆ เหล่านี้ต้องผ่านเกณฑ์การออกแบบส่วนผสมตามวิธีมาร์เซล ซึ่งการออกแบบส่วนผสมไม่ควรจะออกแบบเน้นไปที่คุณสมบัติเพียงอย่างเดียวควรจะออกแบบให้ผ่านเกณฑ์ข้อกำหนดทุกคุณสมบัติและมีความคุ้มค่าทางเศรษฐศาสตร์สูงที่สุด

ตารางที่ 2.3 เกณฑ์การออกแบบด้วยวิธีมาร์แซล (ข้างอิงจาก Asphalt Institute, 2007)

Mix Criteria	Light Traffic ($< 10^4$ ESALs)		Medium Traffic ($10^4 - 10^6$ ESALs)		Heavy Traffic ($> 10^6$ ESALs)	
	Min.	Max.	Min.	Max.	Min.	Max.
Compaction (number of blows on each end of specimen)	-	35	-	50	-	75
Stability	3336 N	-	5338 N	-	8006 N	-
Flow (0.25 mm (0.01 inch))	8	18	8	16	8	14
Percent Air Voids	3	5	3	5	3	5
Percent Voids Filled With Asphalt (VFA)	70	80	65	78	65	76
Percent Voids In Mineral Aggregate (VMA)	ดูตารางที่ 2.3					

ตารางที่ 2.4 เกณฑ์การออกแบบด้วยวิธีมาร์แซล (ข้างอิงจาก Asphalt Institute, 1979)

Nominal Maximum Particle Size		Minimum VMA (percent)
(mm)	(U.S.)	
63	2.5 inch	11
50	2.0 inch	11.5
37.5	1.5 inch	12
25.0	1.0 inch	13
19.0	0.75 inch	14
12.5	0.5 inch	15
9.5	0.375 inch	16
4.75	No. 4 sieve	18
2.36	No. 8 sieve	21
1.18	No. 16 sieve	23.5

2.15 การออกแบบแอสฟัลต์ผสมร้อนด้วยวิธีชุบเปลอร์เพฟ (Superpave HMA Mix Design System)

การออกแบบแอสฟัลต์ผสมร้อนด้วยวิธีชุบเปลอร์เพฟถูกพัฒนาขึ้นเพื่อใช้เป็นคู่มือของวิศวกรและผู้รับเหมาในการปรับปรุงสมรรถนะของผิวทางแอสฟัลต์ผสมร้อนที่ต้องใช้ในการรองรับปริมาณจราจรและอุณหภูมิที่สูงขึ้นในปัจจุบัน ซึ่งการออกแบบด้วยระบบชุบเปลอร์เพฟนี้ได้ทำการปรับปรุงการออกแบบเดิม 2 องค์ประกอบที่สัมพันธ์กัน ได้แก่ ข้อกำหนดแอสฟัลต์เชื่อมประสาน และระบบการวิเคราะห์และการออกแบบส่วนผสม โดยขั้นตอนที่ใช้ในการออกแบบส่วนผสมด้วยระบบชุบเปลอร์เพฟมีดังต่อไปนี้

1. การเลือกวัสดุที่ผ่านเกณฑ์ข้อกำหนดการออกแบบ ได้แก่ แอสฟัลต์ และมวลรวม
2. การพัฒนาทดลองผสมมวลรวมหลายชนิดให้ผ่านเกณฑ์ข้อกำหนดขนาดคละระบบชุบเปลอร์เพฟ
3. การทดสอบแอสฟัลต์เชื่อมประสานกับมวลรวม ในขั้นตอนที่ 2 และการวิเคราะห์คุณภาพของส่วนผสมด้วยการอบ (Short-term oven aging)
4. ทำการบดขัดตัวอย่างด้วยเครื่องไจราทอร์ (Gyratory Compacter)
5. วิเคราะห์คุณสมบัติเชิงปริมาณของส่วนผสม
6. เลือกมวลรวมที่ผสมดีที่สุดโดยใช้หลักข้อกำหนดสมรรถนะที่ปรากฏของส่วนผสมมาเป็นโครงสร้างมวลรวมออกแบบ

2.15.1 การเลือกวัสดุ (Material Selection)

แอสฟัลต์เชื่อมประสาน (Asphalt Binder)

แอสฟัลต์เชื่อมประสานที่จะใช้ในการผสมต้องเลือกจากสภาพแวดล้อมและแรงกระทำจากภาระจราจร โดยการใช้กระบวนการที่กล่าวไว้ในเรื่องแอสฟัลต์เชื่อมประสาน

มวลรวม (Aggregate)

ลักษณะเฉพาะของมวลรวมเป็นตัวแปรสำคัญที่จะส่งผลต่อสมรรถนะของผิวทางแอสฟัลต์ผสมร้อน ซึ่งลักษณะเฉพาะนี้แบ่งออกเป็น คุณสมบัติความสอดคล้อง และคุณสมบัติแหล่งกำเนิด โดยคุณสมบัติความสอดคล้องที่ใช้ในกระบวนการออกแบบส่วนผสมด้วยวิธีชุบเปลอร์เพฟได้แก่ คุณร่วงของมวลรวมหยาบ (Coarse aggregate angularity) คุณร่วงของมวลรวมละเอียด (Fine aggregate angularity) ความแบนและความยาวของอนุภาค (Flat and Elongated particles) และปริมาณดินเหนียว (Clay content) ซึ่งเกณฑ์ในการกำหนดคุณสมบัติเหล่านี้ขึ้นอยู่กับระดับ

ปริมาณการจราจรและตำแหน่งของโครงสร้างผิวทาง วัสดุที่อยู่ใกล้ผิวทางจะมีความเค้นที่มากกว่าทำมากกว่าจึงต้องเลือกวัสดุที่มีคุณภาพดีกว่า โดยเกณฑ์ที่ใช้ในการกำหนดควรจะขึ้นอยู่กับมวลรวมที่ผสมแล้วมากกว่าองค์ประกอบของมวลรวมแต่ละชนิดที่ไม่ผสม ส่วนคุณสมบัติเหล่านี้กำหนดที่ใช้ในกระบวนการออกแบบส่วนผสมด้วยวิธีซูปเปอร์เพฟได้แก่ ความทนทานหรือการสึกกร่อนลอกแอนเจลีส (Toughness or Los Angeles Abrasion) ความคงทนต่อโซเดียมซัลเฟตหรือแมกนีเซียมซัลเฟต (Sodium or Magnesium Sulfate Soundness) และวัสดุที่เป็นอันตราย (Deleterious materials) โดยข้อกำหนดสำหรับค่าสูงสุดที่เสียไปสำหรับการสึกกร่อนลอกแอนเจลีสอยู่ในช่วงร้อยละ 35 ถึง 45

2.15.2 เครื่องบดดัดใจราโทรีแบบซูปเปอร์เพฟ (Superpave Gyratory Compactor, SGC)

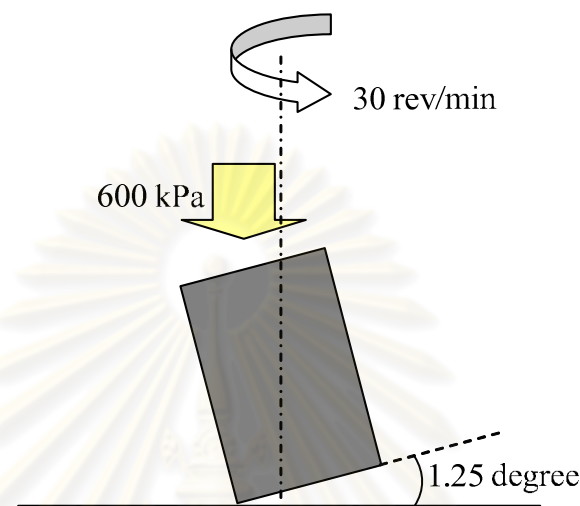
การออกแบบส่วนผสมด้วยวิธีซูปเปอร์เพฟจะใช้เครื่องใจราโทรีในการบดดัดตัวอย่างดังแสดงในรูปที่ 2.21 ซึ่งเครื่องใจราโทรีพัฒนามาจากความต้องที่จะหาวิธีในการบดดัดตัวอย่างให้ได้ความหนาแน่นเหมือนสภาพจริงในการจราจร



รูปที่ 2.21 เครื่องบดดัดใจราโทรีแบบซูปเปอร์เพฟ

กลไกการให้แรงกระทำจะให้แรงกระทำส่งผ่านแทนบดดัด (Loading ram or actuator) ไปยังตัวอย่างด้วยความดัน 600 ± 18 กิโลปั斯คาล ส่วนแบบหล่อ (Mold) ที่ใช้บรรจุส่วนผสมแอสฟัลต์ผสมร้อนมีเส้นผ่านศูนย์กลางภายใน 100 มิลลิเมตรขึ้นอยู่กับรูปแบบการทดสอบ มีแผ่นฐาน (Base plate) ที่รองให้แบบหล่อเพื่อกันไม่ให้ตัวอย่างหลุดออกไปตลอดช่วงเวลาการบดดัด

เครื่องบดอัดใจราทอวีจะหมุนด้วยอัตราคงที่ 30 รอบต่อนาที ซึ่งฐานจะเคลื่อนตัว 1.25 ± 0.02 องศา จากแนวระนาบ โดยลักษณะและรูปแบบการบดอัดตัวอย่างแอสฟัลต์ผสมร้อนด้วยเครื่องบดอัดใจราทอวีแบบชุปเปอร์เพฟแสดงไว้ในรูปที่ 2.22



รูปที่ 2.22 ลักษณะการบดอัดตัวอย่างแอสฟัลต์ผสมร้อนด้วยเครื่องบดอัดใจราทอวีแบบชุปเปอร์เพฟ (ວາດໃໝ່ Asphalt Institute, 1996)

การวัดความสูงของตัวอย่างเป็นพังก์ชันสำคัญอย่างหนึ่งของเครื่องบดอัดใจราทอวี ค่าความสูงจะถูกวัดโดยการบันทึกตำแหน่งของแท่นกดตลอดระยะเวลาการทดสอบ จากนั้นจะประมาณค่าความหนาแน่น (Density) ซึ่งคำนวณจากการหาร่วงด้วยปริมาตรของตัวอย่าง โดยใช้มวลของวัสดุที่อยู่ในแบบหล่อ เส้นผ่านศูนย์กลางของแบบหล่อและความสูงของตัวอย่างซึ่งสามารถวัดได้ตลอดระยะเวลาใช้ในกระบวนการการบดอัด ภายหลังการบดอัดตัวอย่างแอสฟัลต์ผสมร้อนที่ได้จะต้องมีคุณลักษณะและคุณสมบัติตามที่ออกแบบไว้ โดยที่การบดอัดตัวอย่างด้วยเครื่องบดอัดใจราทอวีจะต้องใช้คอมพิวเตอร์ในการควบคุมและสั่งงาน

2.16 การทดสอบสมรรถนะของแอสฟัลต์ผสมร้อน (Performance Testing of HMA)

การทดสอบสมรรถนะของส่วนผสมแอสฟัลต์ผสมร้อนจะถูกใช้ในการทำนายสมรรถนะของแอสฟัลต์ผสมร้อนก่อนที่จะนำไปใช้งานทางด้านการจราจรและยังใช้ในการประเมินวัสดุหรือเครื่องมือในการออกแบบใหม่ๆ เพื่อปรับปรุงสมรรถนะของผิวทางแอสฟัลต์ผสมร้อนให้ดีขึ้น ซึ่งการทดสอบสมรรถนะของแอสฟัลต์ผสมร้อนในงานวิจัยนี้ทำการทดสอบโดยอ้างอิงจากความเด่นหรือ

ความเครียดวิกลютที่เกิดขึ้นจริงในชั้นผิวทางแอลฟ์ลิติกคอนกรีต ดังได้กล่าวไว้ในหัวข้อที่ 2.3 คือ ทดสอบพฤติกรรมด้านกำลังรับแรงดึงเพื่อวิเคราะห์ความสามารถในการต้านทานต่อความเค้นดึงที่เกิดขึ้นบริเวณผิวนอกของชั้นแอลฟ์ลิติกคอนกรีตและเพื่อวิเคราะห์ค่าโมดูลสคีนตัวสำหรับใช้ในการออกแบบผิวทางแบบยึดหยุ่น ทดสอบพฤติกรรมด้านกำลังรับแรงอัดเพื่อวิเคราะห์ความสามารถในการต้านทานต่อความเค้นอัดที่เกิดขึ้นบริเวณขอบล่างของชั้นแอลฟ์ลิติกคอนกรีต

2.16.1 การทดสอบแรงดึงทางอ้อม (Indirect Tensile Test)

ในการออกแบบโครงสร้างถนนคุณสมบัติทางวิศวกรรมของวัสดุเป็นปัจจัยที่สำคัญ หนึ่งในคุณสมบัติดังกล่าว คือ กำลังรับแรงดึง (Tensile Strength) ดังนั้นจึงมีการออกแบบวิธีการทดสอบมาก-many เพื่อหาวิธีการทดสอบที่มีประสิทธิภาพในการทดสอบได้อย่างถูกต้อง สะดวก และ มีความแม่นยำ แต่การหาค่ากำลังรับแรงดึงของวัสดุโดยตรงนั้นเป็นไปได้ยาก เนื่องจาก เครื่องมือทดสอบที่จะใช้จับวัสดุเพื่อทำการทดสอบยังมีประสิทธิภาพไม่เพียงพอจึงจำเป็นต้องใช้วิธีการทดสอบทางอ้อมในการหาค่ากำลังรับแรงดึง

การทดสอบแรงดึงทางอ้อมเริ่มจากให้แรงกระทำแบบอัด (Compression load) อาจเป็นแบบสติตหรือพลวัตก์ได้ขึ้นอยู่กับผลที่ต้องการจากการทดสอบ โดยให้แรงกระทำผ่านแท่งกด น้ำหนักในแนวนานตามแนวเส้นผ่านศูนย์กลางแนวตั้งของวัสดุทดสอบ ซึ่งแท่งกดน้ำหนักมีด้าน สัมผัสกับผิววัสดุเป็นส่วนโคนที่มีรัศมีเท่ากับรัศมีของวัสดุ เพื่อให้น้ำหนักกระเจรยาและรักษาพื้นที่ที่น้ำหนักกระทำให้คงที่ จากการให้แรงกระทำในลักษณะนี้จะทำให้เกิดความเค้นดึง (Tensile Stress) ค่อนข้างสม่ำเสมอกระทำตั้งจากกับแนวเส้นผ่านศูนย์กลางในแนวตั้ง ซึ่งจากการทดสอบที่ได้พบว่า ความเค้นอัด (Compressive Stress) ที่เกิดขึ้นในแนวตั้งมีค่าประมาณ 3 เท่า ของความเค้นดึงที่เกิดในแนวราบ

การทดสอบหาค่ากำลังรับแรงดึงทางอ้อมของวัสดุ แบ่งออกเป็น 2 การทดสอบได้แก่ การทดสอบแรงดึงทางอ้อมแบบสติต (Static Indirect Tensile Test) กับแรงดึงทางอ้อมแบบพลวัต (Dynamic Indirect Tensile Test)

การทดสอบแรงดึงทางอ้อมแบบสติต (Static Indirect Tensile Test) ASTM D 4867

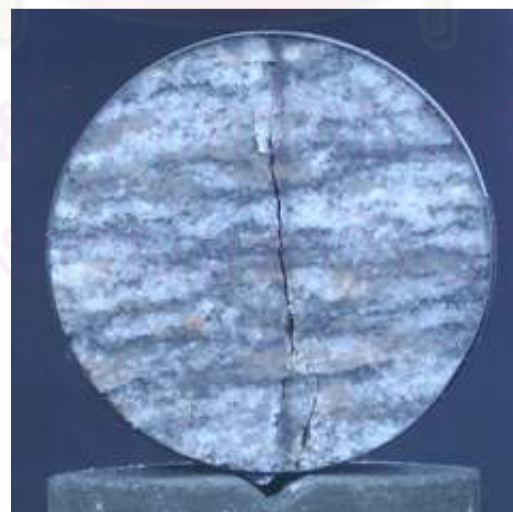
ในการออกแบบโครงสร้างผิวทางแบบยึดหยุ่นคุณสมบัติทางวิศวกรรมของวัสดุเป็นปัจจัย สำคัญ หนึ่งในคุณสมบัติดังกล่าว คือ กำลังรับแรงดึง (Tensile Strength) ซึ่งแอลฟ์ลิติกคอนกรีต

(Asphaltic concrete) เป็นวัสดุที่สำคัญสำหรับการก่อสร้างผิวทางแบบยึดหยุ่น ดังนั้นการพิจารณาความเหมาะสมของวัสดุจึงใช้พารามิเตอร์กำลังรับแรงดึงในการพิจารณา

ในปี พ.ศ.2530 มีรายงานว่าบริเวณชั้นผิวทางแอสฟัลติกคอนกรีตจะเกิดความเด่นและความเครียดวิกฤติ (Critical stress-strain) แบบแรงดึง (อ้างอิงจาก Federal Highway Administration, FHWA) ทำให้มีการนำเสนองวีธีการทดสอบหากำลังรับแรงดึงอย่างง่าย โดยการใช้แรงอัดกระทำผ่านแนวเส้นผ่าศูนย์กลางของตัวอย่างทดสอบ (อ้างอิงจาก ASTM)

สำหรับปัจจัยสำคัญที่ส่งผลต่อพฤติกรรมของแอสฟัลติกคอนกรีต คือ อุณหภูมิ (Temperature) และอัตราความเครียด (Strain rate) ในปี พ.ศ.2545 Schwartz และคณะได้ศึกษาพฤติกรรมรับแรงอัดแบบป্রาศจากแรงดันด้านเดียว (Unconfined uniaxial behaviour) ของแอสฟัลติกคอนกรีตภายใต้การเปลี่ยนแปลงอุณหภูมิและเวลาในการให้แรงกระทำ ซึ่งบางส่วนของงานวิจัยนี้สรุปว่าเวลาและอุณหภูมิเป็นปัจจัยหลักสำหรับอธิบายพฤติกรรมด้านกำลังของแอสฟัลติกคอนกรีต ต่อมาปี พ.ศ.2550 Li และคณะได้ศึกษาพฤติกรรมด้านกำลังรับแรงดึงทางอ้อม (Indirect tensile strength) ของแอสฟัลติกคอนกรีตที่อุณหภูมิต่ำ ภายใต้การเปลี่ยนแปลงอัตราการให้แรง ซึ่งสรุปว่ากำลังรับแรง (Strength) และความแข็งแรง (Stiffness) ของแอสฟัลติกคอนกรีตนั้นขึ้นอยู่กับอุณหภูมิและอัตราการให้แรง

ดังนั้นงานวิจัยนี้จึงต้องการศึกษาผลกระทบของอุณหภูมิ อัตราความเครียดและประเภทของแอสฟัลต์ ที่มีต่อพฤติกรรมความเด่น ความเครียด และกำลัง (Stress-strain-strength behaviour) ของแอสฟัลติกคอนกรีตที่ใช้วัสดุภายในประเทศไทยในการทดสอบ



รูปที่ 2.23 ลักษณะการพังทลายของตัวอย่าง (SP Technical Research Institute of Sweden, www.sp.se)

คุณสมบัติทางวิศวกรรมของวัสดุที่ประมาณได้จากการทดสอบแรงดึงทางอ้อมแบบสติตคือ ค่าโมดูลัสยืดหยุ่นแบบสติต (Static Modulus of Elasticity, E) และค่ากำลังรับแรงดึง (Tensile Strength, S_t) ซึ่งสามารถคำนวณได้จากสมการ ดังนี้

$$S_t = \frac{P_{FAIL}}{tD_1} \quad (2.7)$$

$$E = \frac{S_H}{t(0.27 + v)} \quad (2.8)$$

โดยที่ P_{FAIL} คือ แรงวิบติ (Failure load) t คือ ความหนาของตัวอย่าง D คือ เส้นผ่าศูนย์กลางของตัวอย่าง H_D คือ การเคลื่อนตัวแนวราบ S_H คือ โมดูลัสเส้นสัมผัสแนวราบ (horizontal tangent modulus, $\Delta P / \Delta H_D$) ซึ่งเป็นความชันของกราฟความสัมพันธ์ระหว่างแรงกระทำกับการเคลื่อนตัวในแนวราบ v คือ อัตราส่วนปัวซง (Poisson's ratio) ทั่วไปสมมุติค่าประมาณ 0.35 (ASTM D 4123)

การทดสอบแรงดึงทางอ้อมแบบพลวัต (Dynamic Indirect Tensile Test) ASTM D 4123

ในปัจจุบันการออกแบบผิวทางแบบยืดหยุ่นใช้การออกแบบเชิงวิเคราะห์ (Analytical design) ที่ต้องใช้คุณสมบัติทางวิศวกรรมของวัสดุในการออกแบบ หนึ่งในคุณสมบัติที่สำคัญต่อการออกแบบเชิงวิเคราะห์ คือ ค่าโมดูลัสคืนตัว (Resilient modulus value, M_R) เนื่องจากเป็นค่าที่ทำให้การออกแบบเชิงวิเคราะห์สามารถทำงานภายพุติกรรมของโครงสร้างและวัสดุชั้นทางต่างๆ ได้อย่างถูกต้อง แตกต่างจากวิธีในอดีต คือ การออกแบบเชิงประสบการณ์ (Empirical design) ที่อาศัยความสัมพันธ์จากการทดสอบวัสดุไปใช้ในการออกแบบ ซึ่งจะเห็นได้ว่าการออกแบบเชิงประสบการณ์ไม่ได้ใช้คุณสมบัติทางวิศวกรรมที่แท้จริงในการออกแบบ

ดังนั้นงานวิจัยนี้จึงทำการศึกษาถึงผลกระทบของอุณหภูมิ อัตราการให้แรงและประเภทของแอสฟัลต์ซีเมนต์ที่ส่งผลต่อค่าโมดูลัสคืนตัวของวัสดุแอสฟัลติกคอนกรีต ด้วยการทดสอบแรงดึงทางอ้อมแบบพลวัต (Indirect tensile test for resilient modulus of asphaltic concrete) ตามมาตรฐาน ASTM D 4123

คุณสมบัติทางวิศวกรรมของวัสดุที่ประมาณได้จากการทดสอบแรงดึงทางอ้อมแบบพลวัต คือ ค่าโมดูลัสคืนตัว (Resilient modulus, M_R) ซึ่งสามารถคำนวณได้จากสมการดังต่อไปนี้

$$M_R = \frac{P(v + 0.2734)}{\delta t} \quad (2.9)$$

โดยที่ P คือ แรงกระทำแบบพลศาสตร์ (Dynamic load) v คือ อัตราส่วนปัวซง (Poisson's ratio) ที่ว่าไปสมมุติค่าประมาณ 0.35 (ASTM D 4123) δ คือ การเดียรูปแบบคืนตัวทั้งหมด (Total recoverable deformation) t คือ ความหนาของตัวอย่าง (Specimen thickness)

คุณสมบัติทางวิศวกรรมของวัสดุที่ได้จากการทดสอบทั้งสองวิธีสามารถนำมาใช้ในการออกแบบโครงสร้างถนนเชิงวิเคราะห์ และสามารถนำไปประมาณหาความสัมพันธ์ระหว่างคุณภาพของวัสดุที่จะนำมาใช้ในการวิเคราะห์หรือออกแบบโครงสร้างถนนเชิงวิเคราะห์ได้ ซึ่งการทดสอบนี้ยังสามารถนำมาใช้ศึกษาผลกระทบที่เกิดจากอุณหภูมิและอัตราการให้แรงกระทำ นอกจากนั้นยังสามารถนำผลการทดสอบไปอธิบายรูปแบบความเสียหายของถนนได้ เช่น การแตกกร้าวนៅองจากความล้า (Fatigue cracking) เป็นต้น

2.16.2 การทดสอบแรงอัดแบบปราศจากแรงดันด้านข้าง (Unconfined compression test)

ในการออกแบบโครงสร้างถนนคุณสมบัติทางวิศวกรรมของวัสดุเป็นปัจจัยที่สำคัญ หนึ่งในคุณสมบัติเด็กกล่ำ คือ กำลังรับแรงอัด (Compressive Strength) เนื่องจากเมื่อผิวทางมีน้ำหนักจากล้อรถมากจะทำให้เกิดความเค้นขึ้นที่บริเวณขอบนอกของชั้นแอสฟัลติกคอนกรีตที่เป็นชั้นผิวทาง เมื่อหน่วยแรงอัดที่มากจะทำให้มีค่ามากกว่ากำลังรับแรงอัดของวัสดุจะทำให้เกิดความเสียหายแบบการรูบตัวแบบถาวร หรือ รอยร่องล้อขึ้น ดังนั้นจึงทำการทดสอบหากำลังรับแรงอัดของวัสดุ ด้วยการทดสอบแรงอัดแบบปราศจากแรงดันด้านข้างแบบสถิตและพลวัต

การทดสอบแรงอัดแบบปราศจากแรงดันด้านข้างแบบสถิต (Static Unconfined compression test)

การทดสอบแรงอัดแบบปราศจากแรงดันด้านข้างแบบสถิต คือ การให้แรงกระทำตามแนวแกนของตัวอย่างด้วยอัตราคงที่ จากนั้นวัดค่าแรงกระทำสูงสุดที่เกิดขึ้นแล้วนำหารด้วยพื้นที่หน้าตัดของตัวอย่าง คุณสมบัติทางวิศวกรรมของวัสดุที่ประมาณได้จากการทดสอบแรงอัดแบบปราศจากแรงดันด้านข้างแบบสถิต คือ ค่ากำลังรับแรงอัด (Compressive Strength, S_u) ดังแสดงในสมการที่ 2.10 และค่าโมดูลัสของยังที่ 50% ของความเค้นสูงสุด (Secant Young's modulus at 50% of maximum stress, E^{50})

$$S_c = \frac{P_{\max}}{A} \quad (2.10)$$

โดยที่ S_c คือ กำลังรับแรงอัด P_{\max} คือ แรงกระทำแบบสถิตสูงสุด (maximum static load) และ A คือ พื้นที่หน้าตัดของตัวอย่าง

การทดสอบแรงอัดแบบปราศจากแรงดันด้านข้างแบบพลวัต (Dynamic Unconfined compression test) NCHRP ฉบับที่ 465

ในการออกแบบผิวทางแบบยึดหยุ่นนั้น ผู้ออกแบบต้องคำนึงถึงความเสียหายที่อาจเกิดขึ้นเนื่องจากการใช้งาน ความเสียหายที่สำคัญอย่างหนึ่งคือ การบุบตัวแบบถาวร (Permanent Deformation) หรือการเกิดร่องล้อ (Rutting) ดังนั้นจึงต้องมีการทดสอบวัสดุแอลฟ์ลิติกคอนกรีตที่จะนำมาใช้ทำผิวทาง เพื่อศึกษาลักษณะการบุบตัวแบบถาวร ซึ่งสามารถทดสอบได้ด้วยการทดสอบแรงอัดแบบปราศจากแรงดันด้านข้างแบบพลวัต โดยรูปแบบการทดสอบจะมีสภาพใกล้เคียงสภาพจริงที่เกิดขึ้น

การทดสอบแรงอัดแบบปราศจากแรงดันด้านข้างแบบพลวัตจะทำการทดสอบเพื่อหาพารามิเตอร์การบุบตัวแบบถาวรของวัสดุแอลฟ์ลิติกคอนกรีต โดยทั่วไปมักจะมีการแสดงค่าความสัมพันธ์ระหว่างการบุบตัวแบบถาวรกับจำนวนรอบที่มีแรงกระทำ ดังที่กล่าวไว้ข้างต้นในสมการที่ 2.3

2.17 งานวิจัยที่เกี่ยวข้อง

2.17.1 เสถียรภาพของแอลฟ์ลิติกคอนกรีตโดยใช้ยางแอลฟ์ลิตซีเมนต์ เกรด 60/70 และ 80/100 (รายงานฉบับที่ วว. 119 กองวิเคราะห์และวิจัย กรมทางหลวง โดย อเนก เปี้ยลัดดา, 2532)

ในช่วงปี พ.ศ. 2532 ผิวทางแอลฟ์ลิติกคอนกรีตใช้แอลฟ์ลิตซีเมนต์เกรด 80/100 เป็นวัสดุผสม ซึ่งกรมทางหลวงได้ประสบปัญหาอย่างมากในด้านการบำรุงรักษาผิวทางแอลฟ์ลิติกคอนกรีตที่เสียหาย เนื่องจากกำลังของผิวทางมีค่าเสียรภาพต่ำกว่าค่าเฉลี่ยไม่สามารถต้านทานต่อหนานก bravut และปริมาณการจราจรที่เพิ่มมากขึ้น ดังนั้นเพื่อเป็นการหลีกเลี่ยงปัญหาของผิวทางที่เสียหายเนื่องจากแอลฟ์ลิตซีเมนต์มีค่าเพเนเตรชันค่อนข้างต่ำและเพื่อเพิ่มความแข็งแรงในผิวทางแอลฟ์ลิติกคอนกรีตให้มากยิ่งขึ้น กรมทางหลวงจึงได้ทำการศึกษาวิจัยคุณสมบัติของ

เสถียรภาพแอลฟ์ลิติกคอนกรีตตามวิธีการทดลองของมาร์ชัล โดยใช้ AC60/70 ที่มีค่าเพเนเตเรชัน มากกว่า AC80/100 ทำการทดลองกับหินจากแหล่งต่างๆ รวม 4 แหล่ง ใช้หิน 3 ชนิด คือ หินปูน หินแกรนิต และหินบะซอลต์ โดยจัดให้มีการเรียงขนาดเป็น 2 แบบ ตามขนาดของหินก้อนโดยสุ่ม ตามมาตรฐานของ Asphalt Institute (The Asphalt Institute, 1980) เพื่อทำการทดสอบคุณสมบัติต่างๆ แล้วนำผลการทดสอบที่ได้มามีเคราะห์เปรียบเทียบกัน อันจะเป็นแนวทางไปสู่การกำหนดขีดจำกัดของคุณสมบัติของ AC60/70 ในการใช้งานต่อไป

จุดประสงค์ของการค้นคว้าวิจัย เพื่อหาผลที่เกิดจากเพเนเตเรชัน (Penetration) ของแอลฟ์ลิติกที่มีต่อค่าเสถียรภาพ (Stability) ของวัสดุผสมแอลฟ์ลิติกคอนกรีต ซึ่งเป็นเสถียรภาพแบบมาร์ชัล (Marshall Stability) โดยวัดที่อุณหภูมิและอัตราที่แรงกระทำเท่ากัน รวมถึงคุณสมบัติอื่นๆ ของแอลฟ์ลิติกคอนกรีตด้วย

รายงานผลการศึกษาของ อเนก (2532) พบว่าแอลฟ์ลิติกคอนกรีตจะมีค่าความหนาแน่นเพิ่มขึ้นตามปริมาณแอลฟ์ลิติกที่เพิ่มขึ้น แอลฟ์ลิติกคอนกรีตที่ใช้ AC60/70 ให้ความหนาแน่นต่ำกว่าที่ใช้ AC80/100 ทำให้ปริมาณซ่องว่างมากกว่าที่ปริมาณแอลฟ์ลิติกเท่ากัน และค่าเสถียรภาพของแอลฟ์ลิติกคอนกรีตจะเพิ่มขึ้นตามความหนาแน่น ตัวอย่างที่ใช้ AC60/70 จะให้ค่าเสถียรภาพสูงกว่า ในขณะที่ค่าความหนาแน่นต่ำกว่า เมื่อมีปริมาณแอลฟ์ลิติกเท่ากัน ส่วนค่าการยุบตัว (Flows) ไม่แน่นอน แต่มีแนวโน้มว่าค่าการยุบตัวของแอลฟ์ลิติกคอนกรีตที่ใช้ AC60/70 จะน้อยกว่าที่ใช้ AC80/100 ซึ่งสามารถสรุปได้ว่า AC60/70 เป็นวัสดุประสานที่ทำให้แอลฟ์ลิติกคอนกรีตมีค่าเสถียรภาพเพิ่มขึ้น ทำให้ผิวทางสามารถต้านทานต่อน้ำหนักบรรทุก และปริมาณการจราจรที่เพิ่มขึ้นได้ดีกว่าการใช้ AC80/100 เป็นวัสดุประสาน

2.17.2 ผลของอัตราการให้แรงและอุณหภูมิต่อกำลังรับแรงดึงทางอ้อมของแอลฟ์ลิติกคอนกรีต (Rate of Loading and Temperature Effects on the Indirect Tensile Strength of Asphaltic Concrete) (ธนกร ชุมภรัตน์, 2551)

งานวิจัยนี้มีวัตถุประสงค์เพื่อนำเสนอผลของอัตราการให้แรงและอุณหภูมิต่อกำลังรับแรงดึงทางอ้อมของแอลฟ์ลิติกคอนกรีต ตัวอย่างการทดสอบจะถูกให้แรงในลักษณะควบคุมความเครียดจนกระแทกตัวอย่างเกิดการเสียหายในคราวเดียว โดยที่ตัวอย่างทดสอบมีขนาดเส้นผ่าศูนย์กลาง 100 มิลลิเมตร สูง 65 มิลลิเมตร ถูกเตรียมขึ้นจากการใช้เครื่องบดอัดแบบใจร้าทอยซึ่งมีการควบคุมความหนาแน่นและขนาดคละของมวลรวมให้คงที่ในแต่ละตัวอย่างทดสอบโดยการเปลี่ยนแปลงอุณหภูมิที่ 10°C 25°C 40°C และ 55°C ตามลำดับ และมีการควบคุมอัตราการให้แรงแบบควบคุมความเครียดที่แตกต่างกันคือ 0.0250

0.0083 0.0025 และ 0.0008 ต่อวินาที ตามลำดับ ตั้งนั้นตัวอย่างการทดสอบมีจำนวนทั้งสิ้น 16 ตัวอย่าง หลังจากนั้นทำการวิเคราะห์เบริยบเพื่อหาค่ากำลังรับแรงดึงทางอ้อมและความแข็งของตัวอย่าง ณ การเปลี่ยนแปลงอุณหภูมิและอัตราการให้แรงที่ค่าต่าง ๆ ดังกล่าวเพื่อหาความสัมพันธ์เชิงประสบการณ์

ตัวอย่างวัสดุแอกซ์ฟลิติกคอนกรีตที่นำมาใช้ทดสอบนั้นออกแบบด้วยวิธีมาเรล (Marshall method) ส่วนผสมของวัสดุดังกล่าวประกอบด้วย AC 60/70 และวัสดุมวลรวมขนาดเฉลี่ยกึ่งโตสุด (Nominal maximum size of aggregate) 12.5 มิลลิเมตร จากการออกแบบด้วยวิธีข้างต้น ปริมาณแอกซ์ฟลิตซีเมเนต์ AC 60/70 ที่ใช้ผสมมีค่าเท่ากับ 5.5% ของปริมาณมวลรวมทั้งหมด หลังจากทดสอบตัวอย่างเข้าด้วยกันแล้วส่วนผสมทั้งหมดจะถูกนำมาระดัดด้วยเครื่องบดอัดใจราทอเร แบบชูปเปอร์เพฟ (Superpave gyratory compactor, SGC)

ภายหลังจากการบดอัดแล้ว ตัวอย่างแอกซ์ฟลิติกคอนกรีตที่ได้ต้องมีคุณลักษณะและคุณสมบัติดังต่อไปนี้ คือ ขนาดเส้นผ่านศูนย์กลางเท่ากับ 100 มิลลิเมตร สูง 65 มิลลิเมตร ความหนาแน่น (Density) อยู่ที่ 2,400-2450 กิโลกรัมต่อลูกบาศก์เมตร และปริมาณช่องว่างของอากาศ (Air void, AV) เป็น 3-4% โดยการบดอัดตัวอย่างด้วยเครื่องบดอัดใจราทอเร แบบชูปเปอร์เพฟต้องใช้คอมพิวเตอร์ในการควบคุมและสั่งงาน

เมื่อเตรียมตัวอย่างแอกซ์ฟลิติกคอนกรีตได้ตามเงื่อนไขที่ระบุ นำตัวอย่างที่ได้ไปทดสอบหาพฤติกรรมรับแรงดึงด้วยการทดสอบแบบกำลังรับแรงดึงทางอ้อม โดยการใช้เครื่องUniversal Testing Machine (UTM) สำหรับการทดสอบแบบกำลังรับแรงดึงทางอ้อมจะเพิ่มแรงอัดกับตัวอย่างในแนวเส้นผ่านศูนย์กลาง โดยค่าความเครียดแนวรัศมี (Radial strain) ของตัวอย่างจะสามารถตรวจวัดได้จากการติดตั้งเกจวัดความเครียด (Strain gage) จำนวน 2 ตัว โดยติดตั้ง ณ ตำแหน่งเส้นผ่านศูนย์กลางของตัวอย่างทดสอบทั้ง 2 ด้าน สำหรับการวัดค่าความเครียดนั้นเกจวัดความเครียดที่เลือกใช้ให้ความแม่นยำระดับ 30 με ในช่วงอุณหภูมิที่ทำการทดสอบ ด้วยระดับความแม่นยำดังกล่าวทำให้ความคลาดเคลื่อนในการวัดความเครียดอยู่ในระดับ 0.1% ซึ่งยอมรับได้

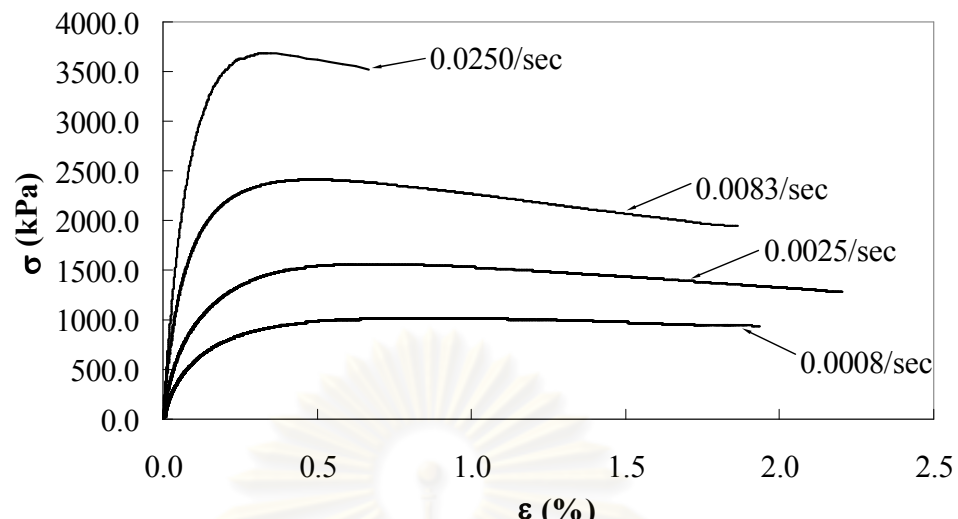
ผลการทดสอบพฤติกรรมรับแรงดึงของแอกซ์ฟลิติกคอนกรีตภายในได้จากการเปลี่ยนแปลงอุณหภูมิทั้ง 4 ค่า แสดงในรูปที่ 2.24 สำหรับอุณหภูมิที่ 10°C พบร่วงสอดคล้องกับอุณหภูมิที่ 2.24(a) พบร่วงพฤติกรรมความสัมพันธ์ระหว่างความเค้นและความเครียด (Constitutive behavior) มีแนวโน้มแสดงพฤติกรรมเป็นแบบแรงดึงสมบูรณ์ (Perfectly tensile behavior) อย่างไรก็ตามที่อุณหภูมนี้จะสังเกตเห็นได้ว่าค่ากำลังหลังจากจุดความเค้นสูงสุด (Peak stress) จะลดลงอย่างรวดเร็วหรือบางที่ก็ไม่สามารถสังเกตเห็นได้เลย

เนื่องจากที่อุณหภูมิต่ำๆ นั้นแอลฟ์ลิติกคอนกรีตจะแสดงพฤติกรรมเป็นแบบวัสดุเปราะ (Brittle material) โดยเฉพาะที่อัตราความเครียดสูงสุด (0.0250 ต่อ วินาที) สำหรับอุณหภูมิต่ำกว่า 25°C วัสดุแอลฟ์ลิติกคอนกรีตสามารถแสดงพฤติกรรมแบบแรงดึงทางอ้อมได้ในบางอัตราความเครียด เช่นเดียวกับที่ 10°C ดังแสดงในรูปที่ 2.24(b) แต่สำหรับที่อัตราความเครียดต่ำสุด (0.0008 ต่อ วินาที) นั้นพบว่าพฤติกรรมความสัมพันธ์ระหว่างความเค้นและความเครียด มีแนวโน้มแสดงในรูปแบบแรงดึงและรูปแบบแรงอัด ซึ่งจะสามารถสังเกตเห็นได้จากการแข็งแรงเริ่มแรก (Initial stiffness) หรือความชันเริ่มต้นนั้นมีค่าสูงมาก และพฤติกรรมของความเค้นและความเครียดหลังจากจุดสูงสุดมีแนวโน้มย้อนกลับ (rebound) ทั้งนี้เนื่องจากพื้นที่หรือขอบเขตที่เกิดแรงดึงนั้นมีบริเวณน้อยกว่าพื้นที่การเกิดแรงอัด ณ จุดสัมผัสบนและล่าง (Top and bottom cap)

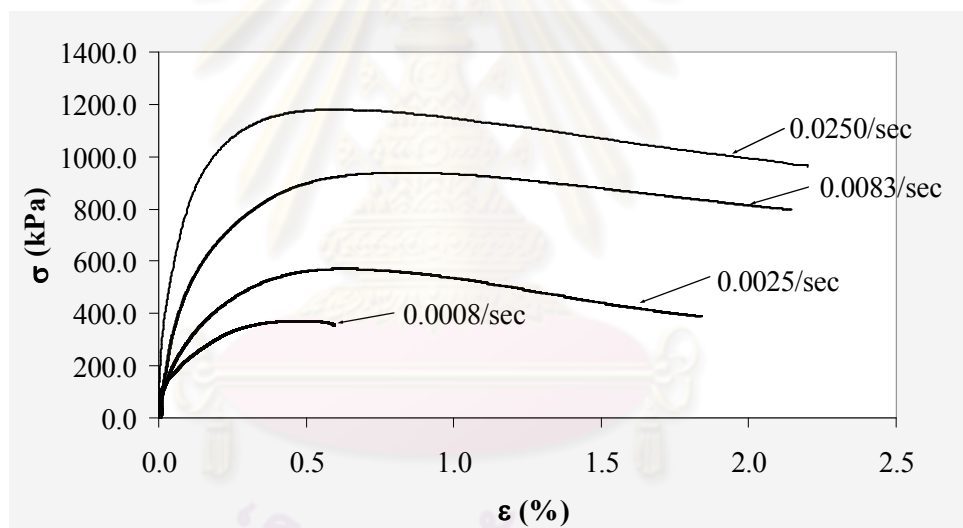
สำหรับความสัมพันธ์ระหว่างความเค้นและความเครียด ณ อุณหภูมิ 40°C นั้นค่อนข้างเหมือนกันกับที่อุณหภูมิ 25°C อย่างไรก็ได้จากรูปที่ 2.24(c) จะสังเกตได้ว่าพื้นที่การเกิดแรงอัดมีค่าค่อนข้างมากบริเวณจุดสัมผัสบนและล่าง โดยเฉพาะที่อัตราความเครียดต่ำที่สุด (0.0008 ต่อ วินาที) ซึ่งที่อัตราความเครียดนี้ไม่สามารถแสดงพฤติกรรมความสัมพันธ์ระหว่างความเค้นและความเครียดได้

ลำดับสุดท้าย ณ อุณหภูมิสูงสุด (55°C) ความสัมพันธ์ระหว่างความเค้นและความเครียดสามารถอธิบายได้ที่อัตราความเครียดสูงสุดเท่านั้น ทั้งนี้พฤติกรรมดังกล่าวจะเห็นได้ว่าไม่ได้แสดงพฤติกรรมแบบแรงดึงเพียงอย่างเดียว

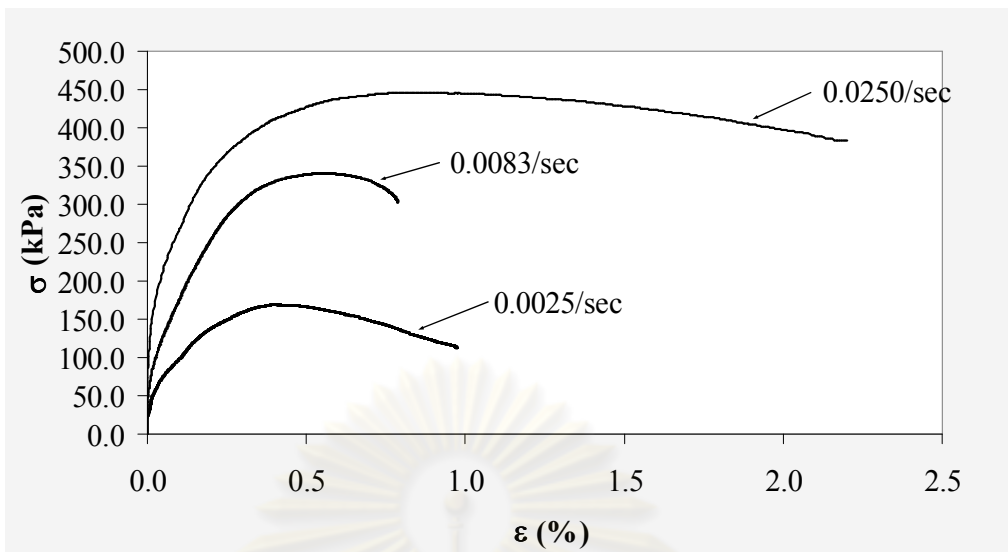
จากการวิจัยสรุปได้ว่าปัจจัยของอัตราความเครียดและอุณหภูมิมีผลกระทบต่อพฤติกรรมเชิงกล (Mechanical behavior) ของวัสดุแอลฟ์ลิติก จากรูปที่ 2.25 และรูปที่ 2.26 สามารถเห็นได้ว่าความสัมพันธ์ของค่าโมดูลัสของยัง ที่ 50% ของความเค้นสูงสุด (Secant Young's modulus at 50% of maximum stress, E^{50}) และความสัมพันธ์ของค่าความเครียดสูงสุด (σ_{max}) ที่เปลี่ยนแปลงตามอัตราความเครียดและอุณหภูมิ โดยทั้งสองนั้นจะมีค่าเพิ่มมากขึ้นเมื่อเพิ่มอัตราความเครียดและอุณหภูมิ



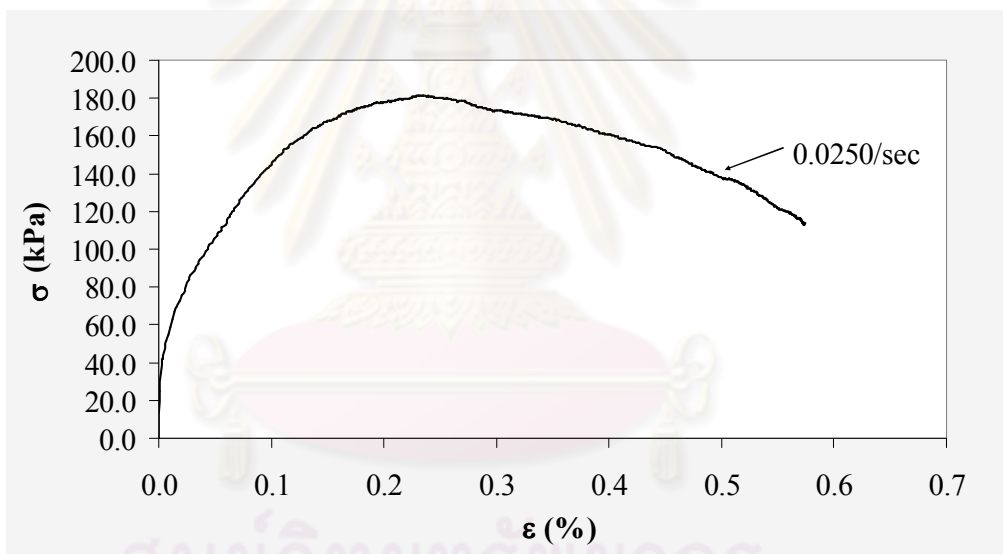
(a)



(b)



(c)

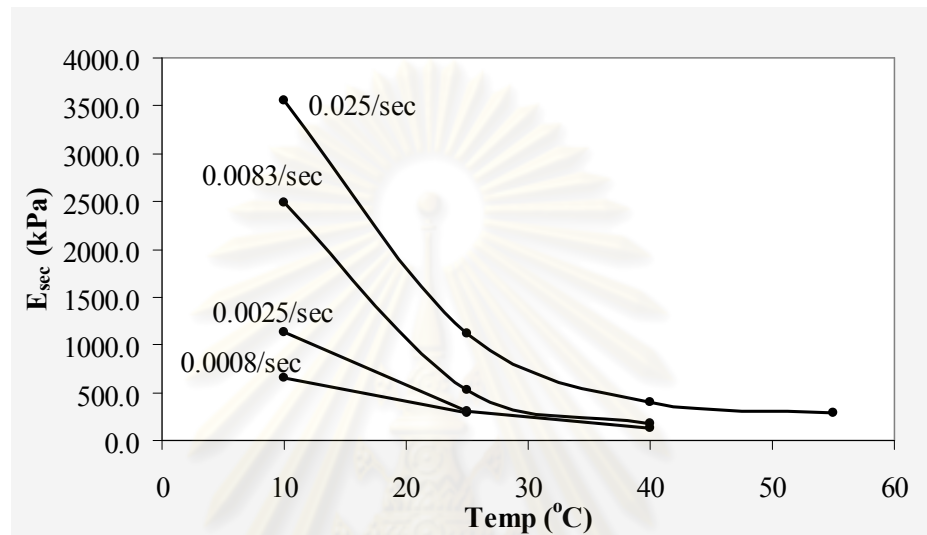


(d)

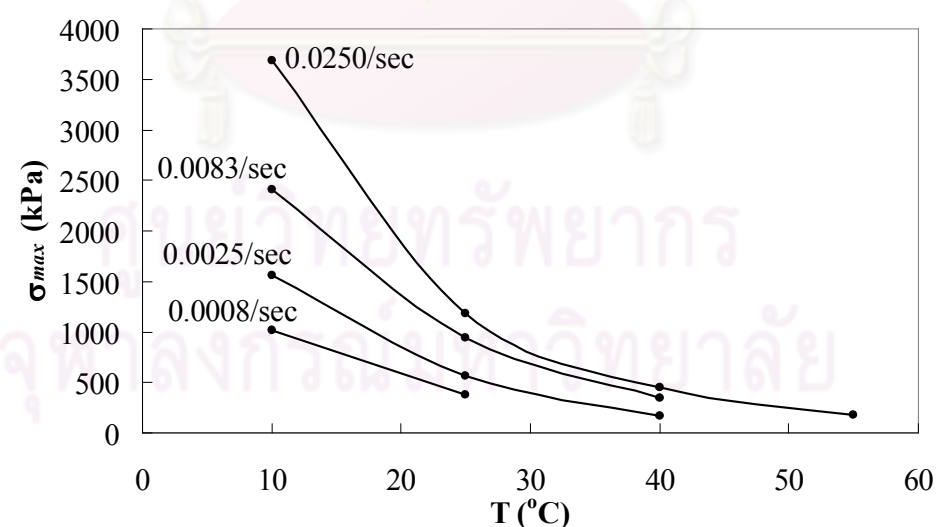
รูปที่ 2.24 พฤติกรรมความเด่นและความเครียดภายในตัวการเปลี่ยนแปลงอุณหภูมิและอัตราความเครียด (a) 10°C (b) 25°C (c) 40°C (d) 55°C

นอกจากนี้การทดสอบกำลังรับแรงดึงทางอ้อมภายในตัวการเปลี่ยนแปลงอุณหภูมิและอัตราบีบสามารถสรุปได้ว่า อัตราความเครียดนั้นมีผลกระทบต่อพฤติกรรมทางด้านกำลังอย่างมาก ณ อุณหภูมิต่ำๆ เช่นจากเอกสารพัฒนากรวีทมีพฤติกรรมเป็นแบบวัสดุเปราะ และสำหรับการทดสอบที่อุณหภูมิสูงๆ (55°C) นั้น ตัวอย่างเอกสารพัฒนากรวีทมีได้แสดง

พฤติกรรมด้านแรงดึงเพียงอย่างเดียว โดยจะมีการแสดงพฤติกรรมทางด้านแรงอัดด้วย ทั้งนี้ เพราะตัวอย่างวัสดุดังกล่าวมีพฤติกรรมที่ไม่เป็นวัสดุเปล่า ดังนั้นงานวิจัยฉบับนี้จึงสามารถสรุปได้ว่า ปัจจัยด้านอัตราความเครียดและอุณหภูมนั้นมีผลกระทบต่อค่ากำลัง และความแข็งแรงของแอกส์พลิติกคอนกรีต



รูปที่ 2.25 ความสัมพันธ์ระหว่าง E_{sec} และอุณหภูมิ



รูปที่ 2.26 ความสัมพันธ์ระหว่าง σ_{max} และอุณหภูมิ

2.17.3 ผลกระทบของอุณหภูมิต่อค่าโมดูลัสศีนตัวของแอสฟัลติกคอนกรีต (Temperature Effect on Resilient Modulus of Asphaltic Concrete) (สนกร ชมภร 2551)

งานวิจัยฉบับนี้ได้เสนอการประมาณค่าโมดูลัสศีนตัวภายใต้อุณหภูมิที่แตกต่างกันคือ 10°C 25°C 40°C และ 55°C ตามลำดับ อีกทั้งในงานวิจัยนี้ได้เสนอความสัมพันธ์เชิงประสบการณ์ สำหรับประมาณค่าโมดูลัสศีนตัวของแอสฟัลต์คอนกรีตเพื่อใช้ในการออกแบบผิวทางแบบปูดหย่น การเปลี่ยนแปลงอุณหภูมิต่าง ๆ

การทดสอบเริ่มจากเตรียมตัวอย่างวัสดุแอสฟัลติกคอนกรีต โดยออกแบบด้วยวิธีมาเรล (Marshall method) ส่วนผสมของวัสดุดังกล่าวประกอบด้วย แอสฟัลต์ซีเมนต์ (Asphalt cement) AC 60/70 และวัสดุมาร์บราวน์ขนาดเรียกว่าเต็มสุด (Nominal maximum size of aggregate) 12.5 มิลลิเมตร จากการออกแบบด้วยวิธีข้างต้นประมาณยางแอสฟัลต์ซีเมนต์ AC 60/70 ที่ใช้ผสม มีค่าเท่ากับ 5.5% ของปริมาณมวลรวมห้องหมด หลังจากการทดสอบตัวอย่างเข้าด้วยกันแล้วส่วนผสมห้องหมด จะถูกนำมาดัดด้วยเครื่องบดดัดใจราโทรีแบบชูปเปอร์เพฟ (Superpave gyratory compactor, SGC)

ภายหลังจากการบดดัดตัวอย่างแอสฟัลติกคอนกรีตที่ได้ต้องมีคุณลักษณะและคุณสมบัติดังต่อไปนี้ คือ ขนาดเส้นผ่าศูนย์กลาง 100 มิลลิเมตร สูง 65 มิลลิเมตร ความหนาแน่น (Density) 2,400-2450 กิโลกรัมต่อลูกบาศก์เมตร และปริมาณช่องว่างของอากาศ (Air void, AV) เท่ากับ 3-4% โดยที่การบดดัดตัวอย่างด้วยเครื่องบดใจราโทรีแบบชูปเปอร์เพฟต้องใช้คอมพิวเตอร์ในการควบคุมและสั่งงาน

เมื่อเตรียมตัวอย่างแอสฟัลติกคอนกรีตได้ตามเงื่อนไขที่ระบุ นำตัวอย่างที่ได้ไปทดสอบหาค่าโมดูลัสศีนตัว ด้วยเครื่อง Universal Testing Machine (UTM) ขนาด 14 ตัน โดยการติดตั้งตัวอย่างแอสฟัลติกคอนกรีตเข้ากับชุดคุปกรณ์ทดสอบโมดูลัสศีนตัว สำหรับการประมาณค่าโมดูลัสศีนตัวต้องติดตั้งคุปกรณ์ LVDT (Linear Variable Differential Transducer) เพื่อวัดการเปลี่ยนแปลงรูปร่างด้านข้าง

ในส่วนการทดสอบหาค่าโมดูลัสศีนตัวนั้นทำการทดสอบที่อุณหภูมิ 10°C 25°C 40°C และ 55°C โดยค่าแรงที่ใช้ในการทดสอบในแต่ละอุณหภูมิมีค่าเท่ากับ 2.48 0.97 0.35 และ 0.14 กิโลนิวตัน ซึ่งคิดเป็นร้อยละ 10 ของกำลังรับแรงสูงสุด (อ้างอิง บทความ HM 01: สนกร และคณ., 2551) การให้แรงดังกล่าวจะให้แรงกดในลักษณะกระทำซ้ำ (Repeated load) จำนวน 155 รอบ ประกอบไปด้วย 150 รอบแรก สำหรับแรงกระทำก่อน (Preload) และ 5 รอบสุดท้ายเพื่อประเมินค่าโมดูลัสศีนตัว โดยแรงกดดังกล่าวจะกระทำที่ความถี่ 1 เฮิร์ท (Hz) นั้นคือ มีสัดส่วนซึ่งการให้

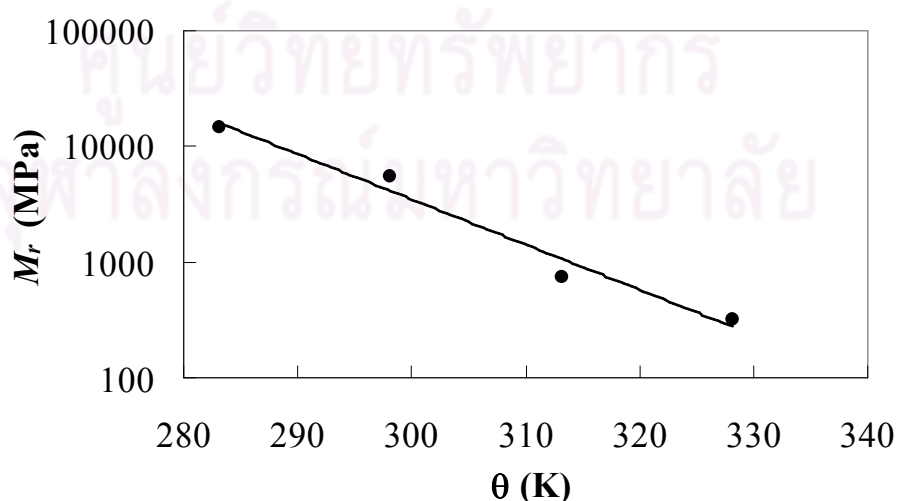
แรง (Load) ต่อช่วงเวลาการปล่อยแรง (Unload) เท่ากับ 1 ต่อ 9 หรือคือในแต่ละชุดของแรงกระทำ 1 วินาที มีช่วงเวลาการให้แรง 0.1 วินาที สำหรับรูปร่างของการให้แรงกำหนดให้มีลักษณะเป็น ครึ่งวงของฟังก์ชันไฮเวอร์ (Haversine function)

ผลการทดสอบค่าโมดูลัสคืนตัวและการเสียรูปแบบคืนตัวภายใต้การเปลี่ยนแปลงอุณหภูมิ 4 ค่า ได้แสดงในตารางที่ 2.5 ค่าโมดูลัสคืนตัวจะมีค่าน้อยลงเมื่ออุณหภูมิเพิ่มมากขึ้น และจากผลของค่าดังกล่าว yang สามารถสังเกตเห็นได้ว่า ค่าโมดูลัสคืนตัวจะมีค่าลดลงเป็นแบบฟังก์ชันเอกซ์โพเนนเชียล ดังแสดงด้วยกราฟกึ่งล็อกในรูปที่ 2.27 จากกราฟดังกล่าวสามารถสร้างสมการเพื่อนำไปใช้ในการประมาณค่าโมดูลัสคืนตัว ณ การเปลี่ยนแปลงอุณหภูมิต่างๆ ได้ ดังแสดงในสมการที่ 3 โดยที่ ณ อุณหภูมิศูนย์สมบูรณ์ (Absolute zero temperature) ประมาณ 0 K หรือ -273°C ค่าโมดูลัสคืนตัวจะมีค่าเท่ากับ $2.00 \times 10^{15} \text{ MPa}$

$$M_r = 2.00 \times 10^{15} e^{-0.09T} \quad (2.11)$$

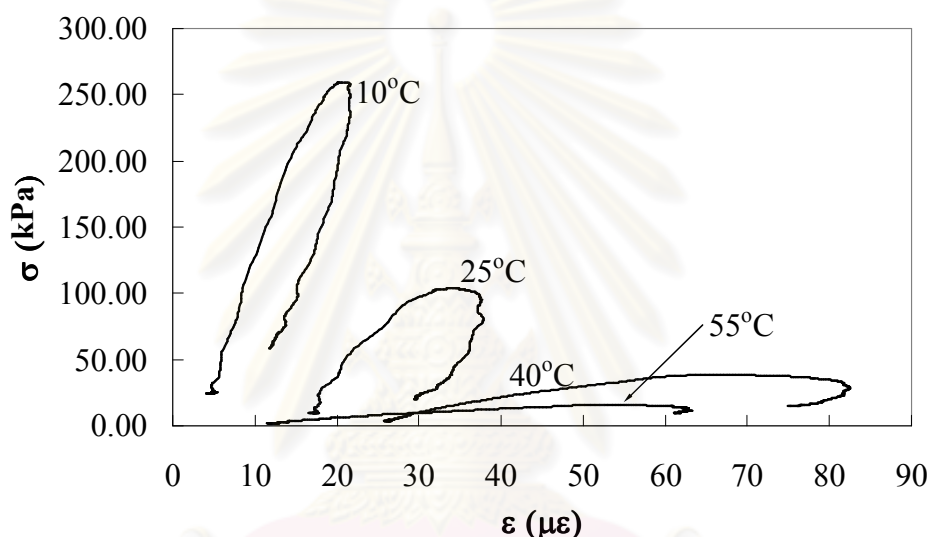
ตารางที่ 2.5 ค่าโมดูลัสคืนตัวภายใต้การเปลี่ยนแปลงอุณหภูมิ

ชนิด	อุณหภูมิ ($^{\circ}\text{C}$)			
	10 (283 K)	25 (298 K)	40 (313 K)	55 (328 K)
โมดูลัสคืนตัว (MPa)	14,765	5,479	745	319



รูปที่ 2.27 ความสัมพันธ์ระหว่างโมดูลัสคืนตัวและอุณหภูมิ

จากผลการทดสอบสามารถสรุปได้ว่าปัจจัยของอุณหภูมิมีผลกระทบอย่างมากต่อค่าโมดูลัสคืนตัวและพฤติกรรมของความเค้นและความเครียด สำหรับค่าโมดูลัสคืนตัวจะมีค่าน้อยลงเมื่ออุณหภูมิสูงขึ้น นอกจากนั้นเมื่อนำค่าความสัมพันธ์ระหว่างความเค้นและความเครียดในรอบสุดท้ายมาพิจารณาจะพบว่าเมื่ออุณหภูมิสูงขึ้นแล้วพล็อกคอนกรีตจะแสดงพฤติกรรมแบบพลาสติก (Plastic behavior) มากขึ้น โดยสังเกตได้จากในช่วงการถดถ卜เร่งนั้น แล้วพล็อกคอนกรีตจะไม่แสดงพฤติกรรมคืนตัวได้เลย ดังเห็นได้จากการภาพในรูปที่ 2.28 ที่อุณหภูมิ 40 และ 55 °C ไม่สามารถบันทึกค่าความเครียดหลังจากการถดถ卜เร่งได้เลย



รูปที่ 2.28 ความสัมพันธ์ของความเค้นและความเครียดของการทดสอบแรงดึงทางอ้อมสำหรับโมดูลัสคืนตัว (รอบสุดท้าย)

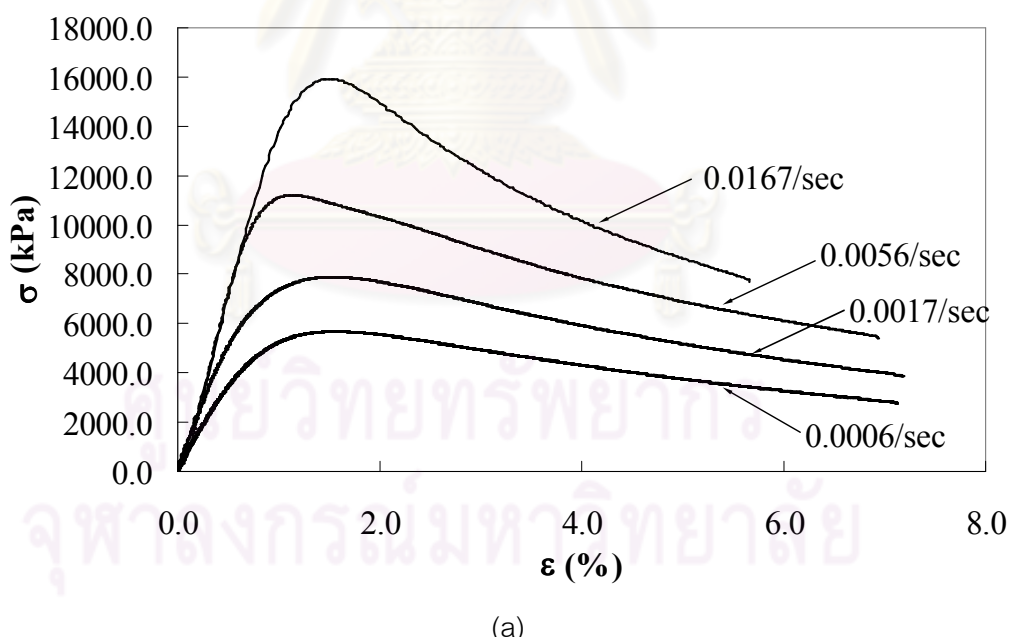
2.17.4 การซ้อนทับระหว่างเวลา กับ อุณหภูมิสำหรับการทดสอบแรงดึงอัตราเดียวของแอสฟล็อกคอนกรีต (Time-Temperature Superposition for Uniaxial compression test of asphaltic concrete) (อนกร ช.มาตรฐาน, 2552)

งานวิจัยนี้มีจุดประสงค์เพื่อนำเสนอหลักการซ้อนทับกันระหว่างเวลา กับ อุณหภูมิที่สามารถนำมาใช้คำนวณพฤติกรรมของแอสฟล็อกคอนกรีต ในการศึกษานี้อาศัยการทดสอบแรงดึงเดียว โดยโปรแกรมการทดสอบกำหนดให้มีการเปลี่ยนแปลงอุณหภูมิที่ 10°C 25°C 40°C และ 55°C ตามลำดับ และมีการควบคุมอัตราการให้แรงแบบควบคุมความเครียดที่แตกต่างกัน คือ 0.0167 0.0056 0.0017 และ 0.0006 ต่อวินาที ตามลำดับ ในตอนท้ายงานวิจัยนี้ได้นำเสนอ

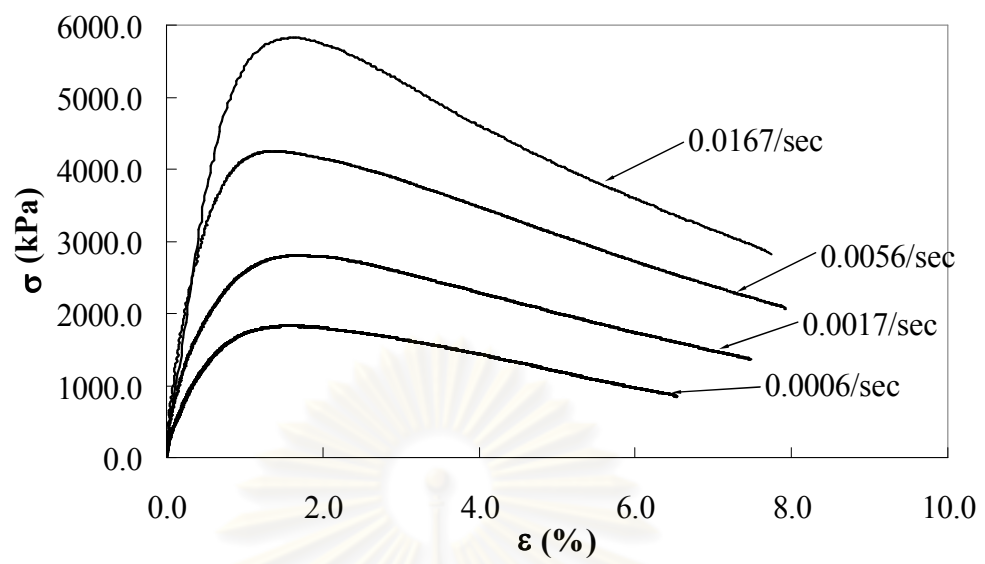
พังก์ชันอุณหภูมิเคลื่อนที่ จากความสัมพันธ์ระหว่างความเค้นกับความเครียดที่ได้จากการทดสอบไปด้วย

ตัวอย่างวัสดุแอลฟ์ลิติกคอนกรีตที่นำมาใช้ทดสอบถูกออกแบบด้วยวิธีมาาร์แซล (Marshall method) โดยส่วนผสมของวัสดุประกอบด้วย AC 60/70 และวัสดุมวลรวมขนาดใหญ่สุด (Nominal maximum size of aggregate) 12.5 มิลลิเมตร จากการออกแบบด้วยวิธีข้างต้น ปริมาณแอลฟ์ลิตซีเมนต์ AC 60/70 ที่ใช้ผสมมีค่าเท่ากับ 5.5% ของปริมาณมวลรวมทั้งหมด หลังจากผสมตัวอย่างเข้าด้วยกันแล้ว ส่วนผสมทั้งหมดจะถูกนำมาบดอัดด้วยเครื่องบดอัดใจราทอรีแบบซูปเปอร์เพฟ (Superpave gyratory compactor, SGC)

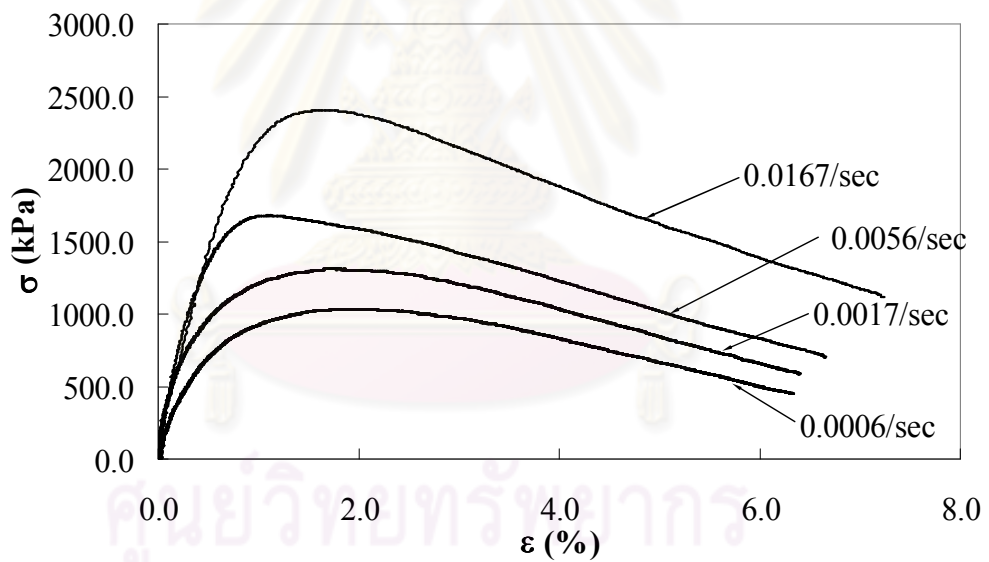
ภายหลังจากการบดอัด ตัวอย่างแอลฟ์ลิติกคอนกรีตต้องมีคุณลักษณะและคุณสมบัติ ดังต่อไปนี้ คือ ขนาดเส้นผ่าศูนย์กลางเท่ากับ 100 มิลลิเมตร ถึง 150 มิลลิเมตร ความหนาแน่น (Density) อยู่ที่ 2,400-2450 กิโลกรัมต่อลูกบาศก์เมตรและปริมาณช่องว่างของอากาศ (Air void, AV) ประมาณ 3-5% โดยการบดอัดตัวอย่างด้วยเครื่องบดอัดใจราทอรีแบบซูปเปอร์เพฟต้องใช้คอมพิวเตอร์ในการควบคุมและสั่งงาน



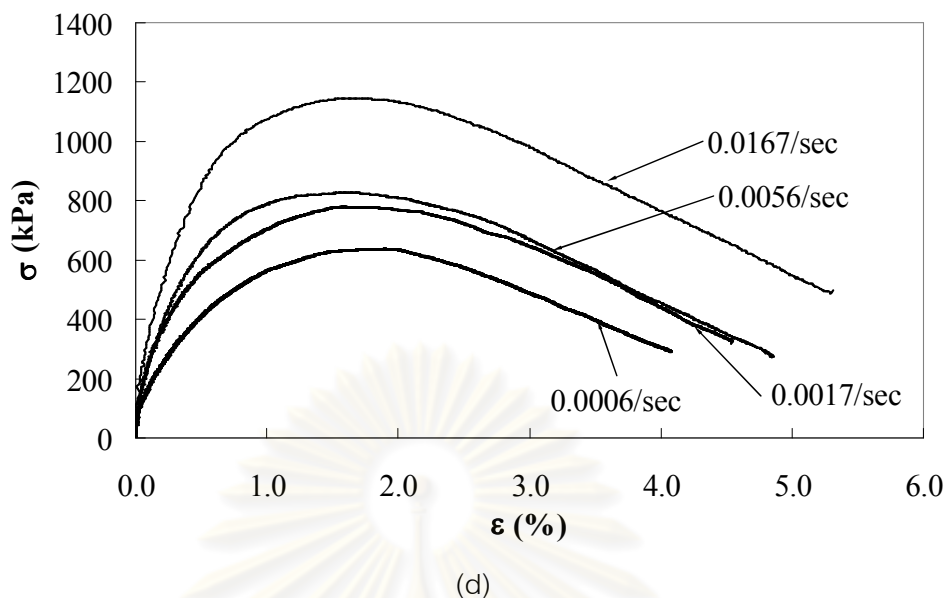
(a)



(b)



(c)



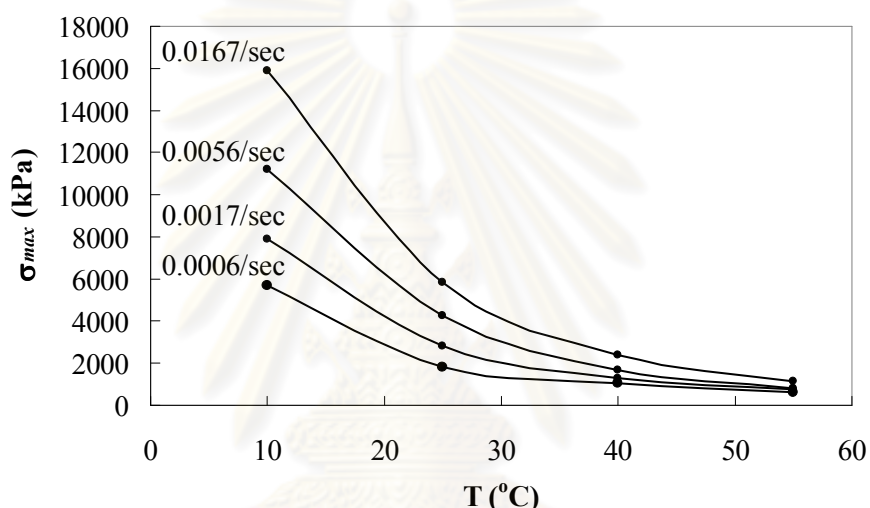
รูปที่ 2.29 พฤติกรรมความเด่นและความเครียดภายใต้การเปลี่ยนแปลงอุณหภูมิและอัตราความเครียด (a) 10°C (b) 25°C (c) 40°C (d) 55°C

รูปที่ 2.29 แสดงความสัมพันธ์ระหว่างความเด่นกับความเครียด ณ การเปลี่ยนแปลงอุณหภูมิต่างๆ สำหรับอุณหภูมิที่ 10°C ค่าความเด่นสูงสุด (Maximum stress) จะเกิดขึ้นที่ค่าความเครียดประมาณ 1.5% โดยค่าความเด่นสูงสุดจะมีค่ามากขึ้นเมื่อเพิ่มอัตราความเครียด และในส่วนของความสัมพันธ์ระหว่างความเด่นกับความเครียดที่อุณหภูมิ 25°C 40°C และ 55°C นั้นจากการศึกษาพบว่ามีค่าคงคลึงกับผลการทดสอบที่ 10°C อย่างไรก็ตามผลการทดสอบดังกล่าวอาจจะสังเกตได้ว่าเส้นโค้งที่อุณหภูมิ 40°C และ 55°C ณ อัตราความเครียด 0.0056 ต่อวินาที อาจจะแตกต่างไปจากแนวโน้มในภาพรวม กล่าวคือ เส้นโค้งความสัมพันธ์ระหว่างความเด่นกับความเครียดนั้นค่อนข้างแบบราบและค่าความเด่นสูงสุดมีค่าน้อยกว่าที่คาดการณ์ไว้

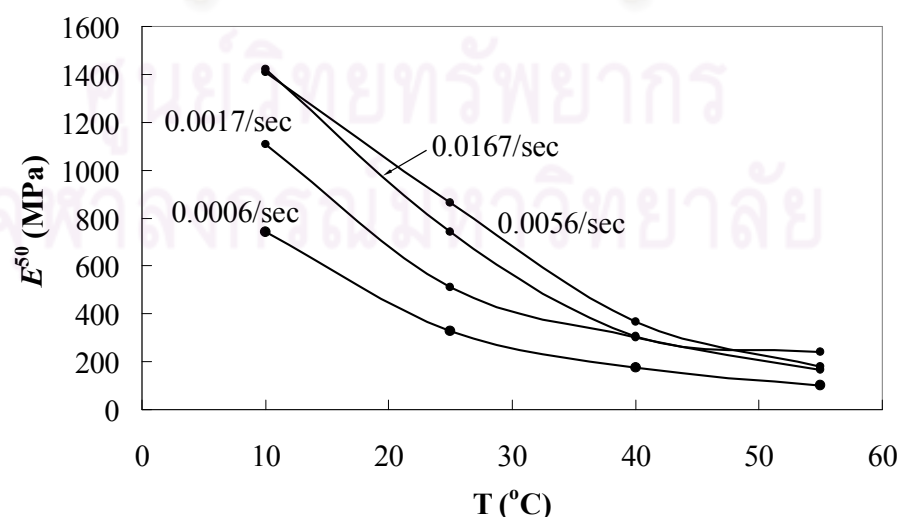
ผลการวิเคราะห์การทดสอบของงานวิจัยนี้แบ่งออกเป็น 2 ส่วนคือ ผลการวิเคราะห์กำลัง (Strength) และความแข็งแรง (Stiffness) และผลการวิเคราะห์การซ้อนทับระหว่างเวลา กับ อุณหภูมิพร้อมด้วยความเสียหาย สำหรับส่วนแรกนั้นผลการวิเคราะห์จะเน้นศึกษาถึงพฤติกรรมทางด้านกำลังและความแข็งของวัสดุแอสฟัลติกคอนกรีตในรูปแบบของแรงอัด

รูปที่ 2.30 และ 2.31 แสดงผลกระ逼ของ σ_{\max} และ E^{50} ภายใต้การเปลี่ยนแปลงของอุณหภูมิ จากภาพสรุปได้ว่าค่า σ_{\max} และ E^{50} มีค่ามากขึ้นเมื่อเพิ่มอุณหภูมิและอัตราความเครียดอย่างไรก็ตามผลการทดสอบดังกล่าวอาจสังเกตความไม่สม่ำเสมอของข้อมูลได้ที่อัตราความเครียด 0.0167 และ 0.0056 ต่อวินาที ณ อุณหภูมิ 25°C และ 40°C ดังแสดงในรูปที่ 2.31

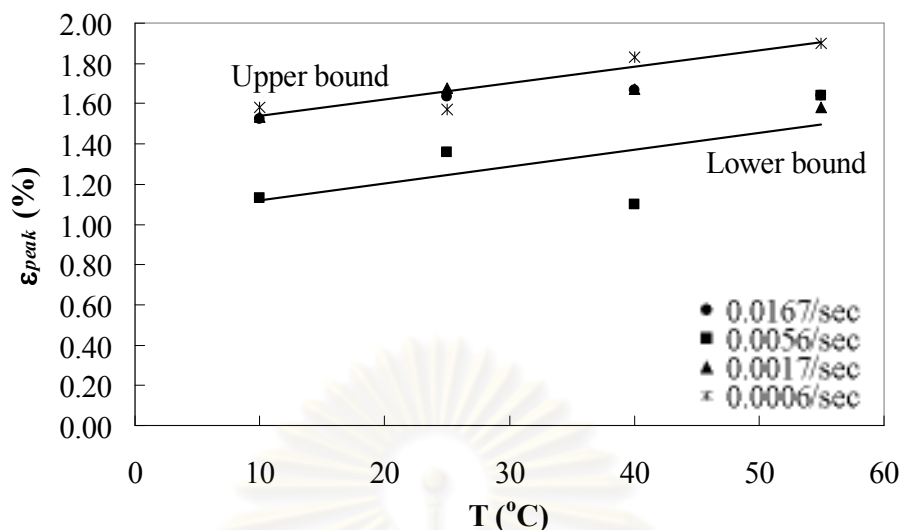
ทั้งนี้อาจเกิดจากแรงที่เกิดขึ้นจากการสัมผัสระหว่างแผ่นกด (Loading plate) กับตัวอย่างทดสอบบน สัมผัสแรก สำหรับความเครียด ณ จุดความเค้นสูงสุด (Strain at peak, ε_{peak}) ของการทดสอบดังแสดงในรูปที่ 2.32 ซึ่งของค่าความเครียดดังกล่าวมีค่าระหว่างอยู่ในบริเวณขอบล่าง (Upper and lower bound) ประมาณ 1.1 – 1.9% (เฉลี่ย 1.5%) โดยค่าความเครียด ณ จุดความเค้นสูงสุดของแอสฟัลติกคอนกรีตมีค่าน้อยกว่าความเครียด ณ จุดความเค้นสูงสุดของคอนกรีต (ค่าความเครียด ณ จุดความเค้นสูงสุด ภายใต้การทดสอบกำลังรับแรงอัดมีค่าประมาณ 3%)



รูปที่ 2.30 ความสัมพันธ์ระหว่าง σ_{max} และอุณหภูมิ

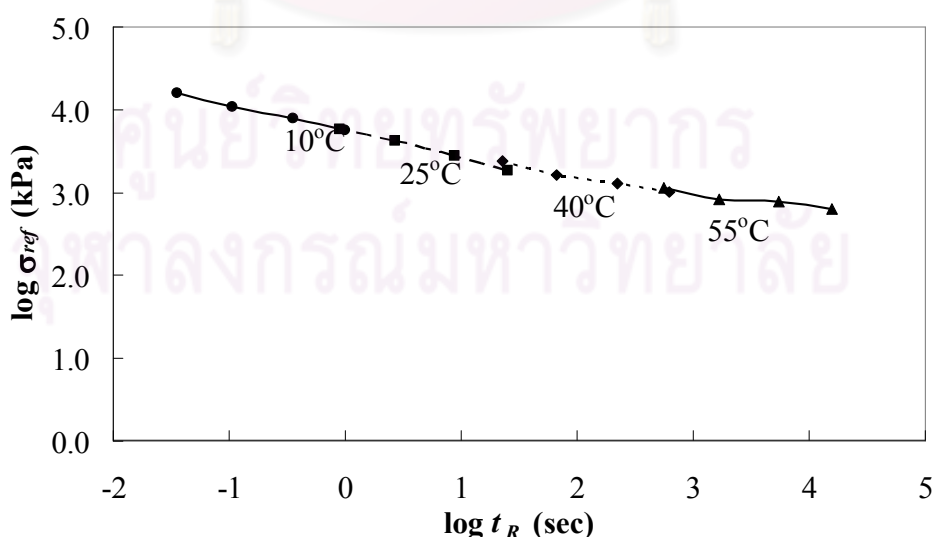


รูปที่ 2.31 ความสัมพันธ์ระหว่าง E^{50} และอุณหภูมิ



รูปที่ 2.32 ความสัมพันธ์ระหว่าง ε_{peak} และอุณหภูมิ

ผลการวิเคราะห์ในส่วนที่ 2 คือ การซ้อนทับระหว่างเวลา กับ อุณหภูมิ พิริยมด้วยความ เสียหาย ภายใต้การทดสอบแรงอัดแบบปราศจากแรงตันด้านข้าง ใน การวิเคราะห์นี้ ความเครียด ข้างอิงที่เลือกไว้มีค่าเท่ากับ 1.5% ซึ่งค่าดังกล่าวนั้นคือความเครียดเฉลี่ยที่จุดความเค้นสูงสุด จาก ข้อมูลข้างต้น ความสัมพันธ์ระหว่างความเค้น ณ ความเครียดข้างอิง (Stress at the reference strain, σ_{ref}) ซึ่งความสัมพันธ์ดังกล่าวสามารถได้เป็นความสัมพันธ์เชิงเส้นอย่างง่าย (Simple linear relationship) ดังแสดงในรูปที่ 2.33

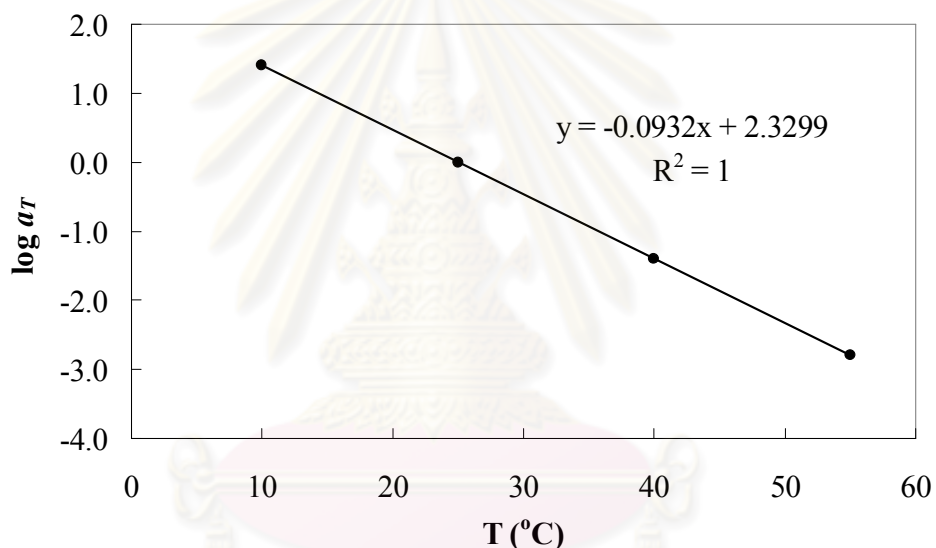


รูปที่ 2.33 ความสัมพันธ์ระหว่างความเค้นและเวลาที่ลดลง

สำหรับความสัมพันธ์ระหว่างฟังก์ชันอุณหภูมิเคลื่อนและอุณหภูมิสามารถสรุปได้ดังสมการที่ 2.12 โดยที่เราจะใช้ฟังก์ชันอุณหภูมิเคลื่อนที่นี้ใช้สำหรับการแปลงผลการทดสอบที่อุณหภูมิอื่นๆมาที่อุณหภูมิมาตรฐาน (25°C)

$$\log a_T = -0.0932T + 2.3299 \quad (2.12)$$

เมื่อ T คือ อุณหภูมิ ($^{\circ}\text{C}$) การวิเคราะห์เส้นแนวโน้ม (Regression analysis) ของสมการที่ 2.12 ซึ่งมีค่าเท่ากับ $R^2 = 1$ แสดงในรูปที่ 2.34



รูปที่ 2.34 ความสัมพันธ์ระหว่างฟังก์ชันอุณหภูมิเคลื่อนและอุณหภูมิ

งานวิจัยฉบับนี้นำเสนอพฤติกรรมความสัมพันธ์ระหว่างความเค้นกับความเครียดของแอกส์ฟลิติกคอนกรีตภายในได้ช่วงกว้างของอุณหภูมิและอัตราความเครียดจากการทดสอบแรงอัดแบบปราศจากแรงดันด้านข้าง นอกจากนั้นยังได้นำเอาหลักการของการซ้อนทับระหว่างเวลา กับอุณหภูมิพร้อมด้วยความเสียหายที่เพิ่มขึ้นมาอย่างมากของอุณหภูมิและอัตราความเครียด ที่มีผลต่อพฤติกรรมของแอกส์ฟลิติกคอนกรีตไว้ด้วย จากผลวิเคราะห์ที่ได้จากการวิจัยนี้สามารถนำไปใช้ในทางปฏิบัติสำหรับงานวิศวกรรมผิวน้ำในประเทศไทยหรือประเทศเขตร้อน อย่างไรก็ตามผลการวิเคราะห์ข้างต้นจำกัดสำหรับวัสดุแอกส์ฟลิติกคอนกรีตชนิดแน่น (Dense grade) ช่วงอุณหภูมิที่ใช้ศึกษาอยู่ระหว่าง 10°C กับ 55°C และผลการวิเคราะห์ข้างต้นจากการทดสอบที่ความเครียดระดับสูง (Large strain)

2.17.5 ผลของอุณหภูมิที่มีต่อการยุบตัวภาครของแอสฟัลติกคอนกรีต (Temperature effect on Permanent Deformation of asphaltic concrete) (ธนกร ชุมภรัตน์, 2552)

งานวิจัยนี้นำเสนอการวิเคราะห์การยุบตัวภาครที่เกิดขึ้นกับแอสฟัลติกคอนกรีตภายใต้การเปลี่ยนแปลงอุณหภูมิที่แตกต่างกัน 4 ค่า คือ 10°C 25°C 40°C และ 55°C ตามลำดับ ท้ายสุดนั้น งานวิจัยนี้ได้เสนอสมการความสัมพันธ์ในการประมาณเมื่อความเสียหายของแอสฟัลติกคอนกรีต เพื่อใช้ในการออกแบบผิวทางแบบยึดหยุ่น ณ การเปลี่ยนแปลงอุณหภูมิต่าง ๆ

ตัวอย่างวัสดุแอสฟัลติกคอนกรีตที่นำมาใช้ทดสอบนั้นออกแบบด้วยวิธีมาเรล (Marshall method) โดยส่วนผสมของวัสดุดังกล่าวประกอบด้วยแอสฟัลต์ซีเมนต์ (Asphalt cement) AC 60/70 และวัสดุมวลรวมขนาดใหญ่สุด (Nominal maximum size of aggregate) 12.5 มิลลิเมตร จากการออกแบบด้วยวิธีข้างต้นประมาณแอสฟัลต์ซีเมนต์ AC 60/70 ที่ใช้ผสม มีค่าเท่ากับ 5.5% ของปริมาณมวลรวมทั้งหมด หลังจากผสมตัวอย่างเข้าด้วยกันแล้วส่วนผสมทั้งหมดถูกนำมารดดัด ด้วยเครื่องบดอัดใจราทอรีแบบซุปเปอร์เพฟ (Superpave gyratory compactor, SGC)

ภายหลังการบดดัดตัวอย่างแอสฟัลติกคอนกรีตที่ได้ต้องมีคุณลักษณะและคุณสมบัติ ดังต่อไปนี้ คือ ขนาดเส้นผ่านศูนย์กลาง 100 มิลลิเมตร สูง 150 มิลลิเมตร ความหนาแน่น (Density) 2,400-2450 กิโลกรัมต่อลูกบากระยะเมตร และปริมาณช่องว่างของอากาศ (Air void, AV) เท่ากับ 3-5% โดยที่การบดดัดตัวอย่างด้วยเครื่องบดอัดใจราทอรีแบบซุปเปอร์เพฟต้องใช้คอมพิวเตอร์ในการควบคุมและสั่งงาน

เมื่อเตรียมตัวอย่างแอสฟัลติกคอนกรีตได้ตามเงื่อนไขที่ระบุข้างต้นแล้ว นำตัวอย่างที่ได้ไปทดสอบหาค่าโมดูลัสคืนตัว ด้วยเครื่อง Universal Testing Machine (UTM) ขนาด 14 กิโลนิวตัน สำหรับการประมาณค่าโมดูลัสคืนตัวจำเป็นที่จะต้องติดตั้งอุปกรณ์ LVDT (Linear Variable Differential Transducer) เพื่อวัดการเปลี่ยนแปลงรูปร่าง

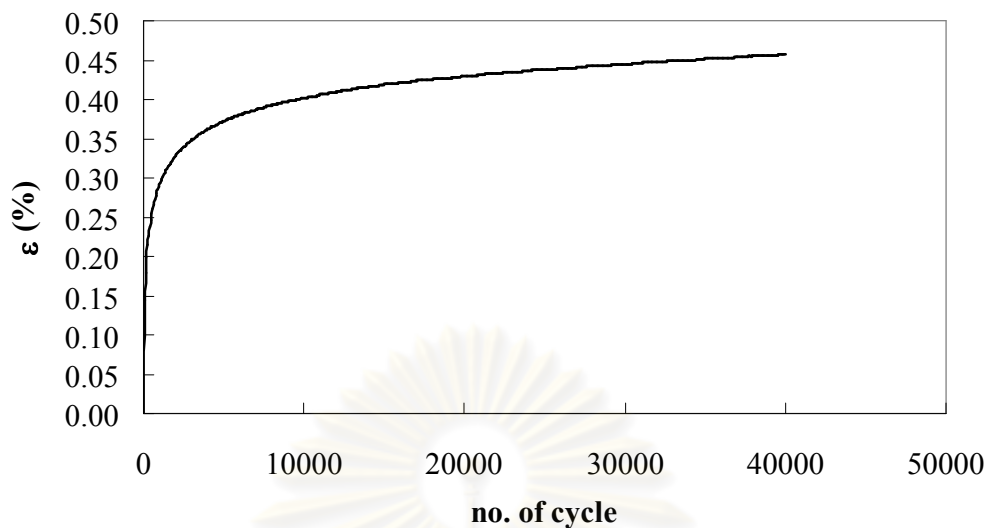
ในส่วนการทดสอบแรงกระทำซ้ำแบบปราศจากแรงดันด้านข้างทำการทดสอบที่อุณหภูมิ 10°C 25°C 40°C และ 55°C โดยค่าระดับความเค้น (Stress level) ที่ใช้ในการทดสอบมีค่าเท่ากับ 207 กิโลปascal (NCHRP report 465, 2002) การให้ความเดันดังกล่าวจะให้แรงกดในลักษณะกระทำซ้ำ (Repeated load) จำนวน 40,000 รอบ หรือจนกว่าตัวอย่างจะเสียหาย โดยแรงกดดังกล่าวจะกระทำที่ความถี่ 1 เฮิรต (Hz) นั่นคือ มีสัดส่วนช่วงการให้แรง (Load) ต่อช่วงเวลาการปล่อยแรง (Unload) เท่ากับ 1 ต่อ 9 หรือคือในแต่ละชุดของแรงกระทำ 1 วินาที มีช่วงเวลาการให้แรง 0.1 วินาที

เมื่อพิจารณาถึงรูปแบบความเสียหายที่เกิดขึ้นของการทดสอบการยุบตัวถาวรจากแรงกระทำช้าและจากการให้แรงแบบสติตันน์ จะมีรูปแบบความเสียหายซึ่งสามารถอธิบายได้ในแนวทางเดียวกันกล่าวคือ รูปแบบความเสียหายที่เกิดขึ้นจะเป็นแบบความคืบ แต่การพิจารณาการเกิดรูปแบบความเสียหายนี้ข้อแตกต่างกันเล็กน้อย คือเมื่อพิจารณาความเครียดพลาสติกจากการให้แรงกระทำช้าหาก มักจะอธิบายด้วยจำนวนครั้งของแรงกระทำ (ดังรูปที่ 2.11(a)) แต่ในกรณีของการให้แรงแบบสติติกจะอธิบายด้วยเวลาที่แรงกระทำ (log of time)

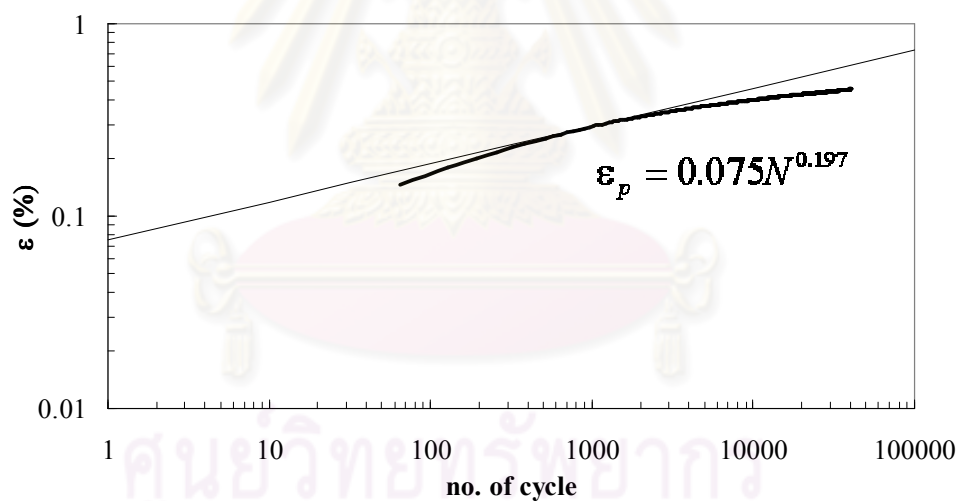
ผลของการยุบตัวถาวรภายใต้การเปลี่ยนแปลงอุณหภูมิ 4 ค่า ดังแสดงในรูปที่ 2.35 ถึง 2.37 สำหรับอุณหภูมิที่ 10°C พบร่วมกับวัสดุแอกฟลัติกคอนกรีตไม่แสดงพฤติกรรมของการยุบตัวถาวร ทั้งนี้ เพราะที่อุณหภูมิต่ำๆ นั้นแอกฟลัติกคอนกรีตจะแสดงพฤติกรรมเป็นแบบอิลาสติกสมบูรณ์ (Perfectly elastic) หรือกล่าวในอีกนัยหนึ่งคือวัสดุสามารถคืนตัวได้อย่างสมบูรณ์หลังจากดอนแรงกระทำ สำหรับอุณหภูมิมาตรฐาน (25°C) (รูปที่ 2.35) วัสดุแอกฟลัติกคอนกรีตเกิดการยุบตัวถาวร โดยความเครียดที่เกิดขึ้นเกิดอยู่ในช่วงเริ่มแรก และสิ้นสุดในช่วงที่ 2 ซึ่งความเครียดถาวรที่เกิดขึ้นทั้งหมดประมาณ 0.45% โดยไม่พบความเสียหายเกิดขึ้นในช่วง 40,000 รอบของแรงกระทำ (รูปที่ 2.35(a)) จากผลของความสัมพันธ์ระหว่างความเครียดกับจำนวนครั้งของการให้แรง สามารถนำไปสร้างสมการการยุบตัวถาวรได้ดังแสดงในรูปที่ 2.35(b)

ความสัมพันธ์ระหว่างความเครียดกับจำนวนครั้งของการให้แรง ณ อุณหภูมิ 40°C (รูปที่ 2.36) พบร่วมกับวัสดุแอกฟลัติกคอนกรีตเกิดการยุบตัวถาวร ซึ่งความเครียดที่เกิดขึ้นเกิดอยู่ในช่วงเริ่มแรก และสิ้นสุดในช่วงที่ 3 โดยค่าของแรงกระทำที่จุดเสียรูปซึ่งมีค่าประมาณ $11,000 - 11,500$ รอบ จากความสัมพันธ์ดังกล่าวสามารถประมาณค่าคงที่จากการทดสอบ a และ b มีค่าเท่ากับ 0.032 และ 0.456 ตามลำดับ ดังแสดงในรูปที่ 2.36(b)

สำหรับอุณหภูมิสูงสุด (55°C) ความสัมพันธ์ระหว่างความเครียดกับจำนวนครั้งของการให้นั้นค่อนข้างเหมือนกับที่อุณหภูมิ 40°C นั่นคือ ความเครียดที่เกิดขึ้นเกิดอยู่ในช่วงเริ่มแรก และสิ้นสุดในช่วงที่ 3 อย่างไรก็ตามค่าของแรงกระทำที่จุดเสียรูปมีค่าน้อยกว่าที่อุณหภูมิ 40°C นั่นคือมีค่าเท่ากับ 3000 รอบ และในส่วนของค่าคงที่จากการทดสอบ a และ b มีค่าเท่ากับ 0.036 และ 0.518 ตามลำดับ ดังแสดงในรูปที่ 2.37(b)

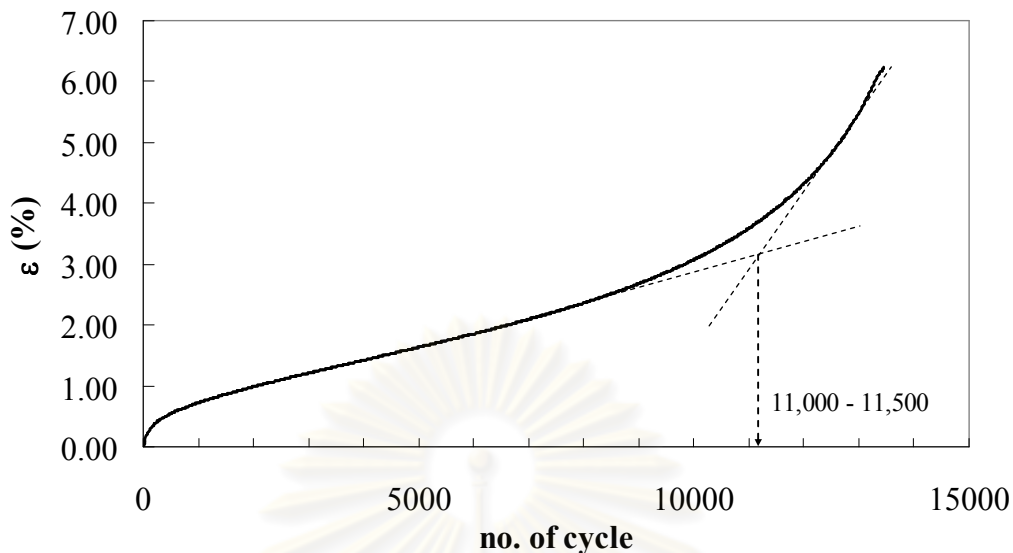


(a) ความสัมพันธ์ระหว่างความเครียดกับจำนวนครั้งของการให้แรงเพื่อนิยามจำนวนของแรงกระทำที่ทำให้ตัวอย่างเกิดความเสียหาย

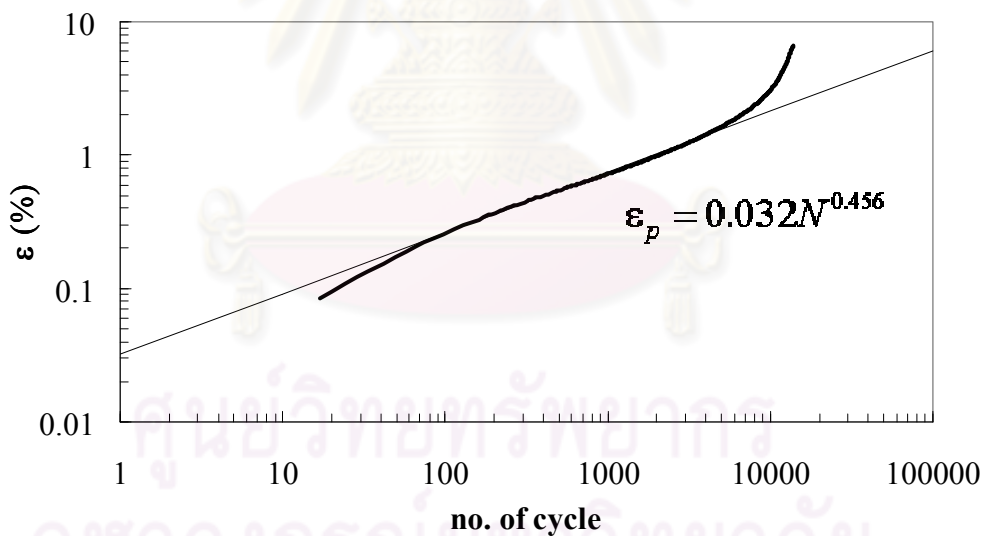


(b) ความสัมพันธ์ระหว่างความเครียดกับจำนวนครั้งของการให้แรงเพื่อสร้างสมการการยุบตัวถาวรอย่างง่าย

รูปที่ 2.35 ผลการทดสอบการยุบตัวถาวรที่เกิดขึ้นกับตัวอย่างแอกซ์เพลติกคอนกรีต ณ อุณหภูมิ 25°C

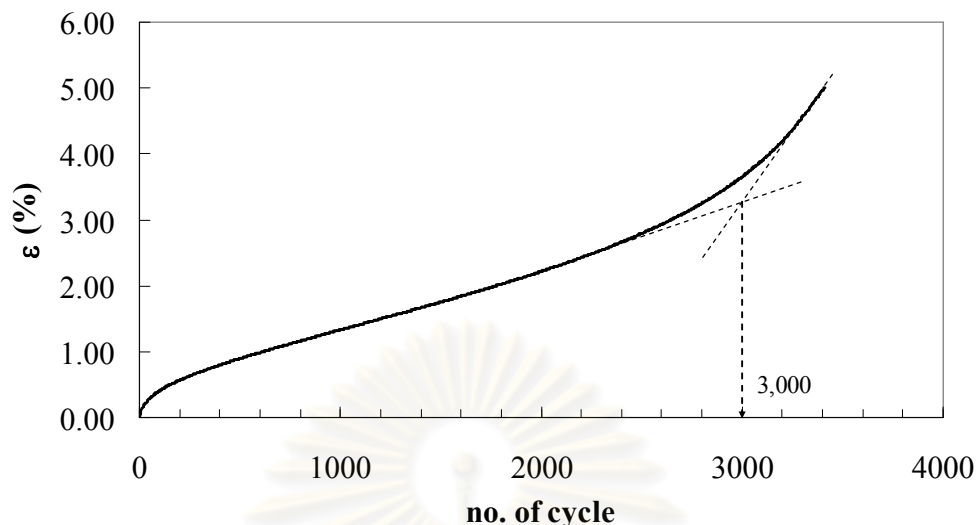


(a) ความสัมพันธ์ระหว่างความเครียดกับจำนวนครั้งของการให้แรงเพื่อนิยามจำนวนของแรงกระทำที่ทำให้ตัวอย่างเกิดความเสียหาย

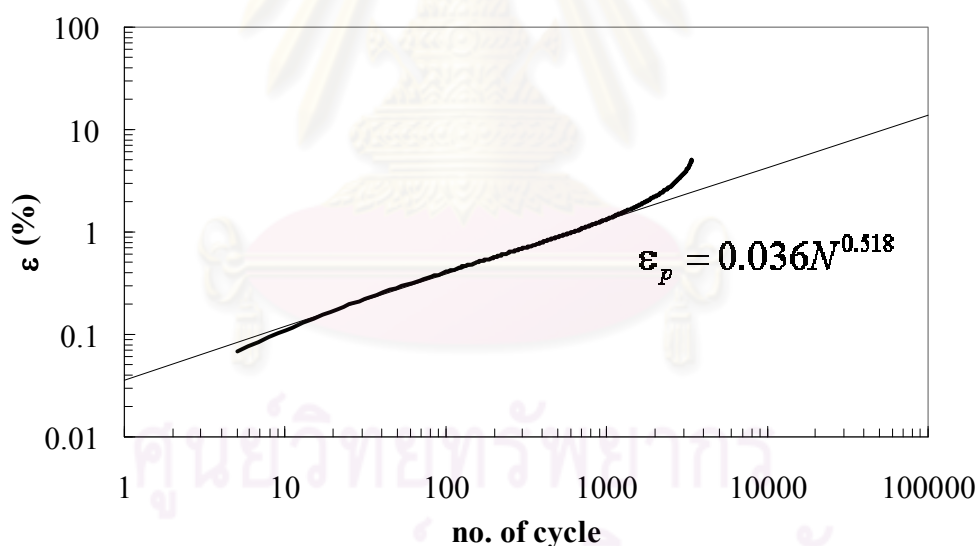


(b) ความสัมพันธ์ระหว่างความเครียดกับจำนวนครั้งของการให้แรงเพื่อสร้างสมการการยุบตัวของอย่างง่าย

รูปที่ 2.36 ผลการทดสอบการยุบตัวตามที่เกิดขึ้นกับตัวอย่างแอกซ์เพลติกคอนกรีต ณ อุณหภูมิ 40°C



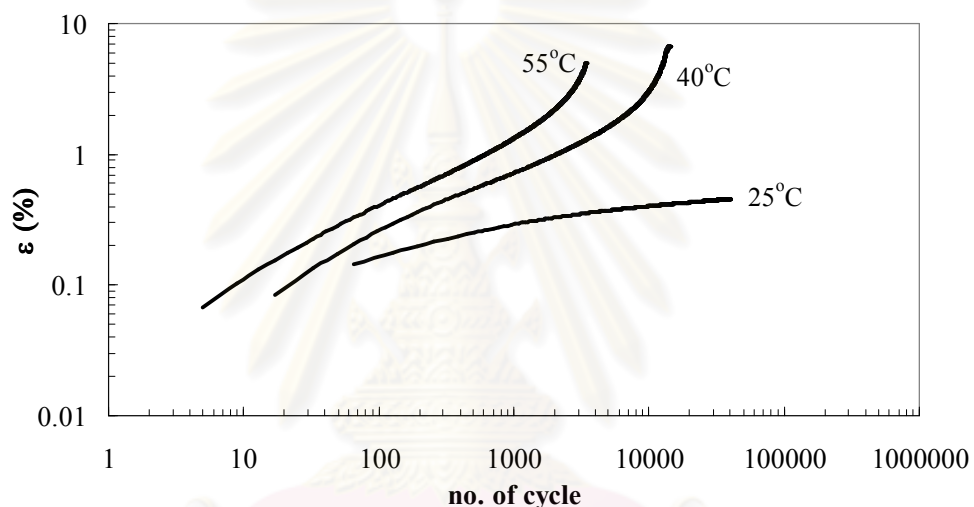
(a) ความสัมพันธ์ระหว่างความเครียดกับจำนวนครั้งของการให้แรงเพื่อนิยามจำนวนของแรงกระทำที่ทำให้ตัวอย่างเกิดความเสียหาย



(b) ความสัมพันธ์ระหว่างความเครียดกับจำนวนครั้งของการให้แรงเพื่อสร้างสมการการยุบตัวถาวรอย่างง่าย

รูปที่ 2.37 ผลการทดสอบการยุบตัวถาวรที่เกิดขึ้นกับตัวอย่างแอกซ์ฟลิติกคอนกรีต ณ อุณหภูมิ 55°C

จากผลการทดสอบสามารถสรุปได้ว่าปัจจัยของอุณหภูมิมีผลกระทบอย่างมากต่อค่าการยุบตัวทั่วไป โดยค่าของแรงกระทำที่จุดเสียรูปจะมีค่าน้อยลงเมื่ออุณหภูมิเพิ่มมากขึ้น ดังแสดงในรูปที่ 2.38 อย่างไรก็ตามที่อุณหภูมิต่ำ (10°C) นั้นไม่สามารถประมาณค่าการยุบตัวทั่วไปได้ภายในระบบของแรงกระทำที่กำหนด ทั้งนี้เนื่องจากวัสดุแสดงพฤติกรรมแบบอิลาสติกสมบูรณ์ สำหรับที่ 25°C นั้นพฤติกรรมของแอกซ์ฟลัติกคอนกรีตไม่แสดงพฤติกรรมความเสียหายในช่วงที่ 3 สุดท้าย ณ อุณหภูมิ 40°C และ 55°C เกิดความเสียหายที่จำนวนครั้งของการให้แรง ณ จุดเสียรูปประมาณ 11,000-11,500 และ 3,000 รอบ ตามลำดับ

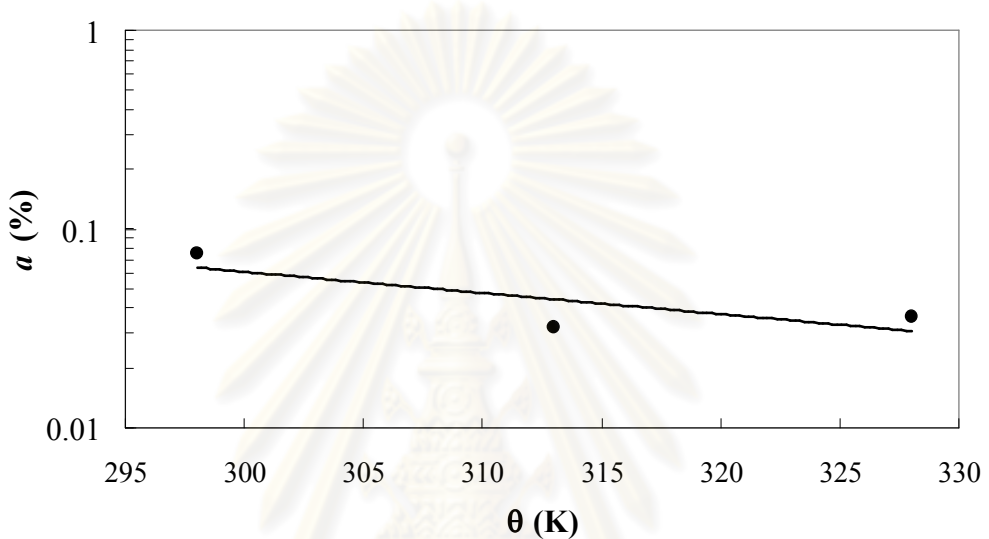


รูปที่ 2.38 ความสัมพันธ์อกระว่างความเครียดกับจำนวนครั้งของการให้แรงเพื่อสร้างสมการการยุบตัวทั่วทั่วไปอย่างง่าย

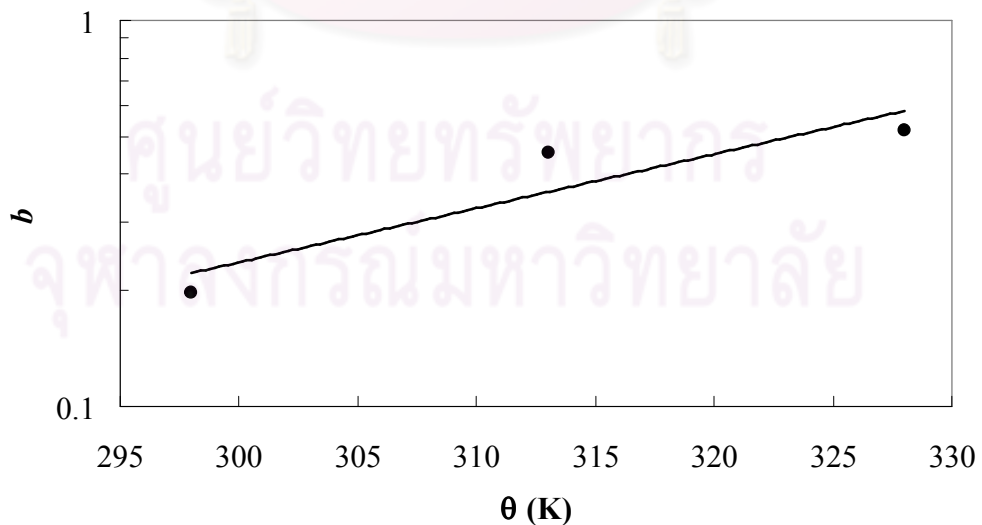
สุดท้ายจากการทดสอบสามารถสร้างสมการอย่างง่ายเพื่อใช้สำหรับการประมาณค่าการยุบตัวทั่วทั่วไปที่ได้จากวัสดุผสมแอกซ์ฟลัติกคอนกรีตภายในประเทศไทย โดยความสัมพันธ์ระหว่างค่าคงที่ a และ b มีค่าเพิ่มขึ้น และลดลงเป็นแบบพิงค์ชันเอกซ์โพเนนเชียล ตามลำดับ ดังแสดงด้วยกราฟกึ่งล็อกในรูปที่ 2.39 และ 2.40 จากกราฟดังกล่าวสามารถนำมารวิเคราะห์ด้วยสมการถดถอยเส้น (Linear regression analysis) เพื่อนำไปใช้ในการประมาณค่าคงที่ a และ b ณ การเปลี่ยนแปลงอุณหภูมิต่างๆ ได้ ดังแสดงในสมการที่ 2.13 และ 2.14 โดยที่ ณ อุณหภูมิศูนย์สัมบูรณ์ (Absolute zero temperature) ประมาณ 0 K หรือ -273°C ค่าคงที่ a และ b จะมีค่าเท่ากับ 93.6 และ 1.0×10^{-5} ตามลำดับ

$$a = 93.6 \exp(-0.0245\theta); R^2 = 0.632 \quad (2.13)$$

$$b = 10^{-5} \exp(-0.0322\theta); R^2 = 0.847 \quad (2.14)$$



รูปที่ 2.39 ความสัมพันธ์ระหว่างค่าคงที่ a และอุณหภูมิ



รูปที่ 2.40 ความสัมพันธ์ระหว่างค่าคงที่ b และอุณหภูมิ

จากการวิเคราะห์ข้างต้นงานวิจัยนี้สามารถนำไปใช้ในประเมินคุณสมบัติของวัสดุผสมแอสฟัลติกคอนกรีตแบบแน่นที่นำมาใช้ก่อสร้างถนนลาดยางจริง อุณหภูมิกัน 25°C สามารถประมาณค่าการยุบตัวavarได้จากสมการ (2.12) พร้อมกับใช้ค่าคงที่ a และ b จากสมการที่ (2.13) และ (2.14) นอกจากนั้นจากการทดสอบชี้ให้เห็นว่าส่วนผสมของแอสฟัลติกคอนกรีตนี้เม่เหมาะสมจะนำไปใช้ในถนนที่จะทำให้แอสฟัลติกคอนกรีตมีอุณหภูมิประมาณ 55°C เมื่อจากแอสฟัลติกคอนกรีตเกิดความเสียหายจากแรงกระแทก่อน 10,000 รอบ

2.17.6 แนวทางการเลือกใช้ยางและแอสฟัลต์และการออกแบบส่วนผสมวัสดุแอสฟัลติกคอนกรีตให้เหมาะสมกับสภาพการใช้งานในประเทศไทย (ธันวิน, 2552)

ในช่วงปีพ.ศ. 2552 กรมทางหลวงของประเทศไทยได้ทำการศึกษาวิจัยการเลือกใช้แอสฟัลต์และการออกแบบส่วนผสมวัสดุแอสฟัลติกคอนกรีตที่ส่งผลต่อคุณสมบัติทางวิศวกรรมของวัสดุแอสฟัลติกคอนกรีต โดยได้ทำการออกแบบส่วนผสมวัสดุแอสฟัลติกคอนกรีตด้วยวิธี SUPERPAVE ซึ่งใช้เทคนิคหินบะซอลต์ และหินปูนเป็นวัสดุมวลรวมและใช้แอสฟัลต์ประเภท AC40/50 AC60/70 และ PMA เป็นวัสดุเชื่อมประสาน งานนี้ทำการทดสอบคุณสมบัติของวัสดุแอสฟัลติกคอนกรีตซึ่งประกอบไปด้วย การทดสอบเสถียรภาพแบบมาาร์ชอล (Marshall Stability) การทดสอบกำลังรับแรงดึงทางข้อม ทดสอบความต้านทานการเสียหายจากการซีน การทดสอบค่าโมดูลัสคืนตัว และการทดสอบหาค่าการต้านทานการเกิดร่องล้อด้วยการทดสอบ SPT Flow

รายงานผลการศึกษาของธันวินและคณะ (2552) พบว่าที่ช่วงอุณหภูมิต่ำกว่า 40°C วัสดุแอสฟัลติกคอนกรีตที่ผสมด้วยแอสฟัลต์ AC40/50 และ PMA มีความแข็งแรงใกล้เคียงกัน ในขณะที่วัสดุแอสฟัลติกคอนกรีตที่ผสมด้วยแอสฟัลต์ AC60/70 มีความแข็งแรงน้อยที่สุด สำหรับช่วงอุณหภูมิใช้งานสูงประมาณ 60°C วัสดุแอสฟัลติกคอนกรีตที่ผสมด้วยแอสฟัลต์ PMA มีความแข็งแรงสูงที่สุด

ตารางที่ 2.6 ผลการทดสอบคุณสมบัติและสมรรถนะของวัสดุแอกซ์เพลติกคอนกรีต (มันวิน, 2552)

Type	Limestone			
	40-50	60-70	PMA	
Indirect tensile strength (MPa)	@ 20°C	1.70	1.27	1.63
	@ 35°C	0.43	0.36	0.44
Resilient modulus (MPa)	@ 20°C	8,310	5,267	5,737
	@ 35°C	1,566	872	1,488

ศูนย์วิทยทรัพยากร
จุฬาลงกรณ์มหาวิทยาลัย

บทที่ 3

วิธีดำเนินการวิจัย

3.1 ขั้นตอนการทดสอบวัสดุพื้นฐาน (Methodology of basic material test)

ก่อนจะทำการทดสอบพฤติกรรมทางด้านกำลังของแอลฟ์ลิติกคอนกรีต มีความจำเป็นอย่างยิ่งที่ต้องทดสอบวัสดุที่จะนำมาใช้ในการเตรียมตัวอย่าง เพื่อให้ได้ตัวอย่างที่เป็นไปตามมาตรฐานสำหรับการก่อสร้างผิวทางแบบบีดหยุ่นในประเทศไทย โดยวัสดุพื้นฐานที่ใช้ในการเตรียมตัวอย่าง ได้แก่ หินปูนและแอลฟ์ลิตซีเมนต์ประเภทเกรดการเจาะลึก

3.1.1 การทดสอบสมบัติหิน (Rock properties test)

เป็นการทดสอบเพื่อตรวจคุณภาพของหินที่นำมาใช้เป็นวัสดุมวลรวมในการเตรียมตัวอย่าง โดยหินที่ใช้ในงานวิจัยนี้ คือ หินปูน ที่มีขนาดเรียกว่า (Nominal size) 12.5 มิลลิเมตร มีแหล่งกำเนิดอยู่ที่จังหวัดสระบุรี สาเหตุที่เลือกใช้หินปูนเนื่องจากเป็นวัสดุมวลรวมที่ใช้กันอย่างแพร่หลายและผลิตได้ในประเทศไทย สมบัติของหินที่ทำการทดสอบได้แก่ ขนาดคละ (Gradation) ค่าความถ่วงจำเพาะรวม (Bulk specific gravity) และการขัดสีแบบลอสแอนเจลีส (LA abrasion) ซึ่งได้อธิบายไว้ในหัวข้อที่ 2.12.1 คุณสมบัติของมวลรวมสำหรับแอลฟ์ลิต์ผสมร้อน

ตารางที่ 3.1 การทดสอบสมบัติเบื้องต้นของหิน

สมบัติ	วิธีการทดสอบ	มาตรฐานอ้างอิง
1. ขนาดคละ	Sieve Analysis	ASTM C136
2. ค่าความถ่วงจำเพาะรวมของมวลรวมหยาบ	Bulk specific gravity Test	ASTM C 127
3. ค่าความถ่วงจำเพาะรวมของมวลรวมละเอียด	Bulk specific gravity Test	ASTM C 128
4. การขัดสีแบบลอสแอนเจลีส	Los Angeles Abrasion Test	ASTM C 131

3.1.2 การทดสอบสมบัติของแอสฟัลต์ซีเมนต์ (Asphalt cement properties test)

เป็นการทดสอบเพื่อตรวจสอบคุณภาพของแอสฟัลต์ซีเมนต์ที่จะนำมาใช้เป็นวัสดุเชื่อมประสานในการเตรียมตัวอย่าง โดยแอสฟัลต์ซีเมนต์ที่ใช้ในงานวิจัยนี้ คือ AC 40/50 AC 60/70 และ AC 80/100 ซึ่งเป็นแอสฟัลต์ซีเมนต์ชนิดเกรดการเจาะลึก (Penetration Grade) ที่ใช้ในการก่อสร้างพิภพทางแบบบีดหยุ่นในประเทศไทย สมบัติของแอสฟัลต์ซีเมนต์ที่ทำการทดสอบได้แก่ ค่าการเจาะลึก (Penetration) ความหนืดไคเเนมาติก และความถ่วงจำเพาะ (Specific gravity) ซึ่งได้อธิบายไว้ในหัวข้อที่ 2.8 การทดสอบคุณสมบัติของแอสฟัลต์ซีเมนต์

ตารางที่ 3.2 การทดสอบสมบัติเบื้องต้นของแอสฟัลต์ซีเมนต์

สมบัติ	วิธีการทดสอบ	มาตรฐานอ้างอิง
1. ค่าการเจาะลึก	Penetration Test	ASTM D5
2. ความหนืดไคเเนมาติก	Rotational Viscometer (Brookfield)	ASTM D 4402
	Viscometer	ASTM D7175-08
3. ความถ่วงจำเพาะ	Specific gravity test	ASTM D 70

3.1.3 คุณสมบัติของวัสดุ (Material properties)

คุณสมบัติทางวิศวกรรมของแอสฟัลต์ซีเมนต์ที่ได้จากการทดสอบดังกล่าวข้างต้น ได้แก่ AC40/50 มีค่าการเจาะลึก 44 เพน ความถ่วงจำเพาะเท่ากับ 1.026 ส่วน AC60/70 มีค่าการเจาะลึก 69 เพน ความถ่วงจำเพาะเท่ากับ 1.024 และ AC80/100 มีค่าการเจาะลึก 95 เพน ความถ่วงจำเพาะเท่ากับ 1.03 ดังแสดงในตารางที่ 3.3 ส่วนค่าความหนืดที่ได้จาก viscometer ของแอสฟัลต์ซีเมนต์ทั้งสามชนิดได้แสดงไว้ในรูปที่ 3.1 คุณสมบัติทางวิศวกรรมของหินปูนที่ได้จากการทดสอบ คือ ความถ่วงจำเพาะรวมเท่ากับ 2.617 และการขัดสีแบบลดอสแอนเจลิสเท่ากับร้อยละ 22.88 ดังแสดงในตารางที่ 3.4 นอกจากนั้นขนาดคละของมวลรวมที่เลือกใช้ในการออกแบบ ส่วนผสมได้แสดงไว้ในรูปที่ 3.2 ซึ่งเป็นขนาดคละตามเกณฑ์ข้อกำหนดการออกแบบส่วนผสมแอสฟัลต์ผสมร้อนประเภทแน่น (Design criteria of Dense-graded hot mix asphalt mixtures)

วัสดุทั้งหมดที่ใช้ในการเตรียมตัวอย่างเป็นไปตามมาตรฐานการก่อสร้างและมาตรฐานสำหรับวัสดุของกรมทางหลวงแห่งประเทศไทย (The standards for highway construction (DH-S) and the standards for materials (DH-SP) of Department of Highway, Thailand)

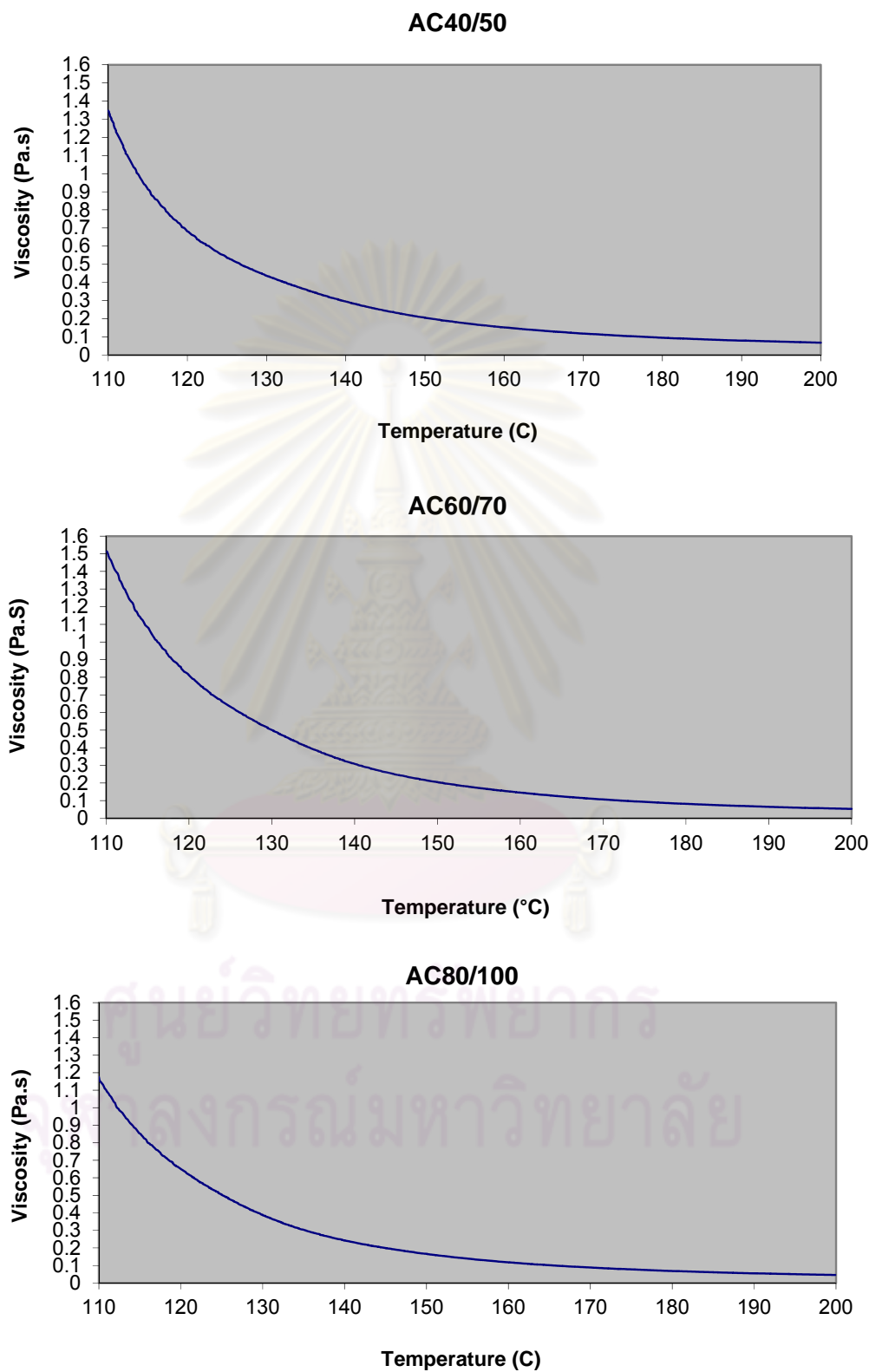
ตารางที่3.3 คุณสมบัติทางวิศวกรรมของแอสฟัลต์ชีเมนต์

วัสดุ	ค่าการเจาะลึก (Pen)	ความ ถ่วงจำเพาะ (g/cm ³)	ความหนืดโคลเเนมาติก ที่ 135°C (Pa·s)	ความหนืดโคลเเนมาติก ที่ 150°C (Pa·s)
AC40/50	44	1.026	0.6325	0.3075
AC60/70	69	1.024	0.3275	0.1700
AC80/100	95	1.03	0.3750	0.1925

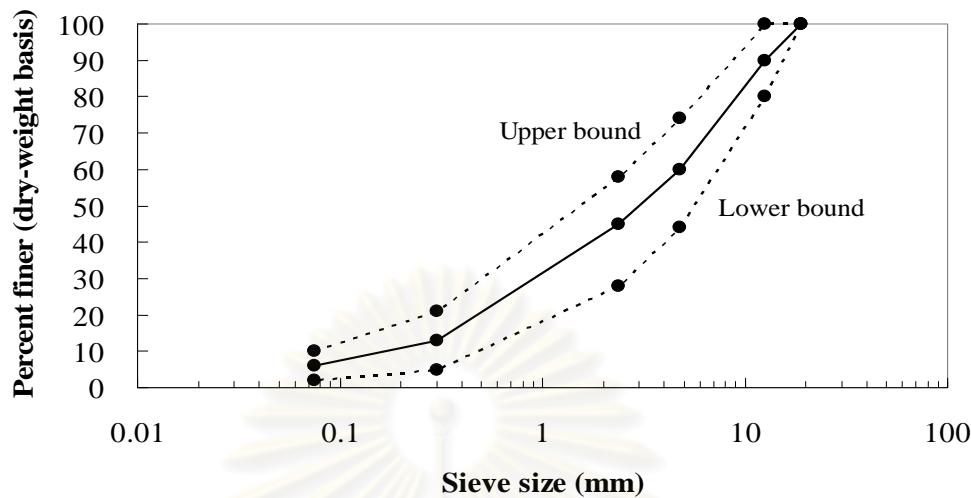
ตารางที่3.4 คุณสมบัติทางวิศวกรรมของมวลรวม

วัสดุ	ค่าความถ่วงจำเพาะรวม (g/cm ³)	การขัดสีแบบลอสแอนเจลีส
หินปูน	2.617	22.88 %

ศูนย์วิทยทรัพยากร
จุฬาลงกรณ์มหาวิทยาลัย



รูปที่ 3.1 ค่าความหนืดของแอสฟัลต์ชีเมนต์แต่ละประเภท



รูปที่ 3.2 ขนาดคละของมวลรวม

3.2 ขั้นตอนการเตรียมตัวอย่าง (Methodology of Sample Preparations)

ขั้นตอนการเตรียมตัวอย่างเป็นขั้นตอนสำคัญ เนื่องจากต้องเตรียมตัวอย่างให้มีคุณสมบัติเหมือนกันเพื่อที่จะสามารถเปรียบเทียบผลที่ได้จากการทดสอบ เริ่มจากการออกแบบส่วนผสมด้วยวิธีมาร์ชล จากนั้นเตรียมตัวอย่างด้วยเครื่องบดอัดใจราทอร์แบบซูเปอร์เพฟ (Superpave gyratory compactor) ซึ่งแบ่งตัวอย่างออกได้เป็น 2 ประเภทตามรูปแบบการทดสอบ โดยจะบรรยายอย่างละเอียดในหัวข้อต่อไปนี้

3.2.1 ศึกษาทฤษฎีการออกแบบส่วนผสม (Studying of Mix design theory)

งานวิจัยนี้ศึกษาทฤษฎีการออกแบบผิวทางแอสฟัลต์ผสมร้อนประเภทแน่น (HMA) ด้วยวิธีมาร์ชล (Marshall method) ดังกล่าวในบทที่ 2 ซึ่งใช้ในการออกแบบส่วนผสมสำหรับการเตรียมตัวอย่างเพื่อทดสอบหาพฤติกรรมทางด้านกำลังของแอสฟัลต์ผสมร้อนประเภทแน่น โดยใช้จำนวนครั้งในการบดอัด 75 ครั้ง เปรียบเสมือนปริมาณการจราจรหนาแน่น

จากการออกแบบด้วยวิธีมาร์ชล พบร่วมกันที่ต้องใช้ในการเตรียมตัวอย่าง คือหินปูนปริมาณ 1,200 กรัม ที่ทำการร่อนผ่านตะแกรงเบอร์ต่างๆ สำหรับการทดสอบแรงดึงทางข้อม (Indirect tensile test) และสำหรับการทดสอบกำลังรับแรงอัดแบบปราศจากแรงดันด้านตัวน้ำหนัก (Unconfined compression test) ใช้หินปูนปริมาณ 2,673 กรัม ที่ทำการร่อนผ่าน

ตะแกรงเบอร์ต่างๆ ซึ่งในการทดสอบตัวอย่างทั้งสองการทดสอบใช้ AC40/50 AC60/70 และ AC80/100 เป็นตัวเชื่อมประสาน โดยปริมาณของแอสฟัลต์ซีเมนต์และปริมาณของหินปูนที่ใช้ในการทดสอบได้แสดงไว้ในตารางที่ 3.5

ตารางที่ 3.5 ส่วนผสมที่ใช้ในการเตรียมตัวอย่างด้วยวิธีมาร์แซล

Sieve size	Indirect tensile test	Unconfined compression test
	weight retain (g)	weight retain (g)
19.00 (3/4)	0	0
12.5 (1/2)	120	267.3
4.75 (No.4)	360	801.9
2.36 (No.8)	180	400.95
0.3 (No.50)	384	855.36
0.075 (No.200)	84	187.11
Pan	72	160.38
Total	1200	2673
ปริมาณ AC40/50	ร้อยละ 4.9 โดยน้ำหนักของมวลรวม	ร้อยละ 4.9 โดยน้ำหนักของมวลรวม
ปริมาณ AC60/70	ร้อยละ 4.5 โดยน้ำหนักของมวลรวม	ร้อยละ 4.5 โดยน้ำหนักของมวลรวม
ปริมาณ AC80/100	ร้อยละ 4.9 โดยน้ำหนักของมวลรวม	ร้อยละ 4.9 โดยน้ำหนักของมวลรวม

3.2.2 การเตรียมตัวอย่าง (Sample Preparation)

ส่วนผสมแอสฟัลต์คอนกรีตจะถูกบดอัดด้วยเครื่องบดอัดไจราಥอรีแบบซุปเปอร์เพฟ (Superpave gyratory compactor) ดังแสดงในรูปที่ 2.21 เครื่องบดอัดไจราಥอรีแบบซุปเปอร์เพฟ ถูกควบคุมด้วยระบบคอมพิวเตอร์ เริ่มต้นทำการติดตั้งแบบหล่อที่บรรจุส่วนผสมเข้าไปในเครื่องบดอัดไจราಥอรีแบบซุปเปอร์เพฟ จากนั้นทำการสั่งงานด้วยระบบคอมพิวเตอร์ การบดอัดตัวอย่างนั้นแบบหล่อ (Mould) ที่ใช้บรรจุตัวอย่างแอสฟัลติกคอนกรีตจะถูกจัดวางอยู่บนฐานที่เอียงตัว 1.25 ± 0.02 องศา จากแนวระนาบ ซึ่งเมื่อเริ่มทำการบดอัดฐานรองรับแบบหล่อจะหมุนด้วยอัตรา

30 รอดต่อนาที และในระหว่างที่แบบหล่อหุ้นอยู่นั้นตัวอย่างจะถูกบดอัด โดยใช้แขนบดอัด (Loading ram or actuator) ที่แรง 600 ± 18 กิโลปascal ลักษณะและรูปแบบการบดอัดตัวอย่าง เอสพัลติกคอนกรีตด้วยเครื่องบดอัดใจราทรีแบบชุบเปอร์เพฟได้แสดงไว้ในรูปที่ 2.22

ภายหลังจากการบดอัดแล้ว ตัวอย่างเอสพัลติกคอนกรีตที่ได้ต้องมีลักษณะและคุณสมบัติดังต่อไปนี้ คือ ขนาดเส้นผ่านศูนย์กลางเท่ากับ 100 มิลลิเมตร สูง 65 มิลลิเมตรสำหรับการทดสอบแรงดึงทางข้อม (Indirect tensile test) เป็นจำนวน 120 ตัวอย่าง และขนาดเส้นผ่านศูนย์กลางเท่ากับ 100 มิลลิเมตร สูง 150 มิลลิเมตรสำหรับการทดสอบกำลังรับแรงอัดแบบปราศจากแรงดันด้านข้าง (Unconfined compression test) เป็นจำนวน 120 ตัวอย่าง ความหนาแน่น (Density) มีค่าประมาณ 2,400 กิโลกรัมต่อลูกบาศก์เมตร และปริมาณห้องว่างอากาศ (Air void, AV) ร้อยละ 4 ถึง 8

3.3 การทดสอบเชิงกลของเอสพัลต์ผสมร้อน (Mechanical testing for HMA)

การทดสอบเพื่อวิเคราะห์พฤติกรรมเชิงกลของเอสพัลต์ผสมร้อนในงานวิจัยนี้ ประกอบด้วย การทดสอบแรงดึงทางข้อม (Indirect tensile test, IDT) และการทดสอบแรงอัดแบบปราศจากแรงดันด้านข้าง (Unconfined compression test, UC) ทั้งในสภาวะแบบสถิต (Static) และแบบพลวัต (Dynamic) ซึ่งการทดสอบทั้งหมดจะใช้ปัจจัยต่างๆ ที่แตกต่างกัน คือ อัตราความเครียด (Strain rate) อุณหภูมิ (Temperature) และชนิดของเอสพัลต์ (Asphalt type)

3.3.1 การทดสอบแรงดึงทางข้อมแบบสถิตและพลวัต (Static and Dynamic Indirect tensile test, S-IDT and D-IDT)

ในการศึกษาพฤติกรรมแรงดึงแบบสถิตทำรายการทดสอบตามข้อกำหนดที่ข้างต้นจาก มาตรฐาน ASTM D 4867 ซึ่งกำหนดอุณหภูมิและอัตราความเครียดไว้ที่ 25°C และ 0.0083 s^{-1} ตามลำดับ แต่เพื่อให้ได้ผลลัพธ์ตามวัตถุประสงค์ของงานวิจัยที่ต้องการศึกษาผลกระทบของขั้นตอน ความเครียดและอุณหภูมิ รวมถึงประเภทของเอสพัลต์ที่มีต่อพฤติกรรมของเอสพัลติกคอนกรีต ดังนั้นจึงได้ทำการเลือกใช้ปัจจัยต่างๆ ที่แตกต่างกันได้แก่ อัตราความเครียดที่ 0.0250 , 0.0083 , 0.0025 และ 0.0008 s^{-1} อัตราความเครียดที่เพิ่มเติมจากมาตรฐานอีก 3 ค่านั้นอยู่ในช่วงของ ความสามารถของเครื่องทดสอบ การเปลี่ยนแปลงอัตราความเครียดดังกล่าวทำเพื่อสังเกตการ พัฒนาความเสียหาย ณ อุณหภูมิต่างๆ ในระดับจุดแตก (micro-cracking) จนกระทั่งตัวอย่างเอส

ฟลิติกคอนกรีตพังทลาย ส่วนอุณหภูมิที่ใช้ในการทดสอบ คือ 10°C 25°C 40°C และ 55°C เพราะเป็นช่วงอุณหภูมิที่มักเกิดขึ้นบนชั้นผิวทางในประเทศไทยและอยู่ในช่วงที่เครื่องทดสอบสามารถควบคุมได้ สุดท้ายคือประเภทของแอสฟัลต์ซีเมนต์เลือกใช้ AC 40/50 AC 60/70 และ AC 80/100 เนื่องจาก AC 60/70 เป็นแอสฟัลต์ซีเมนต์ที่ใช้ก่อสร้างผิวทางแบบยึดหยุ่นของประเทศไทยในปัจจุบัน ส่วน AC 80/100 นั้นใช้ก่อสร้างผิวทางแบบยึดหยุ่นในอดีต และสุดท้ายคือ AC 40/50 อนาคตคาดว่าจะนำมาใช้งานสำหรับการก่อสร้างผิวทางแบบยึดหยุ่นในประเทศไทย

การทดสอบเริ่มจากเตรียมตัวอย่างแอสฟัลติกคอนกรีตตามเงื่อนไขที่ระบุในหัวข้อที่ 3.2 จากนั้นนำตัวอย่างที่ได้ไปทดสอบด้วยเครื่อง Instron UTM-1.2MN ดังแสดงในรูปที่ 3.3 สำหรับการทดสอบแรงดึงทางข้อมน้ำจะเพิ่มแรงอัดกับตัวอย่างในแนวเส้นผ่านศูนย์กลาง โดยขนาดของตัวอย่างที่ใช้ในการทดสอบมีความสูง 100 มิลลิเมตรและเส้นผ่านศูนย์กลาง 65 มิลลิเมตร โดยค่าความเครียดแนวรัศมี (Radial strain) ของตัวอย่างสามารถตรวจวัดได้จากการติดตั้งเกจวัดความเครียด (Strain gage) จำนวน 2 ตัว โดยติดตั้ง ณ ตำแหน่งเส้นผ่านศูนย์กลางของตัวอย่างทดสอบทั้ง 2 ด้าน ดังแสดงในรูปที่ 3.4 สำหรับการวัดค่าความเครียดนั้นเกจวัดความเครียดที่เลือกใช้ให้ความแม่นยำระดับ $30 \text{ } \mu\epsilon$ ในช่วงอุณหภูมิที่ทำการทดสอบ ด้วยระดับความแม่นยำดังกล่าวทำให้ความคลาดเคลื่อนในการวัดความเครียดอยู่ในระดับ 0.1% ซึ่งยอมรับได้ ข้อจำกัดอย่างหนึ่งของการทดสอบนี้ คือ เครื่องมือทดสอบ Instron UTM-1.2MN นั้นไม่สามารถควบคุมอุณหภูมิได้ ดังนั้นในการเตรียมตัวอย่างจะทำการปรับชั้นตัวอย่างในตู้ควบคุมอุณหภูมิเป็นเวลา 2 ถึง 3 ชั่วโมง จากนั้นนำไปทำการทดสอบโดยอาศัยกล่องควบคุมอุณหภูมิระหว่างการขนย้ายเนื่องจากการทดสอบนี้เป็นการทดสอบอย่างรวดเร็ว (Quick test) ใช้เวลาในการทดสอบประมาณ 30 วินาทีต่อหนึ่งตัวอย่าง ซึ่งรวมขั้นตอนในการติดตั้งอีกประมาณ 1 – 2 นาที ดังนั้นการเปลี่ยนแปลงของอุณหภูมิเนื่องจากสิ่งแวดล้อมไม่น่าจะมีผลกระทบต่อผลการทดสอบ

ตัวอย่างทั้งหมดที่ใช้ในการทดสอบถูกควบคุมและบันทึกผลการทดสอบด้วยระบบคอมพิวเตอร์ดังแสดงในรูปที่ 3.3 โปรแกรมที่ใช้ในการทดสอบแรงดึงทางข้อมน้ำแบบสติ๊ตได้แสดงໄ่ในตารางที่ 3.6 ซึ่งโปรแกรมดังกล่าวจะถูกใช้กับแอสฟัลต์ซีเมนต์ทั้ง 3 ชนิดดังกล่าวข้างต้น



รูปที่ 3.3 เครื่องมือทดสอบ Universal Testing Machine (Instron UTM-1.2MN)



รูปที่ 3.4 รูปแบบการทดสอบแรงดึงทางข้อมและการติดตั้งเก้าอี้ด้วยความเครียด

ส่วนการทดสอบแรงดึงทางข้อมแบบพลวตนั้น ข้อกำหนดที่ใช้ในการทดสอบข้างขึ้นตามมาตรฐาน ASTM D 4123 ประกอบด้วยการทดสอบแรงดึงทางข้อมสำหรับไมดูลัสคีนตัว

(Resilient Modulus) โดยมาตรฐาน ASTM D 4123 กำหนดให้ใช้ค่าแรงดึงทางอ้อม ณ อุณหภูมิ 25°C ในการทำนายค่าโมดูลัสคืนตัวของทุกอุณหภูมิ อย่างไรก็ตามในงานนิจัยนี้ได้มีการประยุกต์วิธีการทดสอบบางส่วนจากมาตรฐานให้เหมาะสมกับสภาพการใช้งานจริงที่เกิดขึ้นของวัสดุแอสฟัลติกคอนกรีตที่ใช้เป็นชั้นผิวทาง นั่นคือ เปลี่ยนการให้แรงกระทำกับตัวอย่าง ซึ่งแต่เดิมจะใช้ค่าแรงดึงทางอ้อมที่ 25°C (Indirect tensile load at 25°C) ในการทำนายค่าโมดูลัสคืนตัวที่อุณหภูมิต่างๆ เป็นการใช้แรงดึงทางอ้อมของแต่ละอุณหภูมิที่ 10°C 25°C 40°C และ 55°C ในการทำนายค่าโมดูลัสคืนตัวที่ 10°C 25°C 40°C และ 55°C ตามลำดับ

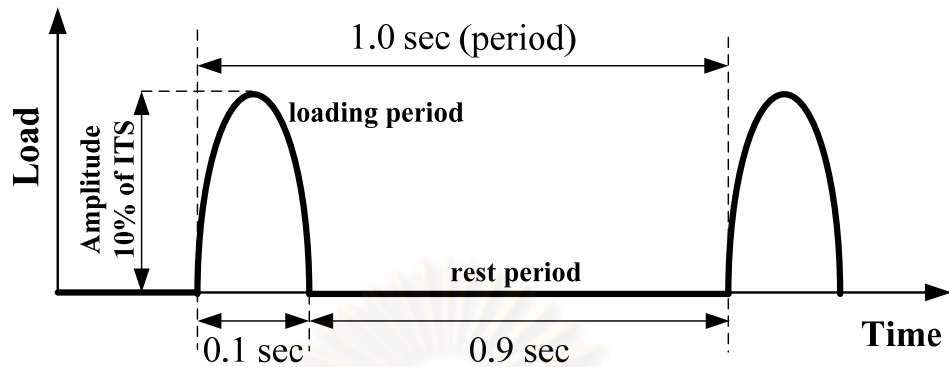
เมื่อเตรียมตัวอย่างแอสฟัลติกคอนกรีตตามเงื่อนไขที่ระบุในหัวข้อ 3.2.2 แล้ว จึงนำตัวอย่างที่ได้ไปทดสอบหาค่าโมดูลัสคืนตัว ด้วยเครื่อง Controls UTM-14 KN ดังแสดงในรูปที่ 3.5 โดยการติดตั้งตัวอย่างแอสฟัลติกคอนกรีตเข้ากับชุดอุปกรณ์ทดสอบโมดูลัสคืนตัวแสดงในรูปที่ 3.6 สำหรับการประมาณค่าโมดูลัสคืนตัวจำเป็นที่จะต้องติดตั้งคุปกรณ์ LVDT (Linear Variable Differential Transducer) เพื่อวัดการเปลี่ยนแปลงรูปร่างด้านข้าง ในส่วนการทดสอบหาค่าโมดูลัสคืนตัวนั้นทำการทดสอบที่อุณหภูมิ 10°C 25°C 40°C และ 55°C โดยค่าแรงกระทำที่ใช้ในการทดสอบแต่ละอุณหภูมิใช้ค่าเท่ากับร้อยละ 10 ของกำลังรับแรงสูงสุดที่ได้จากการทดสอบแบบสถิต (อ้างอิง บหความ HM 01: ถนน และคันสะ, 2551) การให้แรงดังกล่าวจะให้แรงกดในลักษณะกระทำซ้ำ (Repeated load) จำนวน 155 รอบ ประกอบไปด้วย 150 รอบแรก สำหรับแรงกระทำก่อน (Preload) และ 5 รอบสุดท้ายเพื่อประเมินค่าโมดูลัสคืนตัว โดยแรงกดดังกล่าวกระทำที่ความถี่ 1 เฮิร์ต (Hz) นั่นคือในแต่ละชุดของแรงกระทำ 1 วินาที มีช่วงเวลาการให้แรง 0.1 วินาที และช่วงการถอนแรง 0.9 วินาที สำหรับรูปร่างของการให้แรงกำหนดให้มีลักษณะเป็นครึ่งวงของพังก์ชันไฮเวอร์ (Haversine function) ดังแสดงในรูปที่ 3.7 โดยความเค้นคงค้าง (seating stress) ประมาณร้อยละ 10 ของความเค้นสูงสุดจะถูกกระทำค้างไว้ระหว่างหัวกดที่สมัพสกับตัวอย่าง ตลอดช่วงระยะเวลาที่ให้แรงกระทำแต่ละรอบ ซึ่งผลการทดสอบที่ได้จะถูกบันทึกและแสดงผลด้วยระบบคอมพิวเตอร์ ในตารางที่ 3.6 แสดงโปรแกรมการทดสอบแรงดึงทางอ้อมสำหรับโมดูลัสคืนตัวของแอสฟัลติกคอนกรีต ภายใต้การเปลี่ยนแปลงอุณหภูมิต่างๆ



รูปที่ 3.5 เครื่องมือทดสอบ Universal Testing Machine (Controls UTM-14 kN)



รูปที่ 3.6 รูปแบบการติดตั้งตัวอย่างสำหรับทดสอบโมดูลัสคีนตัว



รูปที่ 3.7 รูปร่างและเงื่อนไขของแรงกระทำ

ตารางที่ 3.6 โปรแกรมการทดสอบแรงดึงทางอ้อม

การทดสอบ	เงื่อนไข	อัตราความเครียด (Strain rate) (ต่อวินาที)	อุณหภูมิ (°C)			
			10	25	40	55
แรงดึงทางอ้อม (Indirect tensile test)	สถิต (Static)	0.0250	x	x	x	x
		0.0083	x	x	x	x
		0.0025	x	x	x	x
		0.0008	x	x	x	x
	พลวัต (Dynamic)	1 Hz Load frequencies and 1:9 Load duration	x	x	x	x

หมายเหตุ ใช้โปรแกรมเดียวกันสำหรับแอสฟัลต์ทุกชนิดที่ใช้ในการทดสอบ

3.3.2 การทดสอบแรงอัดแบบปราศจากแรงดันด้านข้างแบบสถิตและพลวัต (Static and Dynamic Unconfined compression test, S-UC and D-UC)

สำหรับการทดสอบแรงอัดแบบปราศจากแรงดันด้านข้างแบบสถิต (S-UC) นั้นได้ทำการประยุกต์ข้อกำหนดของมาตรฐานการทดสอบแรงดึงทางอ้อมแบบสถิตมาใช้ในการทดสอบ โดยขนาดของตัวอย่างที่ใช้ในการทดสอบมีเส้นผ่านศูนย์กลาง 100 มิลลิเมตร สูง 150 มิลลิเมตรตามวัตถุประสงค์หลักของงานวิจัยที่ต้องการศึกษาอิทธิพลของอัตราความเครียดและอุณหภูมิ รวมถึงประเภทของแอสฟัลต์ที่มีต่อพฤติกรรมของแอสฟัลติกคอนกรีต ดังนั้นจึงได้ทำการเลือกใช้ปัจจัยต่างๆที่แตกต่างกันได้แก่ อัตราการความเครียดที่ 0.0006 0.0017 0.0056 และ 0.0167 s^{-1} การ

เปลี่ยนแปลงอัตราความเครียดดังกล่าวทำเพื่อสังเกตการพัฒนาความเสียหาย ณ อุณหภูมิต่างๆ ในระดับจุลภาค (micro-cracking) จนกระทั่งตัวอย่างแอกซ์ฟลิติกคอนกรีตพังทลาย ส่วนอุณหภูมิเลือกใช้ที่ 10°C 25°C 40°C และ 55°C ซึ่งเป็นช่วงอุณหภูมิที่มักเกิดขึ้นบนชั้นผิวทางในประเทศไทยและอยู่ในช่วงที่เครื่องทดสอบสามารถควบคุมได้ สุดท้ายคือประเทศไทยของแอกซ์ฟลิตซีเมนต์เลือกใช้ AC 40/50 AC 60/70 และ AC 80/100 เนื่องจาก AC 60/70 เป็นแอกซ์ฟลิตซีเมนต์ที่ใช้ก่อสร้างผิวทางแบบยึดหยุ่นของประเทศไทยในปัจจุบัน ส่วน AC 80/100 นั้นใช้ก่อสร้างผิวทางแบบยึดหยุ่นในอดีต และสุดท้ายคือ AC 40/50 อนาคตคาดว่าจะนำมาใช้งานสำหรับการก่อสร้างผิวทางแบบยึดหยุ่นในประเทศไทย

ในการทดสอบแรงอัดแบบปราศจากแรงดันด้านข้างแบบสติต ตัวอย่างที่ใช้ในการทดสอบถูกให้แรงกระทำตามแนวความสูงของตัวอย่าง ความเครียดในแนวตั้งที่เกิดขึ้นถูกวัดด้วยเกจวัดความเครียดสองตัวและเกจวัดการเคลื่อนตัวภายในของ Instron UTM-1.2MN การติดตั้งอุปกรณ์เพื่อการทดสอบนี้ได้แสดงไว้ในรูปที่ 3.8 ซึ่งตัวอย่างทั้งหมดในการทดสอบถูกทดสอบด้วยเครื่อง Instron UTM-1.2MN และมีขั้นตอนในการทดสอบเหมือนกับการทดสอบแรงดึงทางข้อมแบบสติตดังแสดงในรูปที่ 3.3 สำหรับการควบคุมอุณหภูมิของตัวอย่างให้เป็นไปตามที่กำหนดให้วิธีการเดียวกับการทดสอบแรงดึงทางข้อมแบบสติต ซึ่งโปรแกรมการทดสอบแรงอัดแบบปราศจากแรงดันด้านข้างแบบสติตได้แสดงไว้ในตารางที่ 3.7

ในส่วนการทดสอบแรงอัดแบบปราศจากแรงดันด้านข้างแบบพลวัต (D-UC) ข้อกำหนดที่ใช้ในการทดสอบอ้างอิงตามรายงานของ The National Cooperative Highway Research Program (NCHRP) ฉบับที่ 465 รายงานฉบับนี้ประกอบด้วยวิธีการทดสอบสำหรับการทดสอบแรงกระทำแบบซ้ำซาก (repeated load) ของส่วนผสมแอกซ์ฟลิติกคอนกรีตในรูปแบบแรงอัดแกนเดียว (Uniaxial Compression) การทดสอบ D-UC นี้คล้ายกับการทดสอบแรงดึงแบบพลวัตโดยการทดสอบจะถูกควบคุมเครื่อง Controls UTM-14kN ดังแสดงในรูปที่ 3.4 การติดตั้งอุปกรณ์เพื่อการทดสอบนี้ได้แสดงไว้ในรูปที่ 3.9

ตัวอย่างที่ใช้ในการทดสอบจะถูกให้แรงกระทำที่ระดับความเค้น 207 kPa ซึ่งเป็นระดับความเค้นที่เกิดขึ้นของยานพาหนะบนชั้นผิวทาง โดยตัวอย่างมีขนาดเส้นผ่านศูนย์กลาง 100 มิลลิเมตร สูง 150 มิลลิเมตร เมื่อติดตั้งตัวอย่างที่เตรียมตามขั้นตอนด้านหลังข้อ 3.2.2 แล้วทำการให้แรงกระทำที่มีลักษณะเป็นครีวิงของพังก์ชันไฮเวน (Haversine function) ตัวอย่างจะถูกให้แรงกระทำอย่างต่อเนื่องด้วยความถี่ 1 Hz นั่นคือในแต่ละชุดของแรงกระทำ 1 วินาที มีช่วงเวลาการให้แรง 0.1 วินาที และช่วงการถอนแรง 0.9 วินาที เป็นจำนวน 40,000 รอบ หรือ จนกระทั่งตัวอย่างพังทลาย ดังแสดงในรูปที่ 3.7 โดยความเค้นคงค้าง (seating stress) ประมาณร้อยละ 10 ของ

ความคื้นสูงสุดจะถูกกระทำค้างไว้ระหว่างหัวกดที่สัมผัสกับตัวอย่างตลอดช่วงระยะเวลาที่ให้แรงกระแทกแต่ละรอบ โดย LVDT ที่ใช้ในการเก็บข้อมูลการเสียรูปในแนวตั้งถูกติดตั้งเพื่อประมาณการเสียรูปแบบถาวรที่เกิดขึ้น อุณหภูมิที่เลือกใช้ในการทดสอบสำหรับการทดสอบนี้ได้เลือกใช้อุณหภูมิที่ 10°C 25°C 40°C และ 55°C ซึ่งผลการทดสอบที่ได้ถูกบันทึกและแสดงผลด้วยระบบคอมพิวเตอร์ ซึ่งโปรแกรมการทดสอบแรงอัดแบบปราศจากแรงดันด้านข้างแบบพลวัตได้แสดงไว้ในตารางที่ 3.7



รูปที่ 3.8 รูปแบบการติดตั้งคุปกรณ์การทดสอบ แรงอัดแบบปราศจากแรงดันด้านข้างแบบสถิต



รูปที่ 3.9 รูปแบบการติดตั้งคุปกรอน์การทดสอบ และอัดแบบปราศจากแรงดันด้านข้างแบบพลวัต

ตารางที่ 3.7 โปรแกรมการทดสอบแรงอัดแบบปราศจากแรงดันด้านข้าง

การทดสอบ	เงื่อนไข	อัตราความเครียด (Strain rate) (ต่อวินาที)	อุณหภูมิ (°C)			
			10	25	40	55
แรงอัดแบบปราศจากแรงดันด้านข้าง (Unconfined compression test)	สถิต (Static)	0.0006	x	x	x	x
		0.0017	x	x	x	x
		0.0056	x	x	x	x
		0.0167	x	x	x	x
	พลวัต (Cyclic)	1 Hz Load frequencies and 1:9 Load duration	x	x	x	x

หมายเหตุ ใช้โปรแกรมเดียวกันสำหรับแอสเพล็ตทุกชนิดที่ใช้ในการทดสอบ

3.4 ผลของอัตราการให้แรงและอุณหภูมิ

3.4.1 อัตราการให้แรง (Rate of loading)

อัตราการให้แรงจะทำแก้วัสดุและสปลิติกคอนกรีตเป็นตัวแปรสำคัญที่ส่งผลต่อการตอบสนองของวัสดุและสปลิติกคอนกรีต โดยค่าโมดูลัสยึดหยุ่นของวัสดุจะมีค่าแปรผันตามอัตราการให้แรงจะทำ ซึ่งเป็นพฤติกรรมของวัสดุนี้ดีเยี่ยดหยุ่น (viscoelastic material) ยกตัวอย่างเช่น การให้แรงจะทำแก่สปริง ถ้าอัตราการให้แรงจะทำมีค่าสูง สปริงจะสามารถยืดตัวได้ง่าย แต่ถ้าอัตราการให้แรงจะทำมีค่าต่ำ สปริงจะมีลักษณะแข็งตัวขึ้น ทำให้ยืดตัวน้อยลง

3.4.2 อุณหภูมิ (Temperature)

อุณหภูมิเป็นปัจจัยสำคัญที่ส่งผลกระทบต่อพฤติกรรมทางด้านกำลังของวัสดุและสปลิติกคอนกรีต เช่น ค่าเอ็นตัวของถนน (Pavement Deflection) เป็นต้น เนื่องจากอุณหภูมิที่เปลี่ยนแปลงไปจะทำให้คุณสมบัติทางด้านเคมีและฟิสิกส์ของแอลสปลิติกคอนกรีต เช่น ค่าความหนืด (Viscosity) ค่าการเจาะลึก (Penetration) ค่ากำลัง (Stiffness) เปลี่ยนไปด้วย ซึ่งส่งผลกระทบโดยตรงต่อพฤติกรรมทางด้านกำลังของแอลสปลิติกคอนกรีต

จากการศึกษาอุณหภูมิเฉลี่ยของถนนของกรมทางหลวง พบร่วมกับอุณหภูมิเฉลี่ยของทั้ง 4 ภาคในประเทศไทยอยู่ที่ 38°C ส่วนระดับการเปลี่ยนแปลงของอุณหภูมิเฉลี่ยหรือความแตกต่างระหว่างค่าเฉลี่ยของอุณหภูมิสูงสุดและต่ำสุดของถนนนั้นมีค่ามากสุดที่ภาคเหนือคือ 9.8°C และน้อยสุดที่ภาคกลางคือ 6.1°C สำหรับค่าอุณหภูมิวิกฤต (Critical Temperature) หรือค่าอุณหภูมิสูงสุดและต่ำสุดของถนนที่วัดได้คือ 56°C และ 14°C ตามลำดับ

ดังนั้นอุณหภูมิที่เลือกใช้ในการทดสอบสำหรับงานวิจัยนี้คือ 10°C 25°C 40°C และ 55°C ซึ่งเป็นช่วงของอุณหภูมิที่เกิดขึ้นจริงบนผิวดินแดนภายในประเทศไทย และเป็นช่วงของอุณหภูมิที่เครื่องทดสอบ Controls UTM-14 kN สามารถควบคุมได้

3.5 เครื่องมือทดสอบและความละเอียดในการวัด

3.5.1 เครื่องทดสอบ Instron UTM-1.2 MN

งานวิจัยนี้ใช้เครื่อง Instron UTM-1.2 MN ทำการทดสอบการให้แรงกระทำแบบสติตเนื่องจากเครื่อง Controls UTM-14 kN มีกำลังไม่มากพอสำหรับการให้แรงกระทำแบบสติต โดยเครื่อง Instron UTM-1.2 MN ที่ใช้สำหรับศึกษาคุณสมบัติของแอกซ์เพลติกคอนกรีตแสดงในรูปที่ 3.10

เครื่อง Instron UTM-1.2 MN สามารถใช้ทำการทดสอบได้ทั้งในกรณีแบบสติตและพลวัตอย่างไรก็ตามในงานวิจัยนี้ใช้สำหรับทดสอบในกรณีแบบสติตเท่านั้น เครื่อง Instron UTM-1.2 MN สามารถควบคุมการทดสอบได้ทั้งแบบควบคุมอัตราชาระเคนและอัตราชาระเคนโดยแรงกระทำถูกส่งผ่านทางหัวกดที่เป็นแบบไฮดรอลิก (hydraulic actuator) ที่ถูกควบคุมโดยใช้ระบบลม (electronic pneumatic servo-valve) กำลังสูงสุดของเครื่อง Instron UTM-1.2 MN อยู่ที่ 1.2 เมกะนิวตัน และจะใช้ระบบ IST Systems FastTrack and Labtronic 8800 Test Control Systems ในการควบคุมเครื่อง Instron UTM-1.2 MN ระบบที่ใช้ในการควบคุมดังกล่าวถูกเขียนต่อเข้ากับระบบคอมพิวเตอร์ แล้วใช้ซอฟแวร์ชื่อ “Merlin” ในการสั่งงานผ่านระบบคอมพิวเตอร์ไปยังเครื่องทดสอบ ซึ่งผลที่ได้จากการทดสอบผ่านเครื่อง Instron UTM-1.2 MN จะบันทึกด้วยระบบคอมพิวเตอร์ ข้อมูลของเครื่อง Instron UTM-1.2 MN คือ ไม่สามารถควบคุมอุณหภูมิให้เป็นไปตามที่ต้องการได้ระหว่างการทดสอบ ทำให้ต้องนำตัวอย่างที่ต้องการทดสอบไปบ่มไว้ในเครื่องควบคุมอุณหภูมิก่อนแล้วนำใส่กล่องควบคุมอุณหภูมิเพื่อควบคุมอุณหภูมิเวลาขันข้ายามยังเครื่อง Instron UTM-1.2 MN



รูปที่ 3.10 Instron UTM-1.2MN

3.5.2 เครื่องทดสอบ Controls UTM-14 kN

งานวิจัยนี้ใช้เครื่อง Controls UTM-14 kN ทำการทดสอบการให้แรงกระทำแบบพลวัต โดยเครื่อง Controls UTM-14 kN ที่ใช้สำหรับศึกษาคุณสมบัติเกี่ยวกับอุณหภูมิของแอกซ์ฟลิติกคอนกรีตแสดงในรูปที่ 3.5

ประสิทธิภาพของเครื่อง Controls UTM-14 kN ที่สำคัญ คือ วิธีการให้แรงกระทำและลักษณะของแรงกระทำแบบคลื่น เครื่อง Controls UTM-14 kN สามารถให้ลักษณะของแรงกระทำได้หลายรูปร่างเช่น คลื่นครึ่งวงของพังก์ชันไฮเวน (Haversine wave) หรือ คลื่นสี่เหลี่ยม (Square wave) ผ่านทางหัวดู (Pneumatic actuator) ของเครื่องทดสอบ ซึ่งเครื่อง Controls UTM-14 kN สามารถให้แรงกระทำสูงสุด 14 kN ด้วยความถี่ 0 ถึง 70 Hz

เครื่อง Controls UTM-14 kN ประกอบไปด้วย 4 ส่วนหลัก ส่วนแรกคือโครงเฟรมให้แรงกระทำ (Reaction load frame) ที่ถูกออกแบบให้รองรับตัวอย่างขนาดเส้นผ่านศูนย์กลาง 100 มิลลิเมตร ทั้งแรงดึงทางข้อมและแรงตามแนวแกน โดยอุปกรณ์ให้แรงกระทำ (Actuator) ถูกควบคุมโดยใช้ระบบลม (electronic pneumatic servo-valve) ส่วนที่สองคือตู้ควบคุมอุณหภูมิที่สามารถควบคุมอุณหภูมิสำหรับตัวอย่างที่ใช้ในการทดสอบได้ตั้งแต่อุณหภูมิ 0°C ถึง 60°C ส่วนที่สามระบบการควบคุมและบันทึกข้อมูล (Control and Data Acquisition System, CDAS) ถูกใช้

ในการควบคุมการทำงานของเครื่องทดสอบ ซึ่งถูกเชื่อมต่อเข้ากับระบบคอมพิวเตอร์ รวมไปถึง LVDT ซึ่งสามารถวัดระยะได้ละเอียดถึง 0.1 มิลลิเมตรและระบบบันทึกข้อมูลการให้แรงกระทำส่วนสุดท้ายคือซอฟแวร์ (Software) ถูกใช้ในการเชื่อมโยงระหว่างระบบการสั่งงานกับเครื่องทดสอบผ่านทาง CDAS

3.5.3 เกจวัดความเครียด (Strain gage)

การวัดความเครียดสามารถวัดได้หลายวิธี แต่ในงานวิจัยนี้ความเครียดที่เกิดขึ้นมักมีค่าไม่สามารถวัดได้ด้วยตาเปล่า ดังนั้นจึงต้องใช้อุปกรณ์ที่สามารถวัดความเครียดที่ระดับต่ำๆ ได้ นั่นคือ เกจวัดความเครียด (Strain gage) โดยติดตั้ง Strain gage ไว้ที่พื้นผิวของตัวอย่างที่มีลักษณะเรียบ เมื่อตัวอย่างได้รับแรงกระทำก็จะพยายามต้านการขยายตัวหรือหดตัวที่เกิดขึ้น ซึ่งส่งผลให้ความต้านทานทางไฟฟ้า (electric resistance) ของตัวอย่างเปลี่ยนแปลงไป และจากการที่ Strain gage มีอัตราการเปลี่ยนแปลงความต้านทานทางไฟฟ้าที่เป็นสัดส่วนกับความเครียด จึงทำให้สามารถวัดความต้านทานทางไฟฟ้าที่เปลี่ยนไปแล้วแปลงเป็นค่าความเครียดที่เกิดขึ้นได้โดย Strain gage ที่ใช้ในการทดลองนี้ผลิตโดยบริษัท KYOWA ชนิด KFG-20-120-C1-11L1M2R มีความยาว 20 มิลลิเมตร ค่า Gage factor เท่ากับ $2.07 \pm 1.0\%$ ค่าความต้านทานเท่ากับ 120.4 Ω และมีคุณสมบัติพิเศษที่สามารถแก้ไขความคลาดเคลื่อนในการวัดความเครียดที่เกิดจากผลกระทบทางด้านอุณหภูมิได้ โดยมีค่า Temperature coefficient เท่ากับ $+0.008\%/\text{ }^{\circ}\text{C}$ ตัวอย่างของ Strain gage ที่ใช้ในการทดสอบแสดงไว้ในรูปที่ 3.11



รูปที่ 3.11 เกจวัดความเครียด (Strain gage)

3.6. จำนวนตัวอย่างและเวลาในการทดสอบ

ช่วงเวลาในการทดสอบของแต่ละการทดสอบขึ้นอยู่กับลำดับของการทดสอบ ลำดับแรก ต้องทำการทดสอบในสภาวะแบบสถิต (Static) ก่อนแล้วจึงนำผลการทดสอบที่ได้มาใช้ในการทดสอบสภาวะแบบพลวัต (Dynamic) ต่อไปดังที่ได้กล่าวไว้ในการทดสอบสภาวะแบบพลวัต โดย ลำดับขึ้นในการทดสอบนี้ใช้ทั้งการทดสอบแรงดึงทางข้อม (Indirect tensile test) และการทดสอบ แรงอัดแบบปราศจากแรงดันด้านข้าง (Unconfined Compression test)

ตารางที่ 3.8 จำนวนตัวอย่างและเวลาที่ใช้ในการทดสอบ

ชื่อการทดสอบ	จำนวนตัวอย่าง	ประมาณเวลาที่ใช้ทดสอบ (ต่อหนึ่งตัวอย่าง)
Static Indirect tensile test	96	2 นาที
Dynamic Indirect tensile test	24	15 นาที
Static Unconfined Compression test	96	2 นาที
Dynamic Unconfined compression test	24	6-8 ชั่วโมง

ศูนย์วิทยทรัพยากร
จุฬาลงกรณ์มหาวิทยาลัย

บทที่ 4

ผลการวิจัย

บทนี้แสดงผลการทดสอบและการวิเคราะห์ผลการทดสอบที่กล่าวไว้ในบทที่ 3 โดยมีการนำเสนอพฤติกรรมทางด้านกำลังของวัสดุและผลติกคณกริทที่ได้จากการทดสอบแรงดึงทางอ้อมแบบสติกและการทดสอบแรงดึงแบบปราศจากแรงดันด้านข้างแบบสติก ได้แก่ ค่าความเด่นสูงสุดค่าความเครียด ณ ตำแหน่งที่มีค่าความเด่นสูงสุด ค่าโมดูลัสของยังที่ 50% ของค่าความเด่นสูงสุดค่าโมดูลัสคืนตัวที่ได้จากการทดสอบแรงดึงทางอ้อมแบบพลวัต และค่าการยุบตัวแบบถาวรสภาวะการยุบตัวแบบถาวรอย่างง่ายที่ได้จากการทดสอบแรงดึงแบบปราศจากแรงดันด้านข้างแบบพลวัต

4.1 ผลการทดสอบแรงดึงทางอ้อมแบบสติก (Static Indirect tensile test, S-IDT)

ผลการทดสอบแรงดึงทางอ้อมแบบสติกของวัสดุและผลติกคณกริทที่ผ่านมาโดย เอสพัลต์ซีเมนต์ AC40/50 AC60/70 และ AC80/100 ภายใต้การเปลี่ยนแปลงอุณหภูมิและอัตราความเครียดที่มากกว่าทำ ได้แก่ ค่าความเด่นสูงสุด (σ_{max}) ค่าความเครียด ณ ตำแหน่งที่มีค่าความเด่นสูงสุด (Peak strain) และค่าโมดูลัสของยังที่ 50% ของค่าความเด่นสูงสุด (Secant Young's modulus at 50% of maximum stress, E^{50}) ได้แสดงไว้ในตารางที่ 4.1 ถึงตารางที่ 4.3 และความสัมพันธ์ระหว่างความเด่นกับความเครียด (Constitutive behavior) ของวัสดุและผลติกคณกริทที่ผ่านมาโดย เอสพัลต์ซีเมนต์ AC40/50 AC60/70 และ AC80/100 ได้แสดงไว้ในรูปที่ 4.1 ถึงรูปที่ 4.3

จุฬาลงกรณ์มหาวิทยาลัย

ตารางที่ 4.1 ค่าการทดสอบรับแรงดึงทางข้อมของแอสฟัลติกคอนกรีต AC40/50

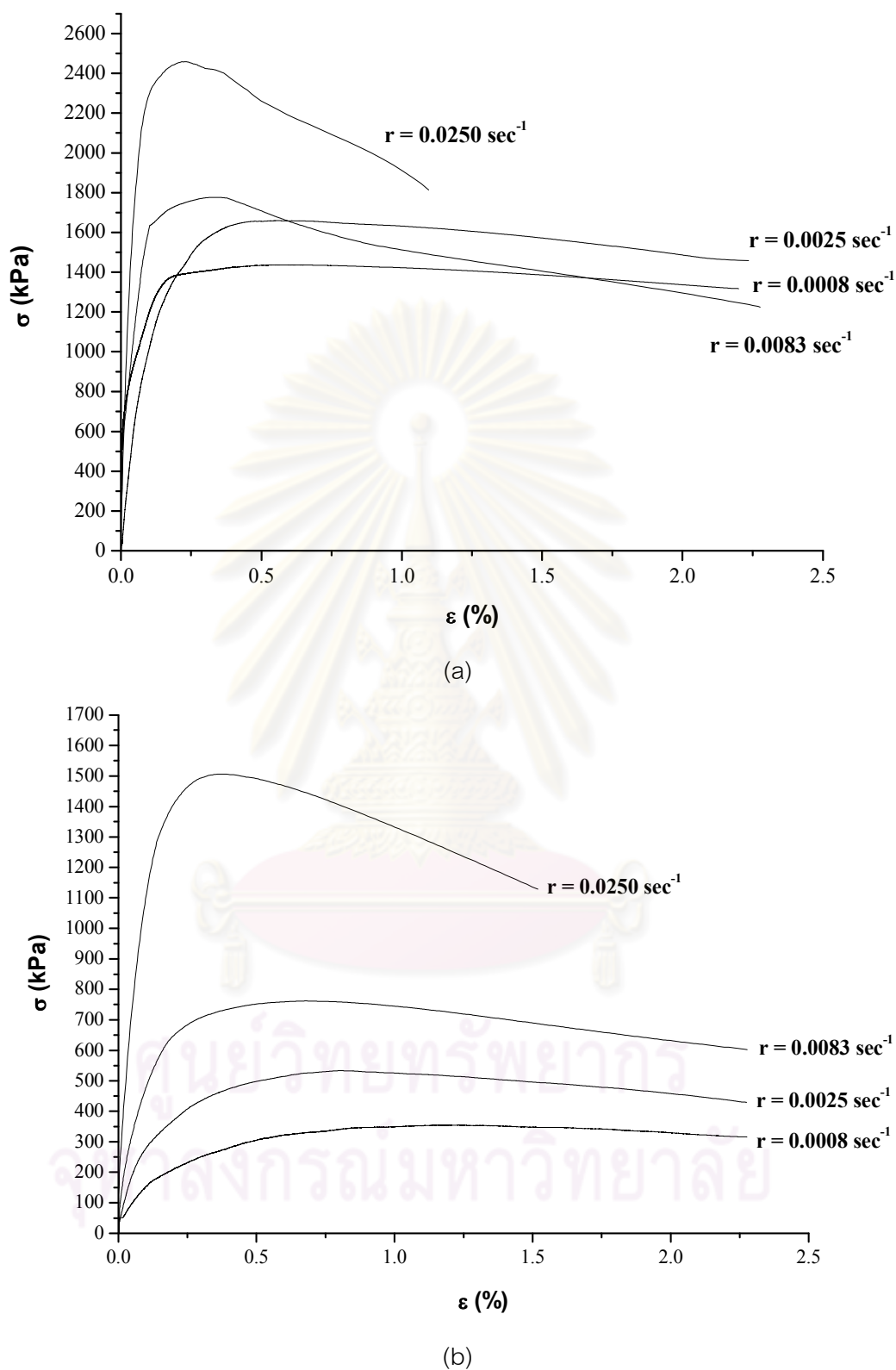
Temperature (°C)	Strain rate (sec ⁻¹)	Strain at peak (%)	Maximum stress (kPa)	Secant Young's modulus at 50% of maximum stress (MPa)
10	0.0008	0.37	1493.26	1095.07
	0.0025	0.63	1698.61	1175.22
	0.0083	0.27	1791.20	3620.41
	0.0250	0.23	2485.85	4455.84
25	0.0008	1.10	399.97	98.44
	0.0025	0.73	568.51	306.44
	0.0083	0.68	787.68	655.22
	0.0250	0.33	1523.40	1606.51
40	0.0008	N/A	N/A	N/A
	0.0025	N/A	N/A	N/A
	0.0083	0.22	355.02	364.41
	0.0250	0.12	419.6	600.23
55	0.0008	N/A	N/A	N/A
	0.0025	N/A	N/A	N/A
	0.0083	0.30	147.29	41.14
	0.0250	0.41	256.81	135.57

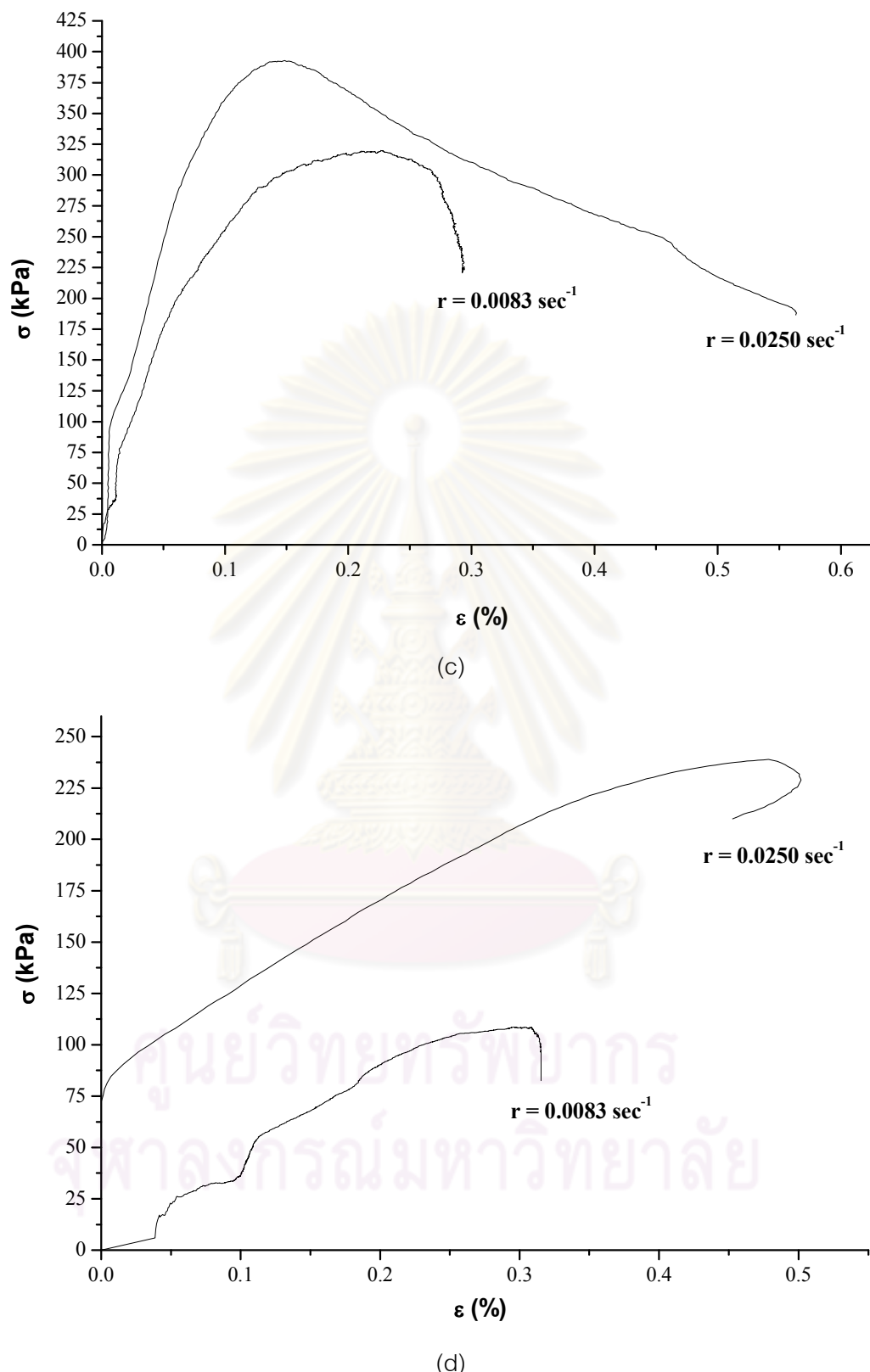
ตารางที่ 4.2 ค่าการทดสอบรับแรงดึงทางข้อมของแอสฟัลติกคอนกรีต AC60/70

Temperature (°C)	Strain rate (sec ⁻¹)	Strain at peak (%)	Maximum stress (kPa)	Secant Young's modulus at 50% of maximum stress (MPa)
10	0.0008	0.26	1022.40	1455.71
	0.0025	0.31	1371.55	1805.24
	0.0083	0.32	2295.76	2470.41
	0.0250	0.18	2681.05	3497.60
25	0.0008	0.59	372.74	181.36
	0.0025	0.67	578.40	454.88
	0.0083	0.37	1015.24	1106.25
	0.0250	0.28	1079.68	1137.85
40	0.0008	N/A	N/A	N/A
	0.0025	N/A	N/A	N/A
	0.0083	0.11	344.64	285.61
	0.0250	0.39	399.90	310.19
55	0.0008	N/A	N/A	N/A
	0.0025	N/A	N/A	N/A
	0.0083	N/A	N/A	N/A
	0.0250	0.31	183.92	36.04

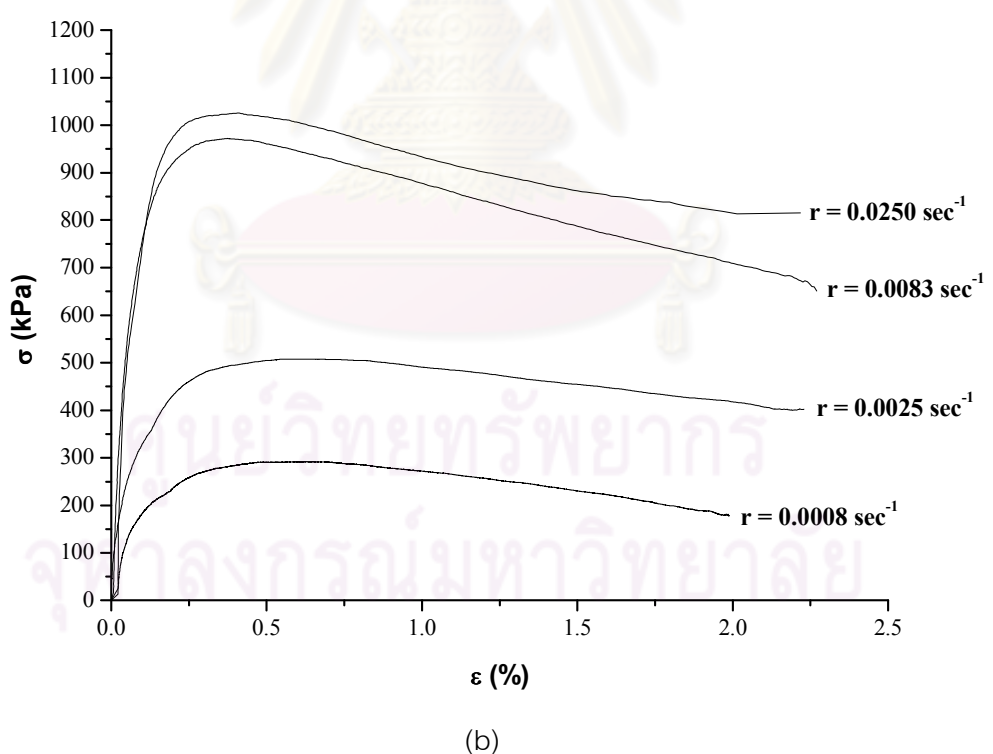
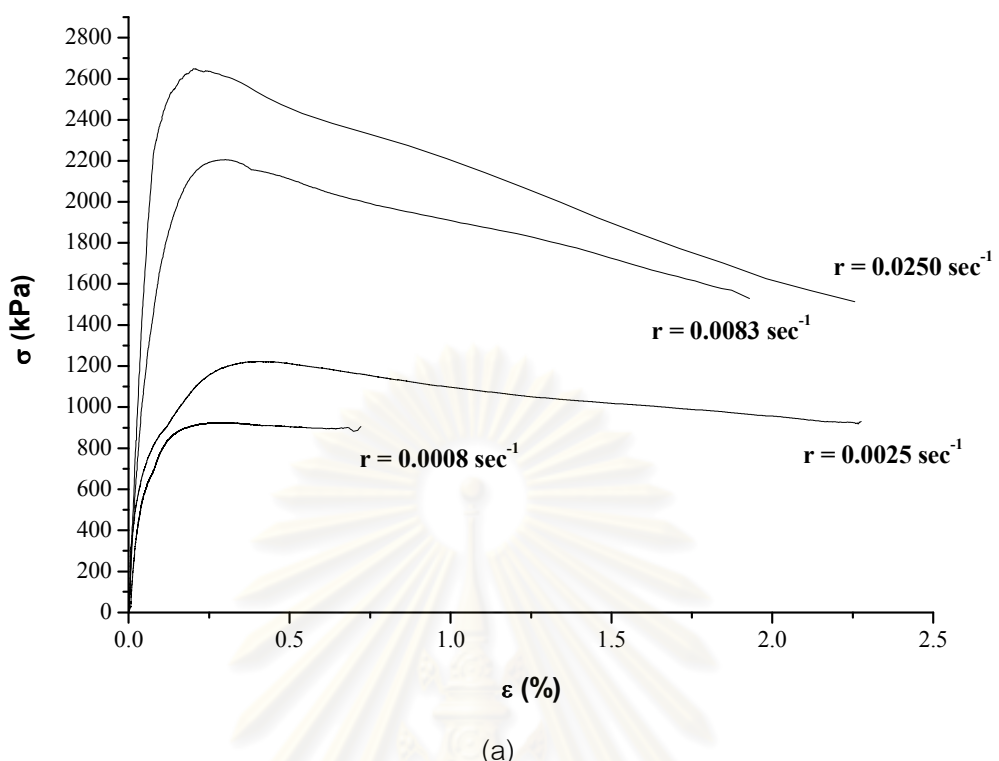
ตารางที่ 4.3 ค่าการทดสอบรับแรงดึงทางข้อมของแอสฟัลติกคอนกรีต AC80/100

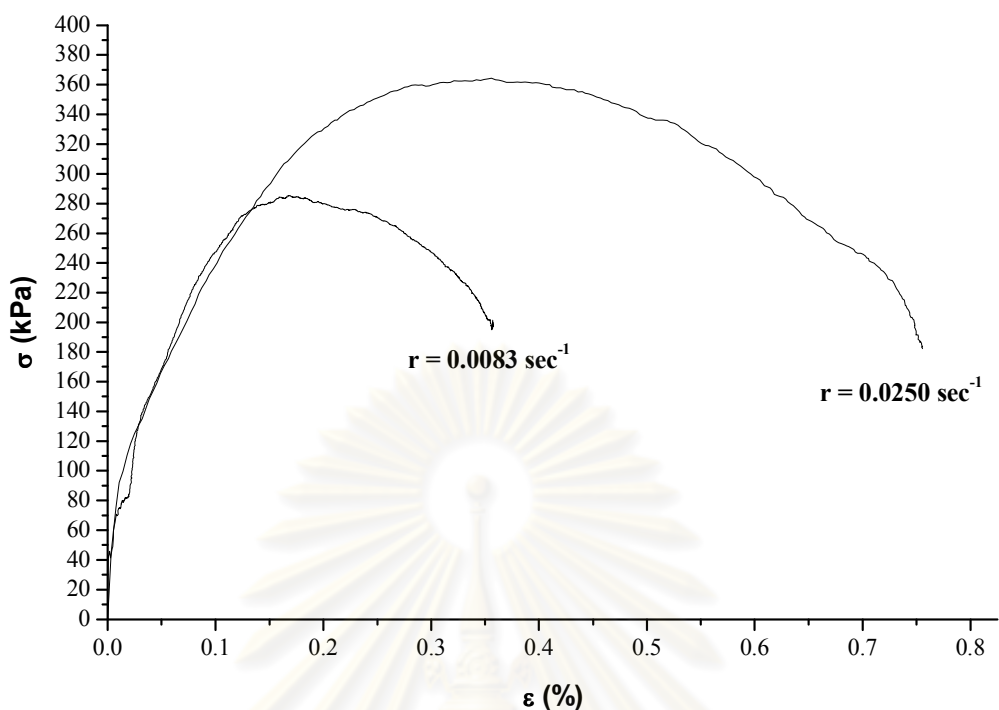
Temperature (°C)	Strain rate (sec ⁻¹)	Strain at peak (%)	Maximum stress (kPa)	Secant Young's modulus at 50% of maximum stress (MPa)
10	0.0008	0.46	1001.30	903.14
	0.0025	0.33	1733.20	1374.70
	0.0083	0.47	2066.86	1602.98
	0.0250	0.30	3055.68	2795.68
25	0.0008	0.87	350.84	124.77
	0.0025	0.77	579.06	262.30
	0.0083	0.37	934.56	729.24
	0.0250	0.65	1184.23	1817.82
40	0.0008	N/A	N/A	N/A
	0.0025	N/A	N/A	N/A
	0.0083	0.26	408.92	498.99
	0.0250	0.52	336.46	326.34
55	0.0008	N/A	N/A	N/A
	0.0025	N/A	N/A	N/A
	0.0083	0.25	199.31	118.47
	0.0250	0.32	276.20	147.86



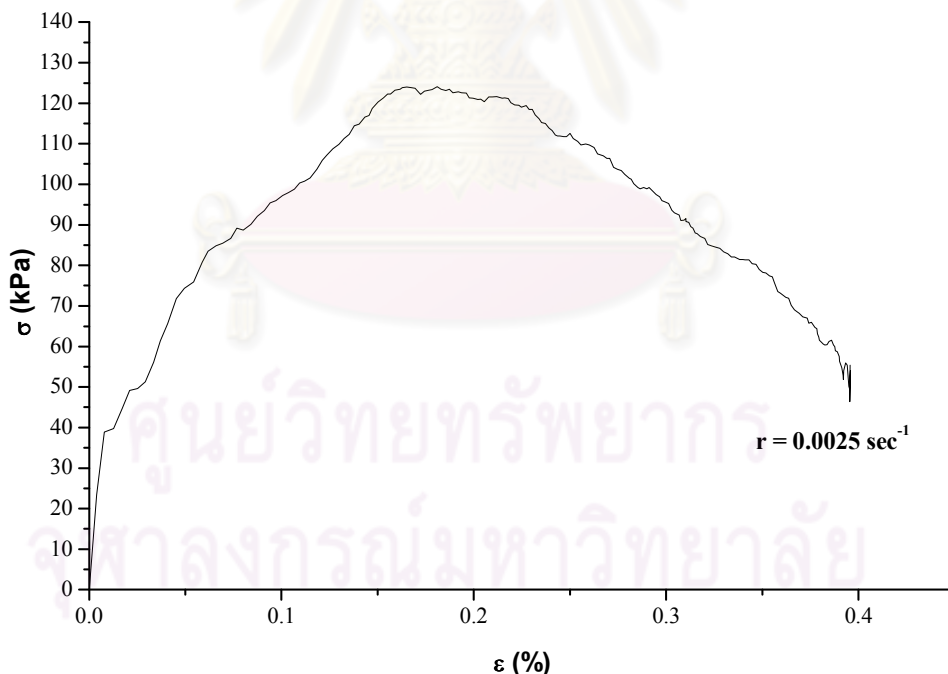


รูปที่ 4.1 ความสัมพันธ์ระหว่างความเค้นกับความเครียดของวัสดุและตัวแปรคุณภาพ AC40/50 จากการทดสอบแรงดึงทางอ้อมแบบสติต ณ อุณหภูมิต่างๆ (a) 10°C (b) 25°C (c) 40°C (d) 55°C



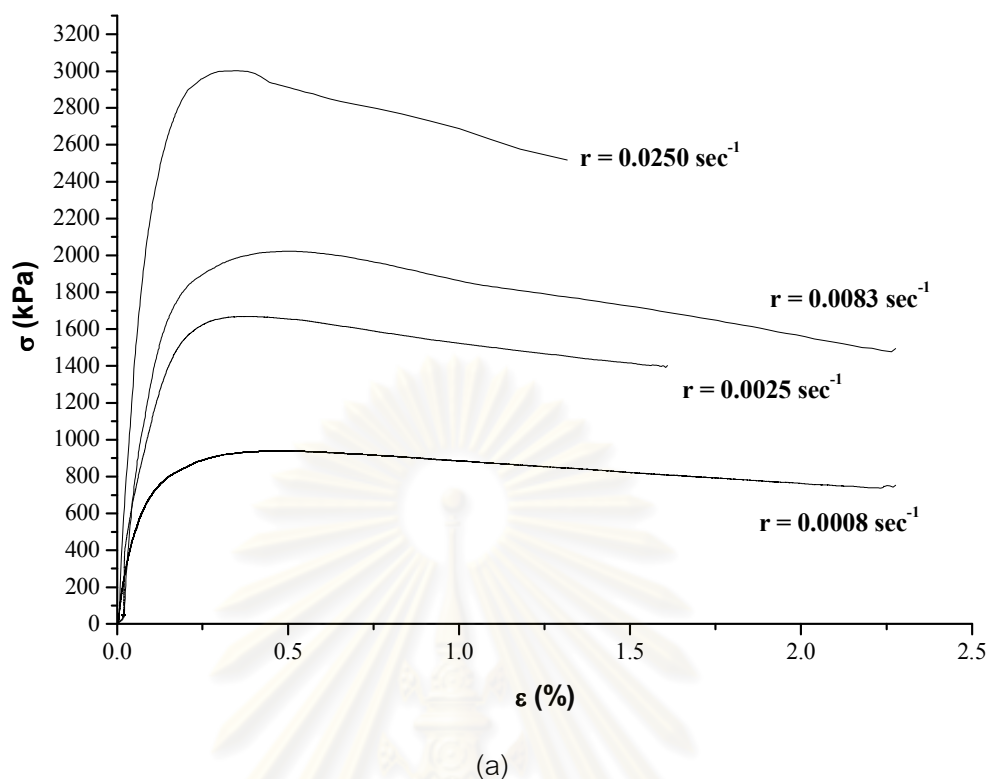


(c)

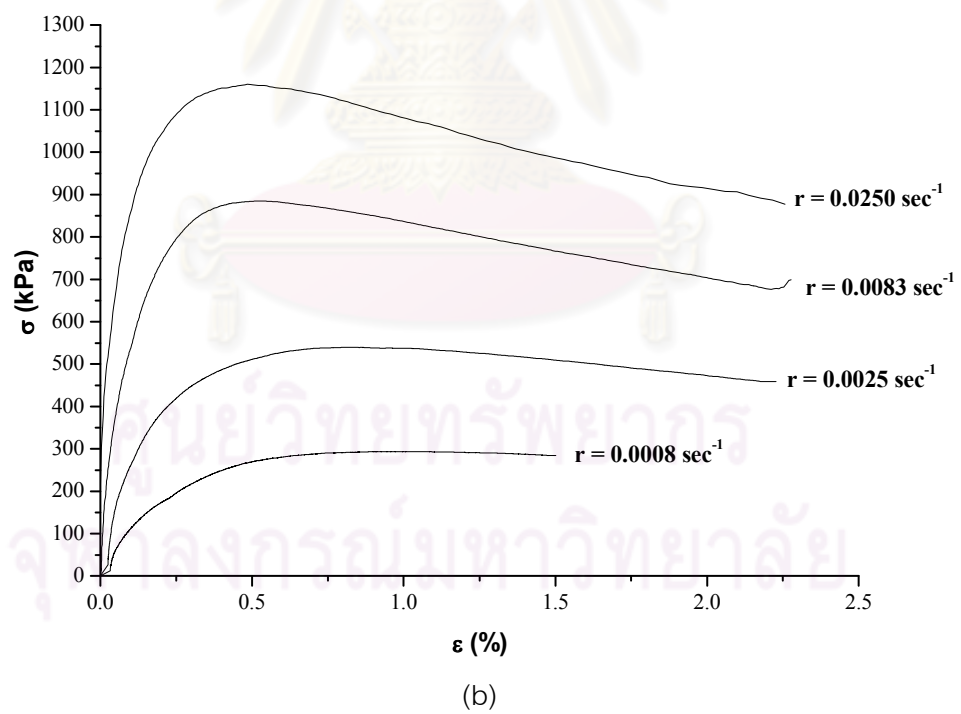


(d)

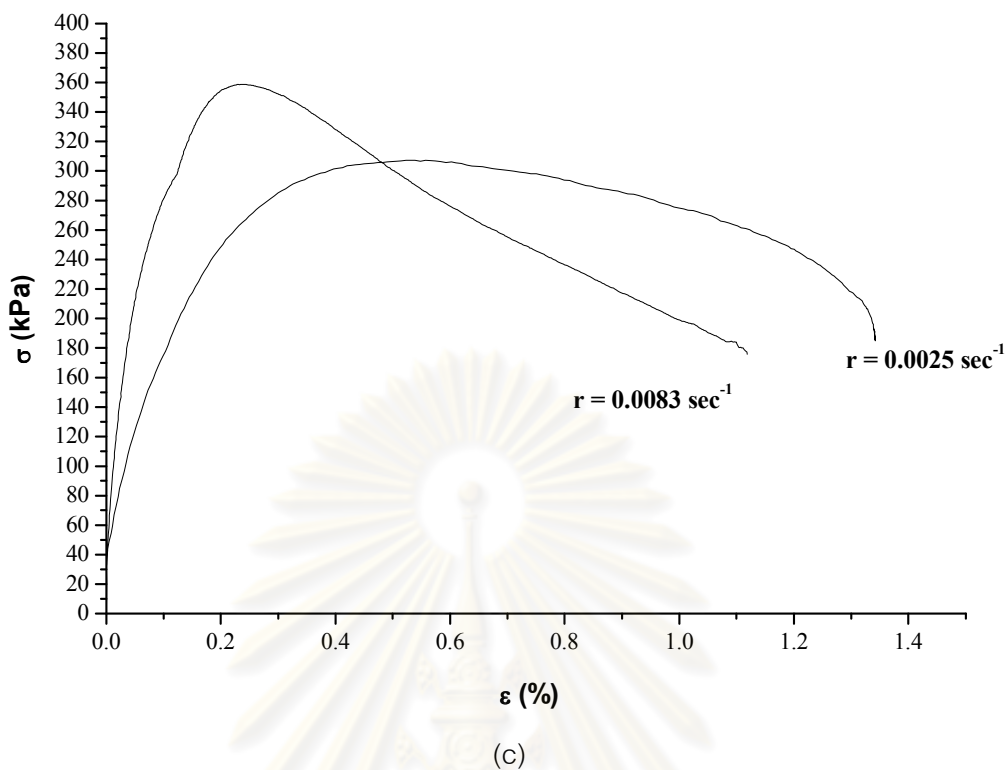
รูปที่ 4.2 ความสัมพันธ์ระหว่างความเค้นกับความเครียดของวัสดุแอสฟัลติกคอนกรีต AC60/70 จากการทดสอบแรงดึงทางอ้อมแบบสติต ณ อุณหภูมิต่างๆ (a) 10°C (b) 25°C (c) 40°C (d) 55°C



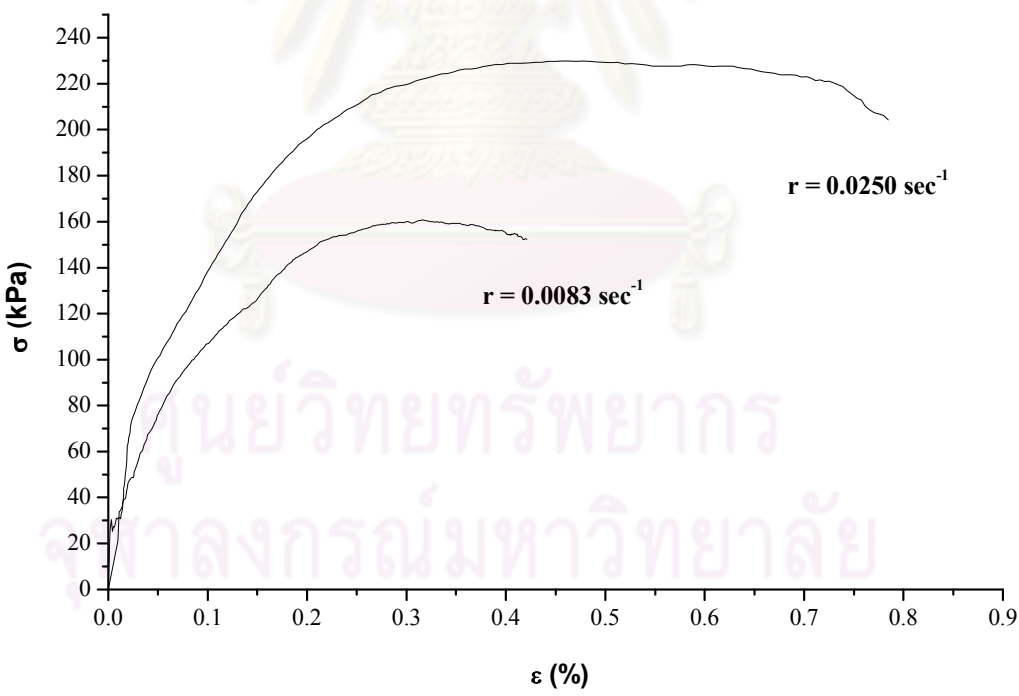
(a)



(b)



(c)



(d)

รูปที่ 4.3 ความสัมพันธ์ระหว่างความเค้นกับความเครียดของวัสดุและฟลักติกคอนกรีต AC80/100 จากการทดสอบแรงดึงทางข้อมแบบสติ๊ก ณ อุณหภูมิต่างๆ (a) 10°C (b) 25°C (c) 40°C (d) 55°C

จากผลการทดสอบพบว่าที่อุณหภูมิ 10°C วัสดุแอกซ์ฟลิติกค่อนกรีตที่ผสมด้วยแอกซ์ฟลิตซีเมนต์ทั้งสามชนิดมีค่ากำลังรับแรงดึงทางอ้อมและค่าโมดูลัสของยังที่ 50% ของค่าความเค้นสูงมากที่สุดและมีพฤติกรรมแรงดึงแบบสมบูรณ์ (Perfectly tensile behavior) ดังแสดงในรูปที่ 4.4(a) จากรูปที่ 4.1(a) รูปที่ 4.2(a) และ รูปที่ 4.3(a) พบว่าหลังจากที่ความเค้นนีค่าถึงจุดสูงสุด (maximum stress) กำลังของวัสดุแอกซ์ฟลิติกค่อนกรีตจะตกลงอย่างรวดเร็วหรือบางตัวอย่างไม่สามารถสังเกตเห็นความสัมพันธ์ของความเค้นกับความเครียดได้ สาเหตุเกิดจากการวัสดุแอกซ์ฟลิติกค่อนกรีตจะแสดงพฤติกรรมเป็นวัสดุเปล่า (Brittle material) ที่อุณหภูมิต่ำๆ โดยเฉพาะอย่างยิ่งในกรณีที่วัสดุแอกซ์ฟลิติกค่อนกรีตมีอัตราความเครียดที่มีค่าสูงมากจะทำ เช่น ในกรณีของตัวอย่าง แอกซ์ฟลิติกค่อนกรีต AC40/50 ที่อยู่ภายใต้อุณหภูมิ 10°C และมีอัตราความเครียด 0.0250 ต่อวินาทีมากจะทำ ดังแสดงในรูปที่ 4.1(a)

สำหรับที่อุณหภูมิ 25°C วัสดุแอกซ์ฟลิติกค่อนกรีตมีพฤติกรรมคล้ายกับที่อุณหภูมิ 10°C คือมีพฤติกรรมแรงดึงแบบสมบูรณ์ แต่มีค่ากำลังรับแรงดึงทางอ้อมและค่าโมดูลัสของยังที่ 50% ของค่าความเค้นสูงสุดน้อยกว่าในกรณีอุณหภูมิ 10°C และกำลังของวัสดุแอกซ์ฟลิติกค่อนกรีต หลังจากค่าความเค้นถึงจุดสูงสุดมีค่าลดลงในอัตราที่ช้ากว่า ดังแสดงในรูปที่ 4.1(b) รูปที่ 4.2(b) และ รูปที่ 4.3(b)

ส่วนที่อุณหภูมิ 40°C วัสดุแอกซ์ฟลิติกค่อนกรีตมีค่ากำลังรับแรงดึงทางอ้อมและค่าโมดูลัสของยังที่ 50% ของค่าความเค้นสูงสุดน้อยกว่าที่อุณหภูมิ 10°C และ 25°C และเมื่อสังเกตจากรูปที่ 4.1(c) รูปที่ 4.2(c) และ รูปที่ 4.3(c) พบว่าวัสดุแอกซ์ฟลิติกค่อนกรีตแสดงพฤติกรรมเป็นลักษณะ การวิบัติด้วยแรงดึงน้อยมาก โดยสามารถพบรูปแบบแรงดึงได้ที่อัตราความเครียดมีค่าสูง (0.0083 และ 0.0250 ต่อวินาที) ส่วนที่อัตราความเครียดต่ำพบว่าวัสดุแอกซ์ฟลิติกค่อนกรีตแสดง พฤติกรรมในรูปแบบแรงดึงและรูปแบบแรงอัด สังเกตได้จากพฤติกรรมของความเค้นและ ความเครียดหลังจากจุดสูงสุดมีแนวโน้มย้อนกลับ (rebound) เนื่องจากพื้นที่หรือขอบเขตที่เกิด แรงดึงมีบริเวณน้อยกว่าพื้นที่การเกิดแรงอัด ณ จุดสัมผัสบนและล่าง (Top and bottom cap) โดย เฉพาะที่อัตราความเครียดต่ำ (0.0008 และ 0.0025 ต่อวินาที) ซึ่งที่อัตราความเครียดนี้ไม่สามารถ แสดงพฤติกรรมความสัมพันธ์ระหว่างความเค้นและความเครียดได้

สุดท้ายที่อุณหภูมิ 55°C วัสดุแอกซ์ฟลิติกค่อนกรีตมีค่ากำลังรับแรงดึงทางอ้อมและค่าโมดูลัสของยังที่ 50% ของค่าความเค้นสูงสุดต่ำที่สุด ซึ่งกลไกความเสียหายที่เกิดขึ้นไม่ใช่ความ เสียหายเนื่องมาจากการหน่วยแรงดึง ดังแสดงในรูปที่ 4.4 (b) โดยสามารถหาความสัมพันธ์ระหว่าง ความเค้นและความเครียดของวัสดุแอกซ์ฟลิติกค่อนกรีตได้ที่อัตราความเครียดสูงเท่านั้น (0.0083 และ 0.0250 ต่อวินาที)

ส่วนค่าความเครียด ณ ตำแหน่งที่มีค่าความเด่นสูงสุดของวัสดุแอสฟัลติกคอนกรีตที่ทดสอบด้วยแอสฟัลต์ทั้งสามชนิด เมื่อทดสอบภายใต้อุณหภูมิและอัตราความเครียดต่างๆ มีค่าไม่แน่นอน ไม่สามารถหาแนวโน้มของค่าความเครียดที่เกิดขึ้นได้

4.2 ผลการทดสอบแรงดึงทางอ้อมแบบพลวัต (Dynamic Indirect tensile test, D-IDT)

จากการทดสอบแรงดึงทางอ้อมแบบพลวัตพบว่าค่าโมดูลัสคืนตัวของวัสดุแอสฟัลติกคอนกรีตที่ทดสอบด้วยแอสฟัลต์ที่มีเกรดการเจาะลึกแตกต่างกัน ให้ค่าโมดูลัสคืนตัวไม่เท่ากันและวัสดุแอสฟัลติกคอนกรีตที่ทดสอบด้วยแอสฟัลต์ที่มีความแข็งมากกว่าไม่ได้ทำให้ค่าโมดูลัสคืนตัวสูงกว่าวัสดุแอสฟัลติกคอนกรีตที่ทดสอบด้วยแอสฟัลต์ที่อ่อนกว่า โดยพบว่าค่าโมดูลัสคืนตัวของวัสดุแอสฟัลติกคอนกรีตที่ใช้แอสฟัลต์ชีเมนต์ AC60/70 เป็นวัสดุเชื่อมประสานจะให้ค่าโมดูลัสคืนตัวสูงที่สุด รองลงมาคือวัสดุแอสฟัลติกคอนกรีตที่ใช้แอสฟัลต์ชีเมนต์ AC80/100 และ AC40/50 เป็นวัสดุเชื่อมประสานตามลำดับ ผลการทดสอบหากค่าโมดูลัสคืนตัวของวัสดุแอสฟัลติกคอนกรีตที่ใช้แอสฟัลต์ทั้งสามชนิดเป็นวัสดุเชื่อมประสานได้แสดงไว้ในตารางที่ 4.4

ตารางที่ 4.4 ผลการทดสอบแรงดึงทางอ้อมแบบพลวัต

วัสดุเชื่อมประสาน	ค่าโมดูลัสคืนตัว (MPa)			
	10°C	25°C	40°C	55°C
AC 40/50	13,942	4,964	967	442
AC 60/70	14,832	6,911	1,143	532
AC 80/100	14,721	5,261	1,139	498

4.3 ผลการทดสอบแรงอัดแบบปราศจากแรงดันด้านข้างแบบสถิต (Static Unconfined compression test, S-UC)

ผลการทดสอบแรงอัดแบบปราศจากแรงดันด้านข้างแบบสถิตของวัสดุแอสฟัลติกคอนกรีตที่ทดสอบด้วยแอสฟัลต์ชีเมนต์ AC40/50 AC60/70 และ AC80/100 ภายใต้การเปลี่ยนแปลงอุณหภูมิและอัตราความเครียดที่มากจะทำ ได้แก่ ค่าความเด่นสูงสุด (σ_{max}) ค่าความเครียด ณ ตำแหน่งที่มีค่าความเด่นสูงสุด (Peak strain) และค่าโมดูลัสของยังที่ 50% ของค่าความเด่นสูงสุด (Secant

Young's modulus at 50% of maximum stress, E^{50}) แสดงไว้ในตารางที่ 4.5 ถึงตารางที่ 4.7 และความสัมพันธ์ระหว่างความเค้นกับความเครียดของวัสดุแอกซ์เพลติกคอนกรีตที่ผสานด้วย แอกซ์เพลติกเมเนต์ AC40/50 AC60/70 และ AC80/100 ได้แสดงไว้ในรูปที่ 4.4 ถึงรูปที่ 4.6

ตารางที่ 4.5 ผลการทดสอบแรงอัดแบบป্রาศจากแรงดันด้านข้างแบบสติ๊กของวัสดุแอกซ์เพลติก คอนกรีต AC40/50

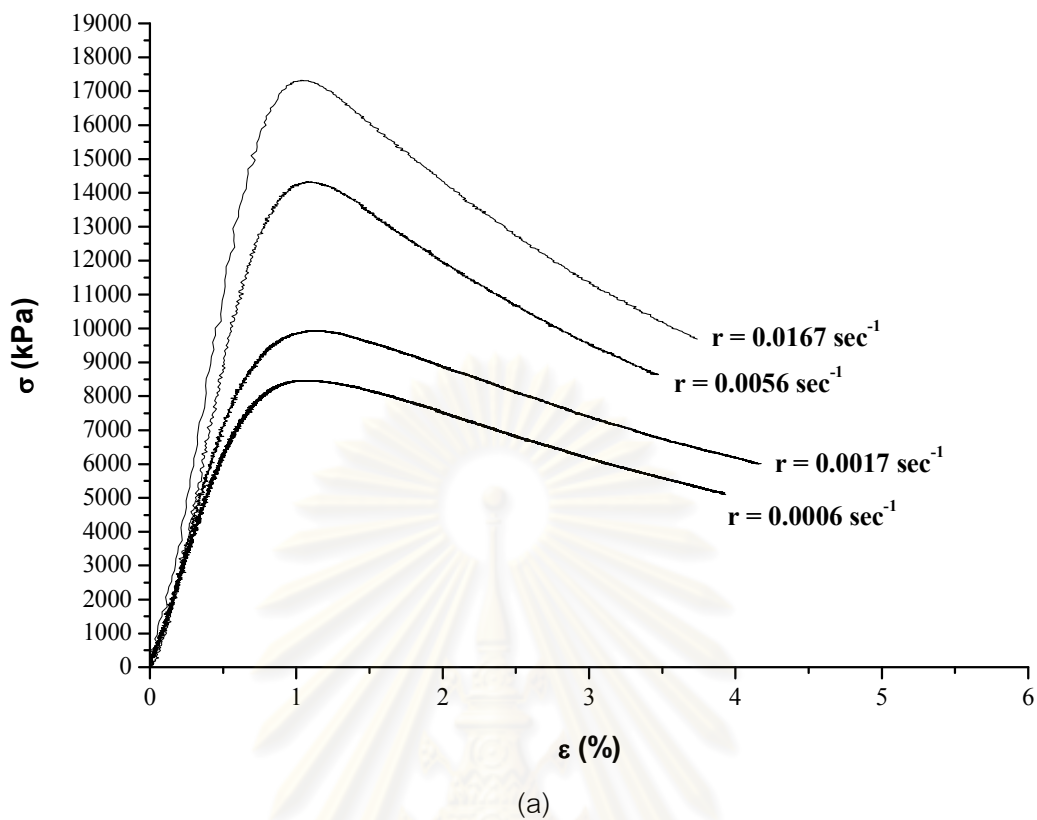
Temperature (°C)	Strain rate (sec ⁻¹)	Strain at peak (%)	Maximum stress (kPa)	Secant Young's modulus at 50% of maximum stress (MPa)
10	0.0006	1.06	8530.28	1352.58
	0.0017	1.10	9994.83	1465.30
	0.0056	1.11	14419.77	1693.93
	0.0167	1.07	17390.32	2203.26
25	0.0006	1.62	3323.05	351.71
	0.0017	1.6	4060.25	489.40
	0.0056	1.43	5598.25	860.00
	0.0167	1.36	7956.77	1307.65
40	0.0006	1.99	1582.20	195.10
	0.0017	1.77	1789.10	196.06
	0.0056	2.21	2726.25	270.66
	0.0167	1.86	3124.90	343.87
55	0.0006	2.64	971.19	84.65
	0.0017	2.55	1274.38	110.6767
	0.0056	1.98	1391.04	152.6076
	0.0167	1.19	1670.09	398.612

ตารางที่ 4.6 ผลการทดสอบแรงอัดแบบป্রาศจากแรงดันด้านข้างแบบสติตของวัสดุแอกส์เพลติก
คุณกรีต AC60/70

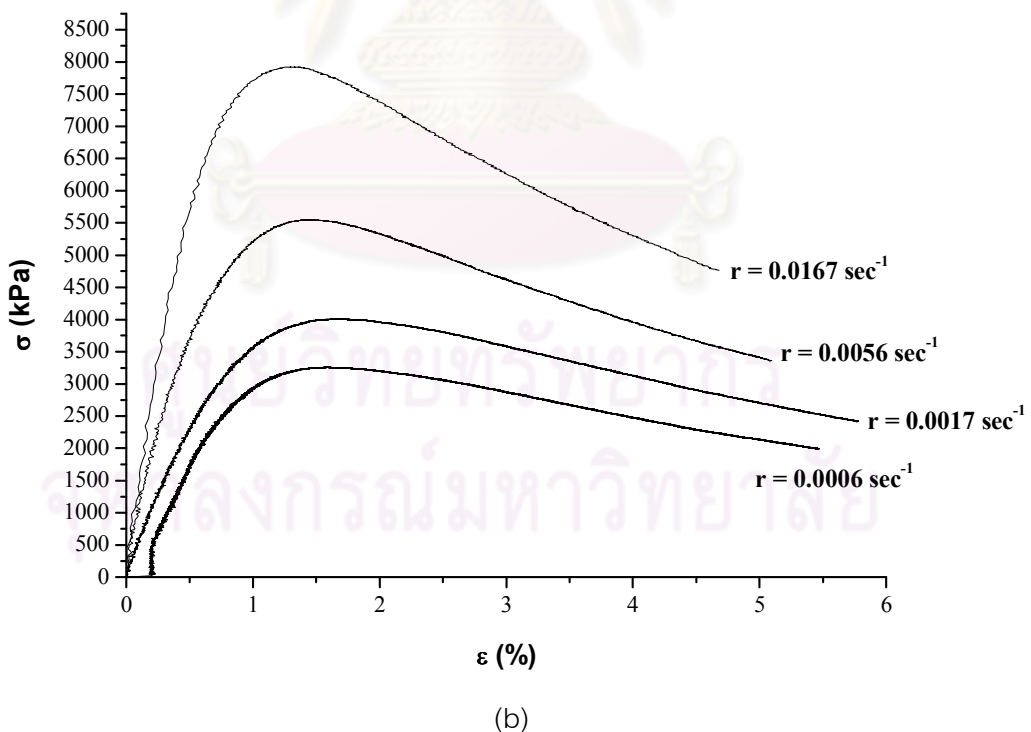
Temperature (°C)	Strain rate (sec ⁻¹)	Strain at peak (%)	Maximum stress (kPa)	Secant Young's modulus at 50% of maximum stress (MPa)
10	0.0006	1.23	8598.83	1037.20
	0.0017	0.98	11035.99	1688.13
	0.0056	1.00	14200.12	1798.78
	0.0167	0.88	18078.33	2457.35
25	0.0006	1.69	3017.74	352.13
	0.0017	1.72	4162.49	465.92
	0.0056	1.46	5756.71	955.52
	0.0167	1.25	7108.48	1173.81
40	0.0006	1.92	1366.05	184.47
	0.0017	2.45	1722.34	193.57
	0.0056	1.89	1990.26	210.18
	0.0167	1.64	2977.67	369.28
55	0.0006	2.40	881.71	74.18
	0.0017	2.10	979.17	79.39
	0.0056	1.54	997.27	225.15
	0.0167	2.11	1364.68	177.46

ตารางที่ 4.7 ผลการทดสอบแรงอัดแบบป্রาศจากแรงดันด้านข้างแบบสติตของวัสดุแอสฟัลติก
คอนกรีต AC80/100

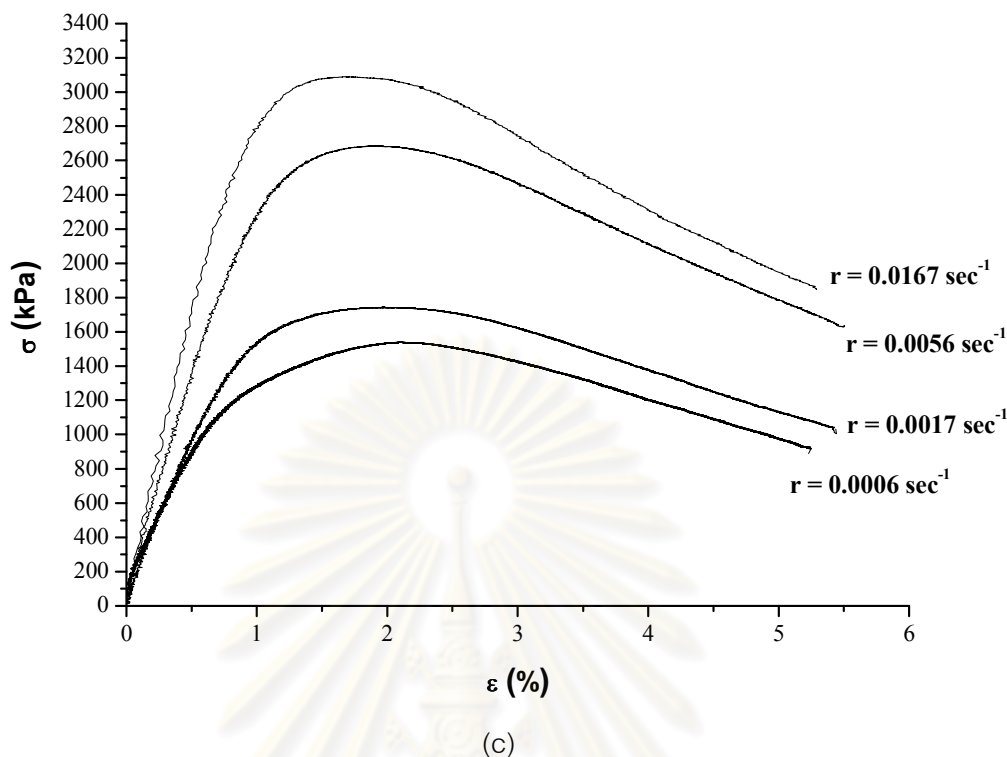
Temperature (°C)	Strain rate (sec ⁻¹)	Strain at peak (%)	Maximum stress (kPa)	Secant Young's modulus at 50% of maximum stress (MPa)
10	0.0006	1.45	6544.33	812.02
	0.0017	1.44	8508.93	1033.93
	0.0056	1.37	12739.87	1584.90
	0.0167	1.68	16243.55	1971.63
25	0.0006	2.00	2120.86	208.36
	0.0017	1.51	2823.52	289.61
	0.0056	1.47	4380.77	752.65
	0.0167	2.08	5520.13	638.54
40	0.0006	2.63	965.39	82.45
	0.0017	2.09	1261.38	124.26
	0.0056	2.28	1458.07	143.77
	0.0167	1.65	1981.70	229.13
55	0.0006	1.76	676.60	68.75
	0.0017	2.03	771.58	88.51
	0.0056	2.44	956.86	90.21
	0.0167	2.75	1267.71	115.22



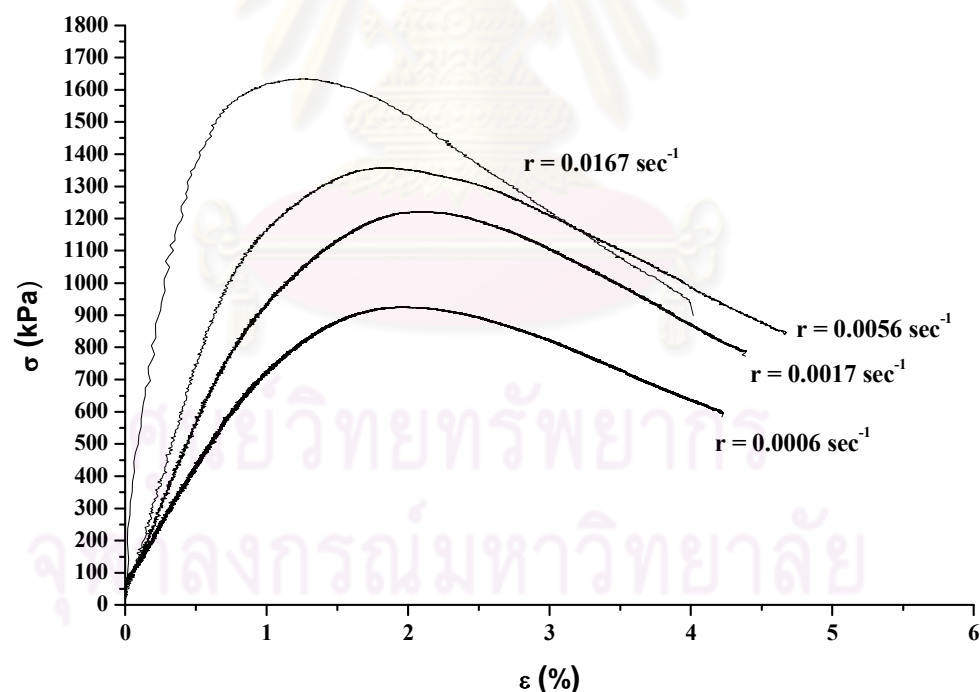
(a)



(b)

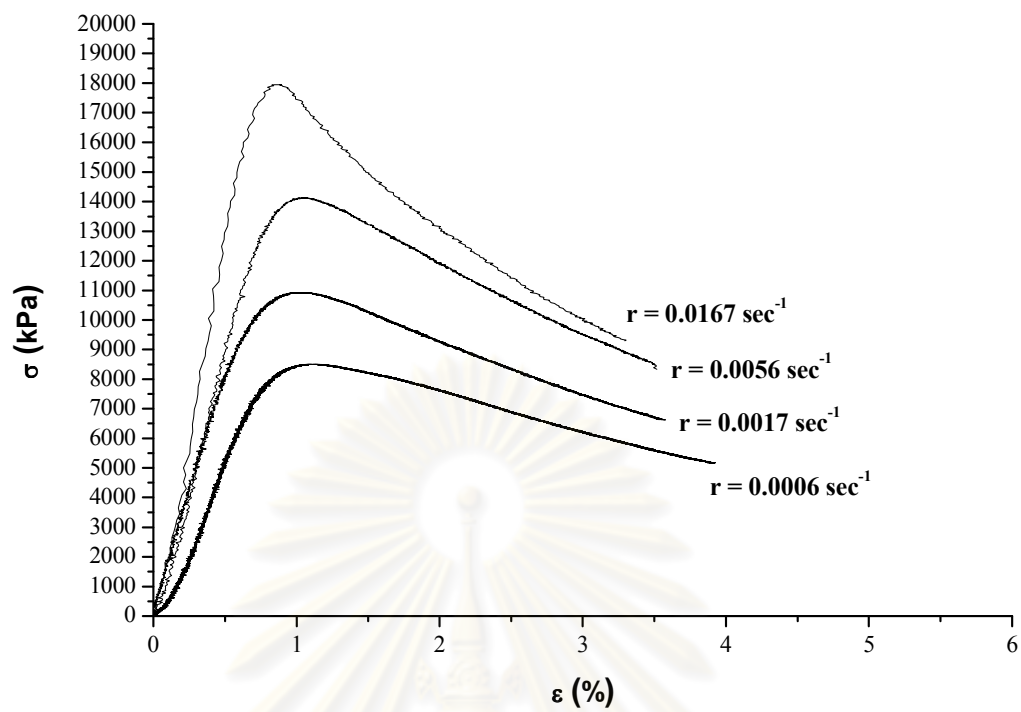


(c)

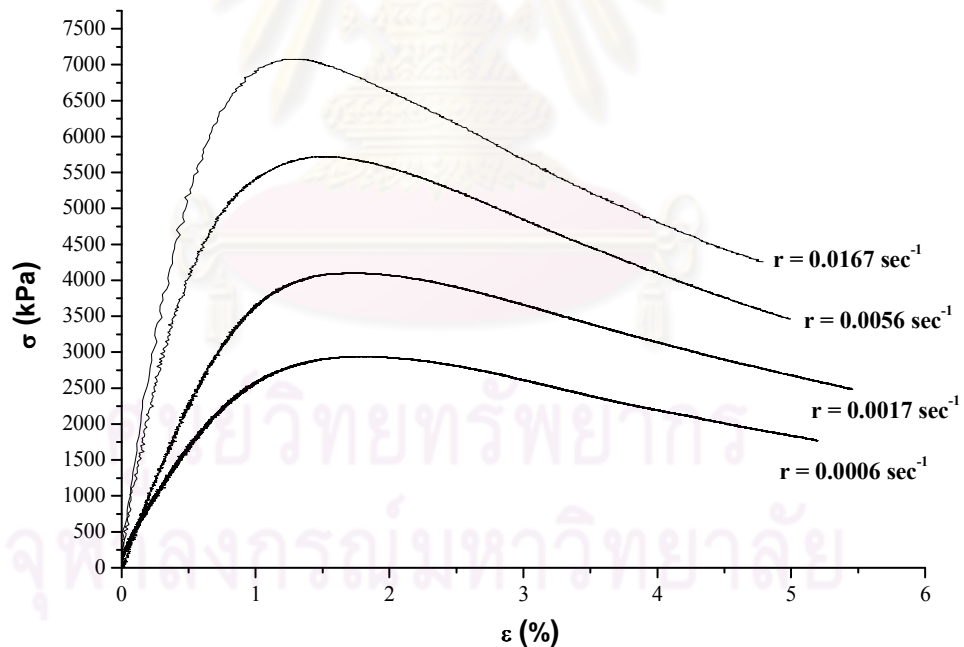


(d)

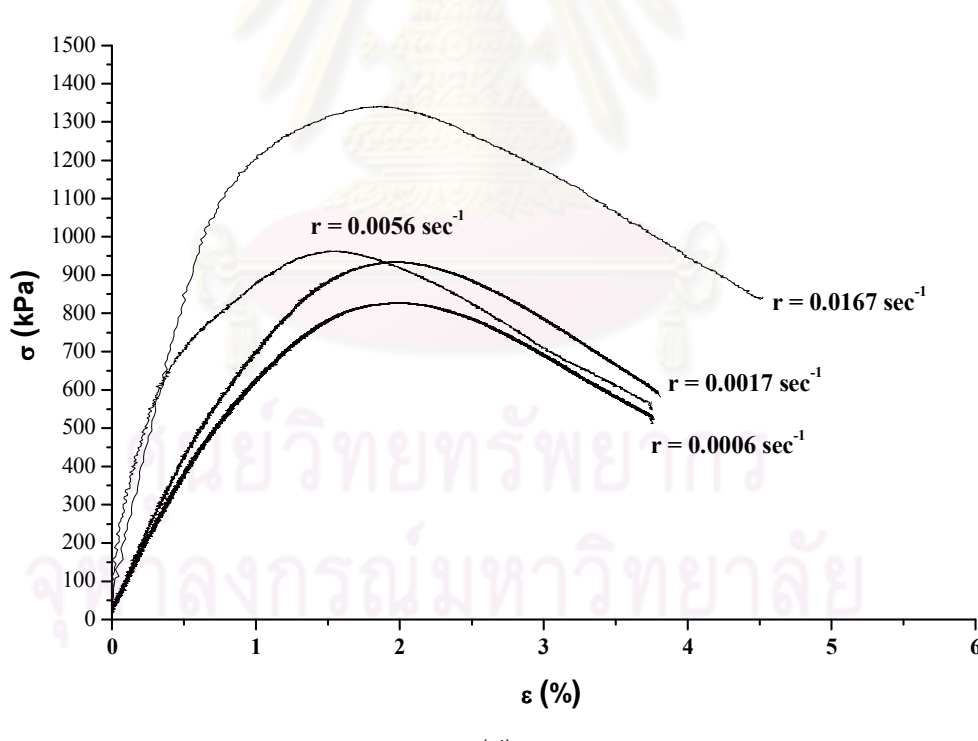
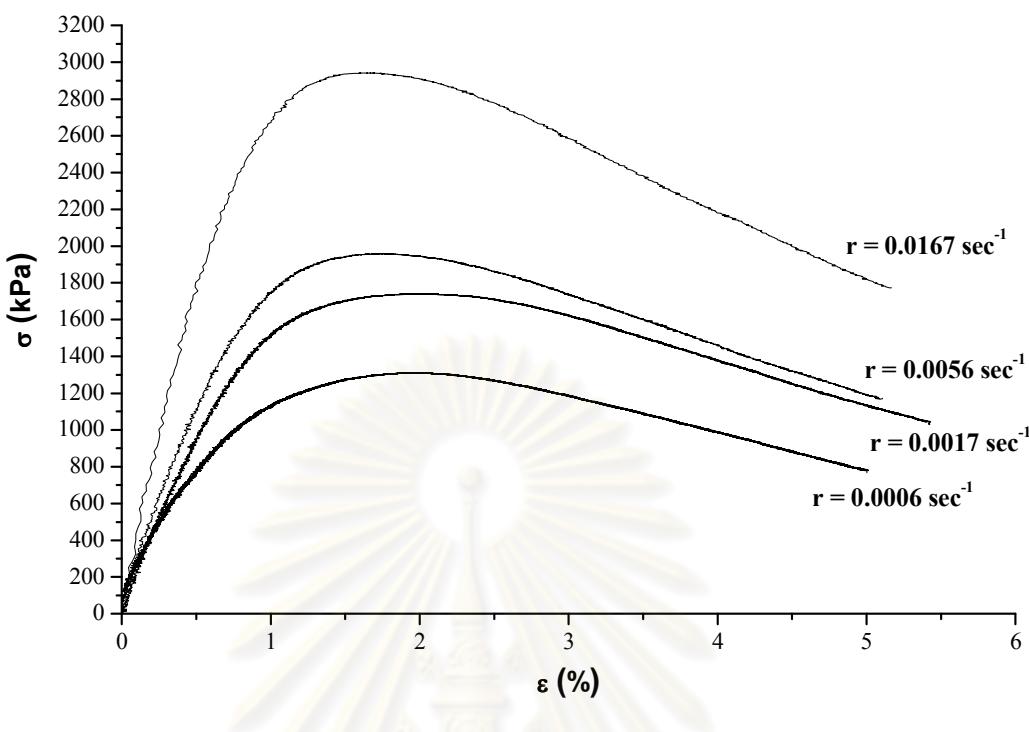
รูปที่ 4.4 ความสัมพันธ์ระหว่างความเค้นกับความเครียดของวัสดุแอสฟัลติกคอนกรีต AC40/50 จากการทดสอบแรงอัดแบบปราศจากแรงดันด้านข้างแบบสติ๊ก ณ อุณหภูมิต่างๆ กัน 4 ค่า (a) 10°C (b) 25°C (c) 40°C (d) 55°C



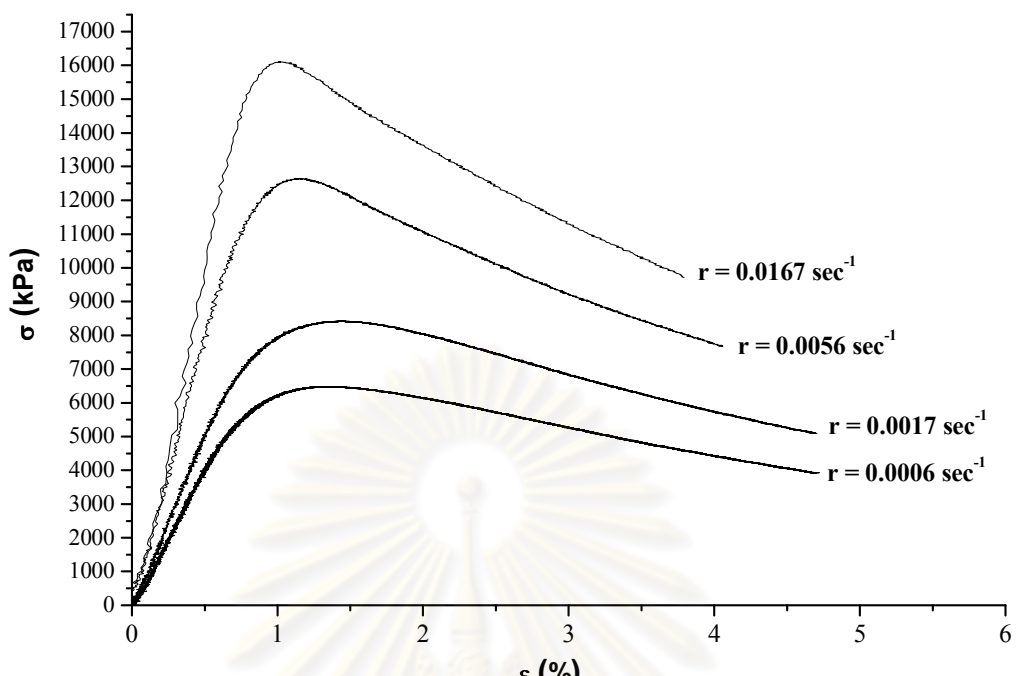
(a)



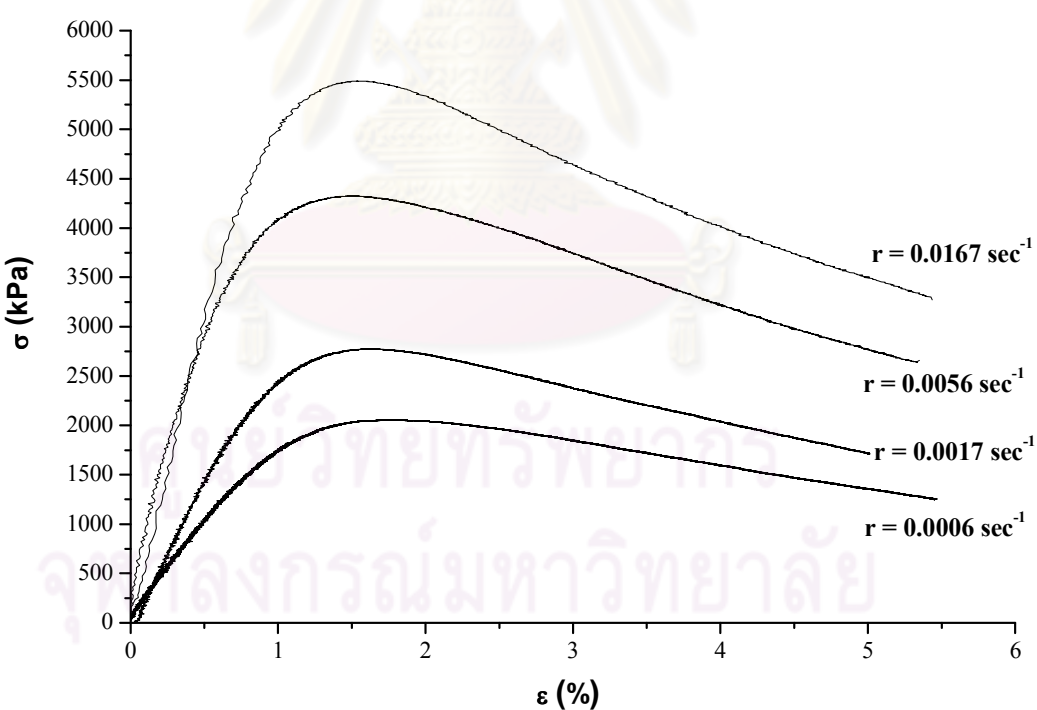
(b)



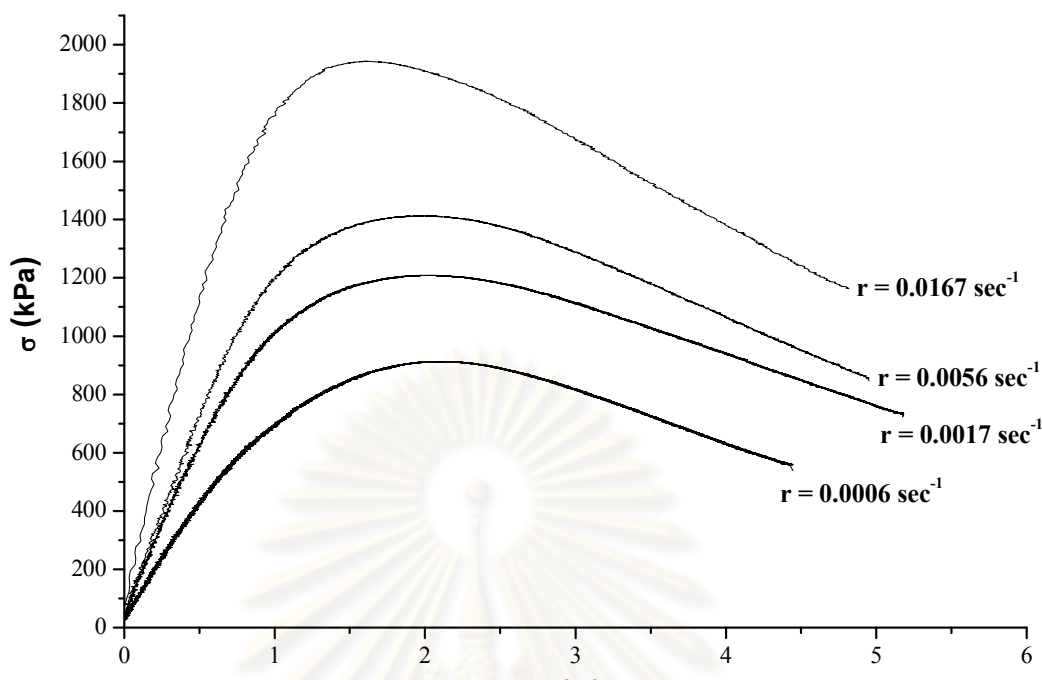
รูปที่ 4.5 ความสัมพันธ์ระหว่างความเค้นกับความเครียดของวัสดุแอกส์เพลติกคอนกรีต AC60/70 จากการทดสอบแรงอัดแบบปราศจากแรงดันด้านข้างแบบสถิต ณ อุณหภูมิต่างๆ กัน 4 ค่า (a) 10°C (b) 25°C (c) 40°C (d) 55°C



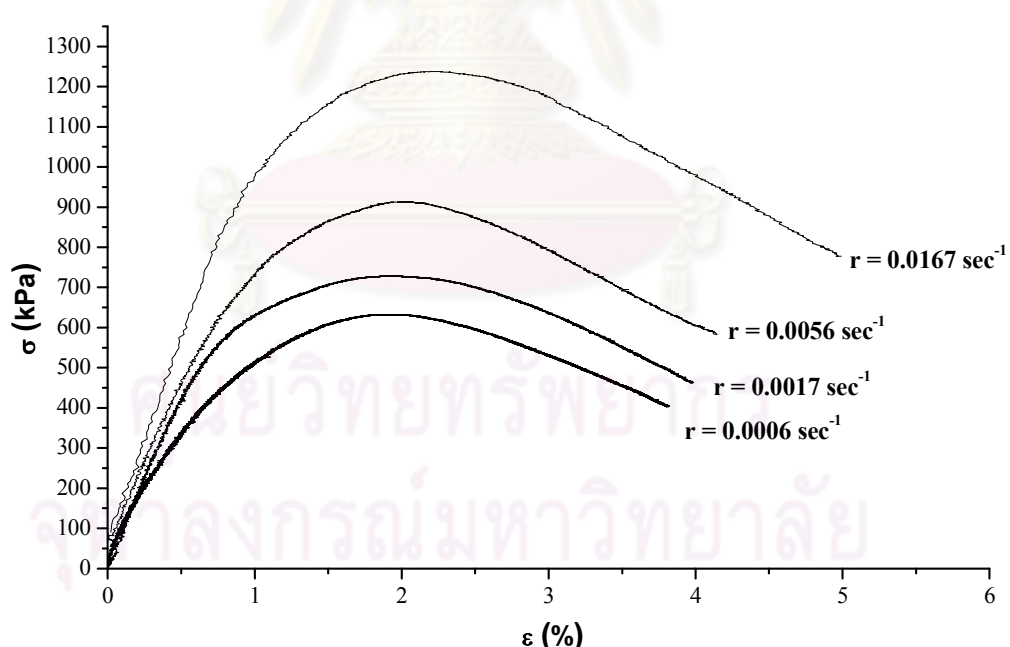
(a)



(b)



(c)



(d)

รูปที่ 4.6 ความสัมพันธ์ระหว่างความเค้นกับความเครียดของวัสดุแอสฟัลติกคอนกรีต AC80/100 จากการทดสอบแรงขัดแบบปราศจากแรงต้านด้านข้างแบบสติ๊ก ณ อุณหภูมิต่างๆ ทั้ง 4 ค่า (a) 10°C (b) 25°C (c) 40°C (d) 55°C

จากผลการทดสอบพบว่าที่อุณหภูมิ 10°C วัสดุแอลฟ์ลิติกคอนกรีตที่ผสมด้วยแอลฟ์ลิตซีเมนต์ทั้งสามชนิดมีค่ากำลังรับแรงอัดและค่าโมดูลัสของยังที่ 50% ของค่าความเค้นสูงสุดมากที่สุด รองลงมา คือ ที่อุณหภูมิ 25°C 40°C และ 55°C ตามลำดับ

ส่วนค่าความเครียด ณ ตำแหน่งที่มีค่าความเค้นสูงสุดของวัสดุแอลฟ์ลิติกคอนกรีตที่ผสมด้วยแอลฟ์ลิตซีเมนต์ทั้งสามชนิดเมื่อทดสอบภายใต้อุณหภูมิและอัตราความเครียดต่างๆ มีค่าไม่แน่นอน ไม่สามารถหาแนวโน้มของค่าความเครียดที่เกิดขึ้นได้

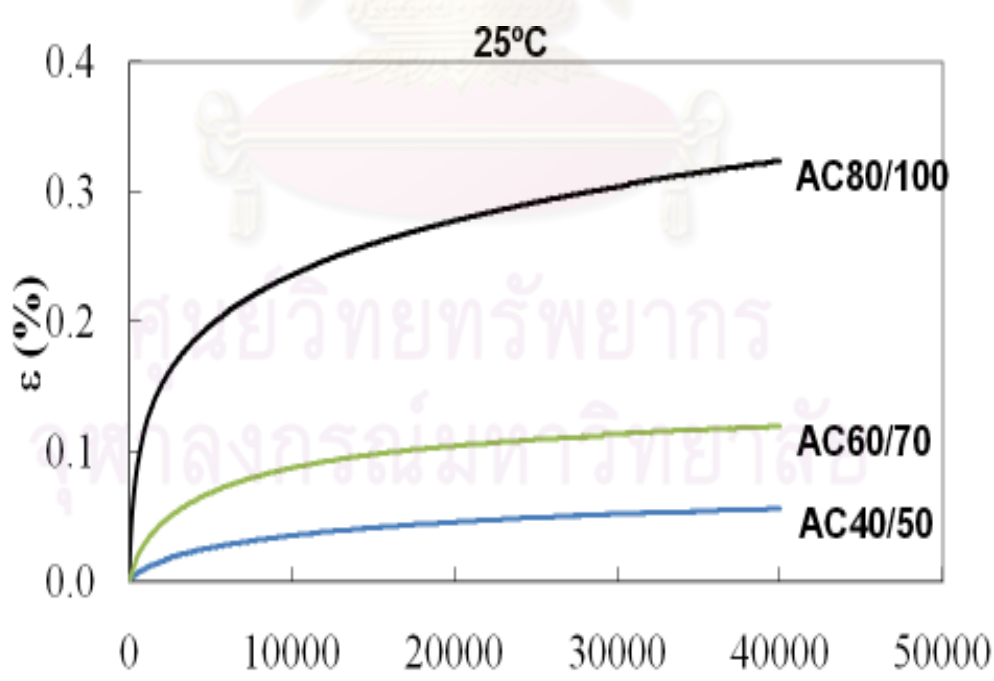
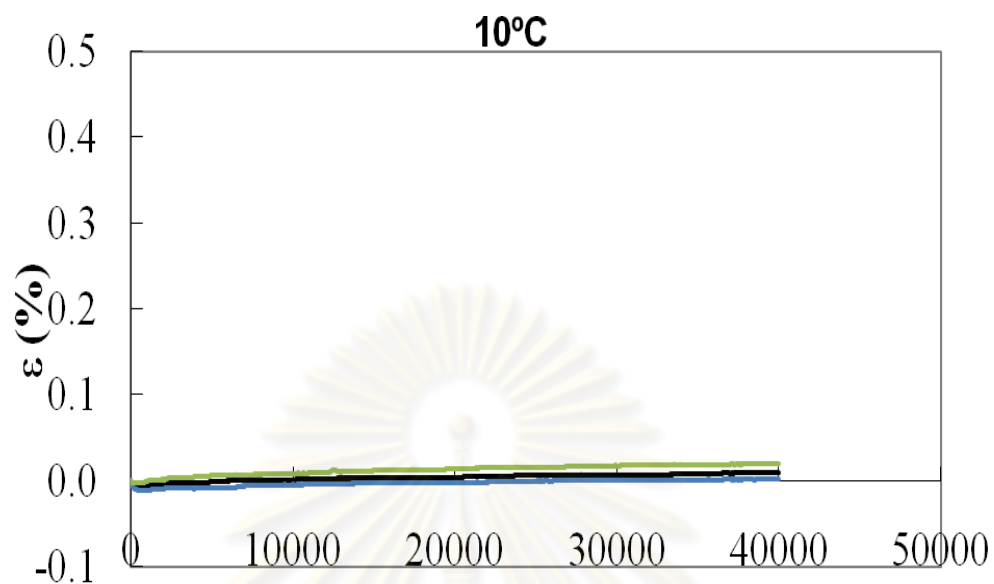
4.4 ผลการทดสอบแรงอัดแบบปราศจากแรงดันด้านข้างแบบพลวัต (Dynamic Unconfined compression test, D-UC)

ผลทดสอบพบว่าที่อุณหภูมิ 10°C ตัวอย่างที่ผสมจากแอลฟ์ลิตซีเมนต์ทั้งสามชนิดมีค่าการยุบตัวแบบถาวรต่ำมากในจำนวนรอบที่ทำการทดสอบดังแสดงในรูปที่ 4.7(a) จากกล่าวได้ว่าวัสดุแอลฟ์ลิติกคอนกรีตไม่แสดงพฤติกรรมการยุบตัวแบบถาวร เพราะที่อุณหภูมิต่ำๆ แอลฟ์ลิติกคอนกรีตจะมีพฤติกรรมอิลาสติกแบบสมบูรณ์ (Perfectly elastic) จึงไม่สามารถสังเกตพฤติกรรมพลาสติกได้

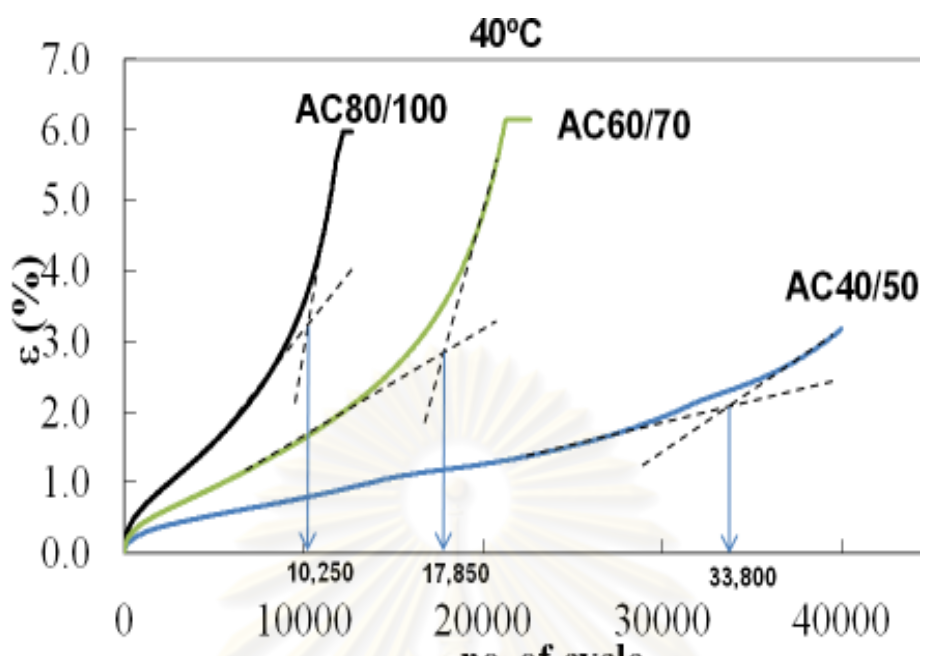
สำหรับอุณหภูมิ 25°C ตัวอย่างที่ผสมจากแอลฟ์ลิตซีเมนต์ทั้งสามชนิดเริ่มแสดงพฤติกรรมการยุบตัวแบบถาวรแต่ยังมีค่าอยู่ในระดับต่ำ โดยอยู่ในช่วง “Secondary creep” คือ ยังไม่พบความเสียหายเกิดขึ้นในจำนวนรอบที่ทำการทดสอบ ดังแสดงในรูปที่ 4.7(b) โดยตัวอย่างที่ผสมจาก AC80/100 เกิดการยุบตัวแบบถาวรมากกว่า AC60/70 และ AC40/50 ตามลำดับ

ส่วนอุณหภูมิ 40°C พบร้าตัวอย่างเริ่มเกิดความเสียหายขึ้นดังแสดงในรูปที่ 4.7(c) โดยตัวอย่างที่ผสมด้วย AC80/100 เริ่มเกิดความเสียหายเร็วที่สุดคือ มีค่าที่จุดเสียรูป (FN) 10,250 รอบ ส่วนตัวอย่างที่ผสมด้วย AC60/70 เริ่มเกิดความเสียหายช้ากว่า AC80/100 คือ มีค่า FN 17,850 รอบ และสุดท้ายตัวอย่างที่ผสมด้วย AC40/50 เริ่มเกิดความเสียหายช้าที่สุด คือ มีค่า FN 33,800 รอบ

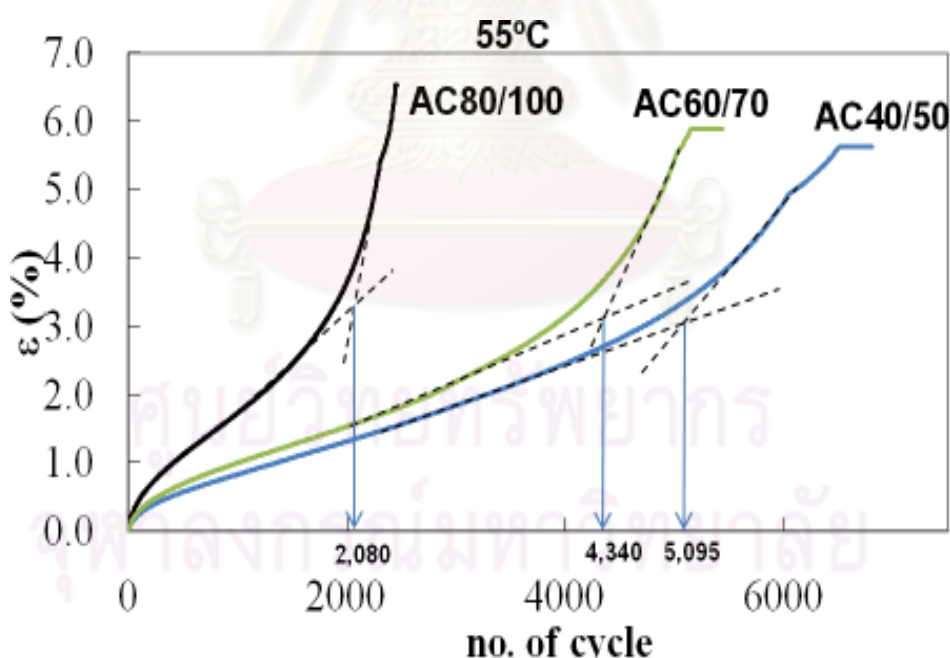
สำหรับอุณหภูมิ 55°C มีรูปแบบความสัมพันธ์ระหว่างค่าความเครียดถาวรกับจำนวนรอบการให้แรงเหมือนกับอุณหภูมิ 40°C ดังแสดงในรูปที่ 4.7(d) โดยตัวอย่างที่ผสมด้วย AC40/50 เริ่มเกิดความเสียหายช้าที่สุด คือ มีค่าที่จุดเสียรูป (FN) 5,095 รอบ ส่วนตัวอย่างที่ผสมด้วย AC60/70 เริ่มเกิดความเสียหายเร็วกว่า AC40/50 คือ มีค่า FN 4,340 รอบ และสุดท้ายตัวอย่างที่ผสมด้วย AC80/100 เริ่มเกิดความเสียหายเร็วที่สุด คือ มีค่า FN 2,080 รอบ โดยที่ค่า FN สามารถสรุปได้ในตารางที่ 4.8



(b)



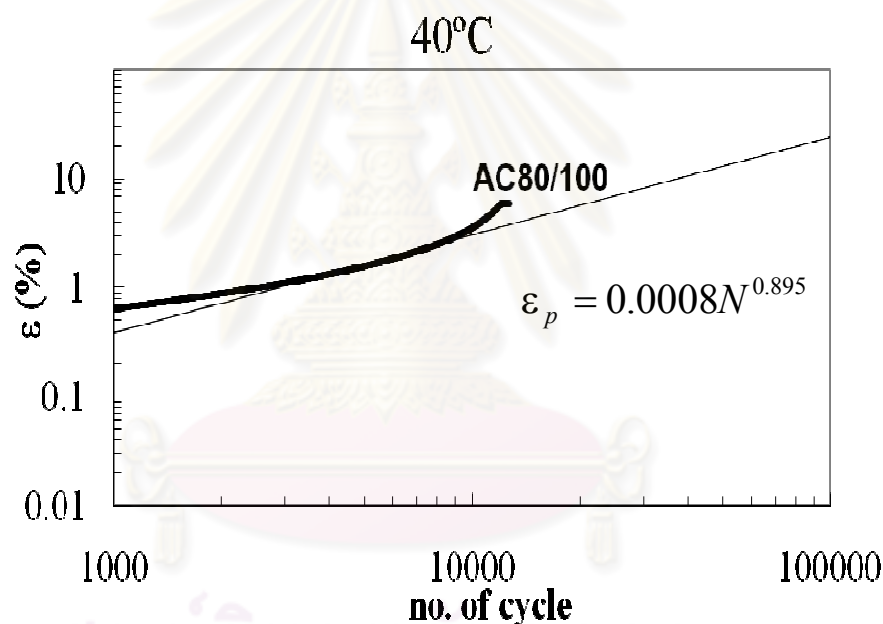
(c)



(d)

รูปที่ 4.7 ความสัมพันธ์ระหว่างความเครียดถาวรกับจำนวนรอบของแรงกระทำที่คุณภาพมิต่างๆ (a) 10°C (b) 25°C (c) 40°C (d) 55°C

จากผลของความสัมพันธ์ระหว่างความเครียดถาวรกับจำนวนรอบของแรงกระทำของตัวอย่างที่ทดสอบจากแอสฟัลต์ทั้งสามชนิด ณ อุณหภูมิต่างๆ สามารถนำไปสร้างสมการการยุบตัวแบบถาวรอย่างง่ายได้ดังแสดงในตารางที่ 4.8 โดยรูปที่ 4.8 แสดงตัวอย่างกราฟความสัมพันธ์ ลือกระหว่างความเครียดถาวรกับจำนวนรอบของตัวอย่าง AC80/100 ที่อุณหภูมิการทดสอบ 40°C และ 55°C ตามลำดับ โดยจะมีค่า a ส่วนความชันกราฟเป็นค่า b และสำหรับค่า a และ b ของตัวอย่าง AC40/50 AC60/70 และ AC80/100 ที่อุณหภูมิการทดสอบ 25°C 40°C และ 55°C สามารถสรุปไว้ในตารางที่ 4.8 พนทว่าค่า b มีค่าเพิ่มมากขึ้นเมื่อตัวอย่างผสานด้วยแอสฟัลต์ที่มีค่าเพนเดตรชันสูงขึ้น นอกจากนั้นค่า b จะมีค่าเพิ่มมากขึ้นถ้าตัวอย่างมีอุณหภูมิเพิ่มสูงขึ้น



รูปที่ 4.8 ตัวอย่างความสัมพันธ์ลือกระหว่างความเครียดถาวรกับจำนวนรอบของแรงกระทำของตัวอย่าง AC80/100 ที่อุณหภูมิการทดสอบ 40°C

ตารางที่ 4.8 สมการความสัมพันธ์ระหว่างความเครียดถาวรกับจำนวนรอบของเร่งกระทำ

ชนิด แอสฟัลต์	อุณหภูมิ	FN	สมการการยืดตัวแบบ ถาวร	a	b
AC 40/50	25°C	NA*	$\varepsilon_p = 0.0047 N^{0.232}$	0.0047	0.232
AC 60/70			$\varepsilon_p = 0.0027 N^{0.363}$	0.0027	0.363
AC 80/100			$\varepsilon_p = 0.0051 N^{0.399}$	0.0051	0.399
AC 40/50	40°C	33,800	$\varepsilon_p = 0.0014 N^{0.689}$	0.0014	0.689
AC 60/70		17,850	$\varepsilon_p = 0.00084 N^{0.822}$	0.00084	0.822
AC 80/100		10,250	$\varepsilon_p = 0.0008 N^{0.895}$	0.0008	0.895
AC 40/50	55°C	5,095	$\varepsilon_p = 0.0034 N^{0.785}$	0.0034	0.785
AC 60/70		4,340	$\varepsilon_p = 0.0021 N^{0.875}$	0.0021	0.875
AC 80/100		2,080	$\varepsilon_p = 0.0035 N^{0.901}$	0.0035	0.901

* N/A (not available) ไม่สามารถหาค่าได้

ศูนย์วิทยทรัพยากร
จุฬาลงกรณ์มหาวิทยาลัย

บทที่ 5

สรุป อภิปรายผลและข้อเสนอแนะ

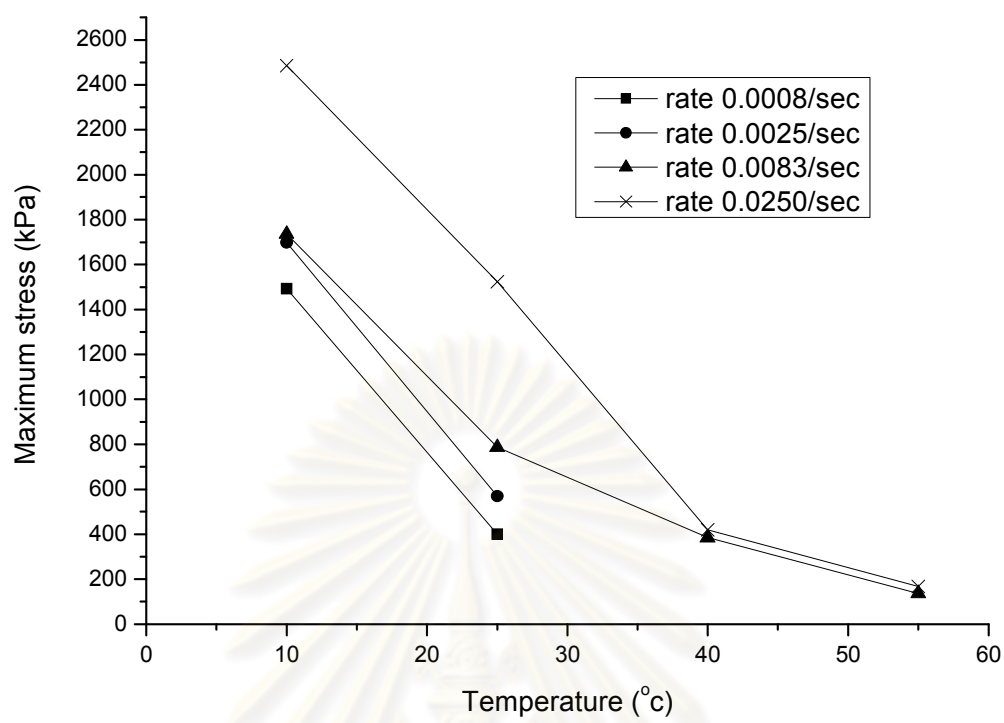
บทนี้นำเสนอผลสรุปของการดำเนินงานวิจัยที่กล่าวมาข้างต้น ได้แก่ ผลสรุปของการทดสอบแรงดึงทางอ้อมและการทดสอบแรงดึงทางอ้อมแบบปราชจากแรงดันด้านข้างทั้งแบบสติกและพลวัตของวัสดุแอกซ์ฟล็อกติกคอนกรีตที่ผสมด้วยแอกซ์ฟล็อกซีเม็นต์ AC40/50 AC60/70 และ AC80/100 รวมทั้งได้มีการอภิปรายผลการทดลองและนำเสนอข้อเสนอแนะที่เป็นประโยชน์ต่อการศึกษาในอนาคต

5.1 สรุปผลการทดลอง

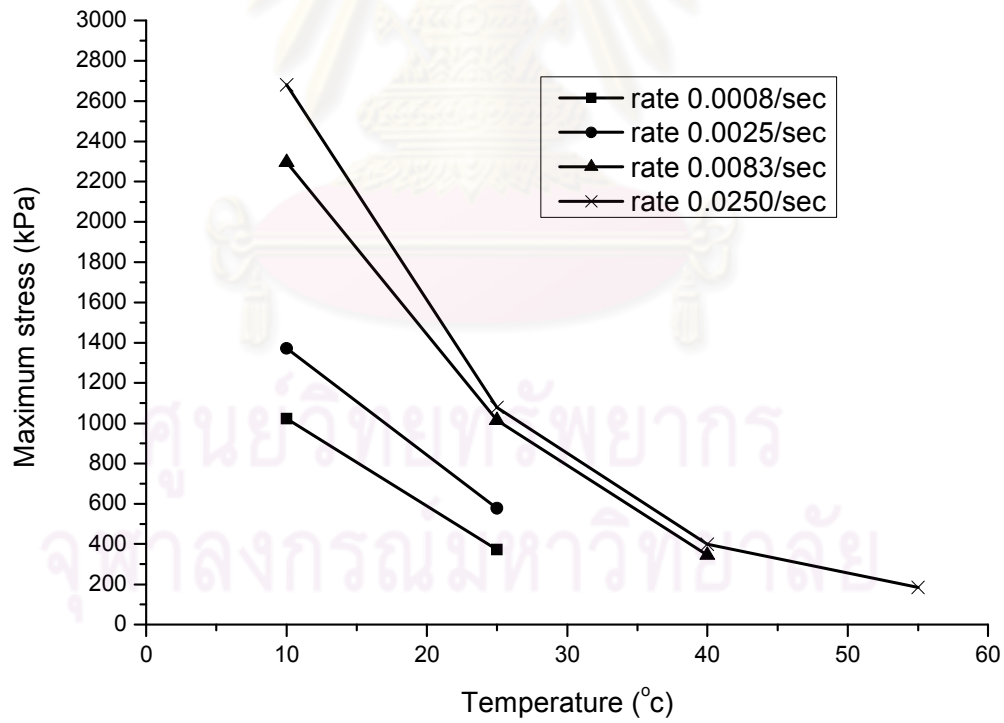
5.1.1 สรุปผลการทดสอบแรงดึงทางอ้อมแบบสติก (Static Indirect tensile test, S-IDT)

จากการทดสอบแรงดึงทางอ้อมแบบสติกสรุปได้ว่าคุณภาพและอัตราความเครียดมีอิทธิพลต่อพฤติกรรมทางด้านกำลังของวัสดุแอกซ์ฟล็อกติกคอนกรีตเป็นอย่างมาก วิเคราะห์ได้จากตัวอย่างแอกซ์ฟล็อกติกคอนกรีตที่ผสมด้วยแอกซ์ฟล็อกติกการเจาะลึกแตกต่างกันทั้งสามชนิดที่มีความหนาแน่นเท่ากัน มีแนวโน้มของค่าความเด่นสูงสุดและค่าโมดูลัสของยังที่ 50% ของค่าความเด่นสูงสุดไปในทางเดียวกัน คือ เมื่อคุณภาพเพิ่มสูงขึ้นค่าความเด่นสูงสุดและค่าโมดูลัสของยังที่ 50% ของค่าความเด่นสูงสุดจะมีค่าลดลง และเมื่ออัตราความเครียดเพิ่มสูงขึ้นค่าความเด่นสูงสุดและค่าโมดูลัสของยังที่ 50% ของค่าความเด่นสูงสุดจะมีค่าเพิ่มขึ้นตามไปด้วยดังแสดงในรูปที่ 5.1 ถึงรูปที่ 5.2

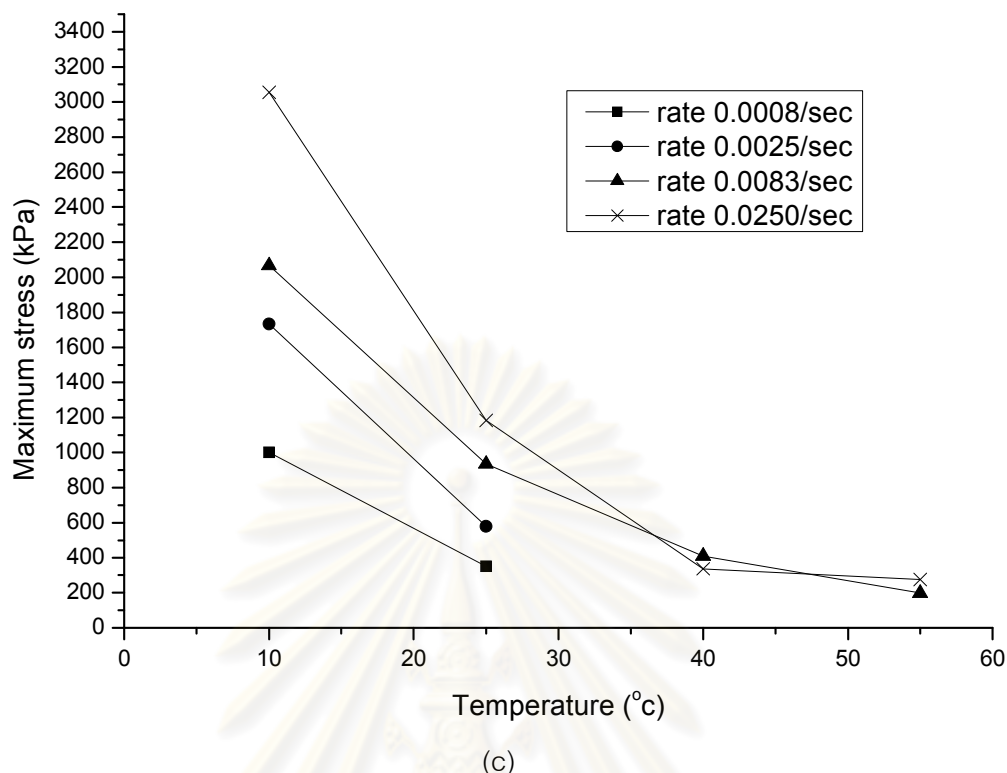
ส่วนการเจาะลึกของแอกซ์ฟล็อกติกต้องทดสอบแรงดันด้านกำลังของวัสดุแอกซ์ฟล็อกติกคอนกรีตน้อยมากเมื่อเทียบกับอิทธิพลของคุณภาพและอัตราความเครียด โดยพบว่าค่าความเด่นสูงสุดและค่าโมดูลัสของยังที่ 50% ของค่าความเด่นสูงสุดที่ได้จากการทดสอบด้วยแอกซ์ฟล็อกติกคอนกรีตที่ผสมจากแอกซ์ฟล็อกทั้งสามชนิดมีค่าใกล้เคียงกันและไม่สามารถหาแนวโน้มความสัมพันธ์ของค่าความเด่นสูงสุดและค่าโมดูลัสของยังที่ 50% ของค่าความเด่นสูงสุดกับการเจาะลึกของแอกซ์ฟล็อกต์ได้ ดังแสดงในรูปที่ 5.3 ถึงรูปที่ 5.4



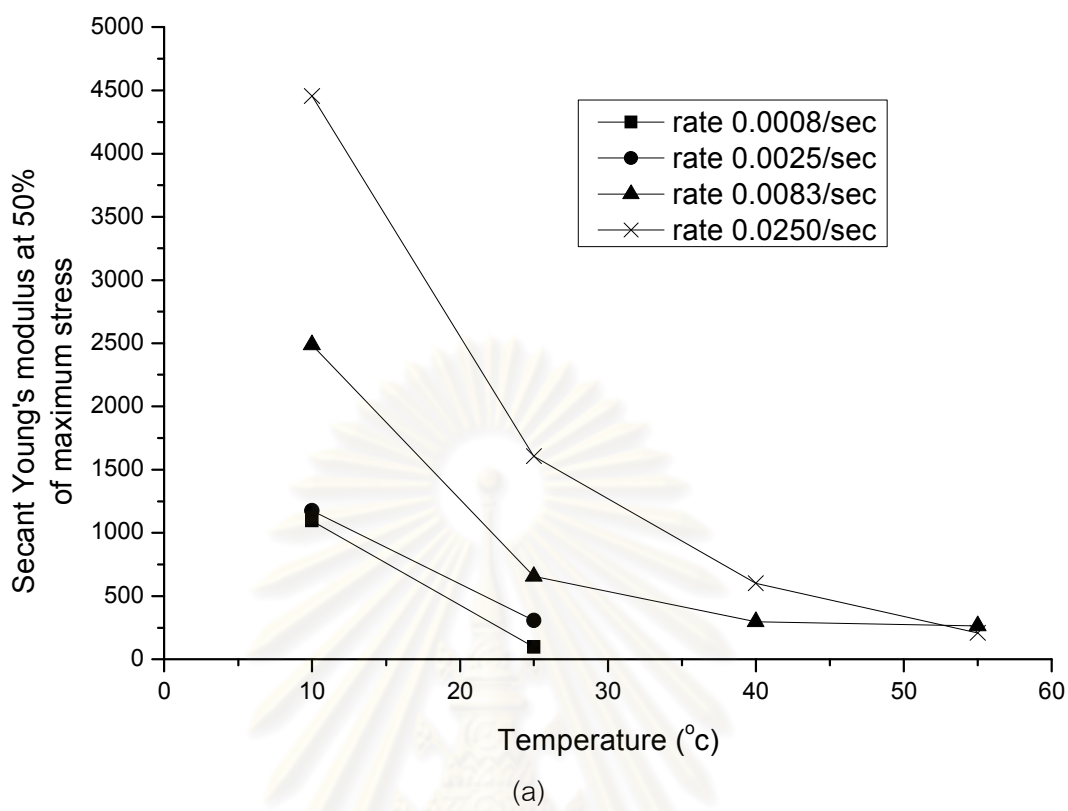
(a)



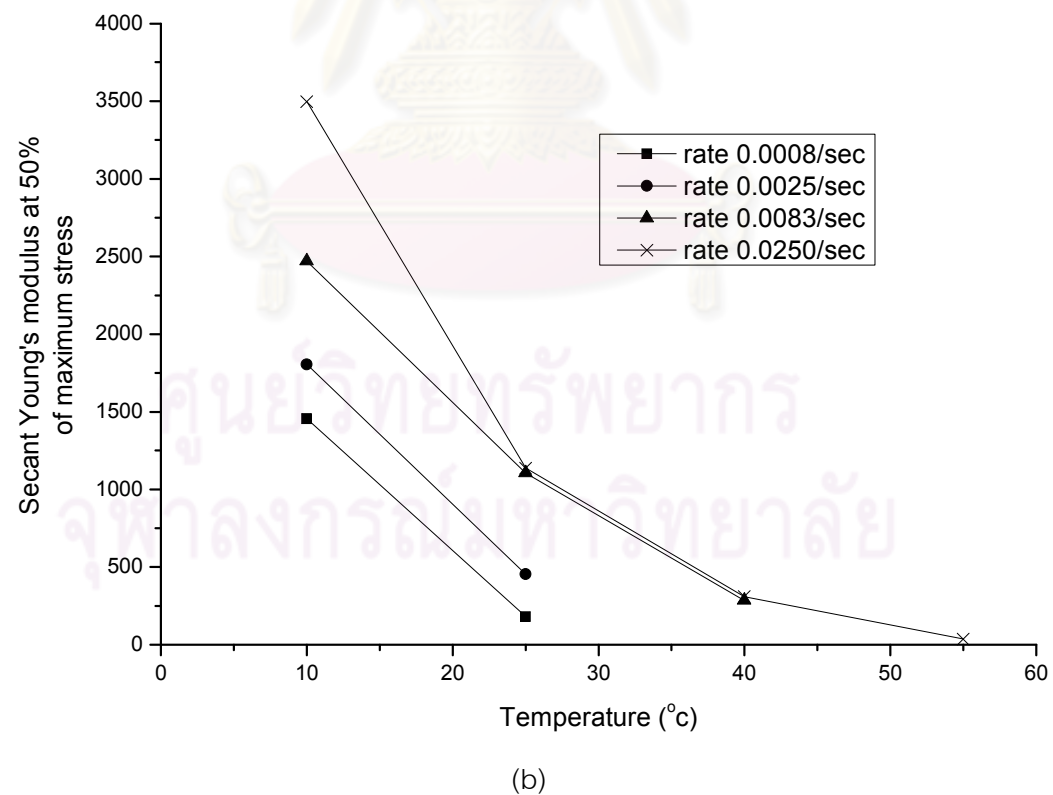
(b)



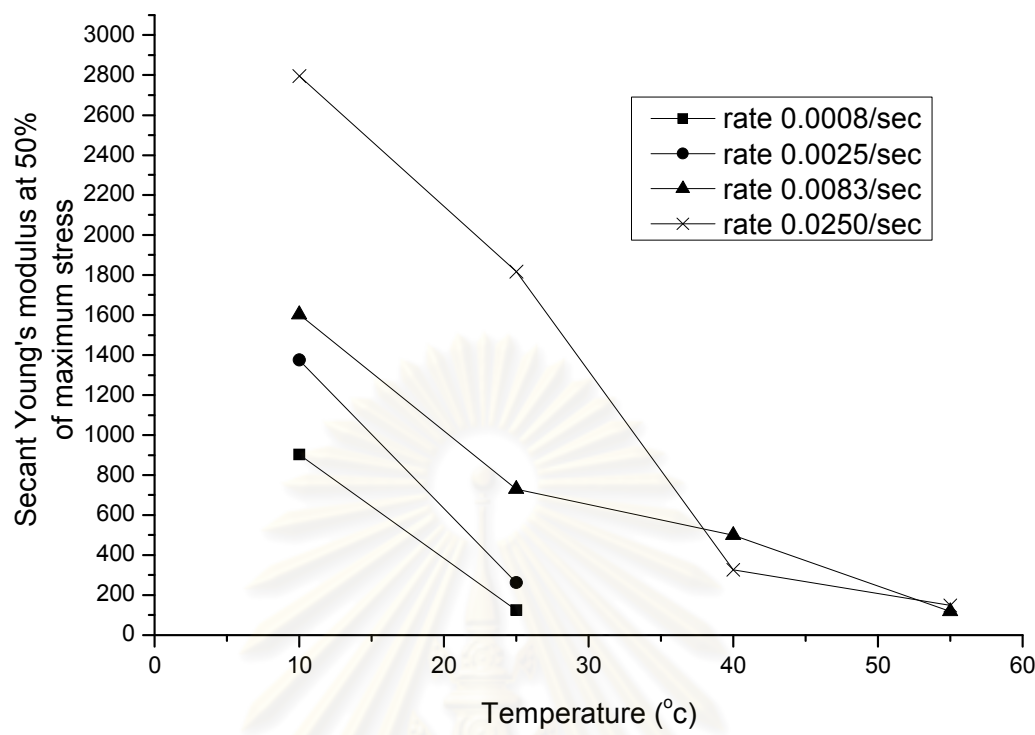
รูปที่ 5.1 ความสัมพันธ์ระหว่างความเค้นสูงสุดกับอุณหภูมิของวัสดุแอสฟัลติกคอนกรีตจากการทดสอบแบบแรงดึงทางข้อมแบบสถิติที่อัตราความเครียดต่างๆ (a) AC40/50 (b) AC60/70 (c) AC80/100



(a)



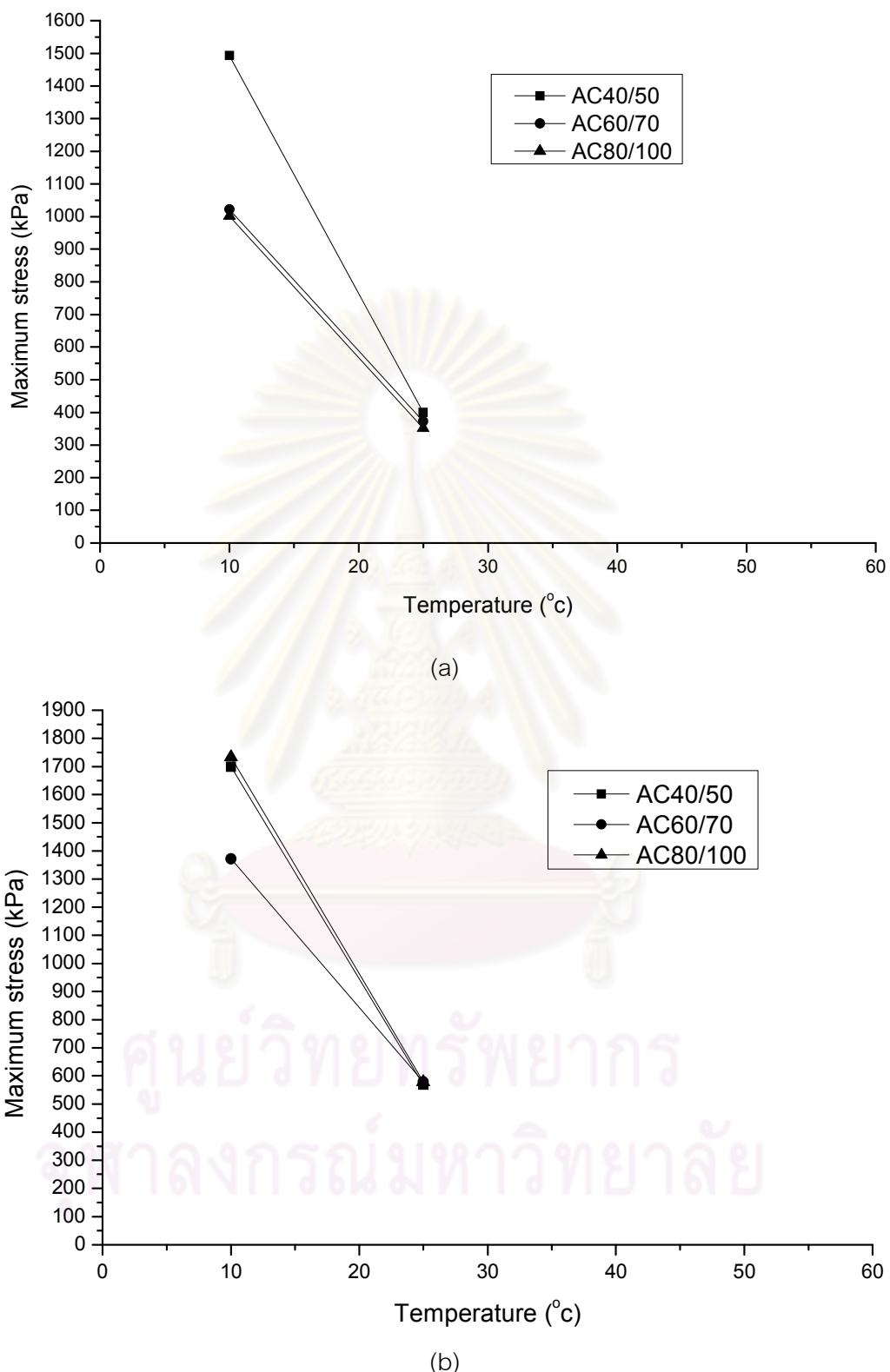
(b)

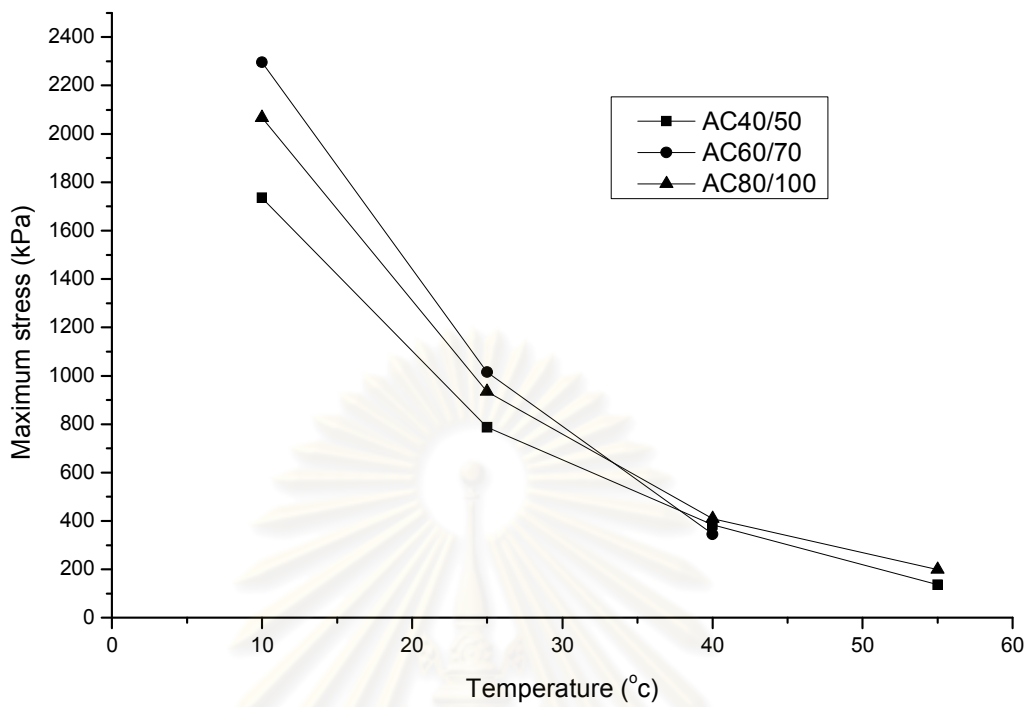


(c)

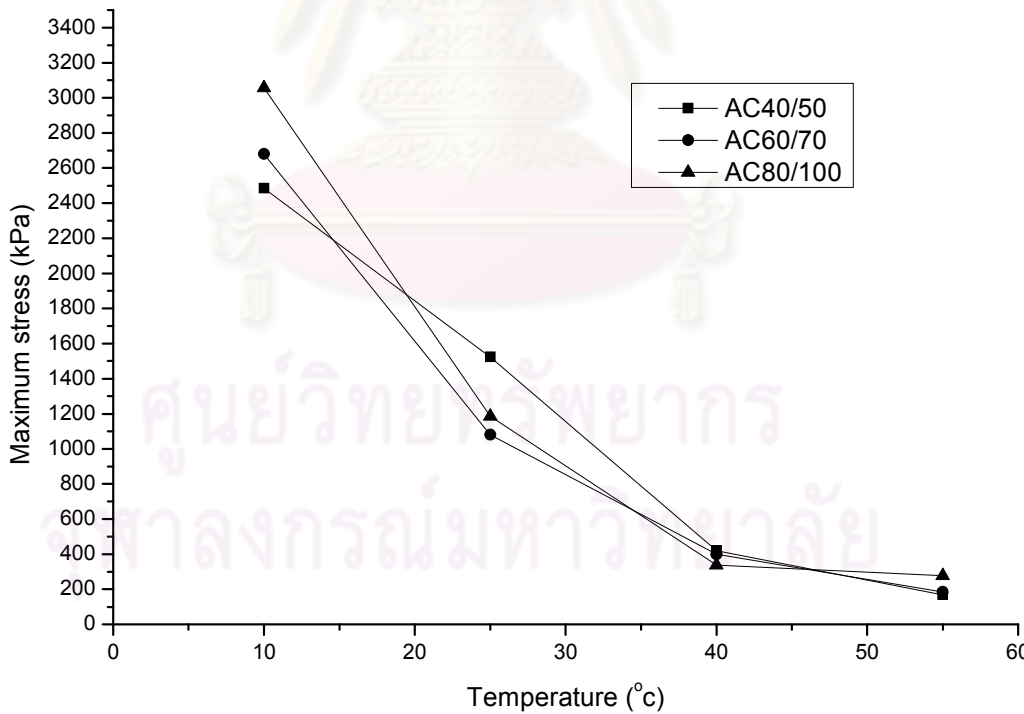
รูปที่ 5.2 ความสัมพันธ์ระหว่างค่าโมดูลัสของยังที่ 50% ของค่าความเด่นสูงสุดกับอุณหภูมิของวัสดุแอสฟัลติกคอนกรีตจากการทดสอบแรงดึงทางข้อมแบบสติติที่อัตราความเครียดต่างๆ (a) AC40/50 (b) AC60/70 (c) AC80/100

ศูนย์วิทยทรัพยากร
จุฬาลงกรณ์มหาวิทยาลัย



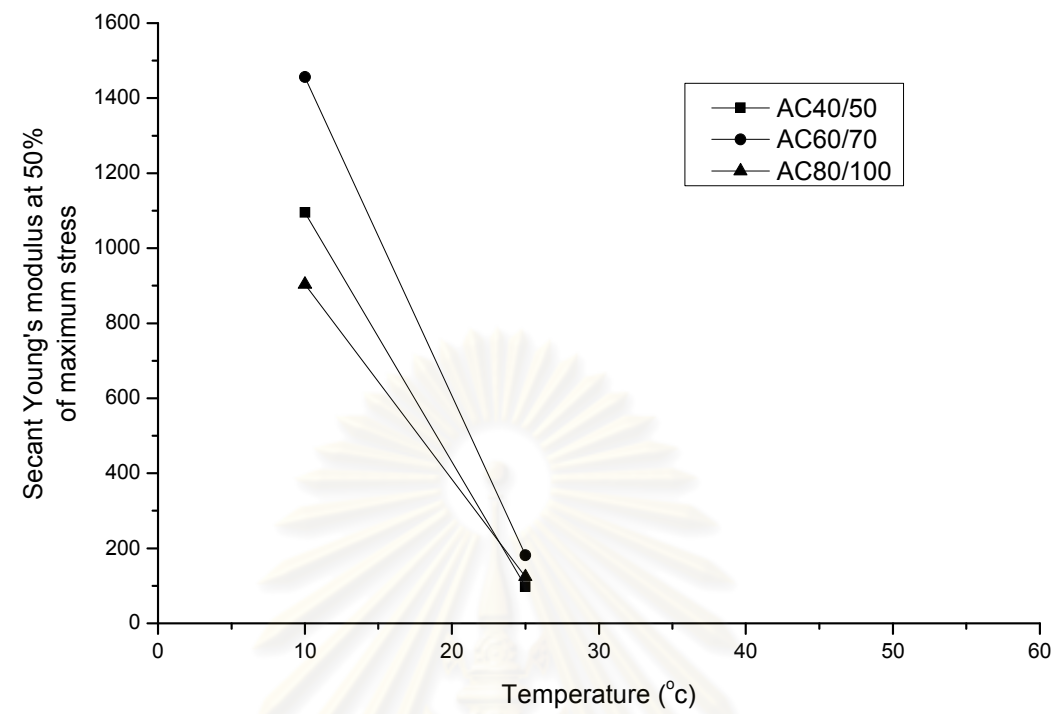


(c)

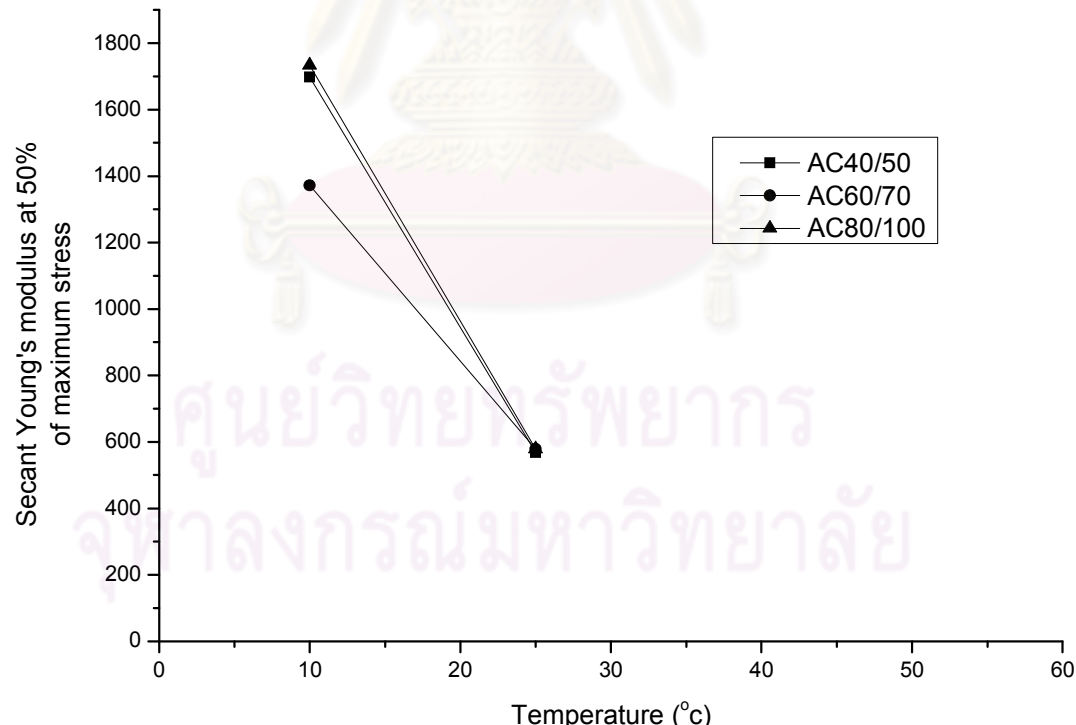


(d)

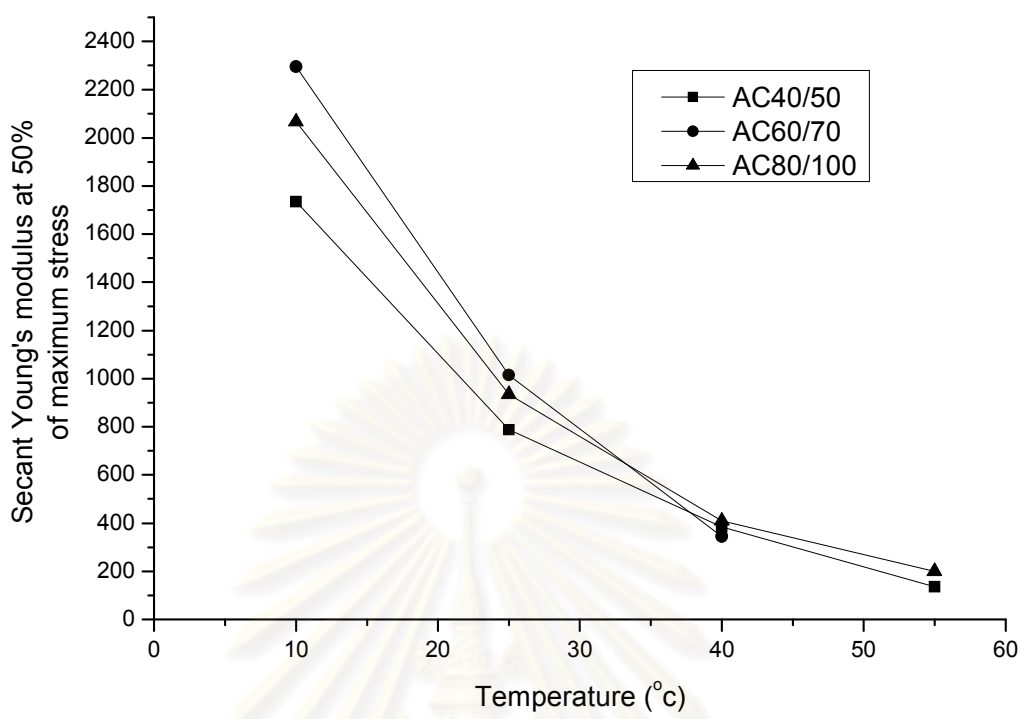
รูปที่ 5.3 ความสัมพันธ์ระหว่างความเดินทางสุดกับอุณหภูมิของวัสดุและฟลักติกบนกรีดจากการทดสอบแรงดึงทางข้อมแบบสถิต ณ อัตราความเครียดต่างๆ (a) 0.0008 ต่อวินาที (b) 0.0025 ต่อวินาที (c) 0.0083 ต่อวินาที (d) 0.0250 ต่อวินาที



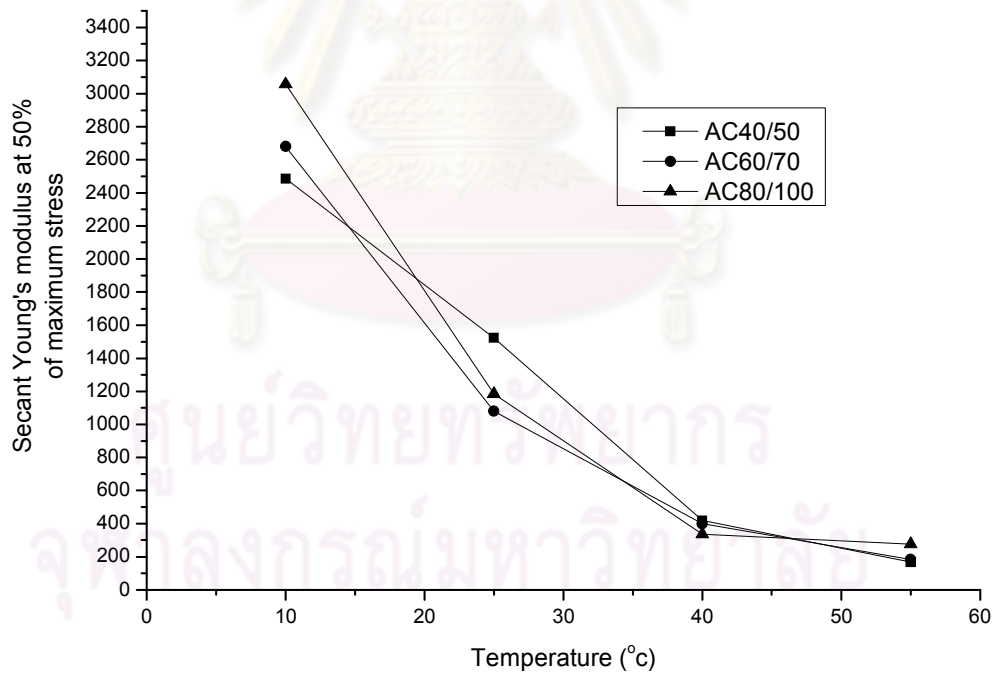
(a)



(b)



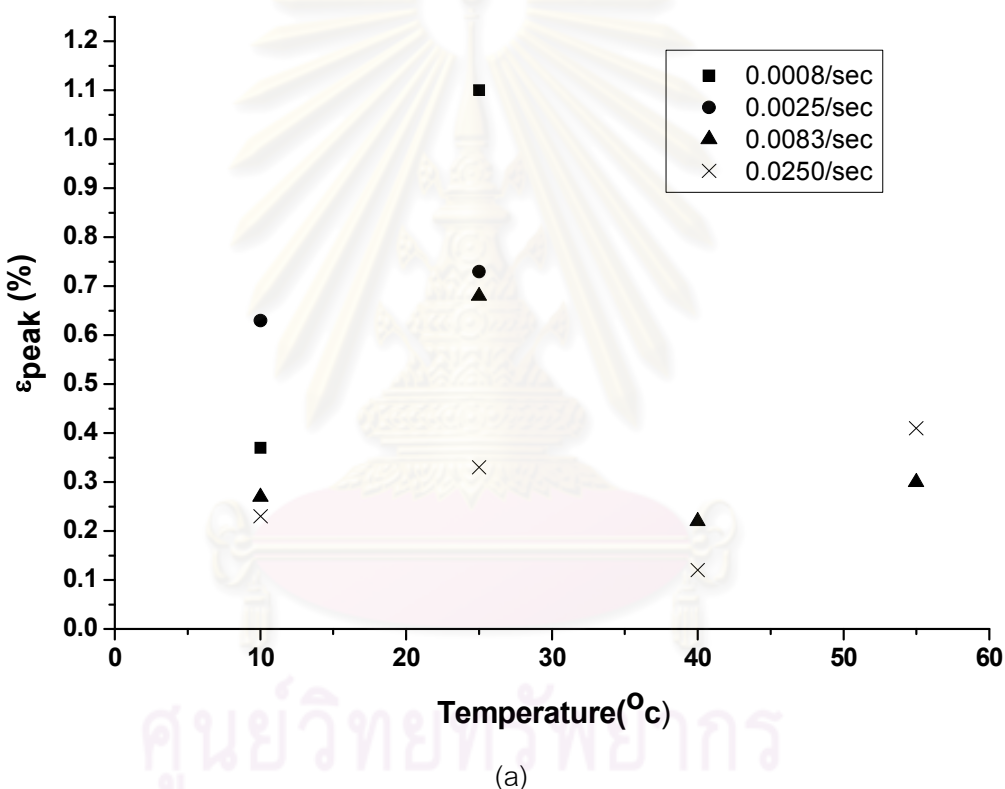
(c)



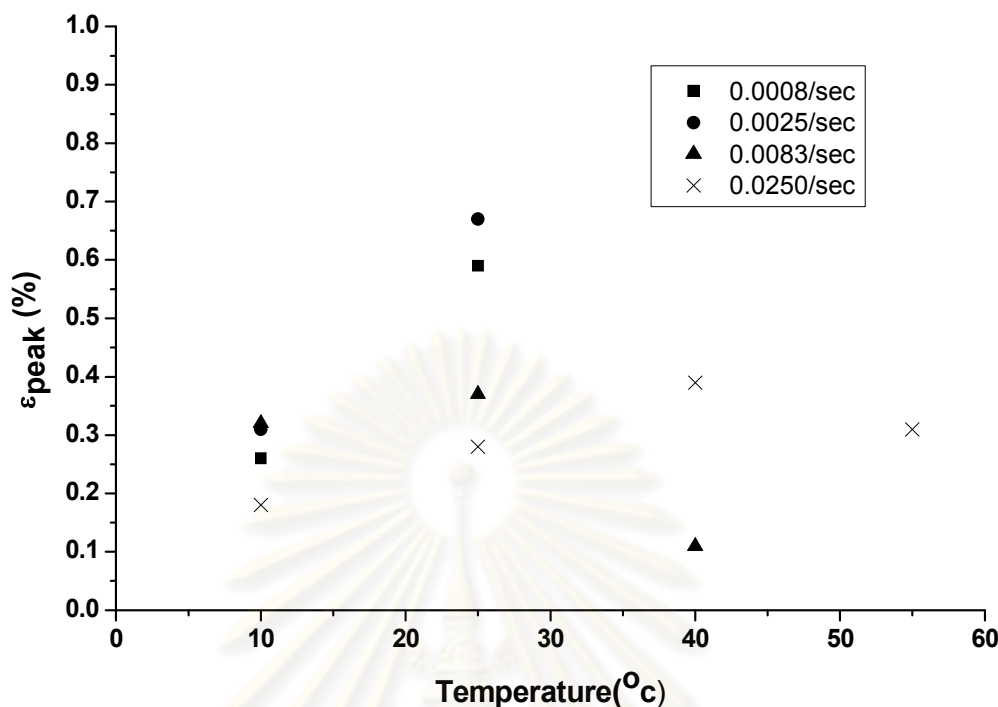
(d)

รูปที่ 5.4 ความสัมพันธ์ระหว่างค่าโมดูลัสของยังที่ 50% ของค่าความเด่นสูงสุดกับอุณหภูมิของวัสดุแอสฟัลติกคอนกรีตจากการทดสอบแรงดึงทางข้อมแบบสติ๊ก ณ อัตราความเครื่องดัดต่างๆ (a) 0.0008 ต่อวินาที (b) 0.0025 ต่อวินาที (c) 0.0083 ต่อวินาที (d) 0.0250 ต่อวินาที

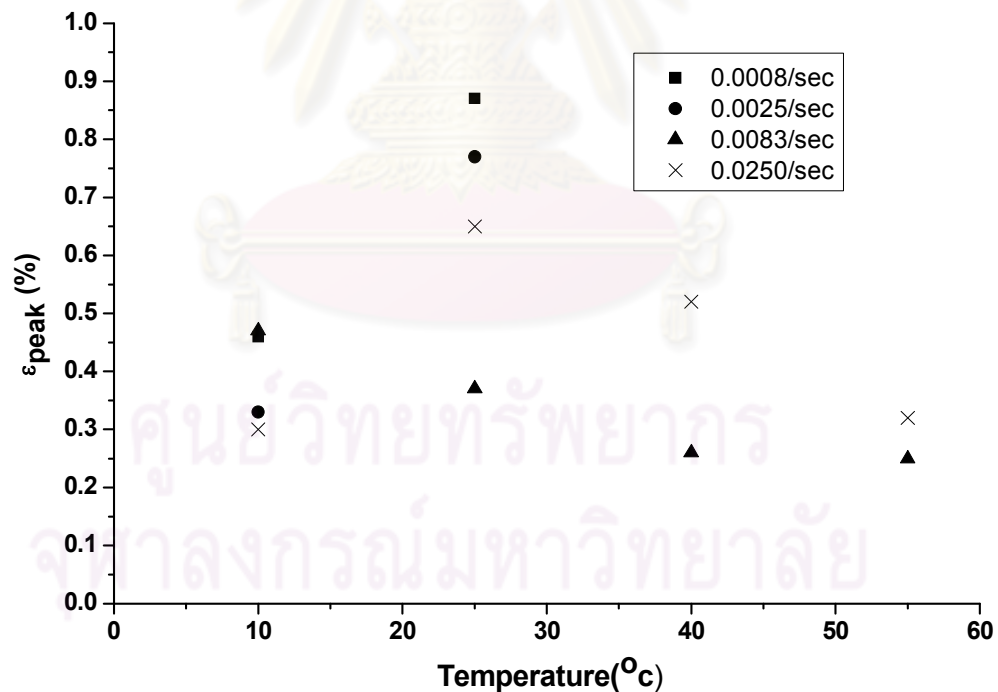
ส่วนค่าความเครียด ณ ตำแหน่งที่มีค่าความเค้นสูงสุดของวัสดุแอสฟัลติกคอนกรีต AC40/50 AC60/70 และ AC80/100 ที่ได้จากการทดสอบแรงดึงทางอ้อมแบบสติตมีค่าระหว่าง 0.0008/sec ถึง 0.0250/sec ไม่สามารถสรุปแนวโน้มของผลการทดสอบที่เกิดขึ้นได้ โดยค่าความเครียด ณ ตำแหน่งที่มีค่าความเค้นสูงสุดที่ได้จากการทดสอบอยู่ในช่วง 0.11% ถึง 1.10% ดังแสดงในรูปที่ 5.5 เมื่อนำไปเปรียบเทียบกับคอนกรีตที่มีค่าความเครียดดึงในช่วงก่อนที่วัสดุจะเกิดความเสียหาย คือ 0.8% ถึง 1.0% พบร่วมค่าความเครียด ณ ตำแหน่งที่มีค่าความเค้นสูงสุดของวัสดุแอสฟัลติกคอนกรีตมีค่าใกล้เคียงกับค่าความเครียดดึงที่พบได้ทั่วไปของคอนกรีต



(a)



(b)



(c)

รูปที่ 5.5 ความสัมพันธ์ระหว่างค่าความเครียด ณ ความเด่นสูงสุดกับอุณหภูมิของวัสดุแอสฟัลติก ค่อนกรีตจากการทดสอบแรงดึงทางข้อมแบบสติตที่ขั้ตราชามความเครียดต่างๆ (a) AC40/50 (b) AC60/70 (c) AC80/100

จากผลสรุปที่กล่าวมาข้างต้นสามารถสรุปรวมได้ว่าอัตราความเครียดและอุณหภูมิมีอิทธิพลอย่างมากต่อพฤติกรรมทางด้านกำลังของวัสดุแอกส์ฟลัติกคอนกรีต สำรวจการเจาะลึกของแอกส์ฟลัตซีเมนต์ที่ใช้เป็นวัสดุเชื่อมประسانในการผลิตวัสดุแอกส์ฟลัติกคอนกรีตมีผลต่อพฤติกรรมทางด้านกำลังของวัสดุแอกส์ฟลัติกคอนกรีตน้อยมากเมื่อเทียบกับอัตราความเครียดและอุณหภูมิ นอกจากนั้นยังพบว่ากำลังของวัสดุจะตกลงอย่างรวดเร็วหลังผ่านจุดที่มีค่าความเค้นสูงสุดเมื่อวัสดุอยู่ภายใต้อุณหภูมิต่ำ (10°C) เนื่องจากที่อุณหภูมิต่ำวัสดุแอกส์ฟลัติกคอนกรีตมีพฤติกรรมเป็นแบบวัสดุเปราะ และที่อุณหภูมิสูง (40°C และ 55°C) เมื่อทดสอบวัสดุแอกส์ฟลัติกคอนกรีตด้วยการทดสอบแรงดึงทางข้อมพนว่าวัสดุแอกส์ฟลัติกคอนกรีตไม่ได้แสดงพฤติกรรมด้านแรงดึงเพียงอย่างเดียว โดยมีพฤติกรรมด้านแรงอัดเกิดขึ้นด้วย ดังนั้นการทดสอบแรงดึงทางข้อมแบบสติ๊ตจึงไม่เหมาะสมกับการทดสอบที่อุณหภูมิสูง (มากกว่า 25°C)

5.1.2 สรุปผลการทดสอบแรงดึงทางอ้อมแบบพลวัต (Dynamic Indirect tensile test, D-IDT)

จากการทดสอบสามารถสรุปได้ว่าการเจาะลึกของแอกส์ฟลัตทำให้ค่าโมดูลัสคืนตัวของวัสดุแอกส์ฟลัติกคอนกรีตมีความแปรปรวน วิเคราะห์ได้จากตัวอย่างวัสดุแอกส์ฟลัติกคอนกรีตที่ผสมด้วยแอกส์ฟลัตเกรดการเจาะลึกแตกต่างกันทั้งสามชนิดแต่มีค่าความหนาแน่นเท่ากันให้ค่าโมดูลัสคืนตัวแตกต่างกันดังแสดงในตารางที่ 5.1 อย่างไรก็ตามค่าโมดูลัสคืนตัวของวัสดุแอกส์ฟลัติกคอนกรีตที่ผสมจากแอกส์ฟลัตทั้งสามชนิดมีค่าแตกต่างกันไม่มากนักในแต่ละอุณหภูมิใช้งาน เมื่อเปรียบเทียบกับอิทธิพลของอุณหภูมิที่ส่งผลต่อค่าโมดูลัสคืนตัว สังเกตได้จากกราฟที่ 5.6 เมื่ออุณหภูมิมีค่าสูงขึ้นค่าโมดูลัสคืนตัวของวัสดุแอกส์ฟลัติกคอนกรีตจะมีค่าลดลงอย่างรวดเร็ว และเมื่อนำความสัมพันธ์ระหว่างความเค้นและความเครียดมาพิจารณาพบว่าที่อุณหภูมิสูงๆ เช่น 40°C และ 55°C วัสดุแอกส์ฟลัติกคอนกรีตมีความสามารถในการคืนตัวได้น้อยมาก เป็น เพราะที่อุณหภูมิสูงๆวัสดุแอกส์ฟลัติกคอนกรีตมีพฤติกรรมเป็นแบบพลาสติก (Plastic behavior) ดังแสดงจากกราฟในรูปที่ 5.7

เมื่อนำผลการทดสอบหาค่าโมดูลัสคืนตัวไปเปรียบเทียบกับผลการทดสอบของนนกร พบว่าค่าโมดูลัสคืนตัวมีค่าใกล้เคียงกัน เป็น เพราะใช้วิธีมาร์เซลในการออกแบบและใช้วัสดุในการเตรียมตัวอย่างเหมือนกัน และเมื่อนำผลการทดสอบหาค่าโมดูลัสคืนตัวไปเปรียบเทียบกับผลการทดสอบของธันวิน และคณะ (2552) พบว่าค่าโมดูลัสคืนตัวมีค่าแตกต่างกันค่อนข้างสูงน่าจะเป็น

เพวะใช้อุณหภูมิทดสอบและวิธีในการเตรียมตัวอย่างแตกต่างกัน โดยธนวิน และคณะ (2552) ใช้วิธี SUPERPAVE ในกราฟแบบและเตรียมตัวอย่าง แต่จากผลการทดสอบทั้งหมดพบว่าค่าโมดูลัสคืนตัวจะมีค่าลดลงอย่างรวดเร็วเมื่ออุณหภูมิเพิ่มสูงขึ้น ดังแสดงในตารางที่ 5.2

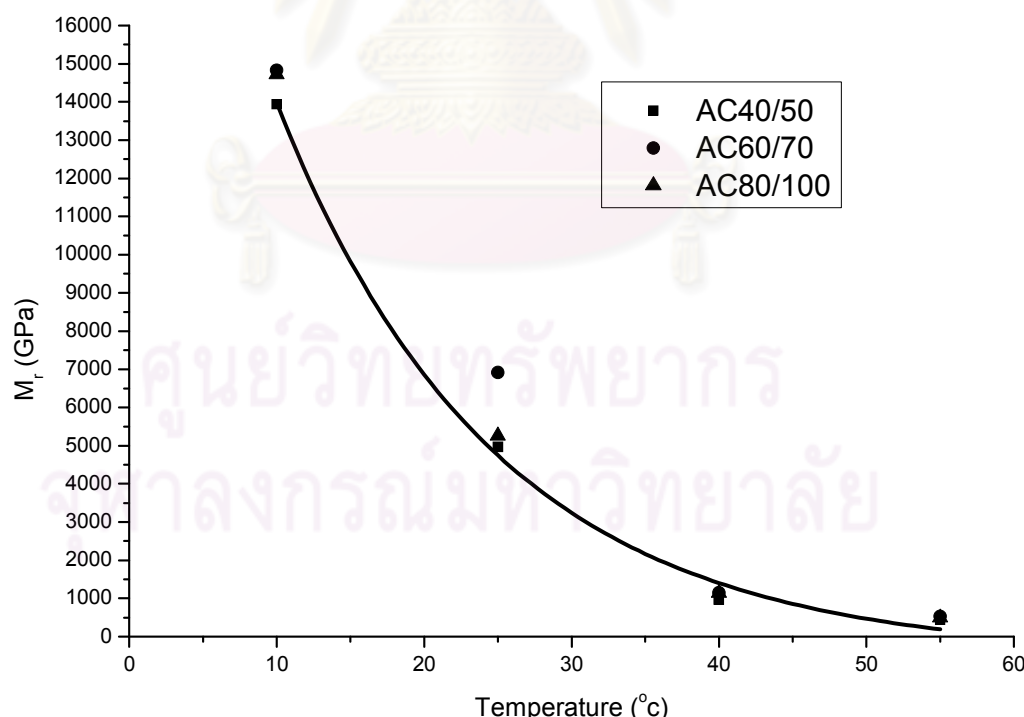
ตารางที่ 5.1 เปรียบเทียบผลการทดสอบหาค่าโมดูลัสคืนตัว

วัสดุเชื่อม ประสาน	ค่าโมดูลัสคืนตัว (MPa)					
	10°C	20°C	25°C	35°C	40°C	55°C
AC 40/50	13,942	8,310**	4,964	1,566**	967	442
AC 60/70	14,832	5,267**	6,911	872**	1,143	532
	14,765*	-	5,479*	-	745*	319*
AC 80/100	14,721	-	5,261	-	1,139	498

หมายเหตุ

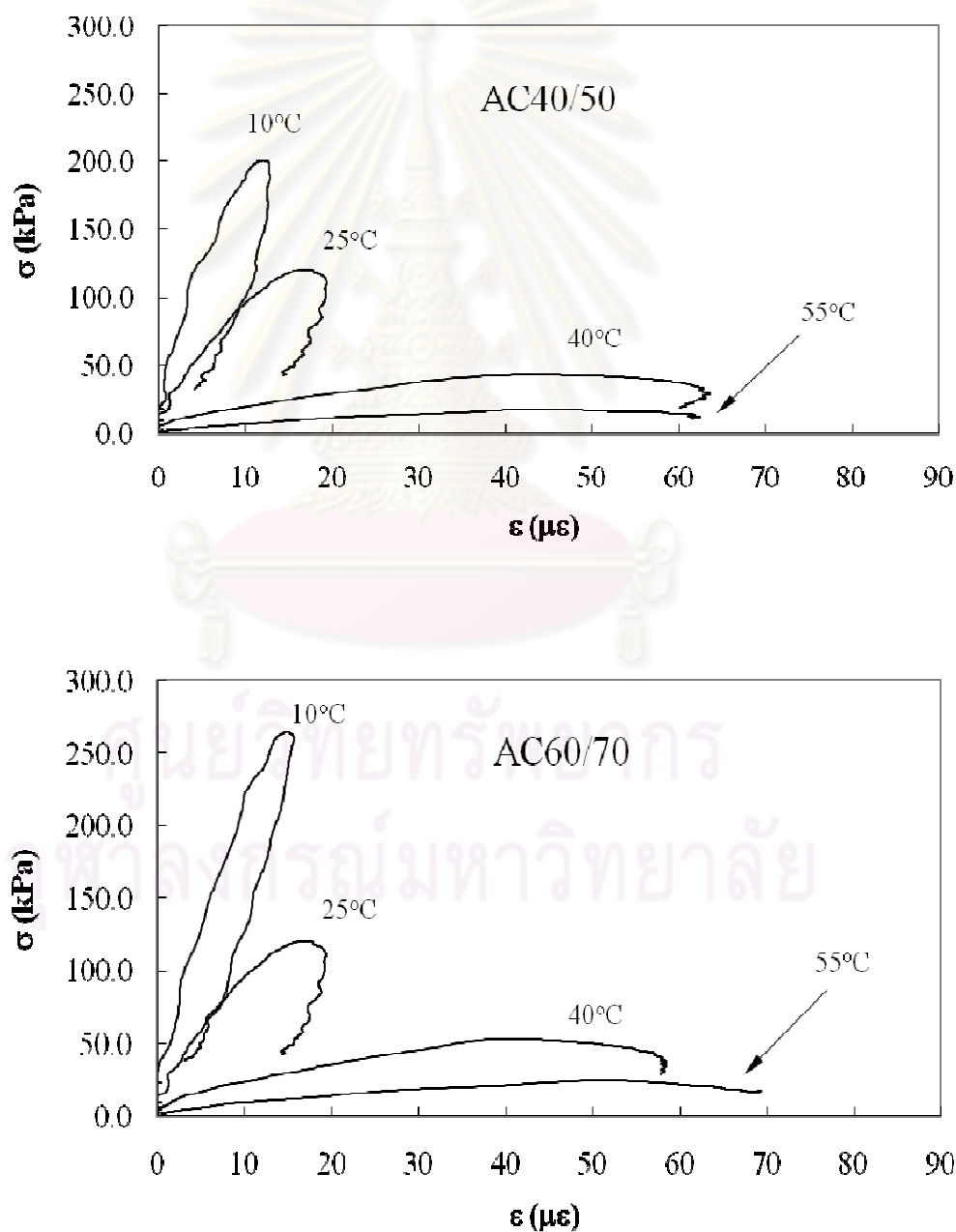
*ผลการทดสอบของธนวิน และคณะ (2552)

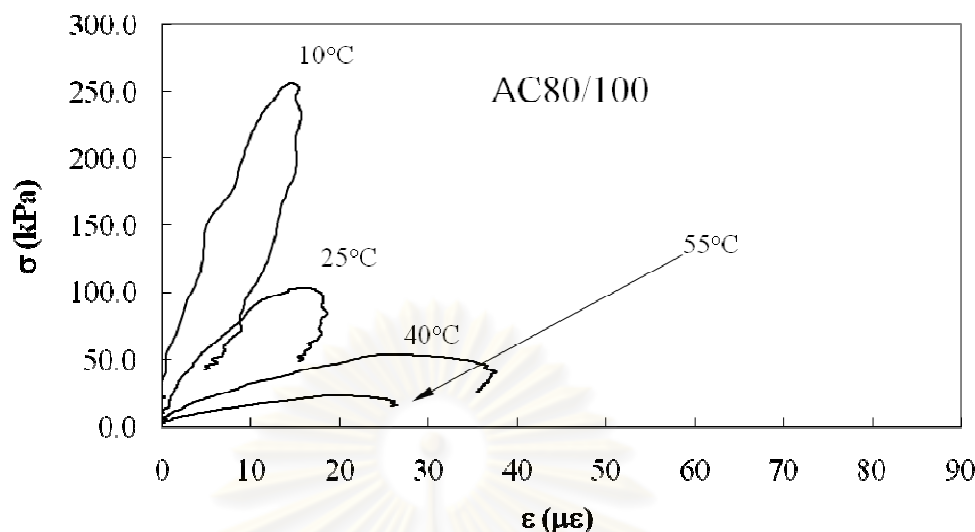
**ผลการทดสอบของธนวิน และคณะ (2552)



รูปที่ 5.6 ความสัมพันธ์ระหว่างค่าโมดูลัสคืนตัวกับอุณหภูมิ

ท้ายที่สุดงานวิจัยนี้จึงนำเสนอเมื่อจะนำค่าโมดูลัสคืนตัวไปใช้ในการออกแบบพิ华ทางหรือใช้ในการวิเคราะห์ทางด้านวิศวกรรมการทาง ควรจะระวังผลกระทบของอุณหภูมิที่ส่งผลต่อค่าโมดูลัสคืนตัวของวัสดุแอสฟัลติกคอนกรีต เพราะที่อุณหภูมิสูง (40°C ขึ้นไป) วัสดุแอสฟัลติกคอนกรีตมีพฤติกรรมแบบพลาสติก ทำให้มีความสามารถในการคืนตัวได้น้อยมากส่งผลให้ค่าโมดูลัสคืนตัวลดต่ำลงอย่างรวดเร็ว จึงอาจทำให้เกิดความคลาดเคลื่อนในการวิเคราะห์และการออกแบบได้

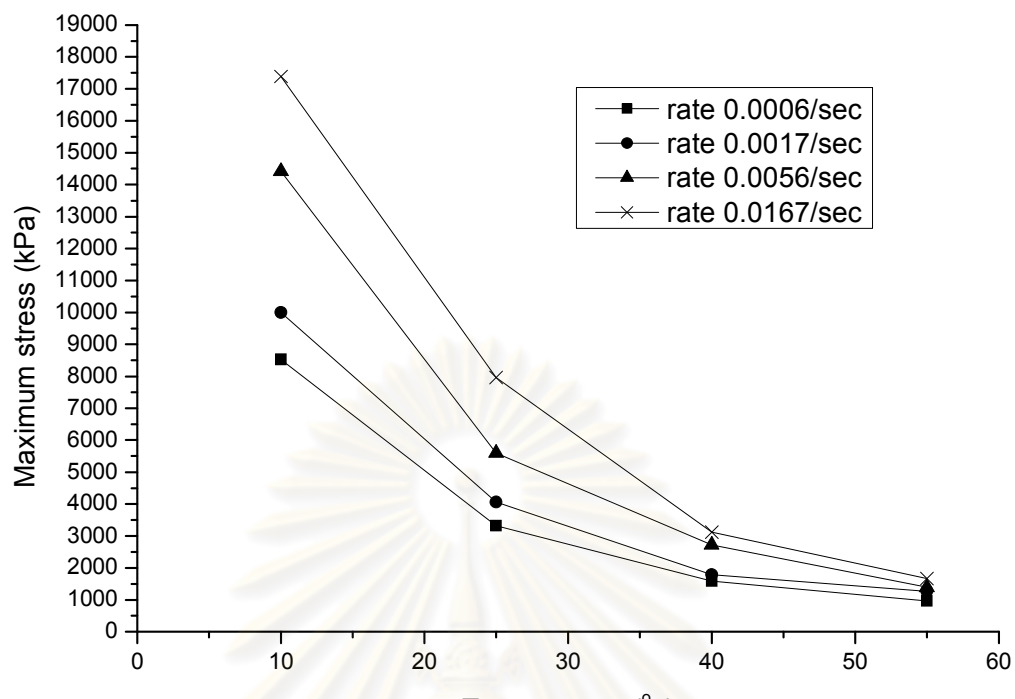




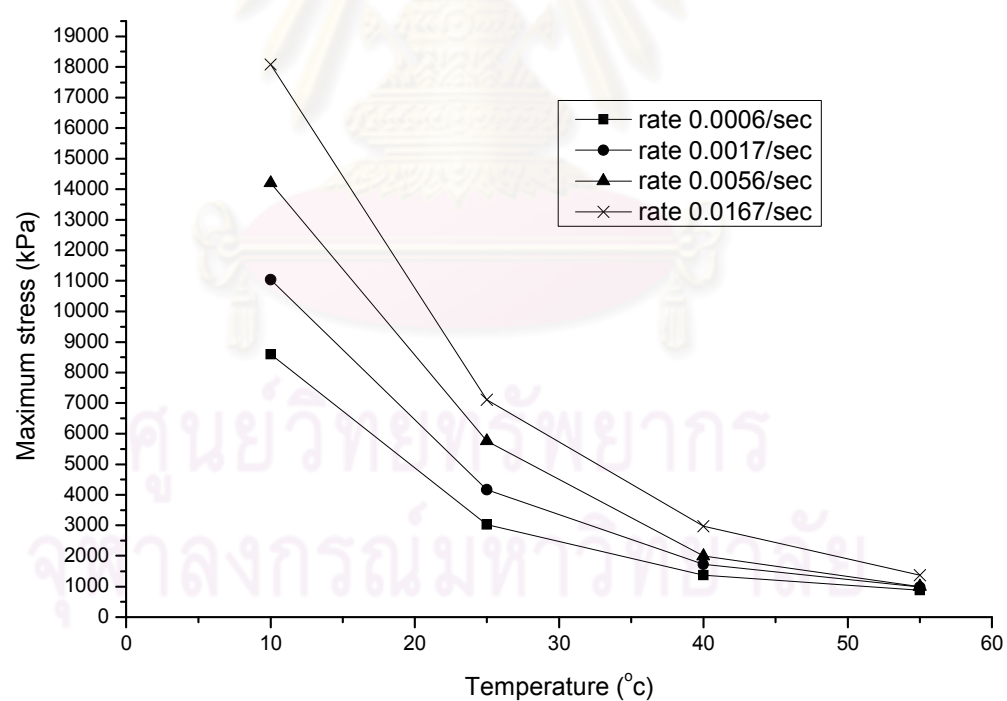
รูปที่ 5.7 ตัวอย่างความสัมพันธ์ของความเค้นและความเครียดของการทดสอบหาค่าโมดูลัสคืนตัว

5.1.3 สรุปผลการทดสอบแรงอัดแบบปราศจากแรงดันด้านข้างแบบสถิต (Static Unconfined compression test, S-UUC)

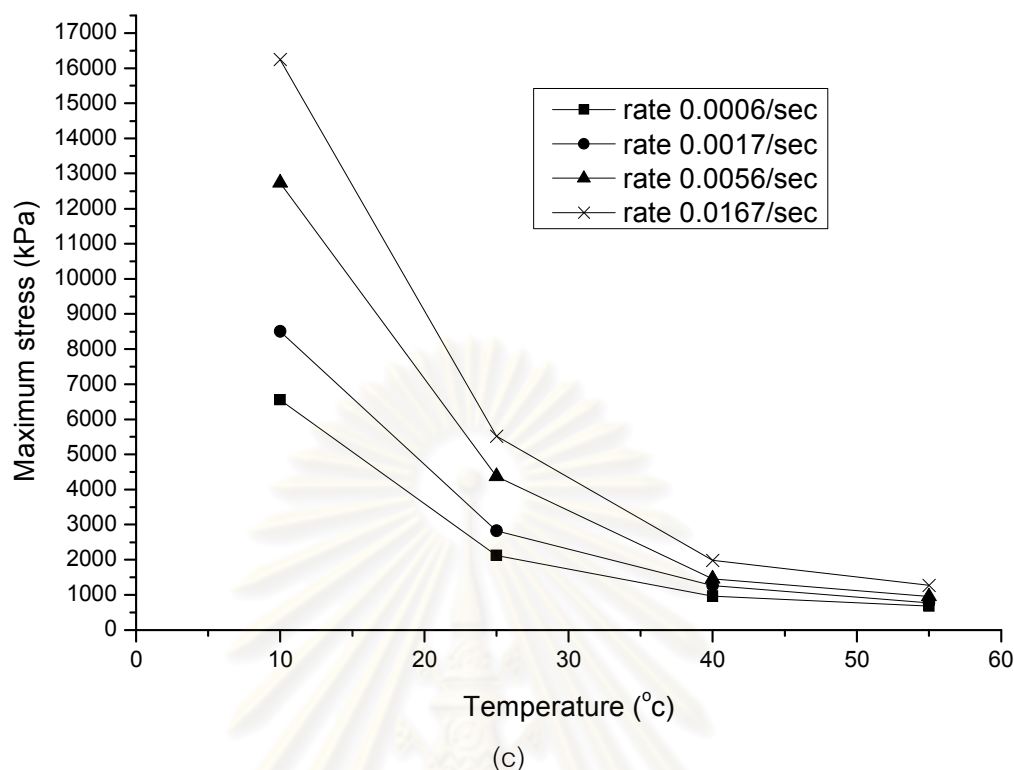
จากการทดสอบแรงอัดแบบปราศจากแรงดันด้านข้างแบบสถิตสามารถสรุปได้ว่า อุณหภูมิและอัตราความเครียดมีอิทธิพลต่อพฤติกรรมทางด้านกำลังของวัสดุแอลฟ์ลิติกคอนกรีต เป็นอย่างมาก วิเคราะห์ได้จากตัวอย่างแอลฟ์ลิติกคอนกรีตที่ผสมด้วยแอลฟ์ลิต์เกรดการเจาะลึก แตกต่างกันทั้งสามชนิดที่มีความหนาแน่นเท่ากัน มีแนวโน้มของค่าความเค้นสูงสุดและค่าโมดูลัส ของยังที่ 50% ของค่าความเค้นสูงสุดไปในทางเดียวกัน คือ เมื่ออุณหภูมิเพิ่มสูงขึ้นค่าความเค้น สูงสุดและค่าโมดูลัสของยังที่ 50% ของค่าความเค้นสูงสุดจะมีค่าลดลง และเมื่ออัตราความเครียด เพิ่มสูงขึ้นค่าความเค้นสูงสุดและค่าโมดูลัสของยังที่ 50% ของค่าความเค้นสูงสุดจะมีค่าเพิ่มขึ้น ตามไปด้วยดังแสดงในรูปที่ 5.8 ถึงรูปที่ 5.9



(a)

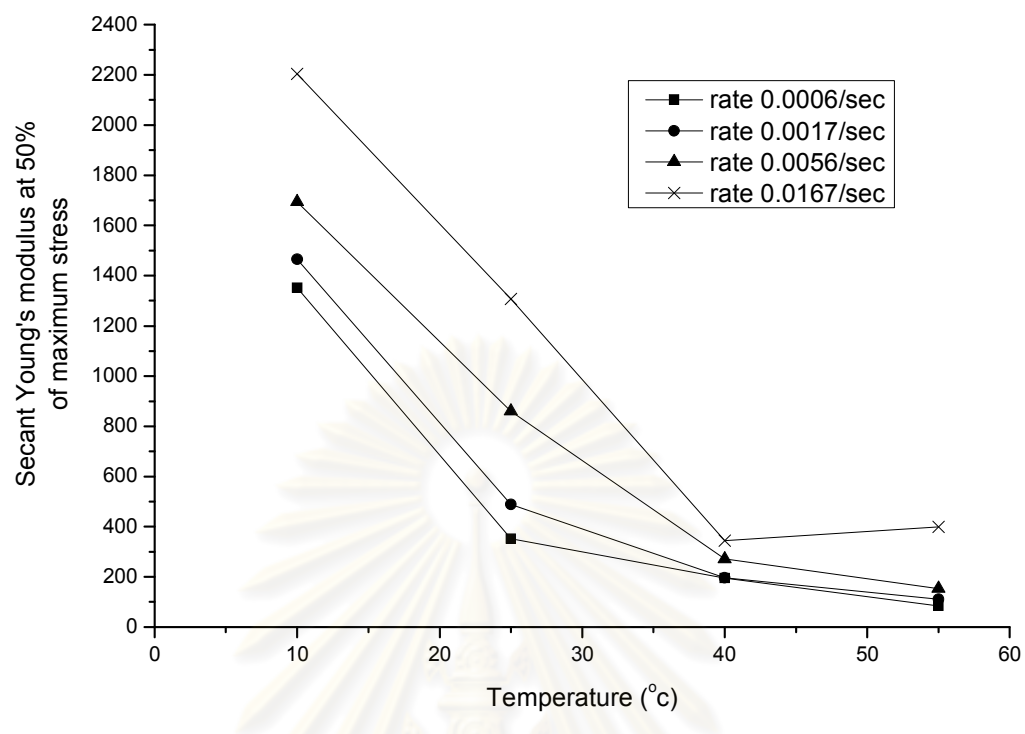


(b)

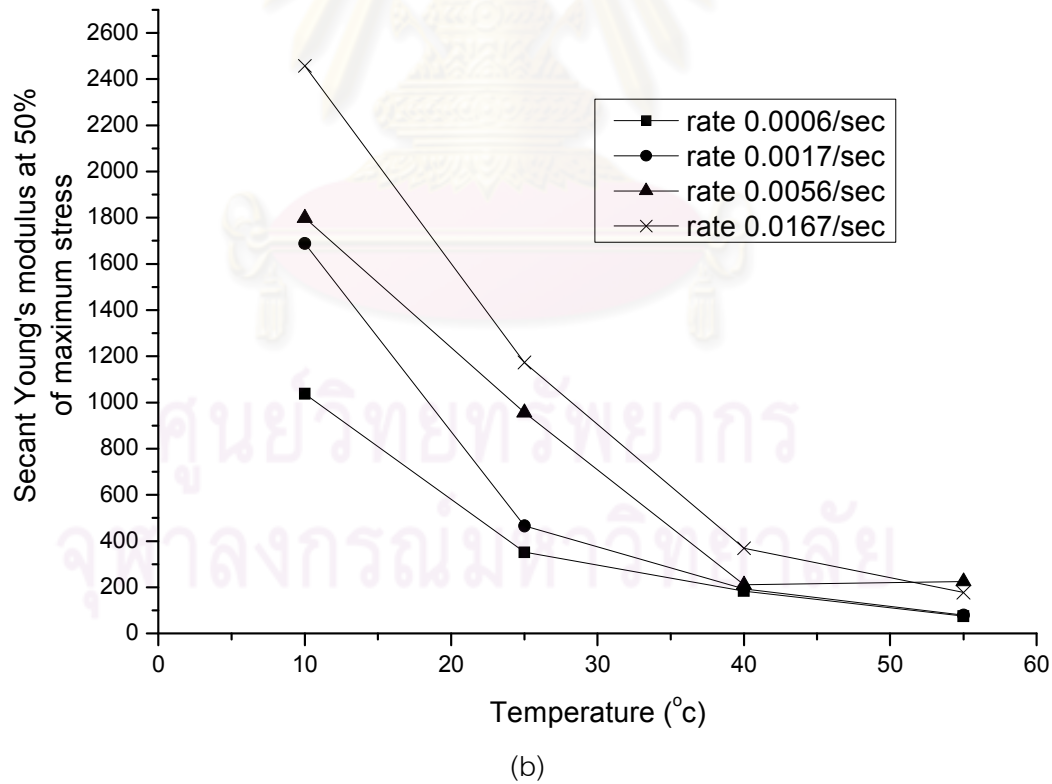


รูปที่ 5.8 ความสัมพันธ์ระหว่างความเค้นสูงสุดกับอุณหภูมิของวัสดุแอสฟัลติกคอนกรีตจาก การทดสอบแรงอัดแบบปราศจากแรงตันด้านข้างแบบสติตที่อัตราความเครียดต่างๆ (a) AC40/50 (b) AC60/70 (c) AC80/100

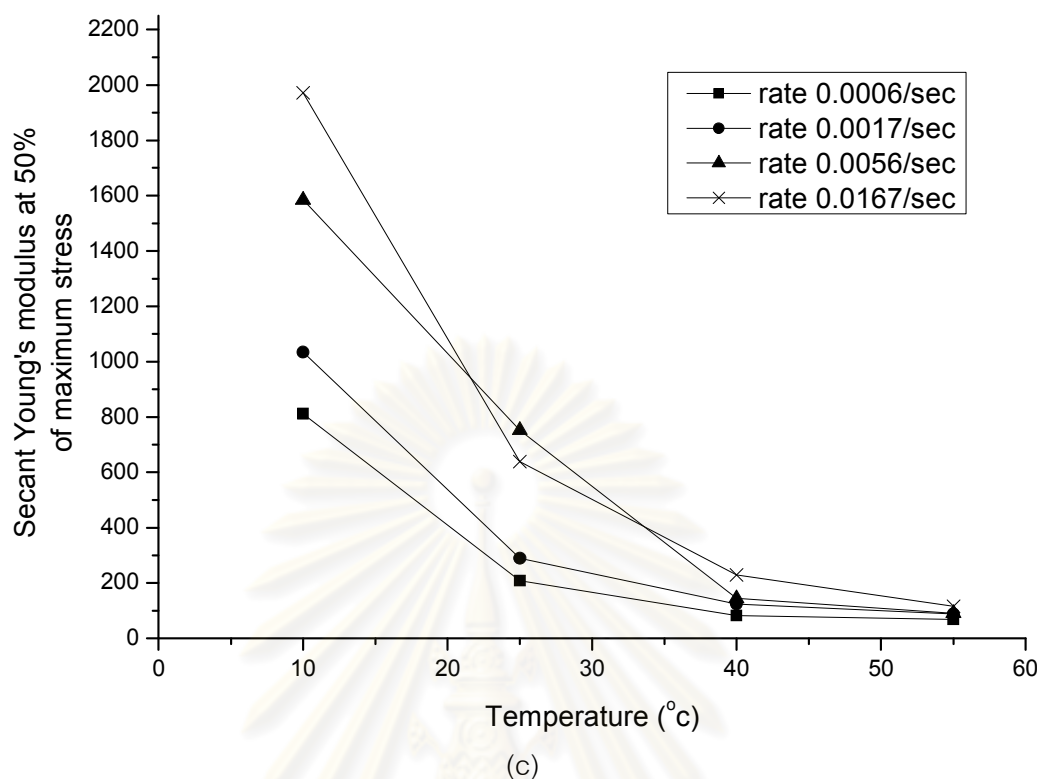
ศูนย์วิทยทรัพยากร
จุฬาลงกรณ์มหาวิทยาลัย



(a)

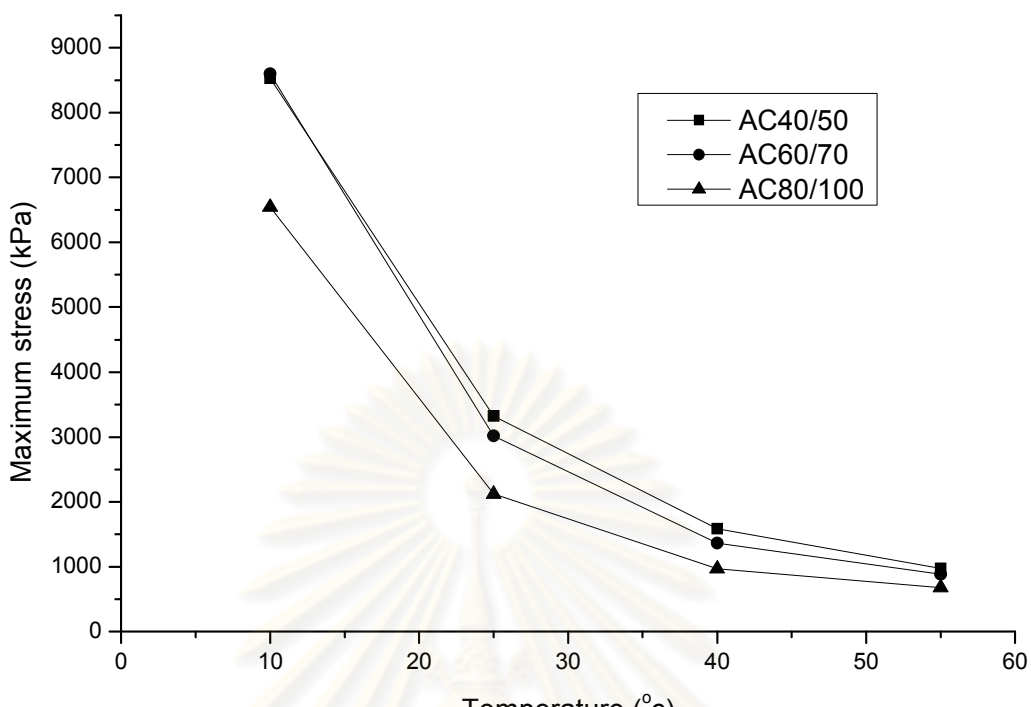


(b)

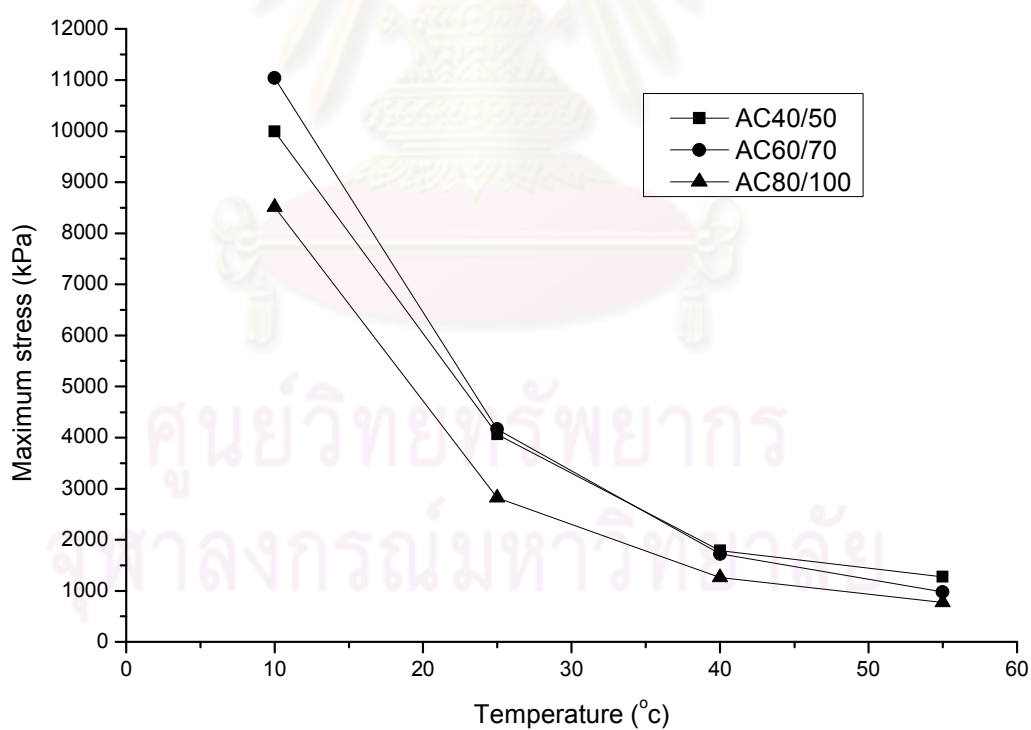


รูปที่ 5.9 ความสัมพันธ์ระหว่างค่าโมดูลัสของยังที่ 50% ของค่าความเค้นสูงสุดกับอุณหภูมิของวัสดุแอสฟัลติกคอนกรีตจากการทดสอบแบบปราศจากแรงดันด้านข้างแบบสถิตที่อัตราความเครียดต่างๆ (a) AC40/50 (b) AC60/70 (c) AC80/100

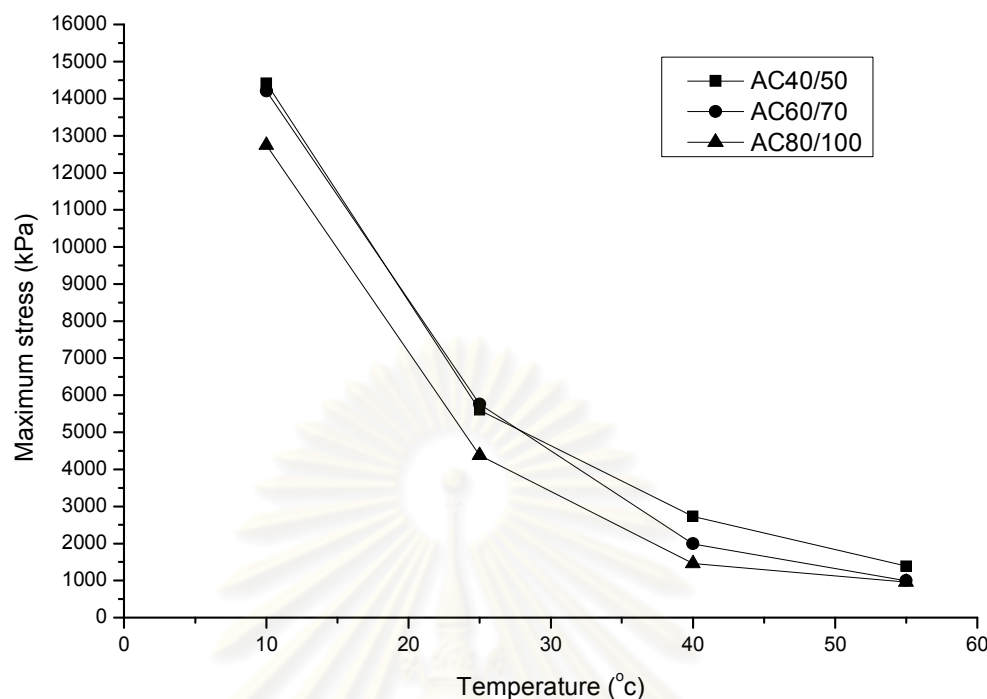
ส่วนเกรดการเจาะลึกของแอสฟัลต์มีอิทธิพลต่อพฤติกรรมทางด้านกำลังของวัสดุแอสฟัลติกคอนกรีตน้อยมากเมื่อเทียบกับอิทธิพลของอุณหภูมิและอัตราความเครียด โดยพบว่าค่าความเค้นสูงสุดและค่าโมดูลัสของยังที่ 50% ของค่าความเค้นสูงสุดที่ได้จากการทดสอบด้วยแอสฟัลติกคอนกรีตที่ผสานจากแอสฟัลต์ทั้งสามชนิดมีค่าใกล้เคียงกันและไม่สามารถหาแนวโน้มความสัมพันธ์ของค่าความเค้นสูงสุดและค่าโมดูลัสของยังที่ 50% ของค่าความเค้นสูงสุดกับเกรดการเจาะลึกของแอสฟัลต์ได้ ดังแสดงในรูปที่ 5.10 ถึงรูปที่ 5.11



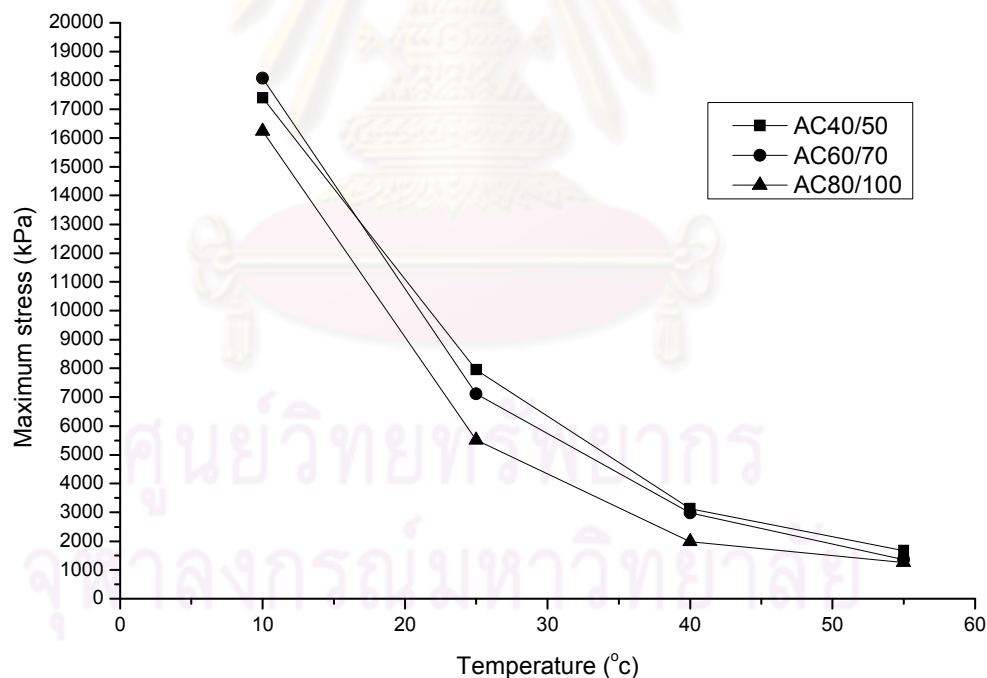
(a)



(b)

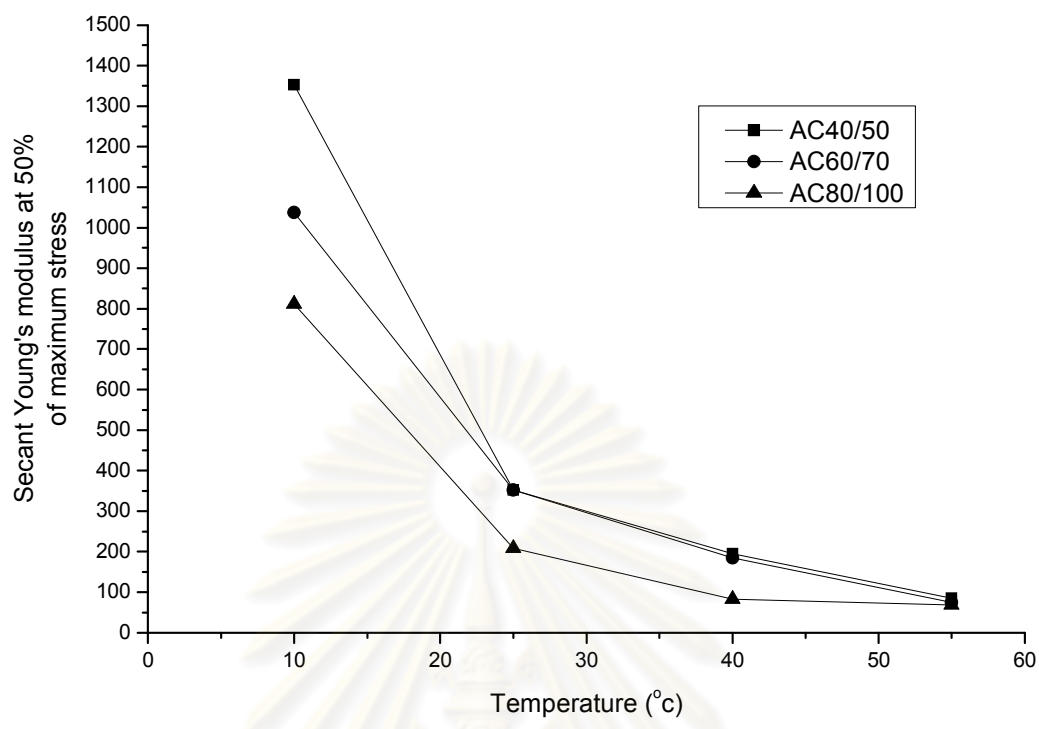


(c)

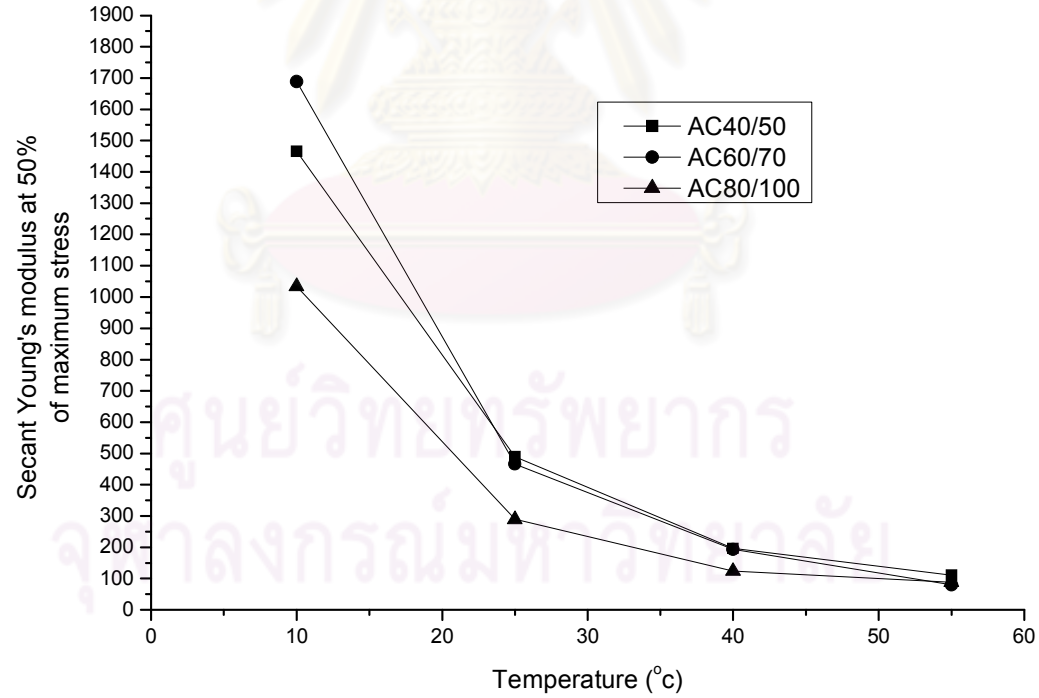


(d)

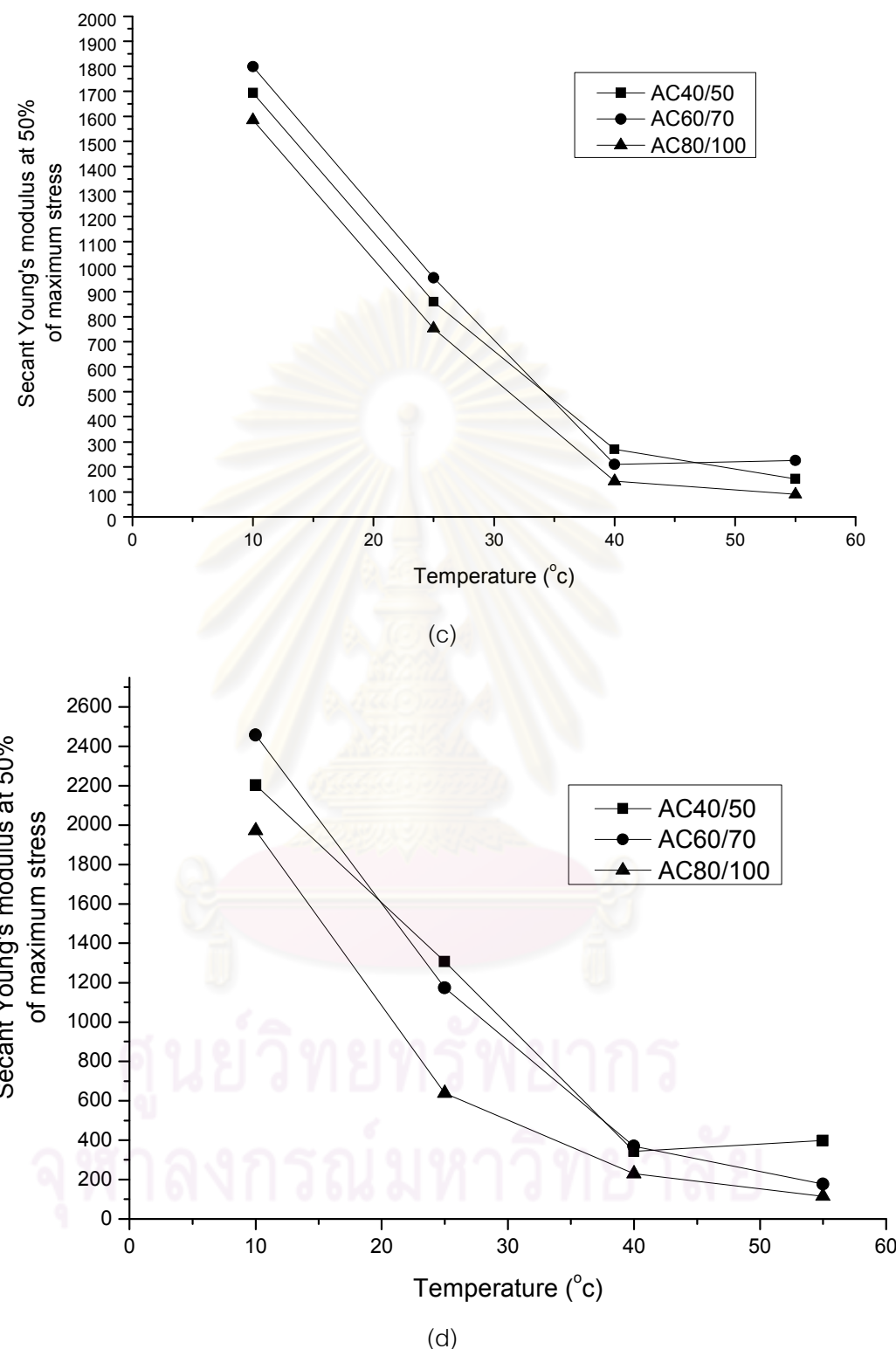
รูปที่ 5.10 ความสัมพันธ์ระหว่างความเด่นสูงสุดกับอุณหภูมิของวัสดุแอสฟัลติกคอนกรีตจาก การทดสอบแรงอัดแบบปราศจากแรงดันด้านข้างแบบสติต ณ อัตราความเครื่องดึงต่างๆ (a) 0.0006/s (b) 0.0017/s (c) 0.0056/s (d) 0.0167/s



(a)

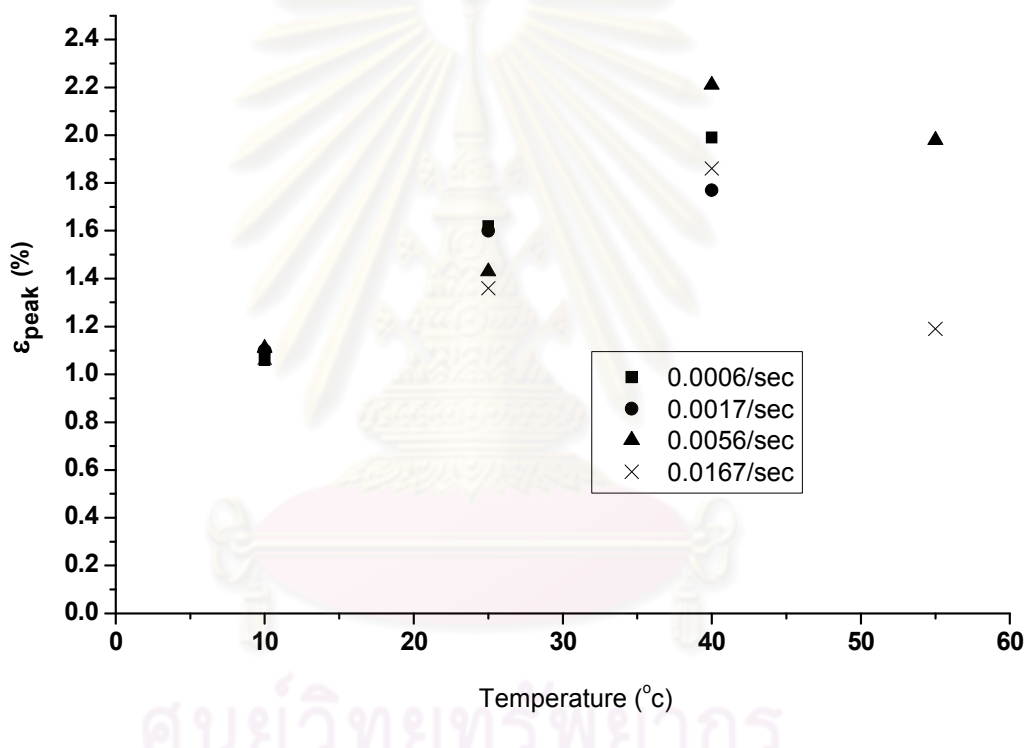


(b)



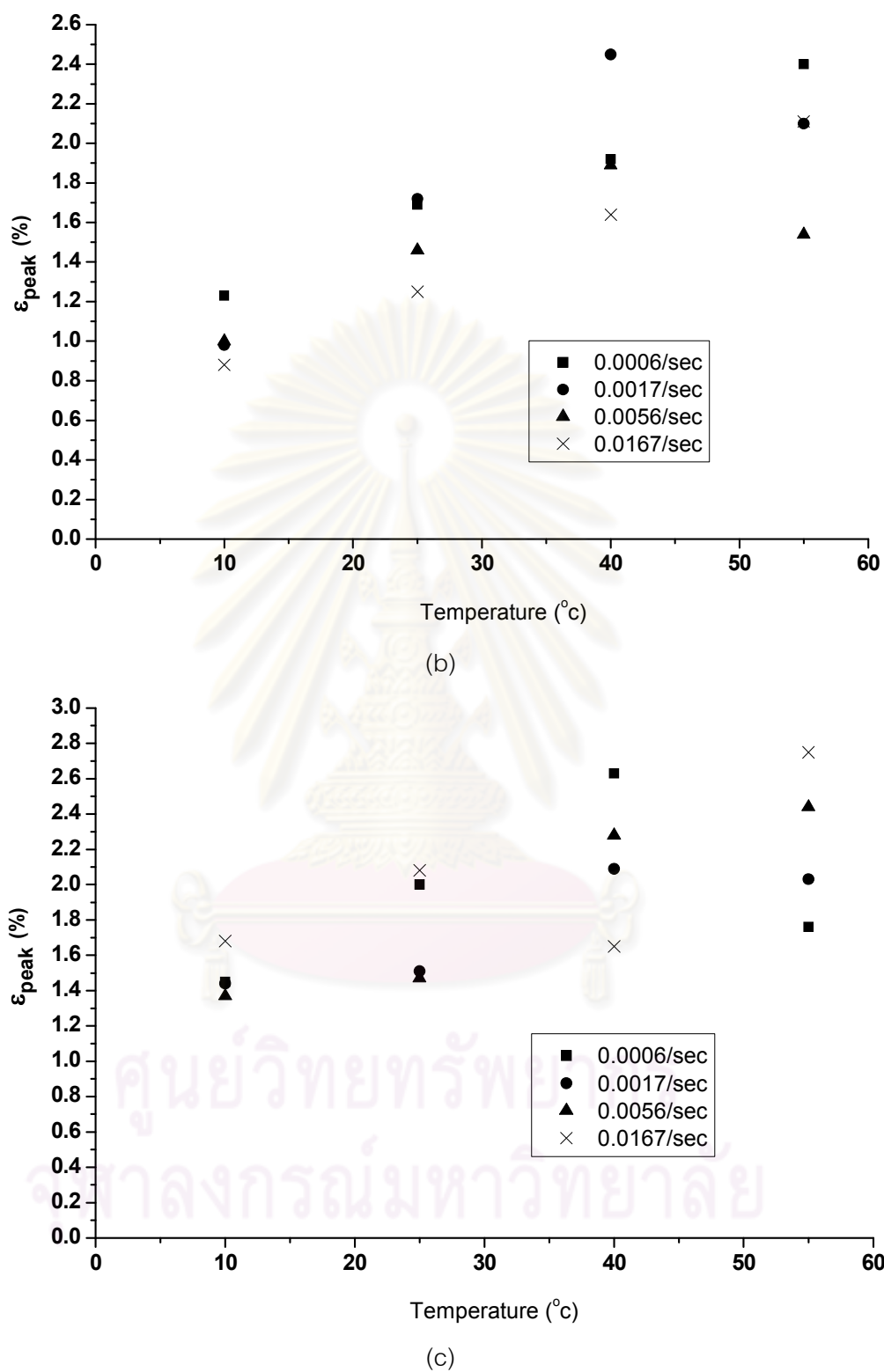
รูปที่ 5.11 ความสัมพันธ์ระหว่างค่าโมดูลัสของยังที่ 50% ของค่าความเค้นสูงสุดกับอุณหภูมิของวัสดุและเพลติกคอนกรีตจากการทดสอบแบบประสาจากแรงดันด้านข้างแบบผลิต ณ อัตราความเครื่องดัดต่างๆ (a) 0.0006/s (b) 0.0017/s (c) 0.0056/s (d) 0.0167/s

ส่วนค่าความเครียด ณ ตำแหน่งที่มีค่าความเดินสูงสุดของวัสดุแอสฟัลติกคอนกรีต AC40/50 AC60/70 และ AC80/100 ที่ได้จากการทดสอบแรงอัดแบบป্রาศจากแรงดันด้านข้างแบบสติตมีค่ากระจัดกระเจาย ไม่สามารถสรุปแนวโน้มของผลการทดสอบที่เกิดขึ้นได้ โดยค่าความเครียด ณ ตำแหน่งที่มีค่าความเดินสูงสุดที่ได้จากการทดสอบอยู่ในช่วง 0.88% ถึง 2.75% ดังแสดงในรูปที่ 5.12 เมื่อนำไปเปรียบเทียบกับคอนกรีตที่มีค่าความเครียดอัด ณ จุดที่เกิดความเสียหายเท่ากับ 3.0% พบร้าค่าความเครียด ณ ตำแหน่งที่มีค่าความเดินสูงสุดของวัสดุแอสฟัลติกคอนกรีตมีค่าน้อยกว่าค่าความเครียดอัด ณ จุดที่เกิดความเสียหายที่พบได้ทั่วไปของคอนกรีต



Temperature (°C)

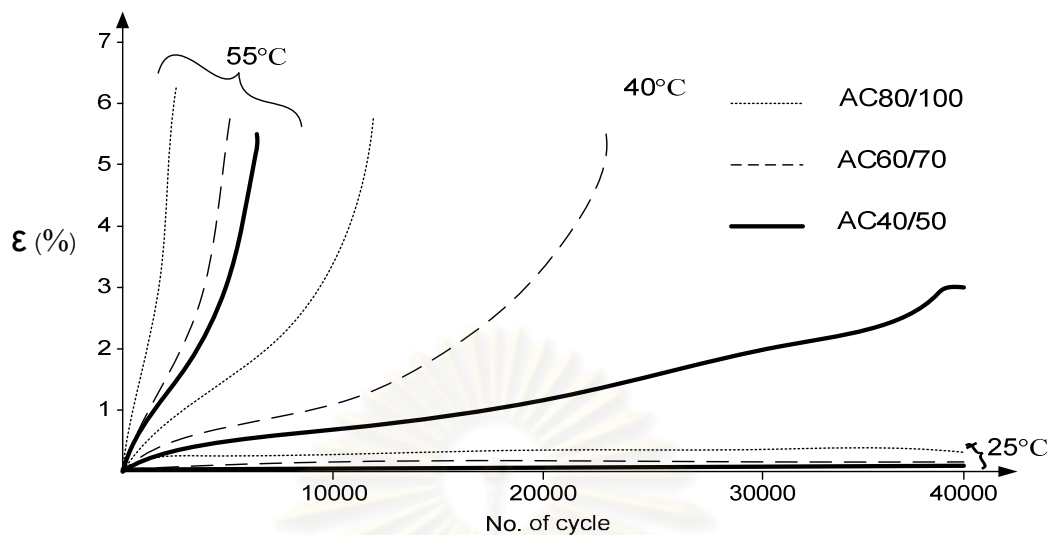
(a)



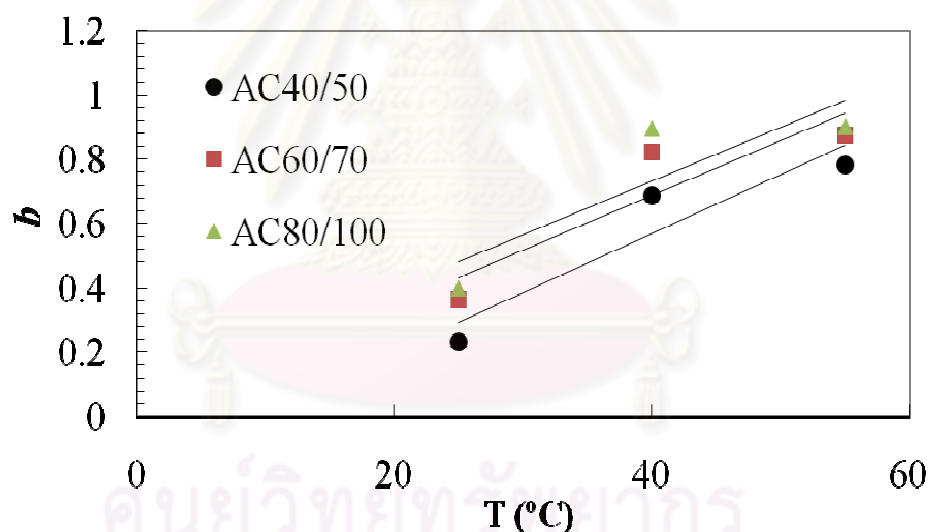
รูปที่ 5.12 ความสัมพันธ์ระหว่างค่าความเครียด ณ ความเค้นสูงสุดกับอุณหภูมิของวัสดุแอสฟัลติก ค่อนกรีตจากการทดสอบแบบปร้ำศจากแรงดันด้านข้างแบบสถิติที่อัตราความเครียดต่างๆ (a) AC40/50 (b) AC60/70 (c) AC80/100

จากผลสรุปที่กล่าวมาข้างต้นสามารถสรุปรวมได้ว่าอัตราความเครียดและอุณหภูมิเมืองพิลoloร่ำมากต่อพฤติกรรมทางด้านกำลังของวัสดุและฟลิติกคอนกรีต ส่วนการเจาะลึกของแอลฟ์ลิตซีเมนต์ที่ใช้เป็นวัสดุเชื่อมประสนานในการผลิตวัสดุและฟลิติกคอนกรีตมีผลต่อพฤติกรรมทางด้านกำลังของวัสดุและฟลิติกคอนกรีตน้อยมากเมื่อเทียบกับอัตราความเครียดและอุณหภูมิ

5.1.4 สรุปผลการทดสอบแรงอัดแบบปราศจากแรงตันด้านข้างแบบพลวัต (Dynamic Unconfined compression test, D-UC)



รูปที่ 5.13 ความสัมพันธ์ระหว่างความเครียดถาวรกับจำนวนรอบของแรงกระทำ



รูปที่ 5.14 ความสัมพันธ์ระหว่างค่าคงที่ b กับ อุณหภูมิ

ท้ายที่สุดนี้งานวิจัยได้นำเสนอค่า a และ b เพื่อใช้ในการหาสมการสำหรับประมาณค่าการยุบตัวแบบถาวรอย่างง่ายของวัสดุแอสฟัลติกคอนกรีตที่ผสมด้วยแอสฟัลต์ AC40/50 AC60/70 และ AC80/100 เพื่อใช้ในการประเมินคุณสมบัติทางด้านกำลังของวัสดุแอสฟัลติกคอนกรีตและใช้ในการออกแบบพิวท์ทางแบบยึดหยุ่นในประเทศไทยได้ ดังแสดงในตารางที่ 5.2

ตารางที่ 5.2 ค่าพารามิเตอร์ในสมการทำนายการยุบตัวแบบถาวรกับอุณหภูมิ

ชนิด แอสฟัลต์	a	b
AC 40/50	0.0032	$b = 0.018T - 0.168; R^2 = 0.875$
AC 60/70	0.0019	$b = 0.017T + 0.004; R^2 = 0.826$
AC 80/100	0.0031	$b = 0.016T + 0.062; R^2 = 0.759$

หมายเหตุ T คือ อุณหภูมิในหน่วยองศาเซลเซียส

5.2 อภิปรายผลการทดลอง

5.2.1 อภิปรายผลการทดสอบ

5.2.1.1 การทดสอบแรงดึงทางอ้อมแบบสถิต (Static Indirect tensile test, S-IDT)

การทดสอบแรงดึงทางอ้อมแบบสถิตเป็นการทดสอบตามมาตรฐาน ASTM D 4867 เพื่อใช้ในการหาค่าลังรับแรงดึงทางอ้อมของวัสดุแอสฟัลติกคอนกรีตและที่สำคัญเพื่อนำผลการทดสอบที่ได้ไปหาแอมป์ลิจูด (Amplitude) ของการให้แรงกระทำที่มีลักษณะเป็นครึ่งวงของพังก์ชันไซน์ สำหรับใช้ในการทดสอบหาค่าโมดูลัสคีนตัวของการทดสอบแรงดึงทางอ้อมแบบพลวัต ซึ่งการทดสอบแรงดึงทางอ้อมแบบสถิตนี้มีข้อเสียคือหน่วยแรงดึงที่กระทำกับวัสดุแอสฟัลติกคอนกรีตมีความไม่สม่ำเสมอตั้งกล่าวในบทที่ 2 ทำให้ผลการทดสอบที่ได้มีผลจากความเคร้นอัดเข้ามาร่วมอยู่ด้วย โดยแนวคิดของการทดสอบแรงดึงทางอ้อมแบบสถิต คือ สมมติว่าวัสดุอยู่ในช่วงอิลาสติก แต่ในความเป็นจริงเมื่อวัสดุเกิดความเสียหายนั้นพฤติกรรมของวัสดุได้เลยสภาพที่เป็นอิลาสติกไปแล้ว ดังนั้นค่าลังรับแรงดึงทางอ้อมที่ได้จะไม่เหมาะสมที่จะนำมาใช้ในการตัดสินใจเลือกวัสดุแอสฟัลติกคอนกรีตในการออกแบบผิวทางแบบยึดหยุ่น

5.2.1.2 การทดสอบแรงดึงทางอ้อมแบบพลวัต (Dynamic Indirect tensile test, D-IDT)

การทดสอบแรงดึงทางอ้อมแบบพลวัตเป็นการทดสอบตามมาตรฐาน ASTM D 4123 เพื่อใช้ในการหาค่าโมดูลัสคืนตัวของวัสดุแอสฟัลติกคอนกรีต ค่าโมดูลัสคืนตัวเป็นพารามิเตอร์ที่สำคัญสำหรับใช้ในการออกแบบผิวทางแบบยึดหยุ่น นอกจากนั้นค่าโมดูลัสคืนตัวยังบ่งบอกถึงกำลังรับแรงดึงของวัสดุแอสฟัลติกคอนกรีตได้ด้วย โดยวัสดุแอสฟัลติกคอนกรีตที่มีค่าโมดูลัสคืนตัวมากกว่าจะมีความสามารถในการต้านทานต่อความเสียหายเนื่องจากหน่วยแรงดึงได้มากกว่า

5.2.1.3 การทดสอบแรงอัดแบบปราศจากแรงดันด้านข้างแบบสติ๊ก (Static Unconfined compression test, S-UC)

การทดสอบแรงอัดแบบปราศจากแรงดันด้านข้างแบบสติ๊กนี้ไม่มีมาตรฐานในการทดสอบ ดังนั้นจึงใช้โปรแกรมในการทดสอบเดียวกับการทดสอบเดียวกับการทดสอบแรงดึงทางอ้อมแบบสติ๊ก เพื่อเปรียบเทียบพฤติกรรมการรับแรงแบบสติ๊กของวัสดุแอสฟัลติกคอนกรีตในรูปแบบแรงดึงและแรงขัด ซึ่งข้อเสียของการทดสอบนี้ คือ ไม่มีมาตรฐานในการทดสอบและพฤติกรรมการให้แรงก็ไม่ตรงกับสภาพการใช้งานจริงในการรับแรงจากจราจร แต่ข้อดีของ การทดสอบนี้ คือ หน่วยแรงขัดที่เกิดขึ้นในวัสดุมีความสม่ำเสมอต่ออัตราที่หักอ่อนตัวอย่าง ทำให้กำลังรับแรงขัดที่ได้จากการทดสอบ เป็นกำลังที่แท้จริงของวัสดุ ดังนั้นจึงสามารถนำผลการทดลองไปใช้ในการกำหนดทำแบบจำลอง เพื่อศึกษาพฤติกรรมทางกลศาสตร์ของวัสดุแอสฟัลติกคอนกรีตได้ในอนาคต

5.2.1.4 การทดสอบแรงอัดแบบปราศจากแรงดันด้านข้างแบบพลวัต (Dynamic Unconfined compression test, D-UC)

การทดสอบแรงอัดแบบปราศจากแรงดันด้านข้างแบบพลวัตเป็นการทดสอบตาม มาตรฐาน NCHRP ฉบับที่ 465 เพื่อหาค่าการยุบตัวแบบถาวรของวัสดุแอสฟัลติกคอนกรีต ซึ่งเป็นพารามิเตอร์ที่สำคัญสำหรับใช้ในการออกแบบผิวทางแบบยึดหยุ่น โดยวัสดุที่มีค่า FN และ b ต่ำกว่าจะมีความสามารถในการต้านทานการยุบตัวแบบถาวรได้มากกว่า ซึ่งการทดสอบนี้ เปรียบเสมือนกับสภาพการจราจรที่เกิดขึ้นและหน่วยแรงขัดที่เกิดขึ้นในวัสดุมีความสม่ำเสมอ

ดังนั้นค่าพารามิเตอร์ที่ได้จึงมีความน่าเชื่อถือสำหรับใช้ในการทำนายพฤติกรรมของวัสดุเมื่อนำไปใช้ในการก่อสร้างผิวทางแบบยึดหยุ่น โดยผลการทดสอบได้มีการนำเสนอสมการสำหรับใช้ในการทำนายการยุบตัวแบบถาวรของวัสดุแอกส์ฟลิติกคอนกรีตที่ผสมด้วย AC40/50 AC60/70 และ AC80/100 ที่อุณหภูมิต่างๆ ไว้อีกด้วย

5.2.2 ผลกระทบของอัตราความเครียดและอุณหภูมิ

ในการทดสอบต่างๆ มีการควบคุมอุณหภูมิไว้ที่ 10°C 25°C 40°C และ 55°C ซึ่งเป็นช่วงของอุณหภูมิผิวทางที่เกิดขึ้นจริงในประเทศไทยและอยู่ในช่วงของอุณหภูมิที่เครื่องทดสอบสามารถควบคุมได้ สาเหตุที่มีการทดสอบที่อุณหภูมิต่างๆ นокนจากที่มาตรฐานได้กำหนดไว้ เพราะต้องการศึกษาผลกระทบของอุณหภูมิที่มีต่อพฤติกรรมทางด้านกำลังของวัสดุแอกส์ฟลิติกคอนกรีต ส่วนอัตราความเครียดที่ใช้ในการทดสอบแบบสติ๊ต คือ 5 15 50 และ 150 มิลลิเมตรต่อนาที ซึ่งมาตรฐานได้มีการกำหนดการทดสอบไว้ที่ 50 มิลลิเมตรต่อนาที แต่ที่มีการทดสอบที่อัตราความเครียดอื่นๆ เนื่องจากต้องการศึกษาผลกระทบของอัตราความเครียดที่มีต่อพฤติกรรมทางด้านกำลังของวัสดุแอกส์ฟลิติกคอนกรีต

จากการทดลองพบว่า เมื่ออุณหภูมิเพิ่มสูงขึ้น กำลังรับแรงดึงและกำลังรับแรงอัดของวัสดุแอกส์ฟลิติกคอนกรีตจะมีค่าลดลง ทำให้วัสดุแอกส์ฟลิติกคอนกรีตมีแนวโน้มที่จะเกิดความเสียหายได้เร็วมากขึ้น และจากการทดสอบแรงดึงทางอ้อมพบว่าการทดสอบแรงดึงทางอ้อม เหมาะสำหรับการทดสอบที่อุณหภูมิต่ำๆ เท่านั้น เนื่องจากเมื่อทำการทดสอบที่อุณหภูมิสูงผลการทดสอบที่ได้ไม่ใช่ผลจากความเค้นดึงเพียงอย่างเดียวแต่มีผลจากความเค้นอัดเข้ามาผสานอยู่ด้วย เพราะการทดสอบแรงดึงทางอ้อมความเค้นดึงที่กระจายในวัสดุมีความไม่สม่ำเสมอตั้งที่กล่าวไว้ในบทที่ 2

ส่วนอัตราความเครียดที่มากจะทำกับวัสดุแอกส์ฟลิติกคอนกรีตสามารถอภิปรายผลได้จาก การทดสอบแบบสติ๊ต พบร่วมกับอัตราความเครียดที่มากจะทำมีค่ามากขึ้นวัสดุจะมีกำลังรับแรงดึง และกำลังรับแรงอัดเพิ่มสูงขึ้น สาเหตุเพราะวัสดุแอกส์ฟลิติกคอนกรีตเป็นวัสดุหนืดยึดหยุ่น (Visco-Elastic material) ดังนั้นพฤติกรรมทางด้านกำลังของวัสดุแอกส์ฟลิติกคอนกรีตจึงขึ้นอยู่กับเวลาของหน่วยแรงที่มากจะทำ

5.2.3 ผลกระทบของชนิดแอกส์พัลต์

งานวิจัยนี้ใช้แอกส์พัลต์ชนิดเกรดการเจาะลึกเป็นวัสดุเชื่อมประสาน ซึ่งได้รับความอนุเคราะห์จากบริษัททิปโก้แอกส์พัลต์ โดย AC60/70 และ AC80/100 เป็นแอกส์พัลต์ที่ทางบริษัทได้ผลิตเพื่อจัดจำหน่ายในประเทศไทยและต่างประเทศอยู่แล้ว ส่วน AC40/50 ปกติไม่ได้ทำการผลิตดังนั้นทางบริษัททิปโก้แอกส์พัลต์จึงได้นำ AC60/70 ไปผ่านกระบวนการเปล่าในอากาศเพื่อเร่งอายุ (Aging) ของแอกส์พัลต์ให้มีความแข็งมากขึ้นจนได้ค่าเพเนเตรชันอยู่ในช่วงของเกณฑ์ AC40/50

จากการทดสอบแรงดึงทางอ้อมและการทดสอบแรงอัดแบบปราศจากแรงดันด้านข้างแบบสติ๊พบว่าผลกระทบทดสอบแรงดึงทางอ้อมแบบสติ๊พไม่สามารถหาแนวโน้มความสัมพันธ์ระหว่างกำลังรับแรงดึงกับชนิดของแอกส์พัลต์ได้ เป็นเพราะการทดสอบแรงดึงทางอ้อมแบบสติ๊พนั้นหน่วยแรงดึงที่เกิดขึ้นในวัสดุแอกส์พัลติกอนกรีตมีความไม่สม่ำเสมอและมักมีผลจากหน่วยแรงอื่นเข้ามาร่วมอยู่ด้วย เช่น หน่วยแรงอัด ดังนั้นจึงไม่สามารถสรุปผลกระทบของชนิดแอกส์พัลต์ที่มีต่อกำลังของวัสดุจากการทดสอบนี้ได้ ส่วนผลการทดสอบแรงอัดแบบปราศจากแรงดันด้านข้างแบบสติ๊พซึ่งหน่วยแรงอัดตามแนวแกนที่เกิดขึ้นในวัสดุแอกส์พัลติกอนกรีตมีความสม่ำเสมอทั้งก้อนตัวอย่าง อภิปรายผลได้ว่าชนิดของแอกส์พัลต์มีผลต่อกำลังของวัสดุแอกส์พัลติกอนกรีต โดยวัสดุแอกส์พัลติกอนกรีตที่ผสมด้วยแอกส์พัลต์ที่มีค่าเพเนเตรชันต่ำกว่ามีกำลังมากกว่าวัสดุแอกส์พัลติกอนกรีตที่ผสมด้วยแอกส์พัลต์ที่มีค่าเพเนเตรชันสูงกว่า ดังแสดงในตารางที่ 5.3

จากการทดสอบหาค่าโมดูลัสคืนตัวและผลกระทบของการรุบตัวแบบถาวรของวัสดุแอกส์พัลติกอนกรีตซึ่งเป็นการทดสอบที่สอดคล้องกับสภาพการใช้งานจริงของผู้ทางแบบยึดหยุ่น ดังแสดงในตารางที่ 5.4 พบร่วมค่าโมดูลัสคืนตัวของแอกส์พัลติกอนกรีตที่ผสมด้วย AC60/70 มีค่าสูงที่สุดรองลงมาคือ AC80/100 และ AC40/50 ตามลำดับ ส่วนค่า FN และ b ที่ได้จากการทดสอบหาการรุบตัวแบบถาวร แอกส์พัลติกอนกรีตที่ผสมด้วย AC80/100 มีค่าสูงที่สุด รองลงมาคือ AC60/70 และ AC40/50 ตามลำดับ จากค่าโมดูลัสคืนตัวที่พบว่า AC40/50 มีค่าต่ำที่สุดจึงดูเหมือนจะมีกำลังรับแรงดึงต่ำที่สุดเป็นเพราะ AC40/50 ที่ใช้ในการทดสอบได้ใช้ AC60/70 ผ่านกระบวนการเร่งอายุเพื่อให้ได้ค่าความแข็งตามต้องการ ทำให้ค่าโมดูลัสยึดหยุ่นลดลงส่งผลให้ค่าโมดูลัสการคืนตัวซึ่งเป็นโมดูลัสสี่เหลี่ยมผืนผ้าลดตามไปด้วย แต่ในการทดสอบการรุบตัวแบบถาวรนั้นความเสียหายแบบการรุบตัวแบบถาวรจะแบรอกันกับความแข็งของวัสดุ เพราะฉะนั้นการที่ AC40/50 มีความแข็งมากที่สุดจึงสามารถต้านการรุบตัวแบบถาวรได้มากที่สุด ดังนั้นถ้าใช้ AC40/50 ที่ได้จากการผลิตตามเกณฑ์มาตรฐานไม่ได้ผ่านกระบวนการเร่งอายุ ค่า

โมดูลัสคืนตัวของ AC40/50 ควรจะมีค่าสูงที่สุดและสามารถต้านการบุบตัวแบบถาวรได้มากที่สุด เมื่อเทียบกับ AC60/70 และ AC80/100

จากที่กล่าวมาสามารถสรุปได้ว่านิodicของแอสฟัลต์ส่งผลต่อพฤติกรรมทางด้านกำลังของวัสดุแอสฟัลติกคอนกรีต โดยวัสดุแอสฟัลติกคอนกรีตที่ผสมด้วยแอสฟัลต์ที่มีค่าเพเนเตเรชันต่ำกว่าจะมีกำลังสูงกว่าแอสฟัลติกคอนกรีตที่ผสมด้วยแอสฟัลต์ที่มีค่าเพเนเตเรชันสูงกว่า

ตารางที่ 5.3 ผลการทดสอบการให้แรงแบบสถิติที่อัตราความเครียด 50 มิลลิเมตรต่อนาที

Temperature (°C)	ชนิดของแอสฟัลต์	S - IDT	S - UC
		Maximum stress (kPa)	Maximum stress (kPa)
10	AC 40/50	1791.20	14419.77
	AC 60/70	2295.76	14200.12
	AC 80/100	2066.86	12739.87
25	AC 40/50	787.68	5598.25
	AC 60/70	1015.24	5756.71
	AC 80/100	1184.23	4380.77
40	AC 40/50	355.02	2726.25
	AC 60/70	344.64	1990.26
	AC 80/100	408.92	1458.07
55	AC 40/50	147.29	1391.04
	AC 60/70	N/A	997.27
	AC 80/100	199.31	956.86

* N/A (not available) ไม่สามารถหาค่าได้

ตารางที่ 5.4 ผลการทดสอบแบบพลวัต

วัสดุเชื่อมประสาน	อุณหภูมิ	M_r (MPa)	FN	b
AC 40/50	10°C	13,942	NA*	NA*
AC 60/70		14,832		
AC 80/100		14,721		
AC 40/50	25°C	4,964	NA*	0.232
AC 60/70		6,911		0.363
AC 80/100		5,261		0.399
AC 40/50	40°C	967	33,800	0.689
AC 60/70		1,143	17,850	0.822
AC 80/100		1,139	10,250	0.895
AC 40/50	55°C	442	5,095	0.785
AC 60/70		532	4,340	0.875
AC 80/100		498	2,080	0.901

* N/A (not available) ไม่สามารถหาค่าได้

5.3 ข้อเสนอแนะ

5.3.1 การทดสอบเพื่อศึกษาผลกระทบของอุณหภูมิที่มีต่อพฤติกรรมด้านกลศาสตร์ของวัสดุแอลฟ์ลิติกคอนกรีตความคงทนของคุณภาพมีผลต่อการทดสอบให้มีค่าคงที่ในงานวิจัยนี้ได้มีการควบคุมอุณหภูมิของตัวอย่างด้วยการนำไปบ่ม ณ อุณหภูมิที่ต้องการเป็นเวลา 3 ชั่วโมงจากนั้นจึงนำไปทดสอบ โดยก่อนการทดสอบได้มีการรัดอุณหภูมิด้วยเครื่องวัดอุณหภูมิแบบดิจิตอล ดังแสดงในรูปที่ 5.15 พบว่าก่อนทำการทดสอบตัวอย่างมีอุณหภูมิอยู่ในช่วง $\pm 1^{\circ}\text{C}$ ของอุณหภูมิที่ต้องการทดสอบและหลังจากการทดสอบตัวอย่างมีอุณหภูมิอยู่ในช่วง $\pm 5^{\circ}\text{C}$ ของอุณหภูมิที่ต้องการทดสอบ ดังนั้นการศึกษาผลกระทบของอุณหภูมิจึงควรทำการศึกษาเรื่องสมบัติความถูกต้องจำเพาะของวัสดุแอลฟ์ลิติกคอนกรีต เพื่อศึกษาผลกระทบของอัตราการเปลี่ยนแปลงอุณหภูมิที่เกิดขึ้นระหว่างการทดสอบ

5.3.2 ควรทำการทดสอบที่เกี่ยวข้องกับความล้า (Fatigue) เพื่อศึกษาพฤติกรรมของวัสดุ เอสพีลติกคอนกรีต เพราะรอยแตกเนื่องจากความล้า (fatigue cracking) เป็นรูปแบบความเสียหายจากหน่วยแรงดึงที่พบได้บ่อยบริเวณขอบล่างของชั้นผิวทางเอสพีลต์ ซึ่งความล้ามักมีความสัมพันธ์กับความเครียดดึงและค่าโมดูลัสของส่วนผสมเอสพีลต์ โดยสามารถหาความต้านทานต่อความล้าของวัสดุเอสพีลติกคอนกรีตได้จากการทดสอบคานดัด (Flexural bending beam test) จากนั้นควรนำผลการทดสอบที่ได้มามีเคราะห์ร่วมกับผลการทดสอบหาค่าโมดูลัสคืน ตัวเพื่อศึกษาพฤติกรรมการรับแรงดึงแบบพลวัตของวัสดุเอสพีลติกคอนกรีต

5.3.3 ควรทำการศึกษาอิทธิพลของความชื้นที่ส่งผลต่อความเสียหายของเอสพีลติกคอนกรีต (Moisture Damage) โดยทำการทดลองรูปแบบเดียวกันกับงานวิจัยนี้แต่ให้น้ำตัวอย่างไปแข่น้ำไว้ 24 ชั่วโมงก่อนเพื่อให้ตัวอย่างอยู่ในสภาพชื้นแล้วจึงนำมาทำการทดสอบ ผลการทดสอบที่ได้จากการศึกษาอิทธิพลของความชื้นจะช่วยเติมเต็มองค์ความรู้พุ่งตรงทางกลศาสตร์ของวัสดุเอสพีลติกคอนกรีตทั้งที่อยู่ในสภาพแห้งและสภาพเปียก โดยการทดสอบเพื่อศึกษาอิทธิพลของความชื้นนี้ยังไม่มีมาตรฐานการทดสอบ แต่สามารถศึกษาวิธีการทดสอบได้จากงานวิจัยการตรวจสอบความเสียหายเนื่องจากความชื้นของเอสพีลติกคอนกรีตด้วยการทดสอบการคีบแบบพลวัต (Kanitpong, et. al., 2010)



รูปที่ 5.15 Digital Thermometer

รายการอ้างอิง

ภาษาไทย

อนกร ชมภูรัตน์ สุเชษฐ์ ลิขิตเลอสรวง และ เนื่อง เหล็กนานาย. ผลของอุณหภูมิที่มีต่อการบดตัวถ่วงของแอสฟัลติกคอนกรีต. 2552. การประชุมวิชาการวิศวกรรมโยธาแห่งชาติครั้งที่ 14 มหาวิทยาลัยเทคโนโลยีสุรนารี

อนกร ชมภูรัตน์ สุเชษฐ์ ลิขิตเลอสรวง และกฤชภา ภูมี. การซ่อนทับระหว่างเวลา กับอุณหภูมิสำหรับการทดสอบแรงอัดแกนเดียวของแอสฟัลติกคอนกรีต. 2552. การประชุมวิชาการวิศวกรรมโยธาแห่งชาติครั้งที่ 14 มหาวิทยาลัยเทคโนโลยีสุรนารี

อนกร ชมภูรัตน์ สุเชษฐ์ ลิขิตเลอสรวง และกฤชภา ภูมี. ผลกระทบของอุณหภูมิต่อค่าโมดูลัสคืนตัวของแอสฟัลติกคอนกรีต. 2551. การประชุมวิชาการวิศวกรรมโยธาแห่งชาติครั้งที่ 14 มหาวิทยาลัยเทคโนโลยีสุรนารี

อนกร ชมภูรัตน์ สุเชษฐ์ ลิขิตเลอสรวง และเนื่อง เเหล็กนานาย. ผลของอัตราการให้แรงและอุณหภูมิต่อกำลังรับแรงดึงทางอ้อมของแอสฟัลติกคอนกรีต. 2551. การประชุมวิชาการวิศวกรรมโยธาแห่งชาติครั้งที่ 5

ยันวิน สวัสดิสาร์ และธัญญา ก่อตั้งส้มพันธ์. แนวทางการเลือกใช้ยางแอสฟัลต์และการออกแบบส่วนผสมวัสดุแอสฟัลต์คอนกรีตให้เหมาะสมกับสภาพการใช้งานในประเทศไทย. 2552. สำนักวิจัยและพัฒนางานทาง กรมทางหลวง

อนกร เปียลัดดา. สถิติภาพของแอสฟัลต์คอนกรีตโดยใช้ยางแอสฟัลต์ซีเมนต์ เกรด 60/70 และ 80/100. 2532. รายงานฉบับที่ วว. 119 กองวิเคราะห์และวิจัย กรมทางหลวง

ภาษาอังกฤษ

Annual Book of ASTM Standards. 1995. 1st ed. Vol 04.03. Detroit: American Society for Testing and Materials.

Asphalt Institute. 1995. Superpave level 1 mix design. Superpave series No. 2 (SP-1).

Kentucky.

Chompoorat, T., and Likitlersuang, S. 2009. Temperature shift function of asphaltic

- concrete for pavement design in tropical countries. The IES Journal Part A: Civil and Structural Engineering Vol. 2 No. 3: 246-254.
- Chompoorat, T. and Likitlersuang, S. 2008. Effects of strain rate and temperature in the indirect tensile test of asphaltic concrete. Proceeding of KKCNN Symposium on Civil Engineering 21st. Singapore.
- Huang, Y.H. 2004. Pavement analysis and design. 2nd ed. New Jersey: Pearson Prentice Hall.
- Kanitpong, K., Charoenthamp, N. and Likitlersuang, S. 2010. Investigation of moisture damage in warm-mix asphalt using dynamic creep test.
- Meor, O.H. and Teoh, C.Y. 2008. Effects of temperature on resilient modulus of dense asphalt mixtures incorporating steel slag subjected to short term oven ageing. Proceedings of world academy of science, engineering and technology Vol. 36: 221-225.
- Witczak, M.W., Kaloush, K., Pellinen, T., El-basyouny, M., Tempe, A.Z., and Von quintus, H. 2002. Simple performance test for superpave mix design (NCHRP report 465). Washington, DC: National Cooperative Highway Research Program (NCHRP).

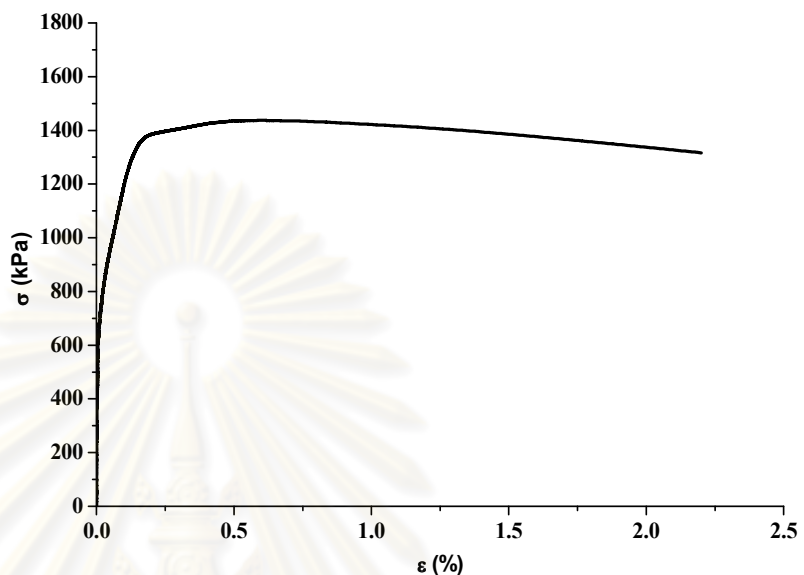


ภาคผนวก

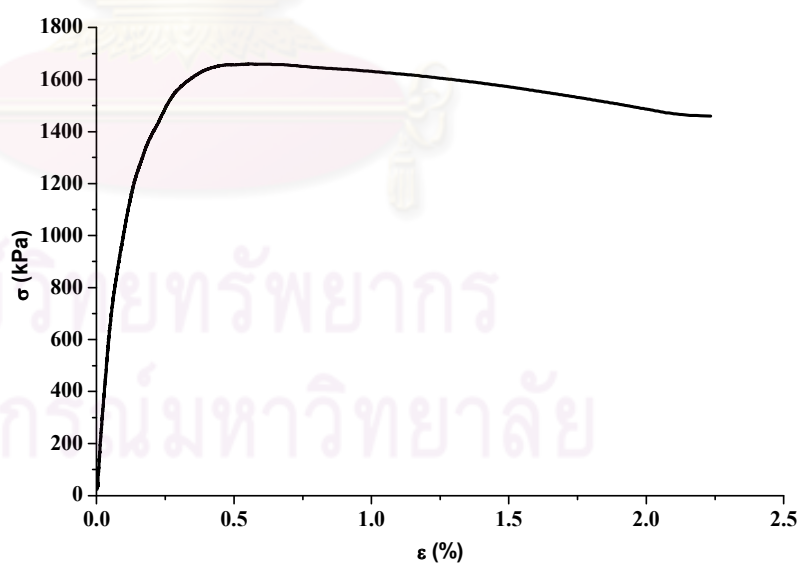
ศูนย์วิทยทรัพยากร จุฬาลงกรณ์มหาวิทยาลัย

พฤติกรรมการรับตัวของตัวอย่างและผลการทดสอบ

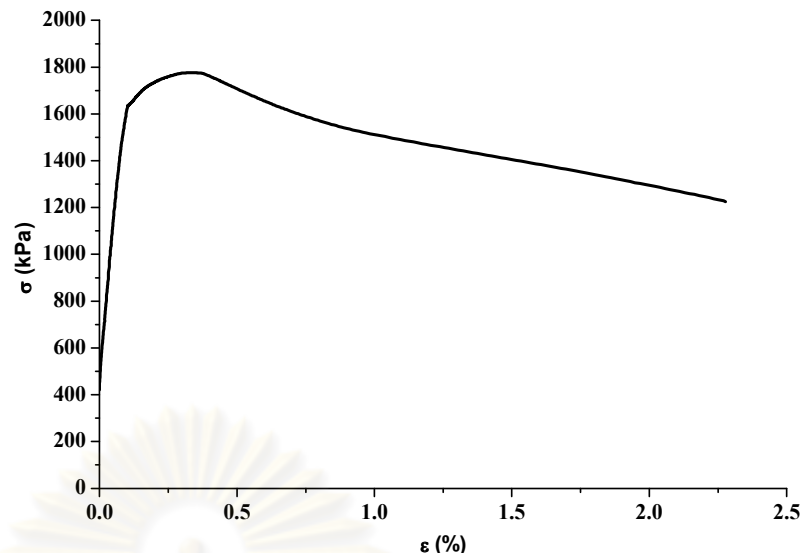
1. การทดสอบแบบดึงทางข้อมแบบสูตร



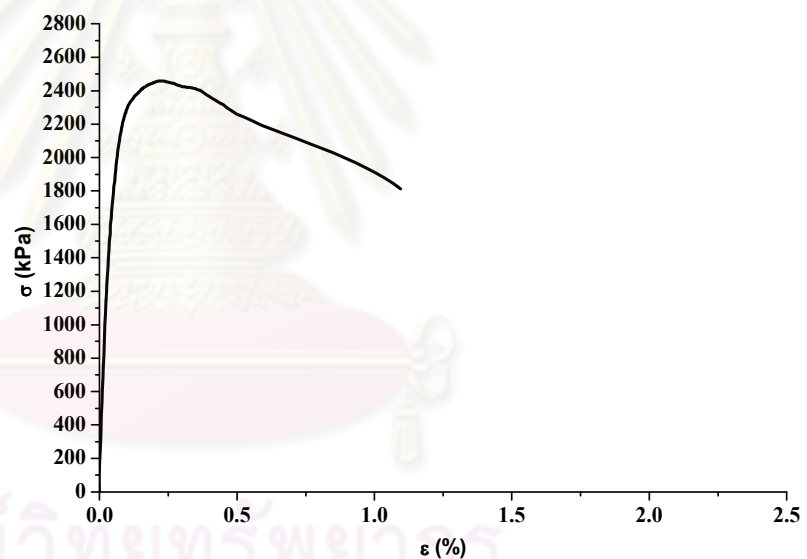
ตัวอย่างแอสฟัลติกคอนกรีต AC40/50 อุณหภูมิ 10°C อัตราความเครียด = 0.0008 ต่อวินาที



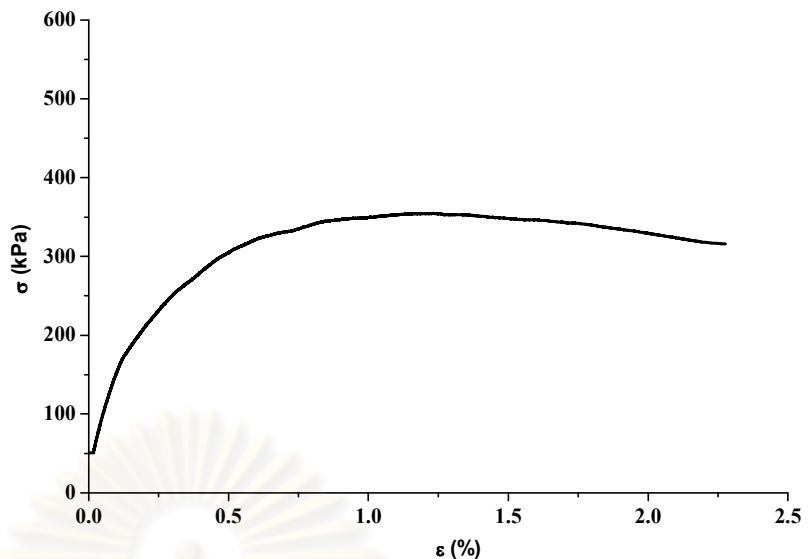
ตัวอย่างแอสฟัลติกคอนกรีต AC40/50 อุณหภูมิ 10°C อัตราความเครียด = 0.0025 ต่อวินาที



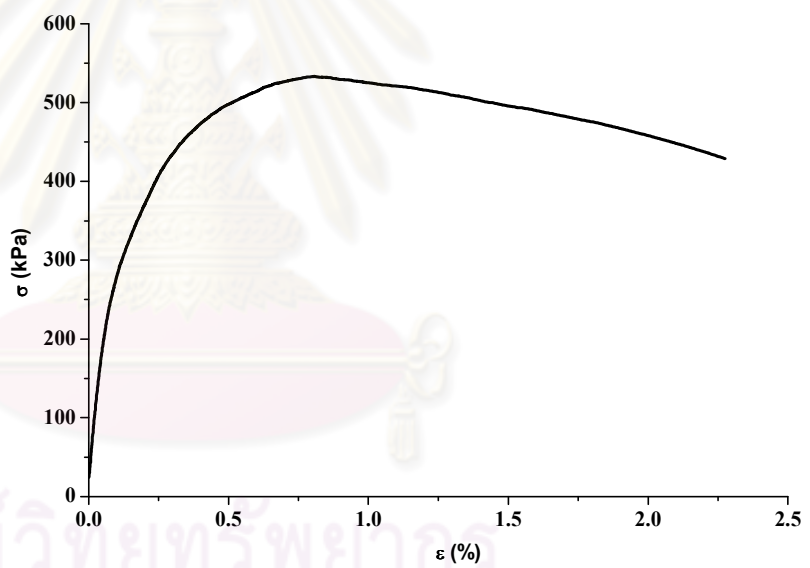
ตัวอย่างแอสฟัลติกคอนกรีต AC40/50 อุณหภูมิ 10°C อัตราความเครียด = 0.0083 ต่อวินาที



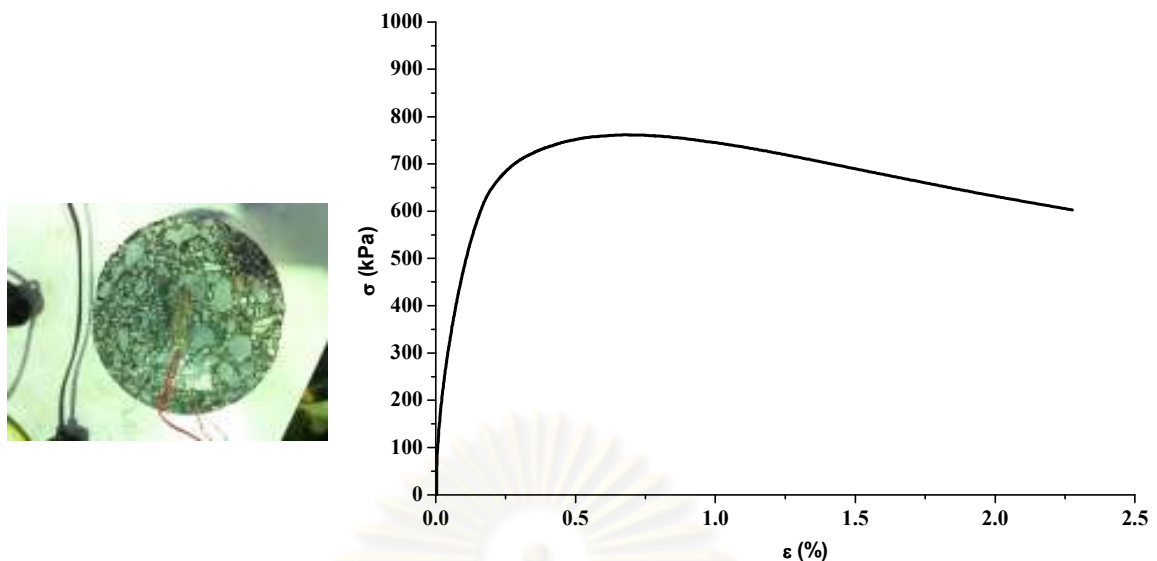
ตัวอย่างแอสฟัลติกคอนกรีต AC40/50 อุณหภูมิ 10°C อัตราความเครียด = 0.0250 ต่อวินาที



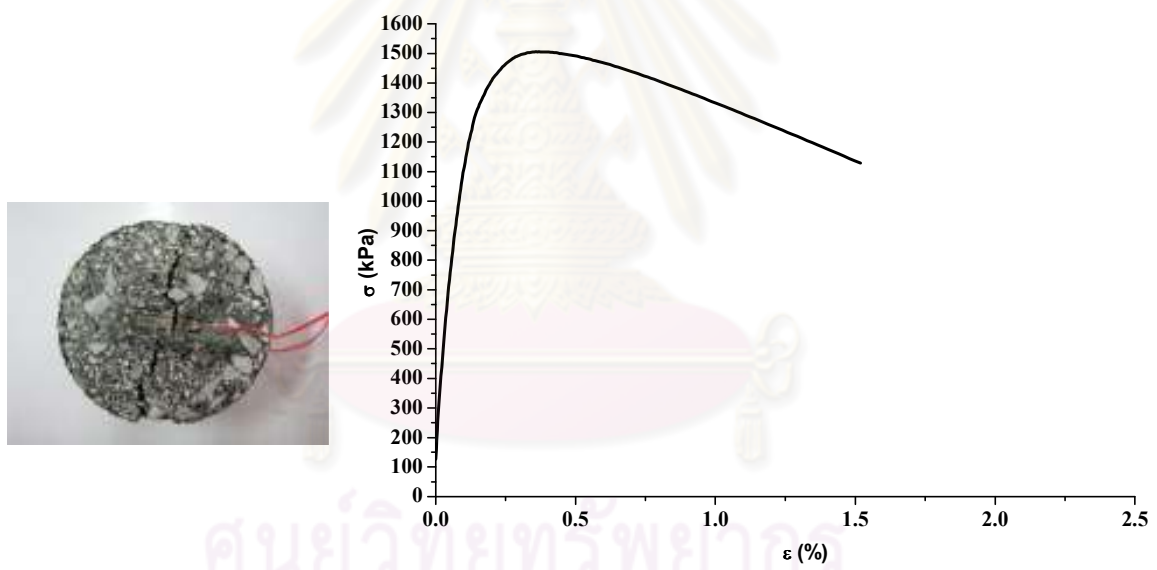
ตัวอย่างแอสฟัลติกคอนกรีต AC40/50 อุณหภูมิ 25°C อัตราความเครียด = 0.0008 ต่อวินาที



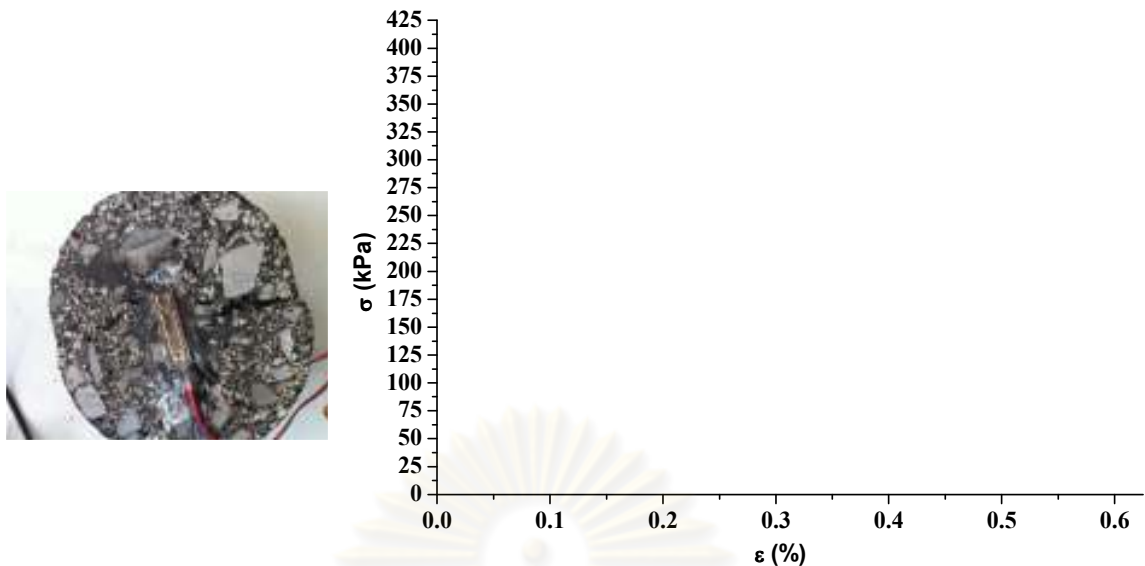
ตัวอย่างแอสฟัลติกคอนกรีต AC40/50 อุณหภูมิ 25°C อัตราความเครียด = 0.0025 ต่อวินาที



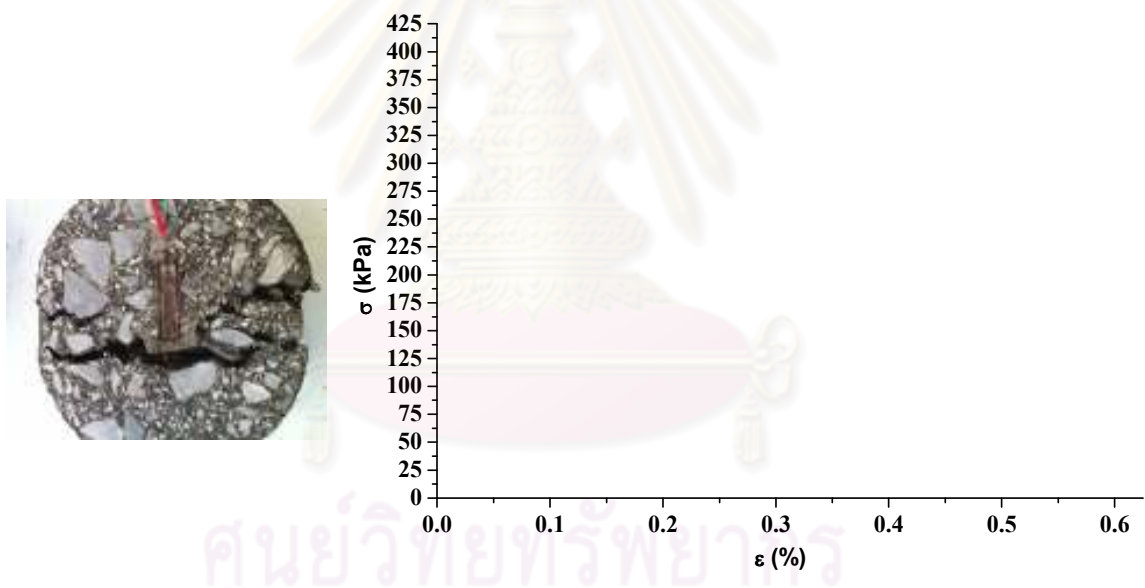
ตัวอย่างแอสฟัลติกคอนกรีต AC40/50 อุณหภูมิ 25°C อัตราความเครียด = 0.0083 ต่อวินาที



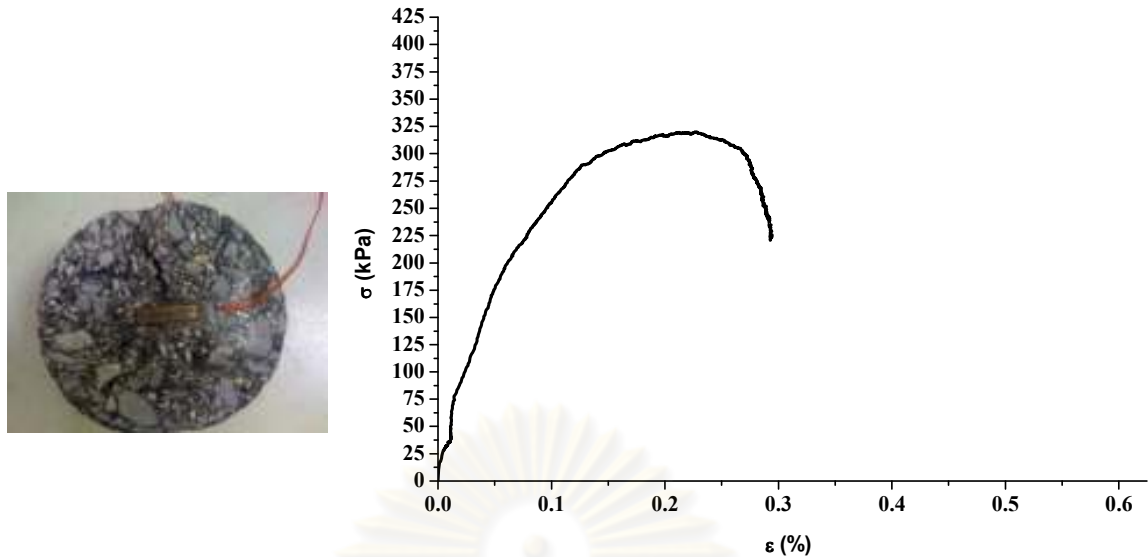
ตัวอย่างแอสฟัลติกคอนกรีต AC40/50 อุณหภูมิ 25°C อัตราความเครียด = 0.0250 ต่อวินาที



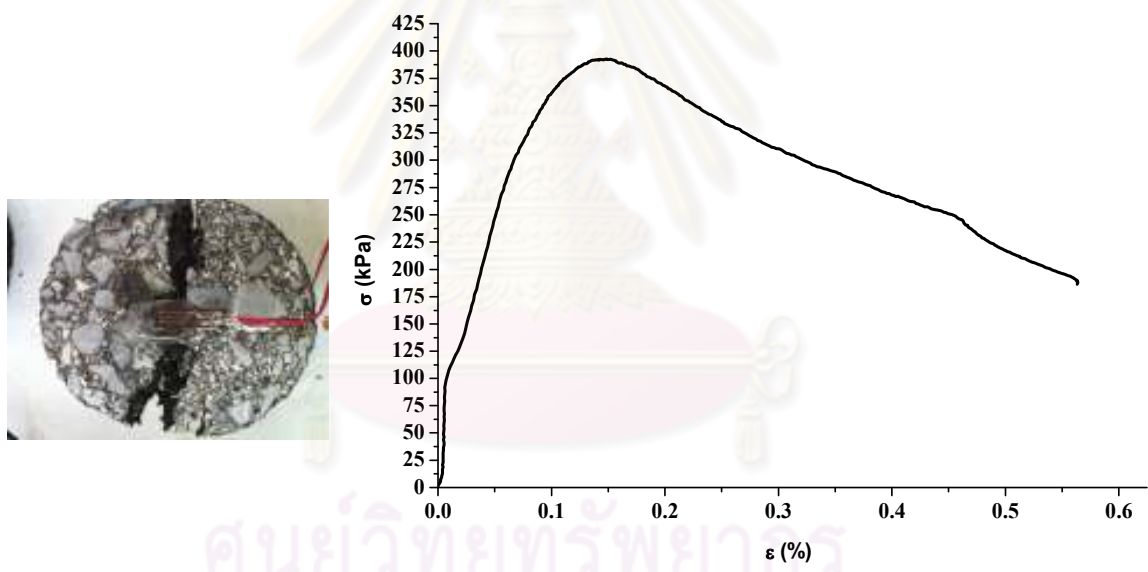
ตัวอย่างแอสฟัลติกคอนกรีต AC40/50 อุณหภูมิ 40°C อัตราความเครียด = 0.0008 ต่อวินาที



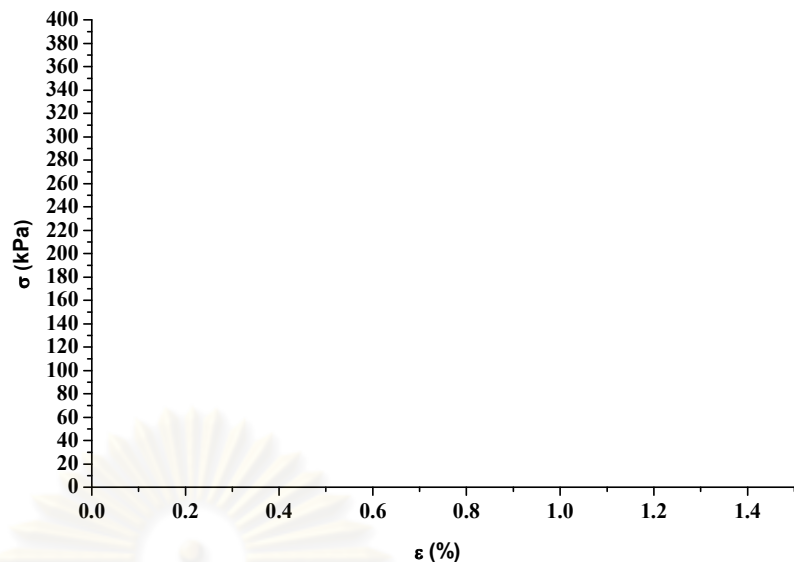
ตัวอย่างแอสฟัลติกคอนกรีต AC40/50 อุณหภูมิ 40°C อัตราความเครียด = 0.0025 ต่อวินาที



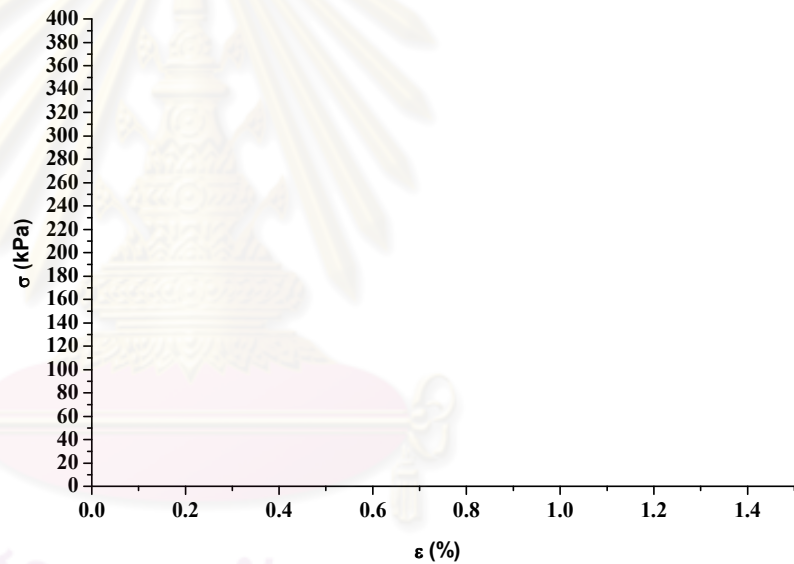
ตัวอย่างแอสฟัลติกคอนกรีต AC40/50 อุณหภูมิ 40°C อัตราความเครียด = 0.0083 ต่อวินาที



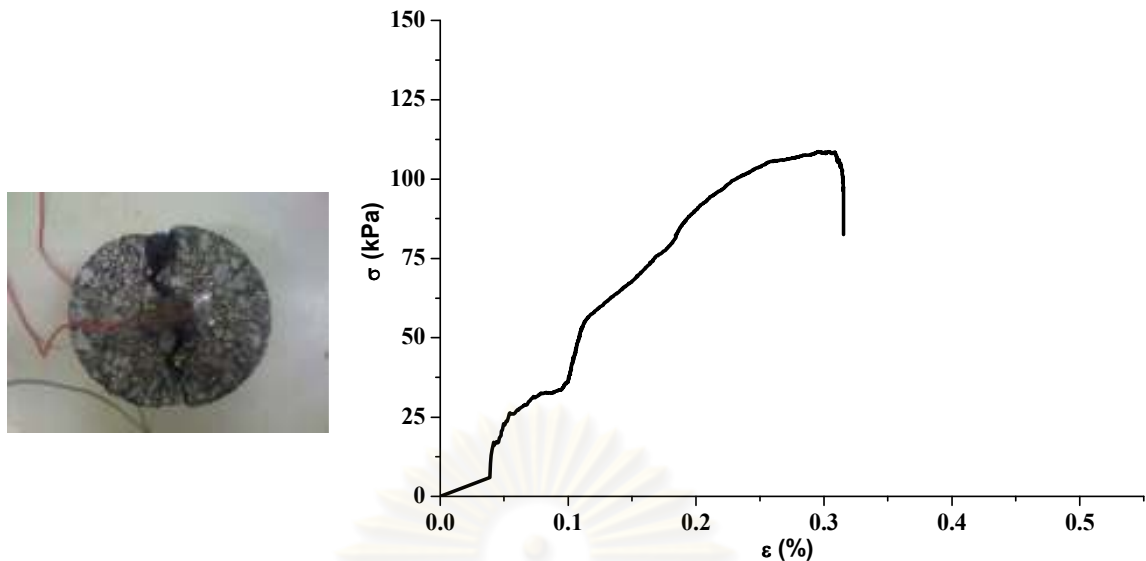
ตัวอย่างแอสฟัลติกคอนกรีต AC40/50 อุณหภูมิ 40°C อัตราความเครียด = 0.0250 ต่อวินาที



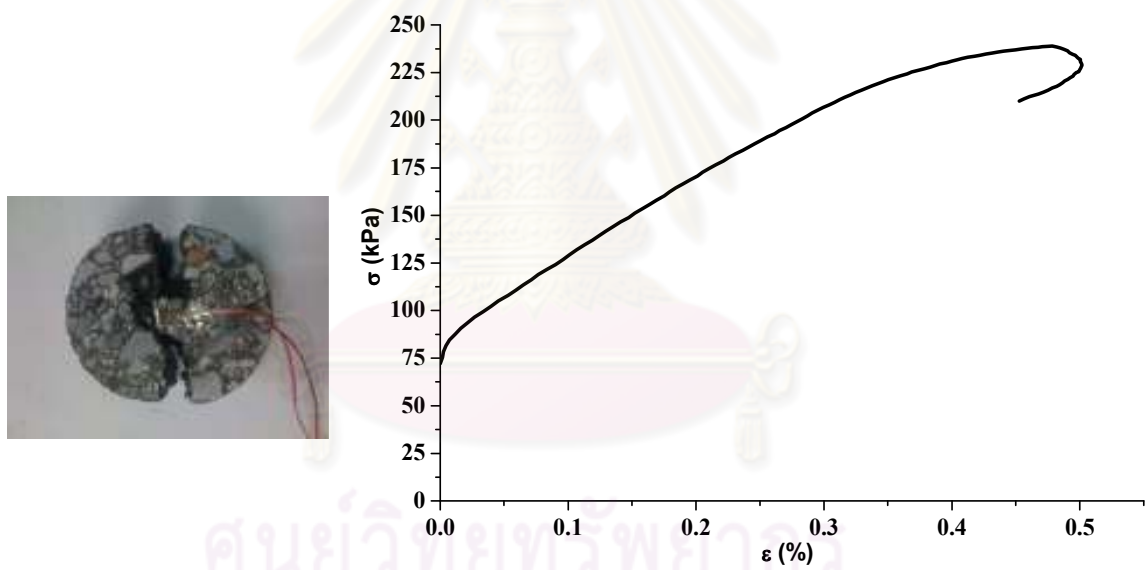
ตัวอย่างแอสฟัลติกคอนกรีต AC40/50 อุณหภูมิ 55°C อัตราความเครียด = 0.0008 ต่อวินาที



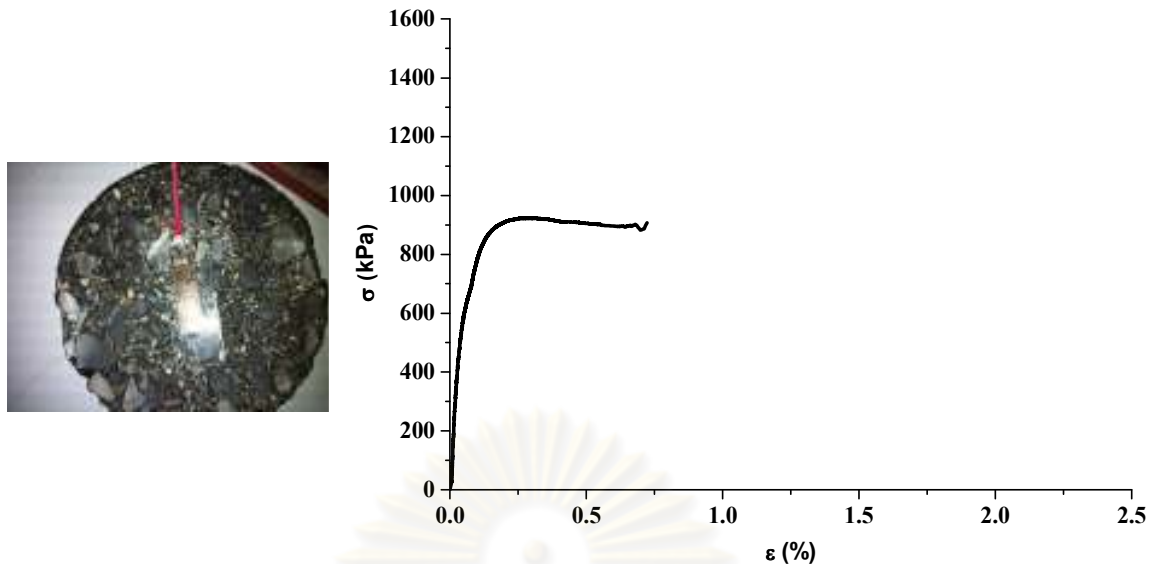
ตัวอย่างแอสฟัลติกคอนกรีต AC40/50 อุณหภูมิ 55°C อัตราความเครียด = 0.0025 ต่อวินาที



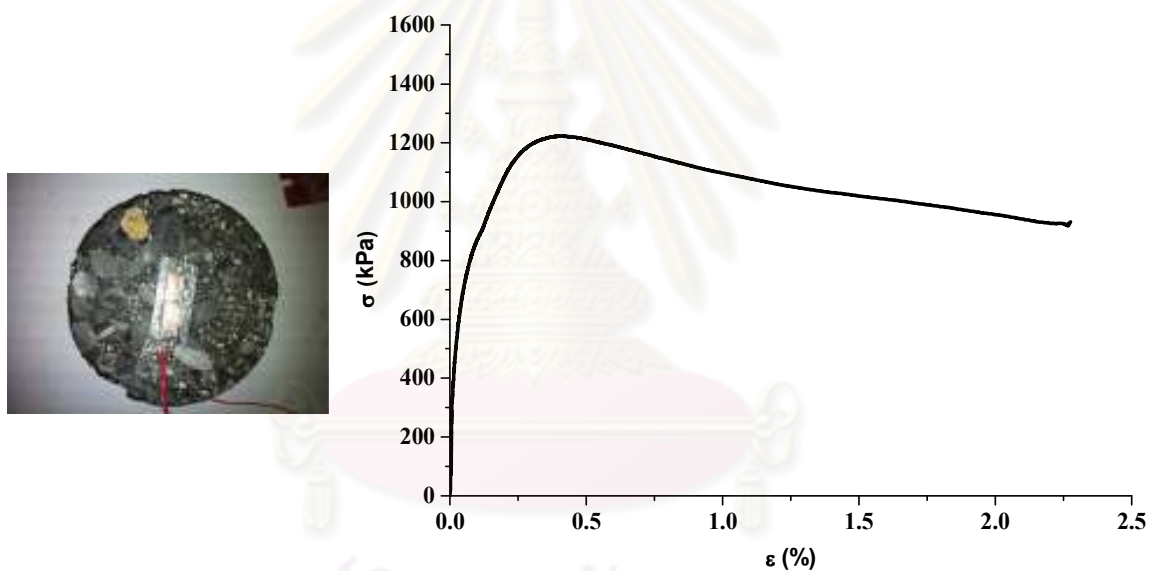
ตัวอย่างแอสฟัลติกคอนกรีต AC40/50 อุณหภูมิ 55°C อัตราความเครียด = 0.0083 ต่อวินาที



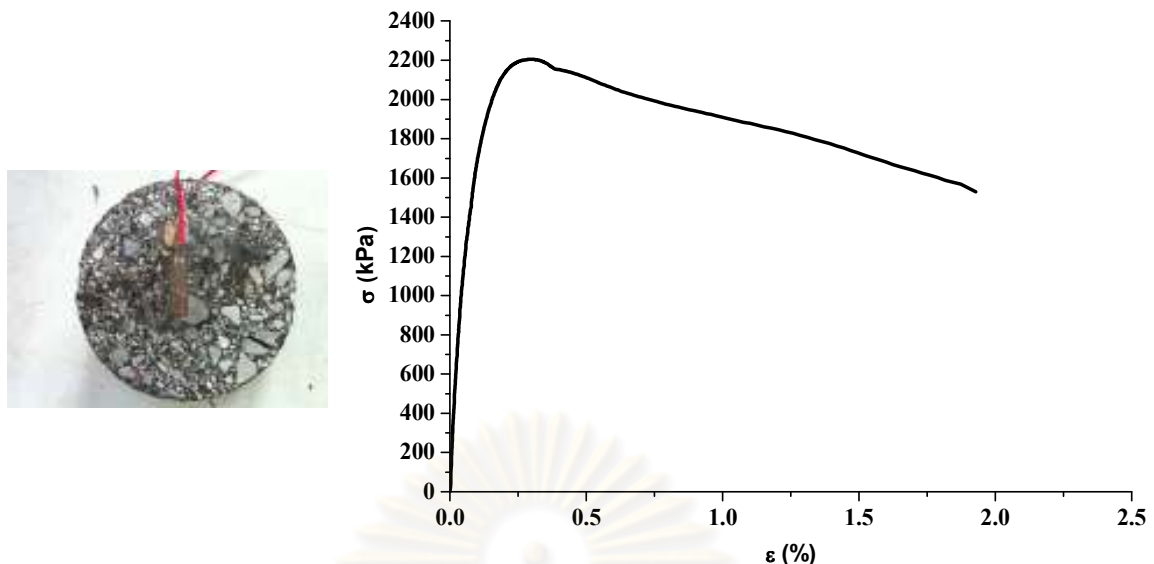
ตัวอย่างแอสฟัลติกคอนกรีต AC40/50 อุณหภูมิ 55°C อัตราความเครียด = 0.0250 ต่อวินาที



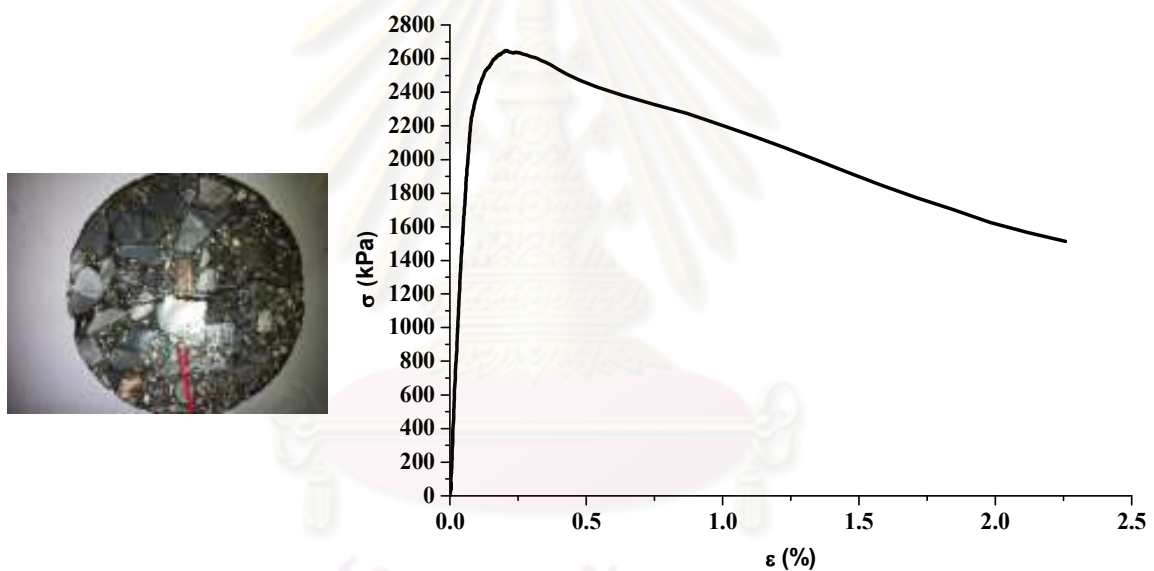
ตัวอย่างแอสฟัลติกคอนกรีต AC60/70 อุณหภูมิ 10°C อัตราความเครียด = 0.0008 ต่อวินาที



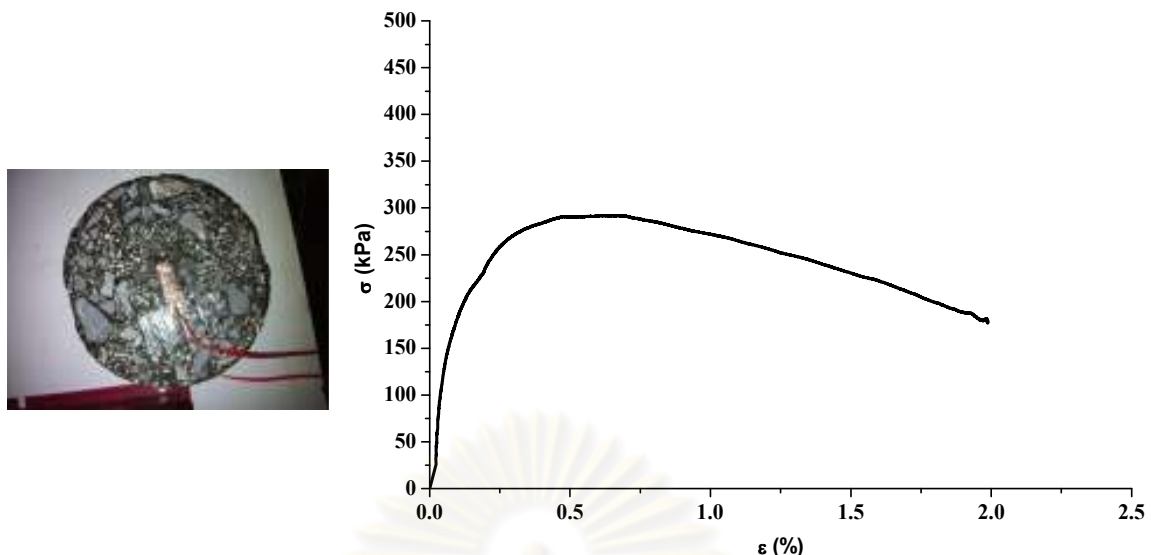
ตัวอย่างแอสฟัลติกคอนกรีต AC60/70 อุณหภูมิ 10°C อัตราความเครียด = 0.0025 ต่อวินาที



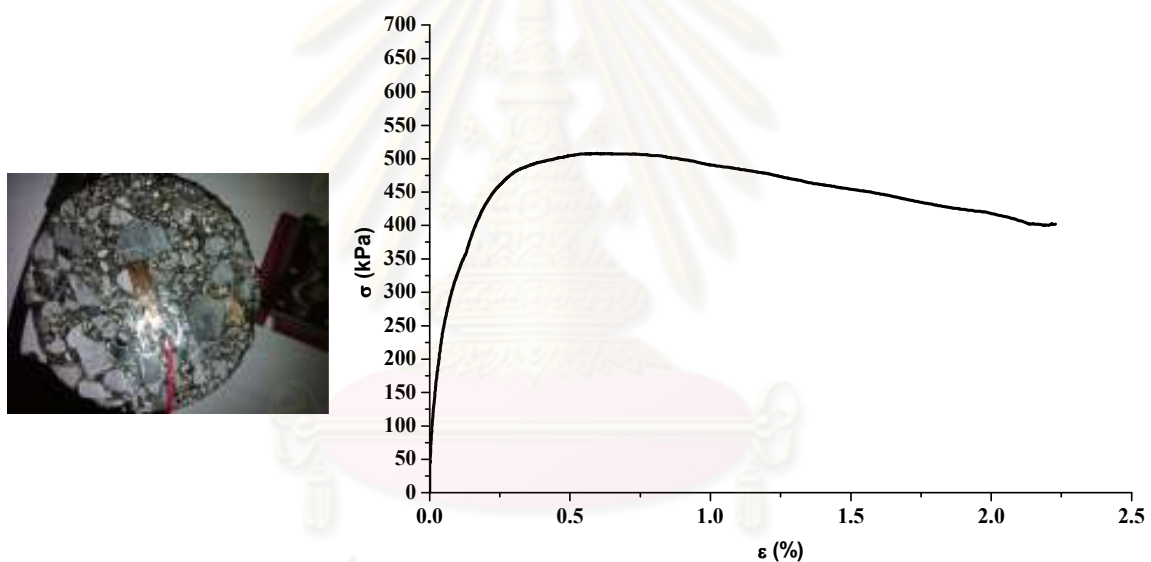
ตัวอย่างแอสฟัลติกคอนกรีต AC60/70 อุณหภูมิ 10°C อัตราความเครียด = 0.0083 ต่อวินาที



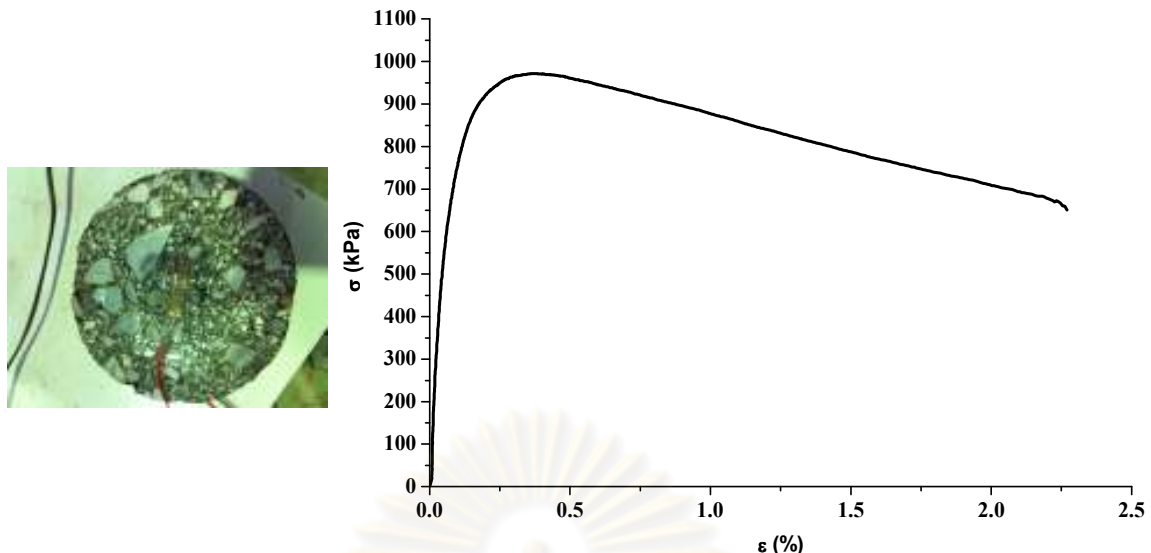
ตัวอย่างแอสฟัลติกคอนกรีต AC60/70 อุณหภูมิ 10°C อัตราความเครียด = 0.0250 ต่อวินาที



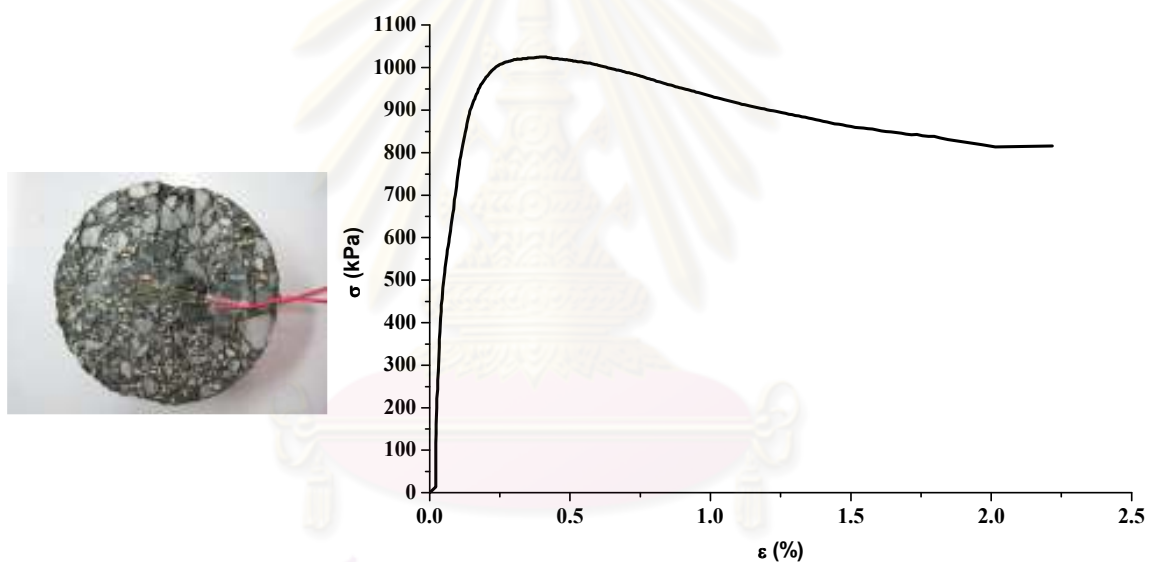
ตัวอย่างแอสฟัลติกคอนกรีต AC60/70 อุณหภูมิ 25°C อัตราความเครียด = 0.0008 ต่อวินาที



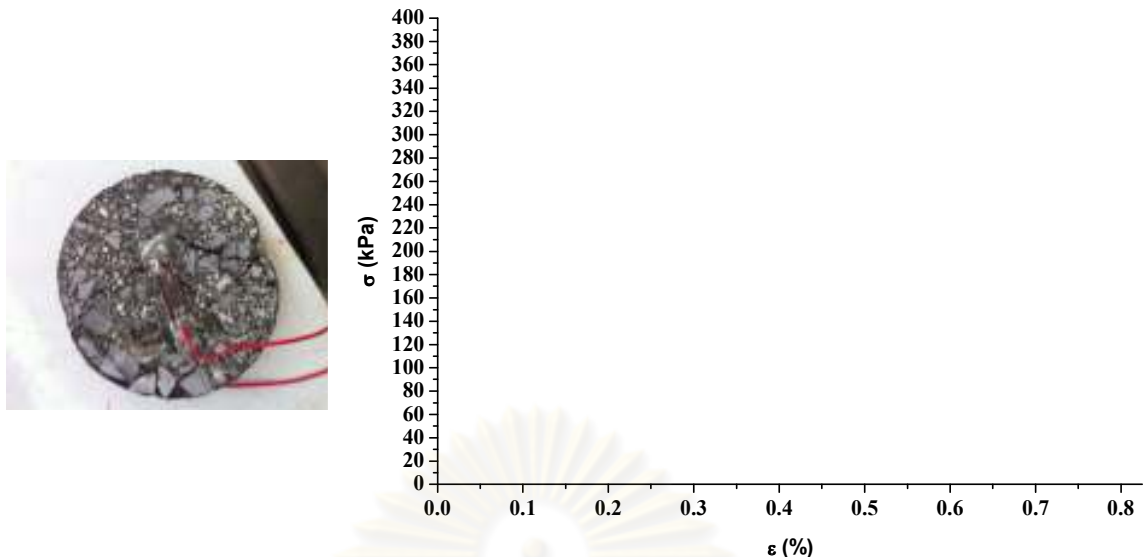
ตัวอย่างแอสฟัลติกคอนกรีต AC60/70 อุณหภูมิ 25°C อัตราความเครียด = 0.0025 ต่อวินาที



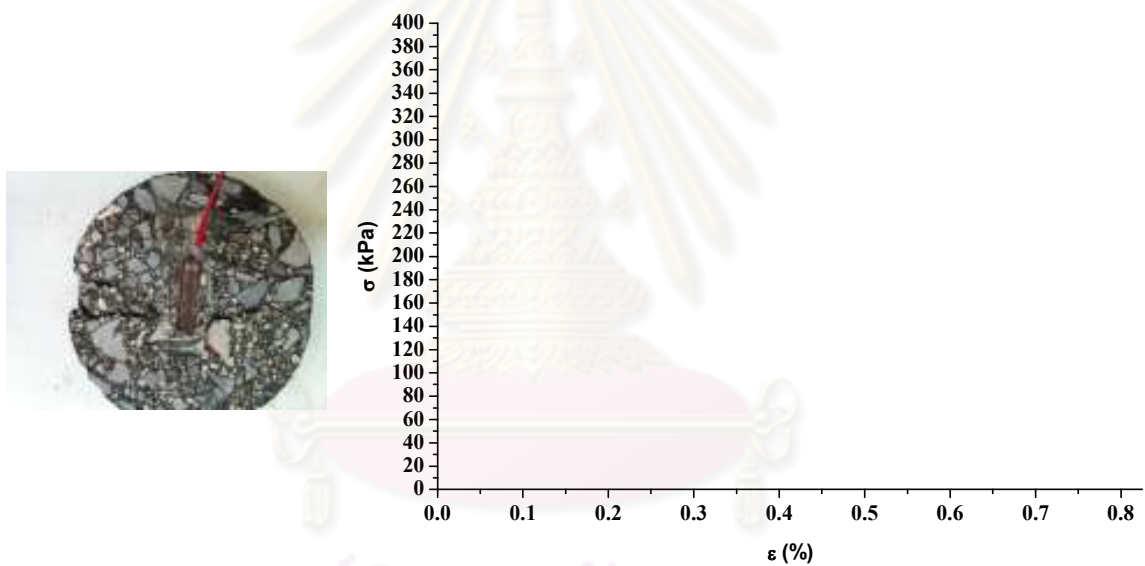
ตัวอย่างแอสฟัลติกคอนกรีต AC60/70 อุณหภูมิ 25°C อัตราความเครียด = 0.0083 ต่อวินาที



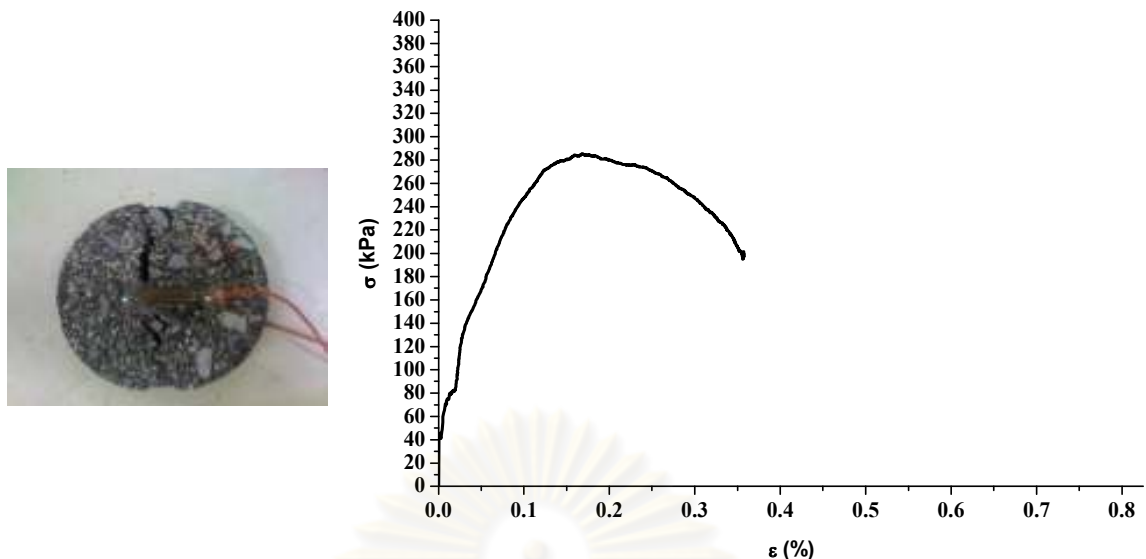
ตัวอย่างแอสฟัลติกคอนกรีต AC60/70 อุณหภูมิ 25°C อัตราความเครียด = 0.0250 ต่อวินาที



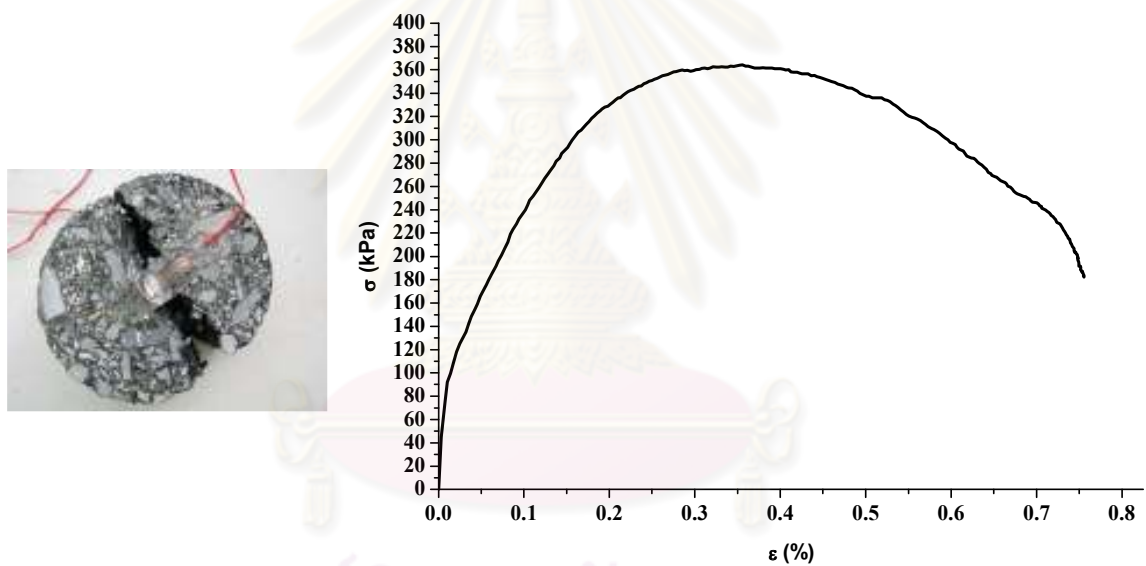
ตัวอย่างแอสฟัลติกคอนกรีต AC60/70 อุณหภูมิ 40°C อัตราความเครียด = 0.0008 ต่อวินาที



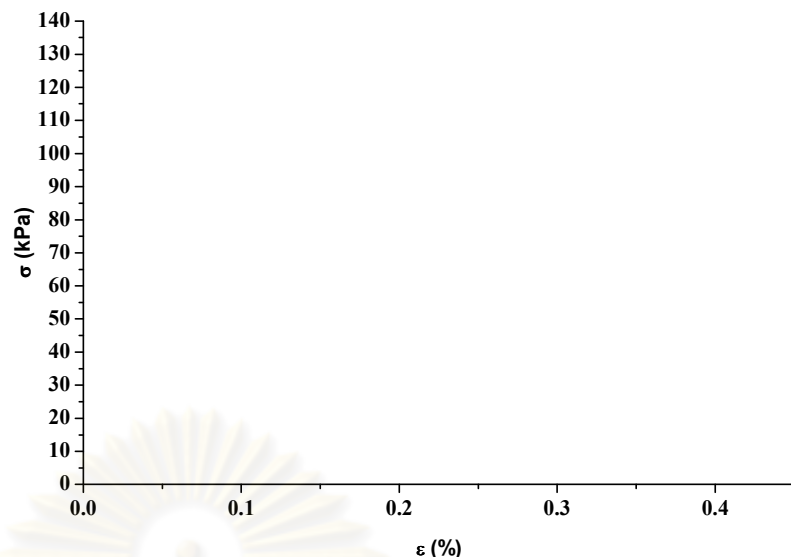
ตัวอย่างแอสฟัลติกคอนกรีต AC60/70 อุณหภูมิ 40°C อัตราความเครียด = 0.0025 ต่อวินาที



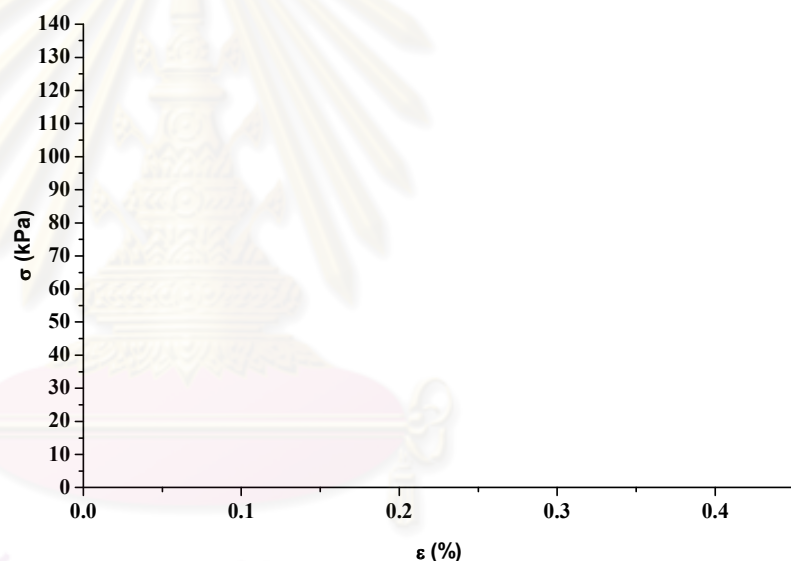
ตัวอย่างแอสฟัลติกคอนกรีต AC60/70 อุณหภูมิ 40°C อัตราความเครียด = 0.0083 ต่อวินาที



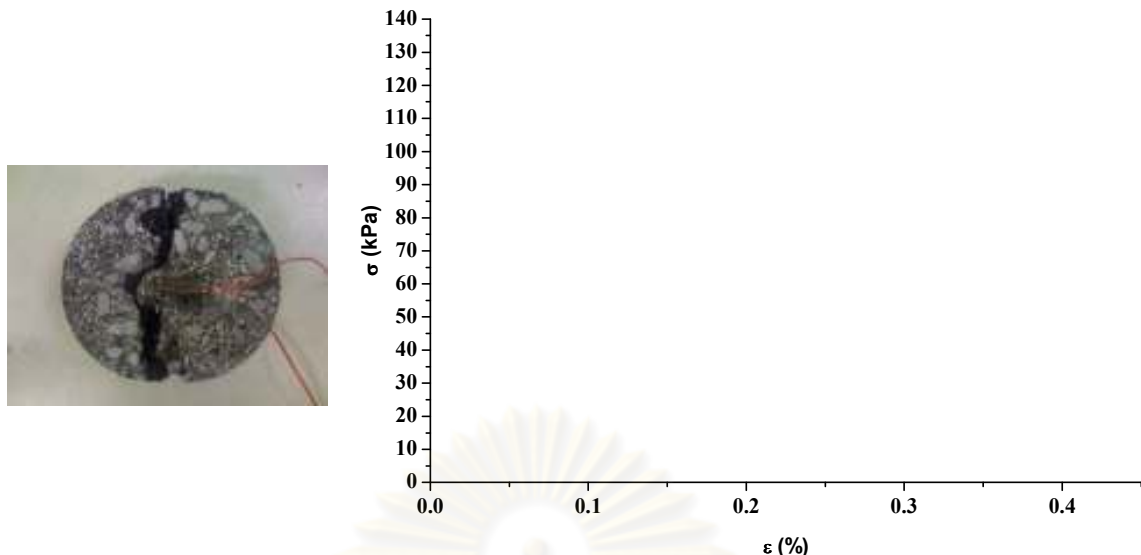
ตัวอย่างแอสฟัลติกคอนกรีต AC60/70 อุณหภูมิ 40°C อัตราความเครียด = 0.0250 ต่อวินาที



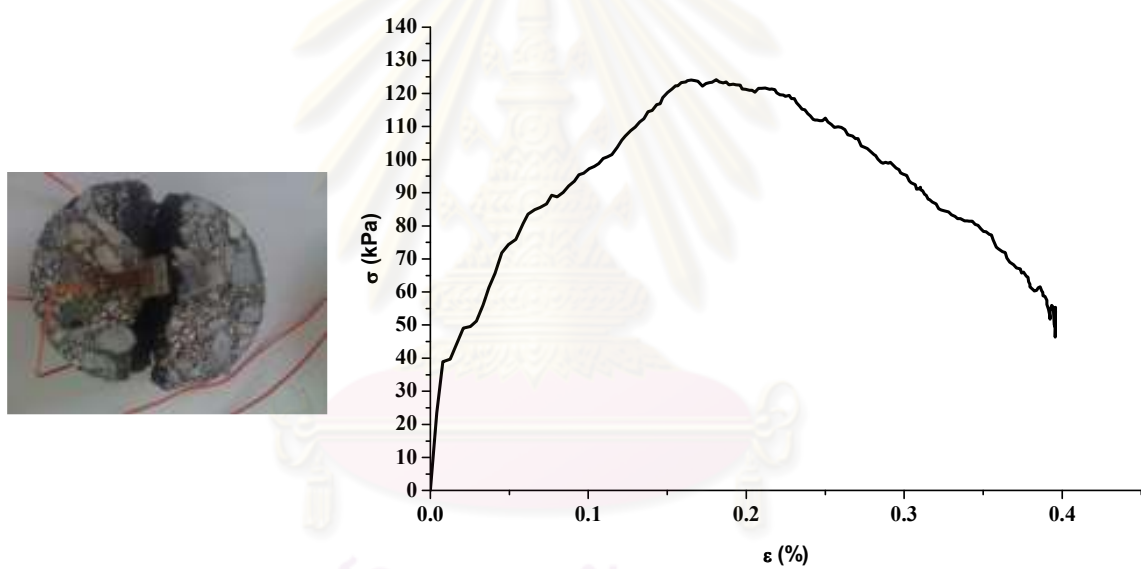
ตัวอย่างแอสฟัลติกคอนกรีต AC60/70 อุณหภูมิ 55°C อัตราความเครียด = 0.0008 ต่อวินาที



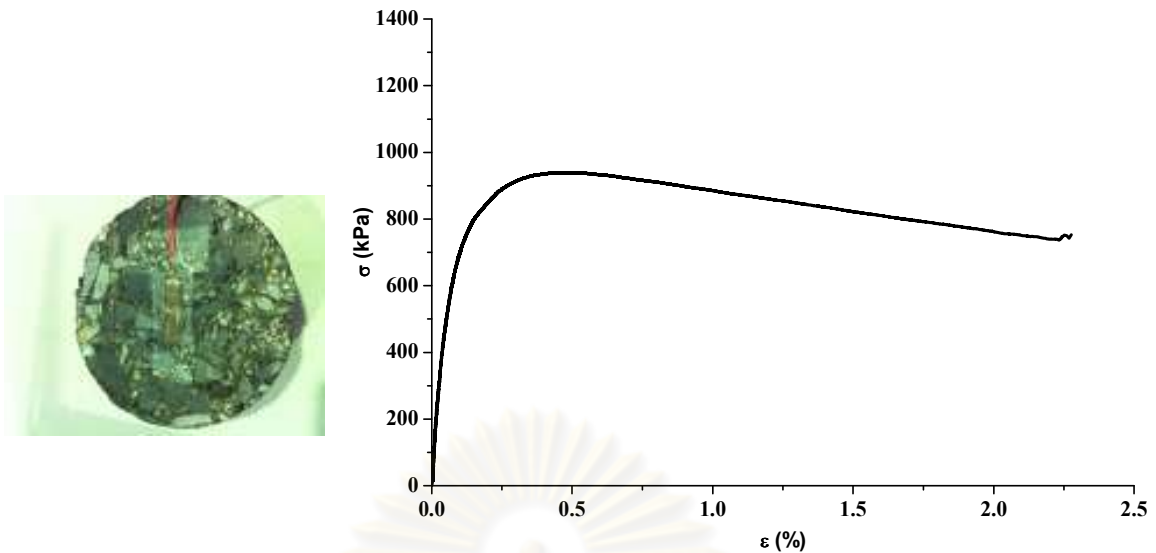
ตัวอย่างแอสฟัลติกคอนกรีต AC60/70 อุณหภูมิ 55°C อัตราความเครียด = 0.0025 ต่อวินาที



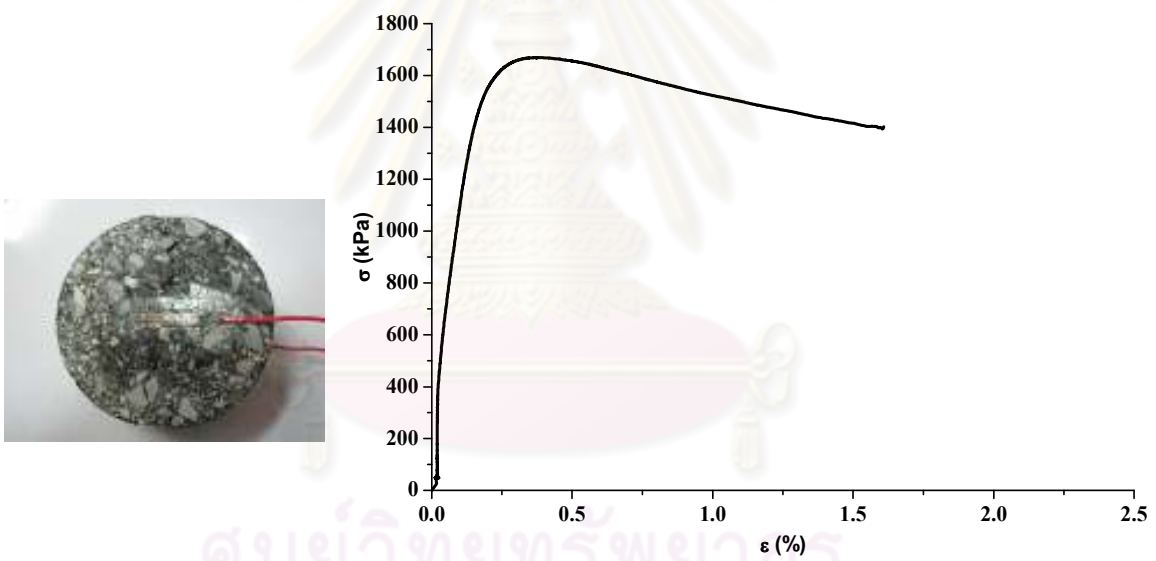
ตัวอย่างแอสฟัลติกคอนกรีต AC60/70 อุณหภูมิ 55°C อัตราความเครียด = 0.0083 ต่อวินาที



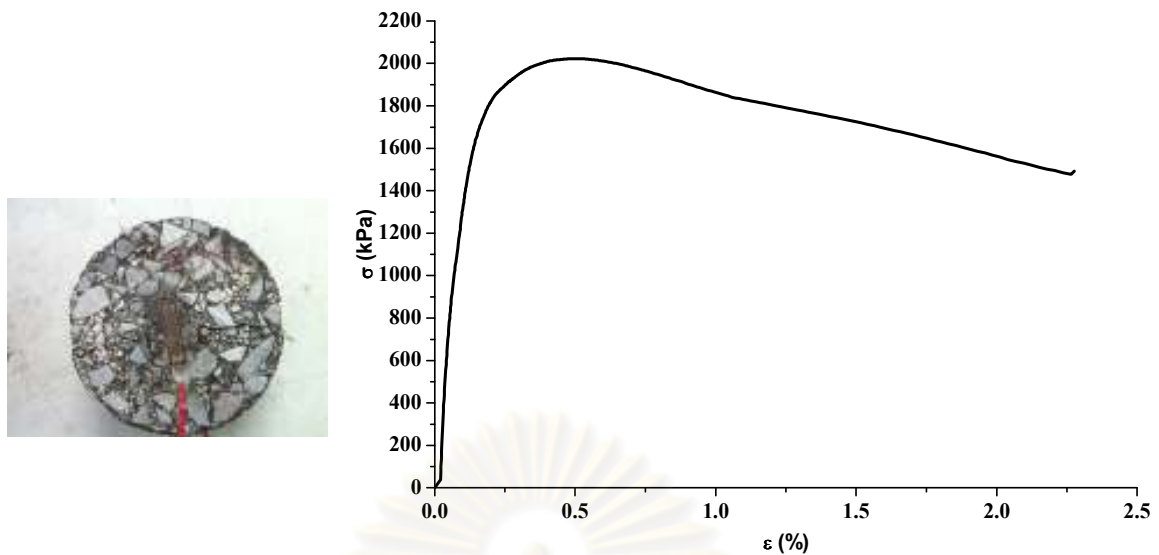
ตัวอย่างแอสฟัลติกคอนกรีต AC60/70 อุณหภูมิ 55°C อัตราความเครียด = 0.0250 ต่อวินาที



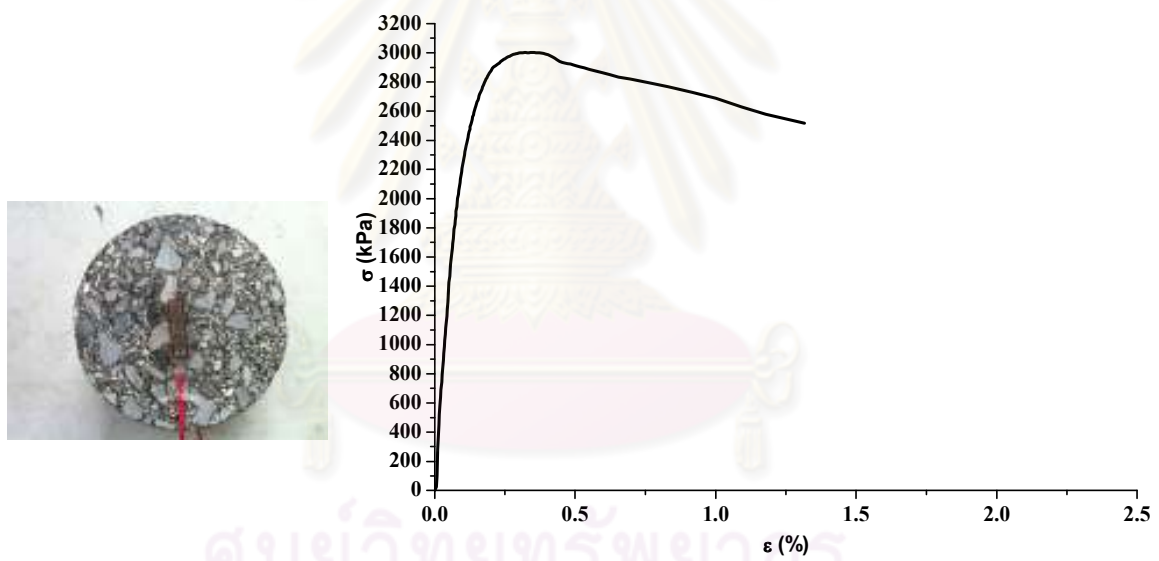
ตัวอย่างแอสฟัลติกคอนกรีต AC80/100 อุณหภูมิ 10°C อัตราความเครียด = 0.0008 ต่อวินาที



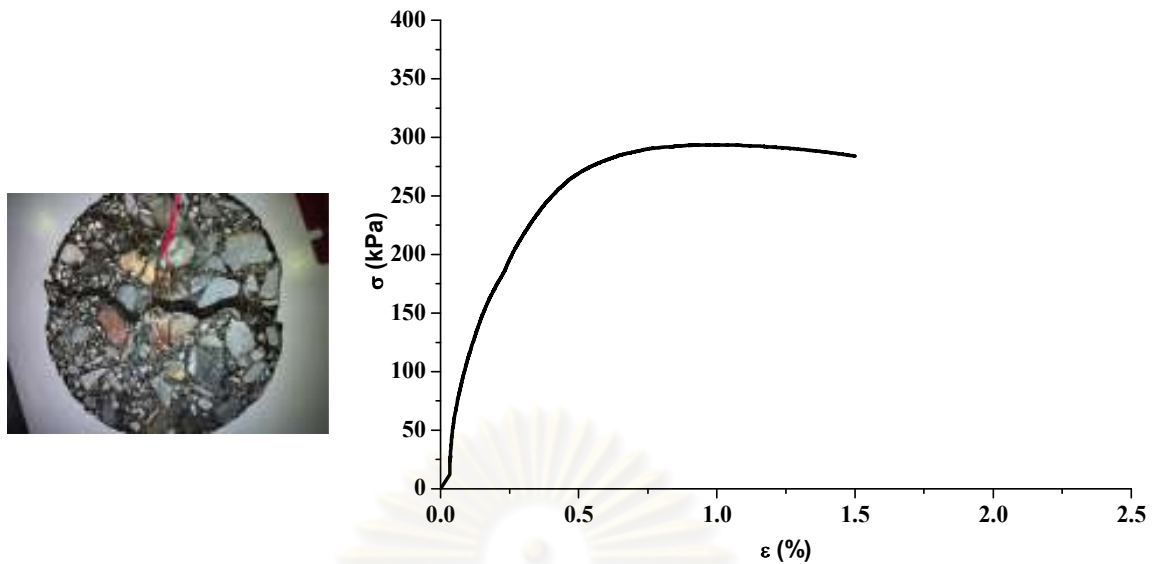
ตัวอย่างแอสฟัลติกคอนกรีต AC80/100 อุณหภูมิ 10°C อัตราความเครียด = 0.0025 ต่อวินาที



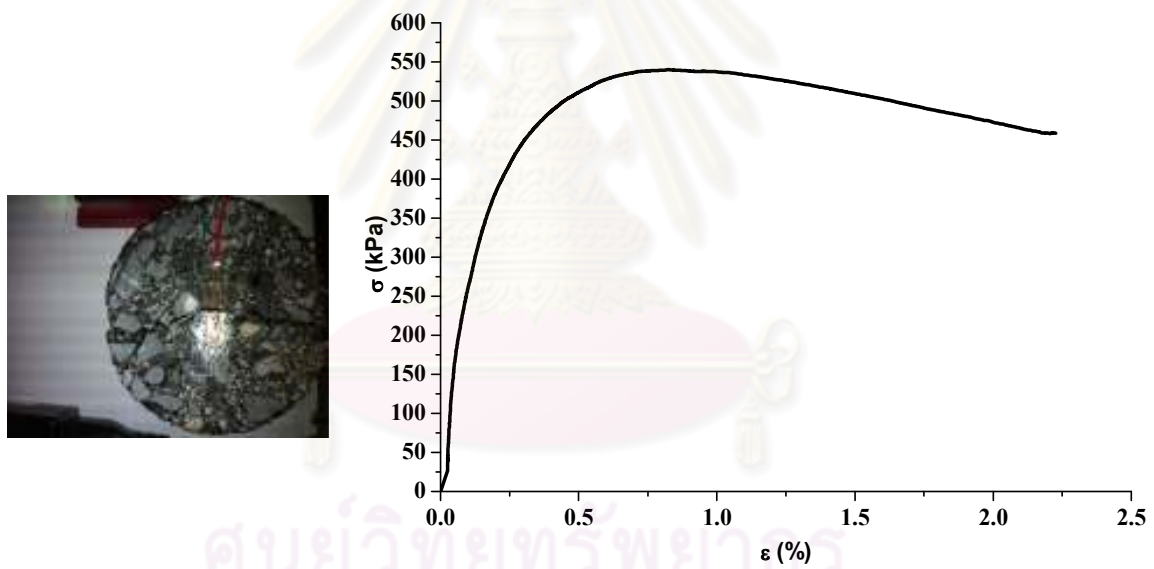
ตัวอย่างแอสฟัลติกคอนกรีต AC80/100 อุณหภูมิ 10°C อัตราความเครียด = 0.0083 ต่อวินาที



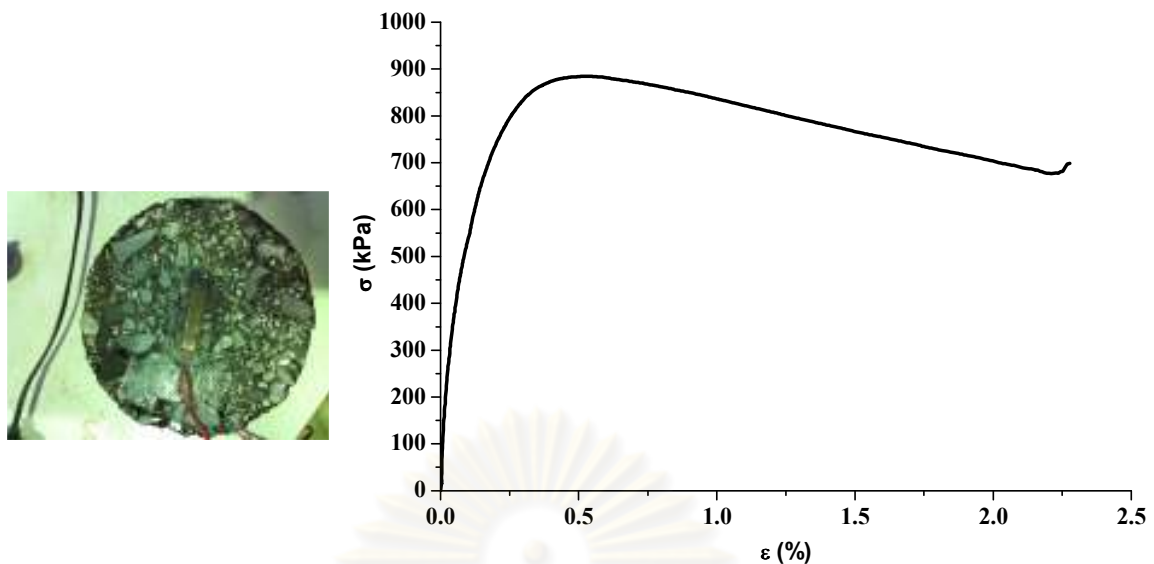
ตัวอย่างแอสฟัลติกคอนกรีต AC80/100 อุณหภูมิ 10°C อัตราความเครียด = 0.0250 ต่อวินาที



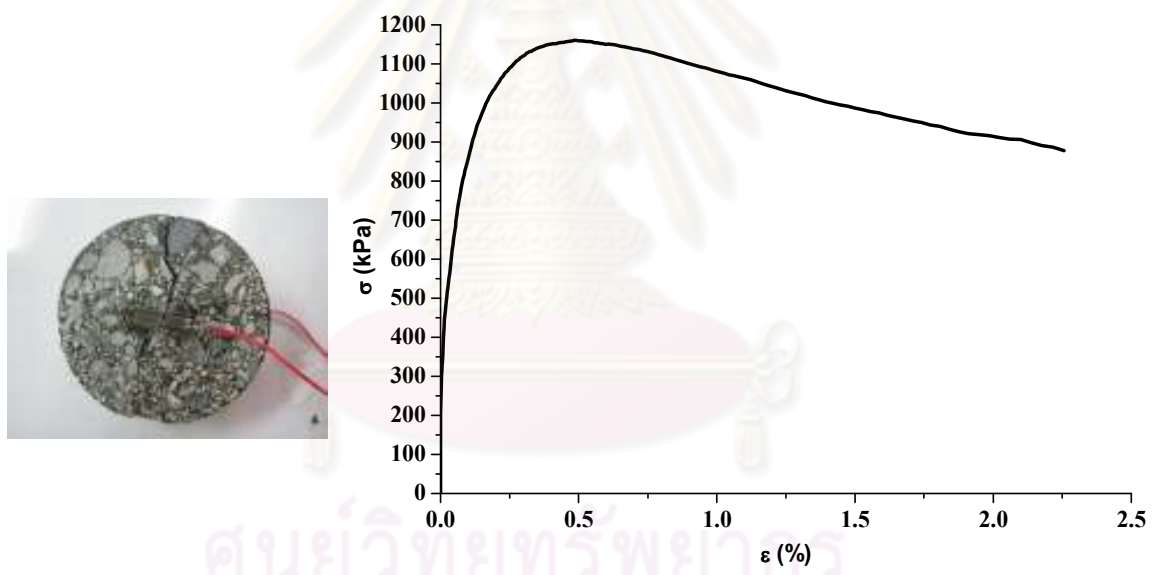
ตัวอย่างแอสฟัลติกคอนกรีต AC80/100 อุณหภูมิ 25°C อัตราความเครียด = 0.0008 ต่อวินาที



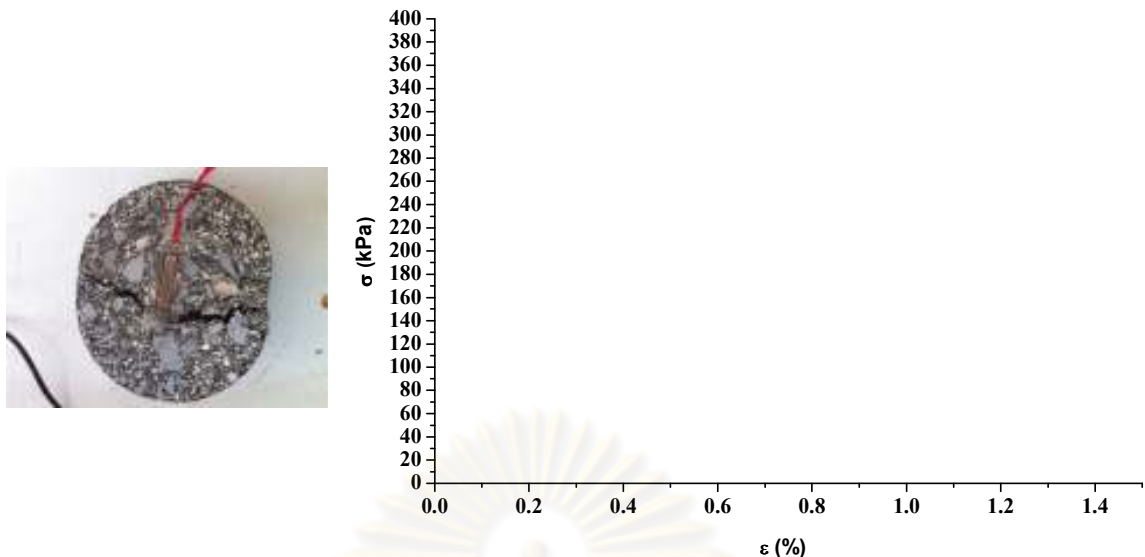
ตัวอย่างแอสฟัลติกคอนกรีต AC80/100 อุณหภูมิ 25°C อัตราความเครียด = 0.0025 ต่อวินาที



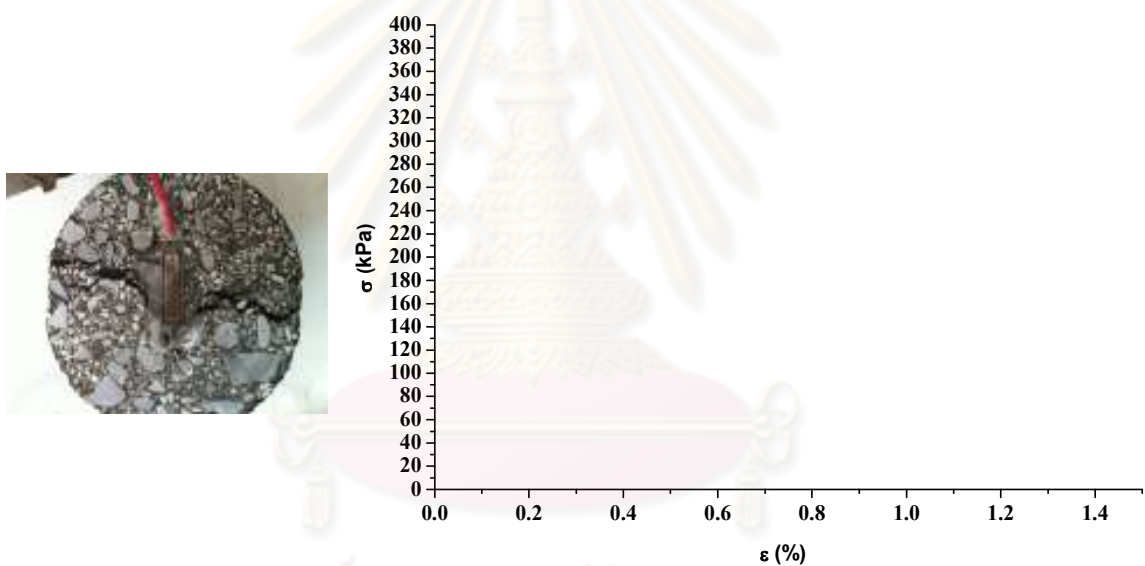
ตัวอย่างแอสฟัลติกคอนกรีต AC80/100 อุณหภูมิ 25°C อัตราความเครียด = 0.0083 ต่อวินาที



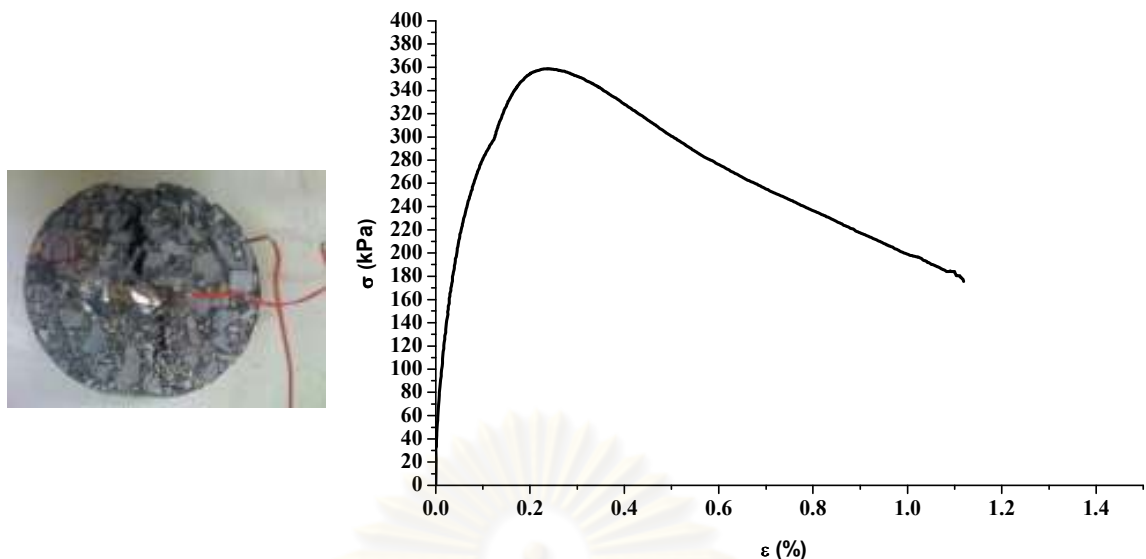
ตัวอย่างแอสฟัลติกคอนกรีต AC80/100 อุณหภูมิ 25°C อัตราความเครียด = 0.0250 ต่อวินาที



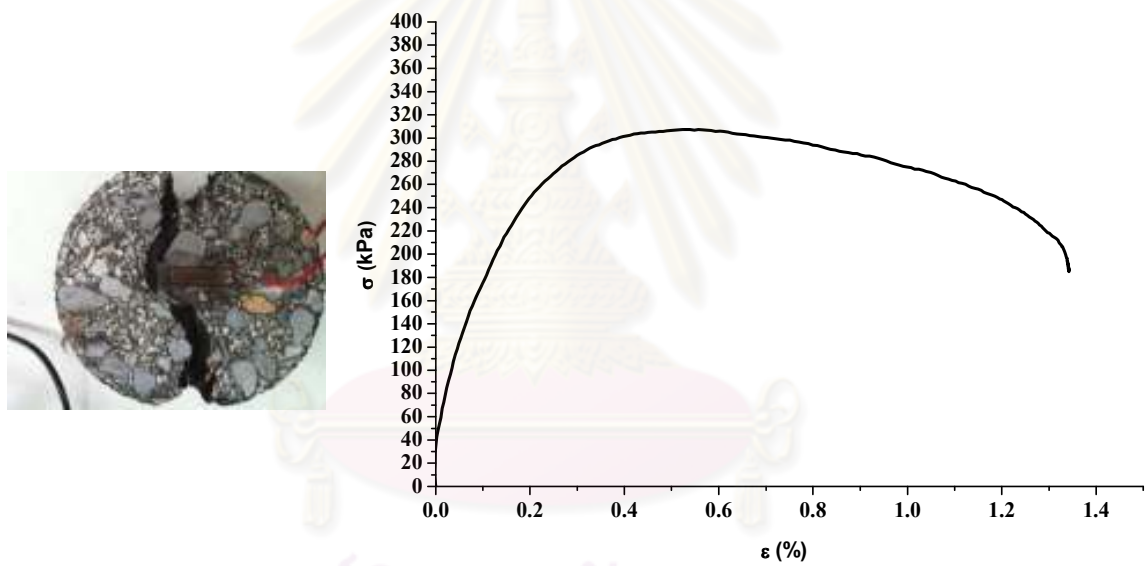
ตัวอย่างทดสอบติกคองกรีต AC80/100 อุณหภูมิ 40°C อัตราความเครียด = 0.0008 ต่อวินาที



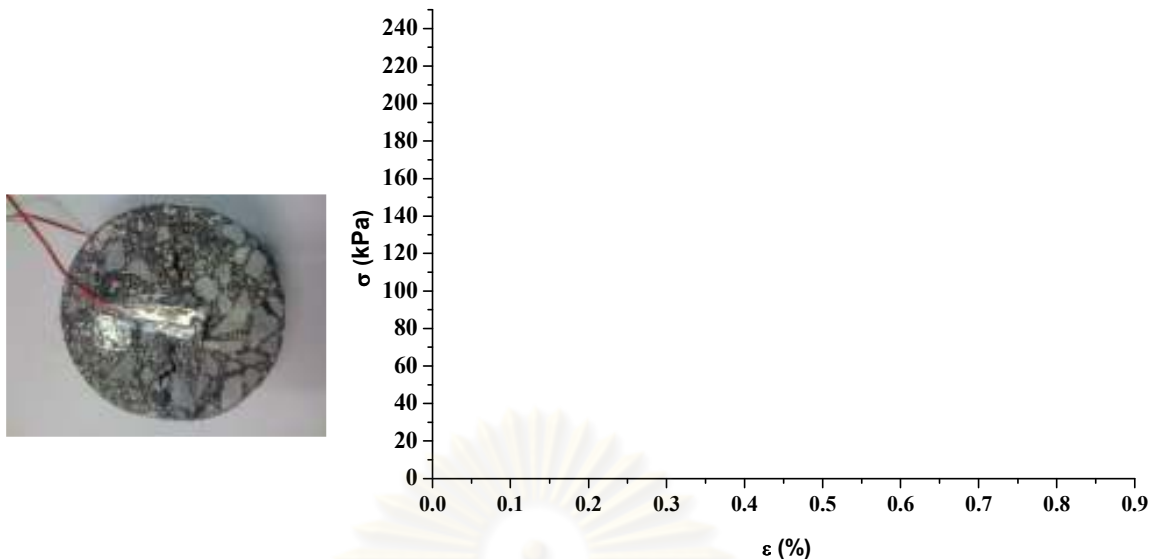
ตัวอย่างทดสอบติกคองกรีต AC80/100 อุณหภูมิ 40°C อัตราความเครียด = 0.0025 ต่อวินาที



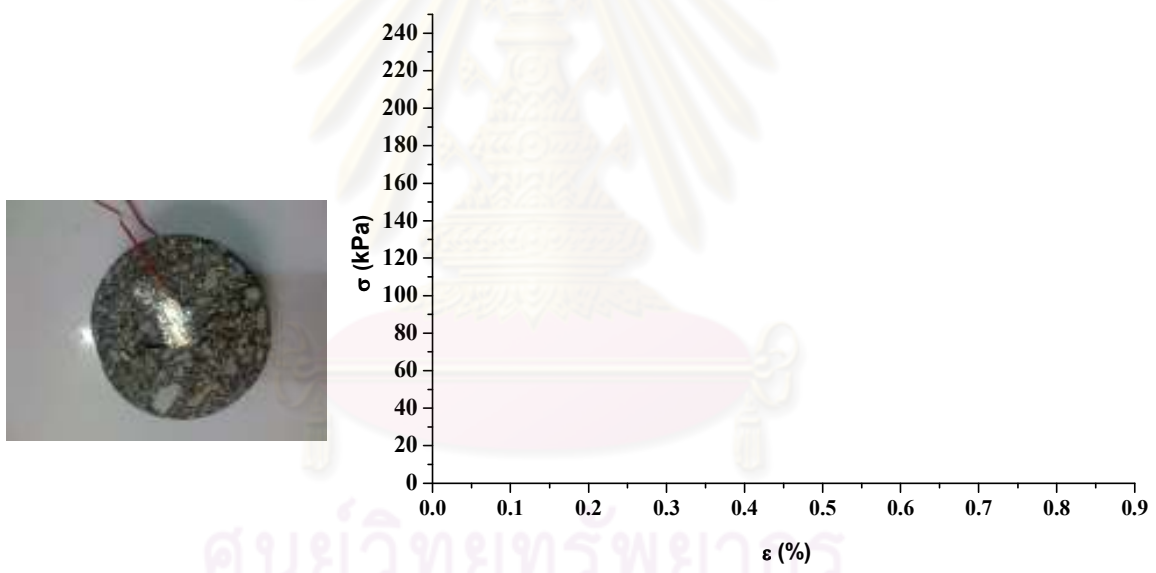
ตัวอย่างทดสอบติกคองกรีต AC80/100 อุณหภูมิ 40°C อัตราความเครียด = 0.0083 ต่อวินาที



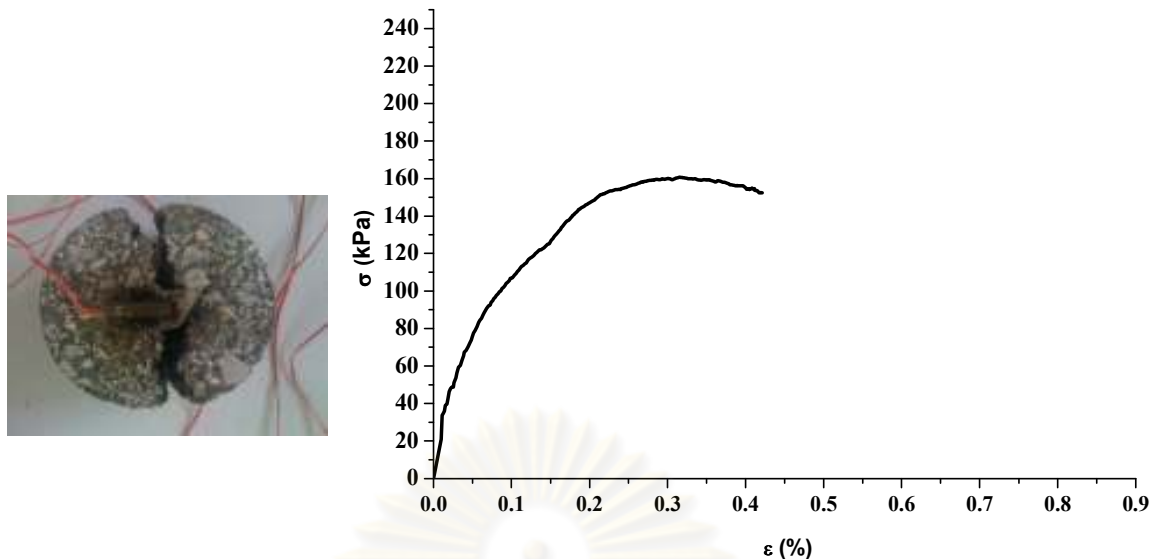
ตัวอย่างทดสอบติกคองกรีต AC80/100 อุณหภูมิ 40°C อัตราความเครียด = 0.0250 ต่อวินาที



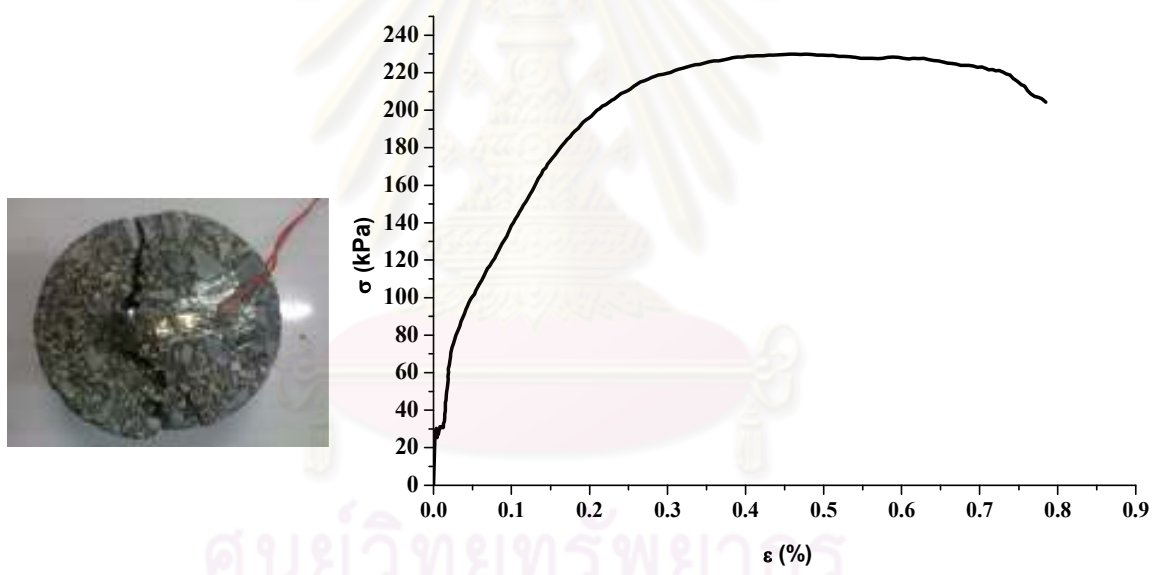
ตัวอย่างแอสฟัลติกคอนกรีต AC80/100 อุณหภูมิ 55°C อัตราความเครียด = 0.0008 ต่อวินาที



ตัวอย่างแอสฟัลติกคอนกรีต AC80/100 อุณหภูมิ 55°C อัตราความเครียด = 0.0025 ต่อวินาที

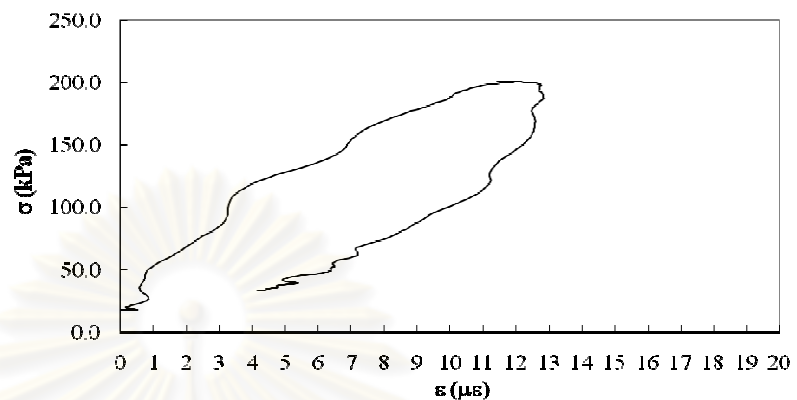


ตัวอย่างแอสฟัลติกคอนกรีต AC80/100 อุณหภูมิ 55°C อัตราความเครียด = 0.0083 ต่อวินาที

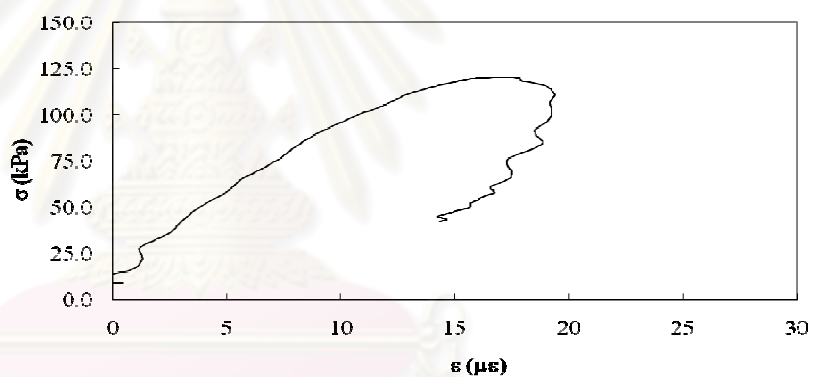


ตัวอย่างแอสฟัลติกคอนกรีต AC80/100 อุณหภูมิ 55°C อัตราความเครียด = 0.0250 ต่อวินาที

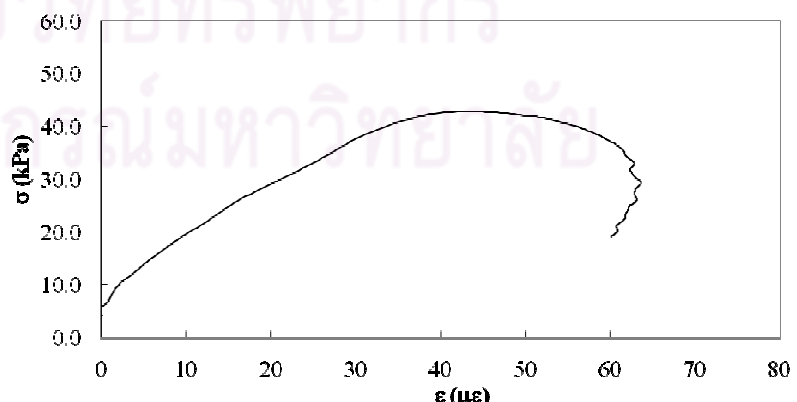
2. การทดสอบแรงดึงทางข้อมแบบพลวัต



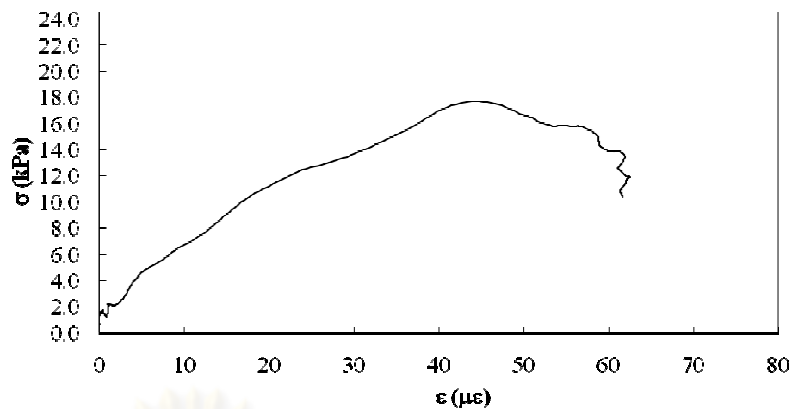
ตัวอย่างแอสฟัลติกคอนกรีต AC40/50 อุณหภูมิ 10°C



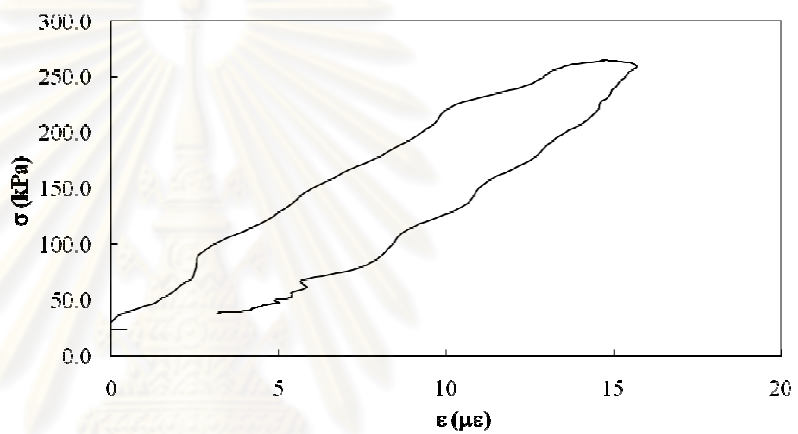
ตัวอย่างแอสฟัลติกคอนกรีต AC40/50 อุณหภูมิ 25°C



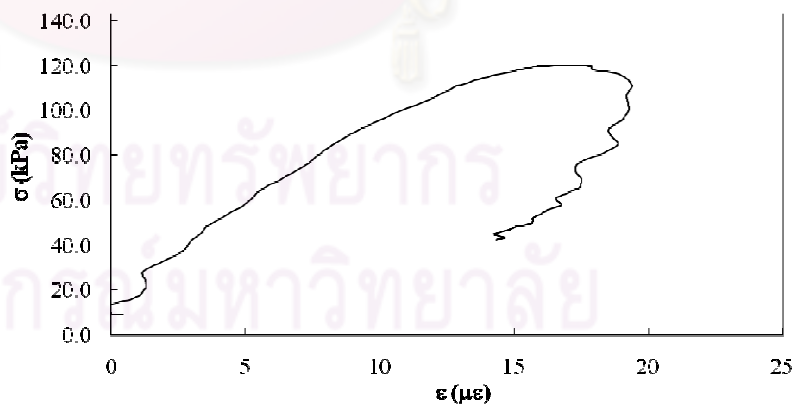
ตัวอย่างแอสฟัลติกคอนกรีต AC40/50 อุณหภูมิ 40°C



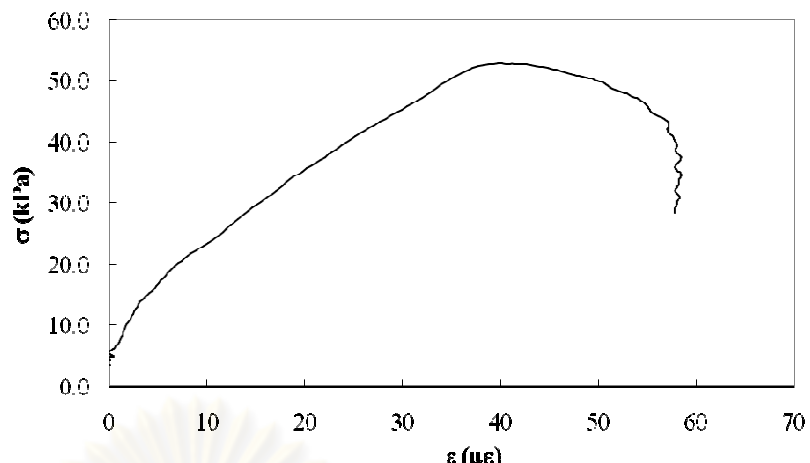
ตัวอย่างแอสฟัลติกคอนกรีต AC40/50 อุณหภูมิ 55°C



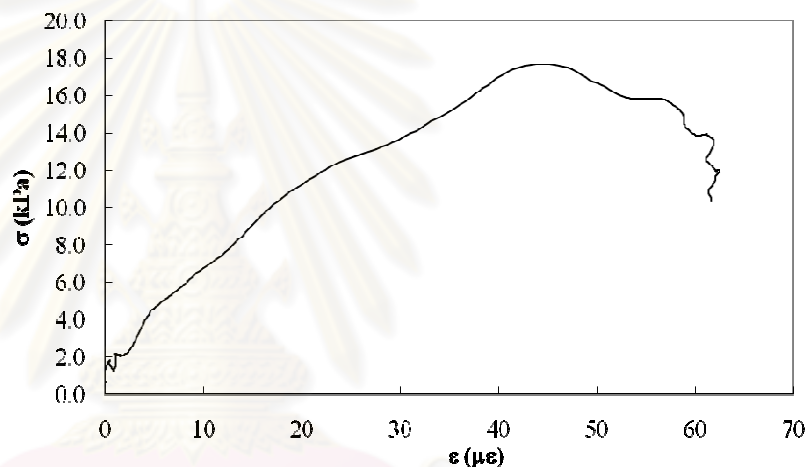
ตัวอย่างแอสฟัลติกคอนกรีต AC60/70 อุณหภูมิ 10°C



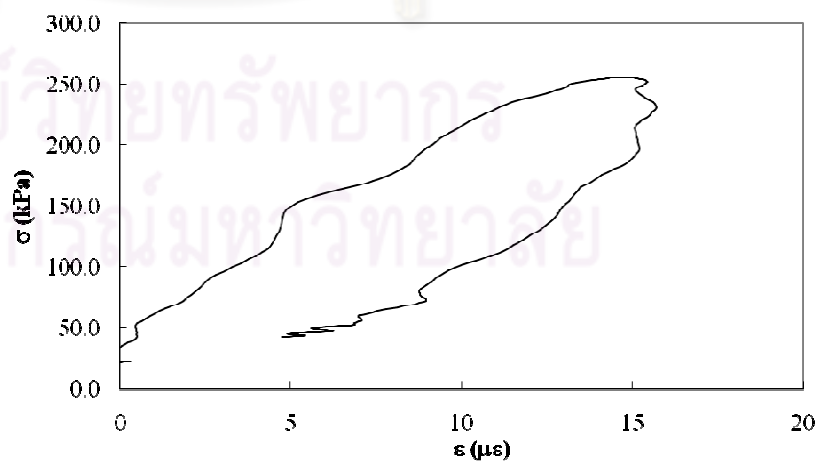
ตัวอย่างแอสฟัลติกคอนกรีต AC60/70 อุณหภูมิ 25°C



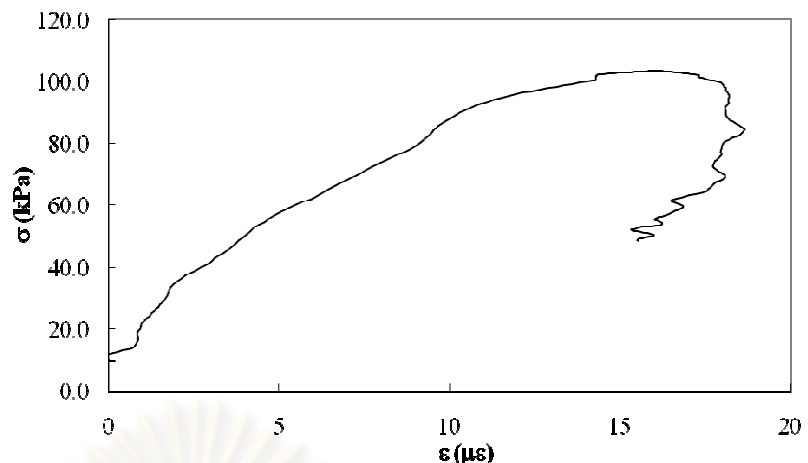
ตัวอย่างแอสฟัลติกคอนกรีต AC60/70 อุณหภูมิ 40°C



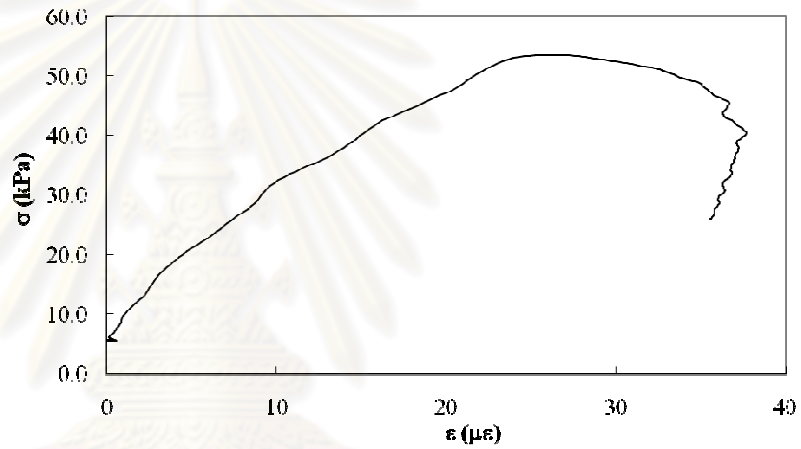
ตัวอย่างแอสฟัลติกคอนกรีต AC60/70 อุณหภูมิ 55°C



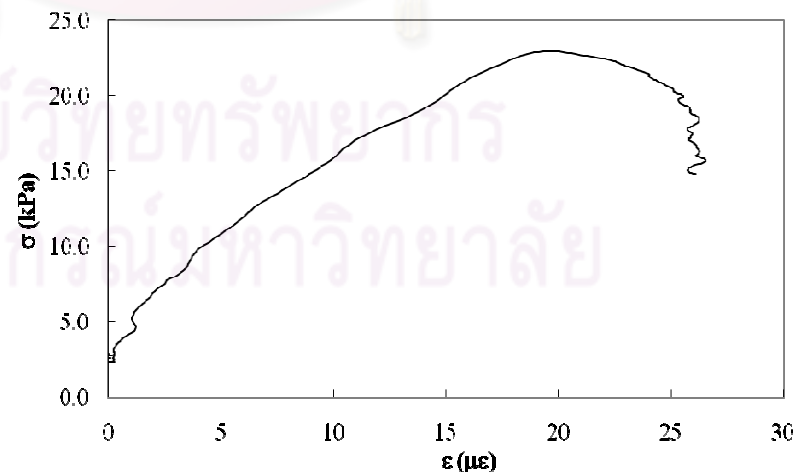
ตัวอย่างแอสฟัลติกคอนกรีต AC80/100 อุณหภูมิ 10°C



ตัวอย่างแอลฟ์ลิติกคอนกรีต AC80/100 อุณหภูมิ 25°C

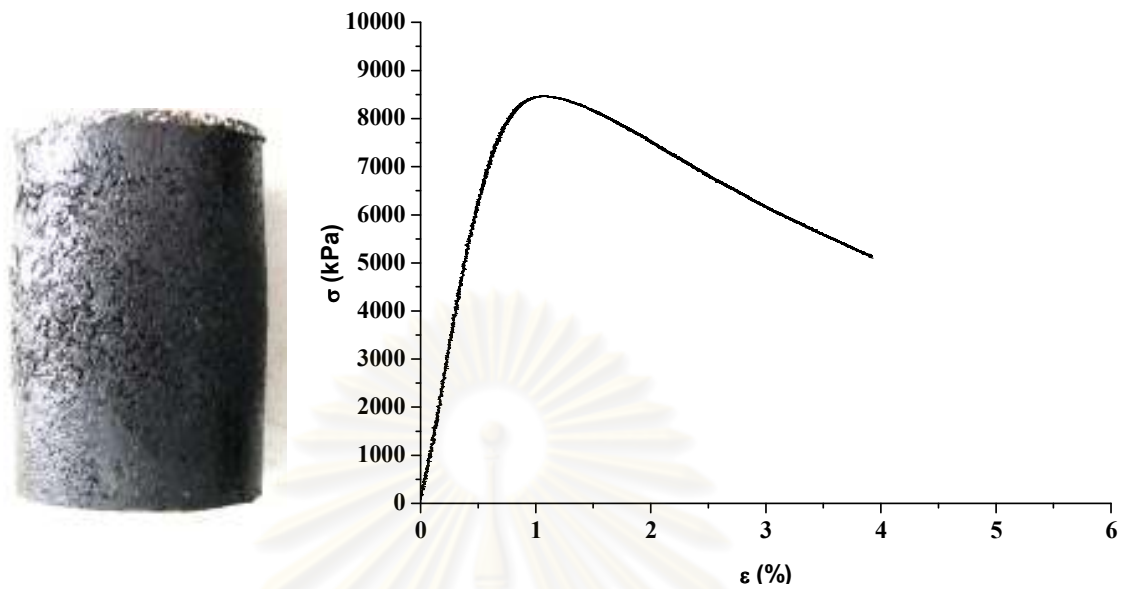


ตัวอย่างแอลฟ์ลิติกคอนกรีต AC80/100 อุณหภูมิ 40°C

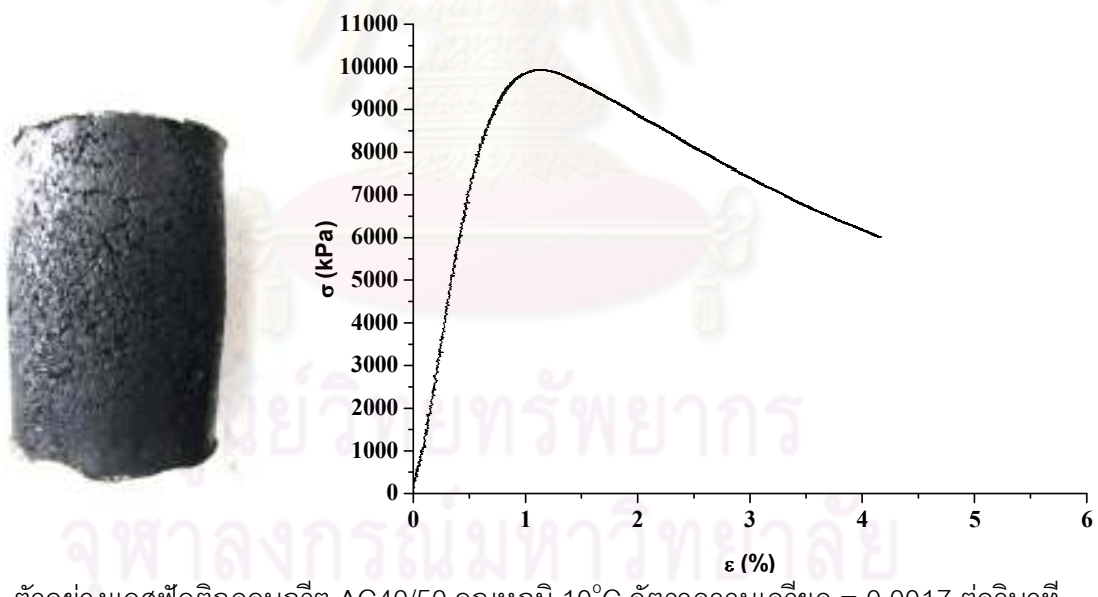


ตัวอย่างแอลฟ์ลิติกคอนกรีต AC80/100 อุณหภูมิ 55°C

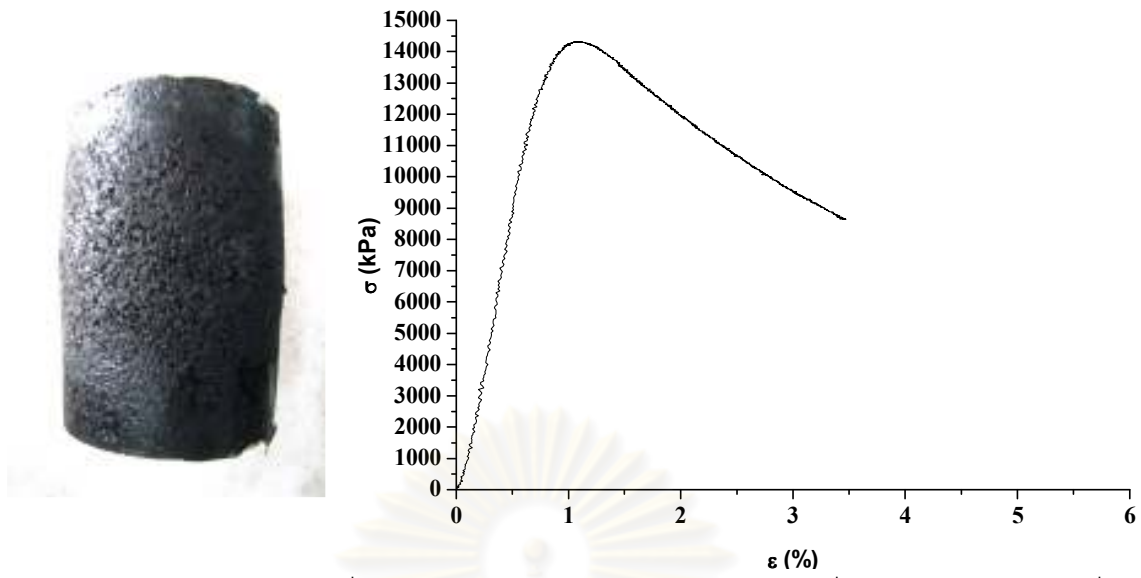
3. การทดสอบแรงอัดแบบปราศจากแรงดันด้านข้างแบบสกิต



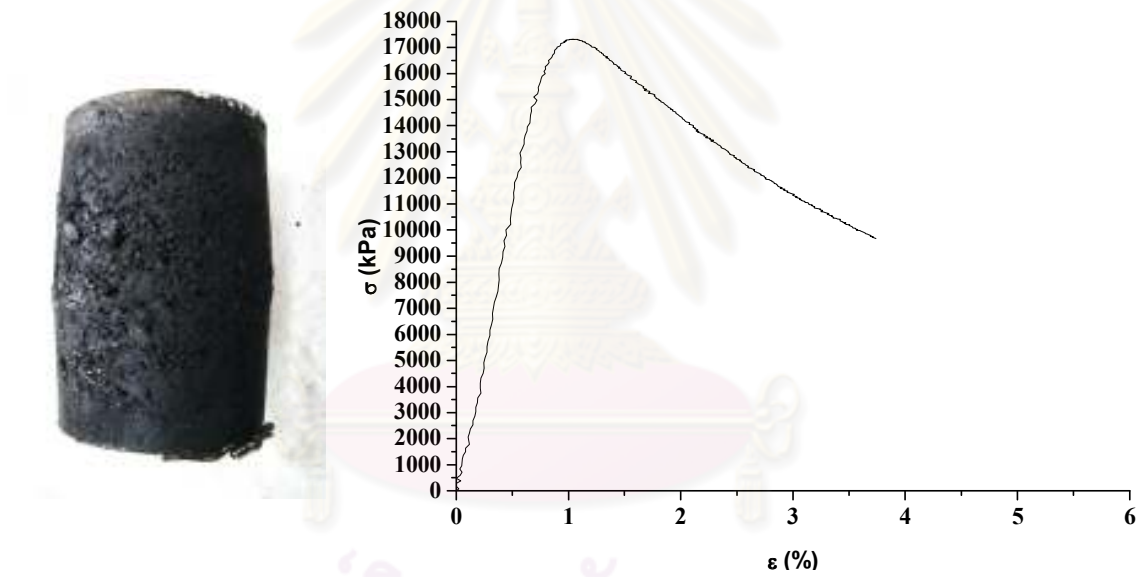
ตัวอย่างแอสฟัลติกคอนกรีต AC40/50 อุณหภูมิ 10°C อัตราความเครียด = 0.0006 ต่อวินาที



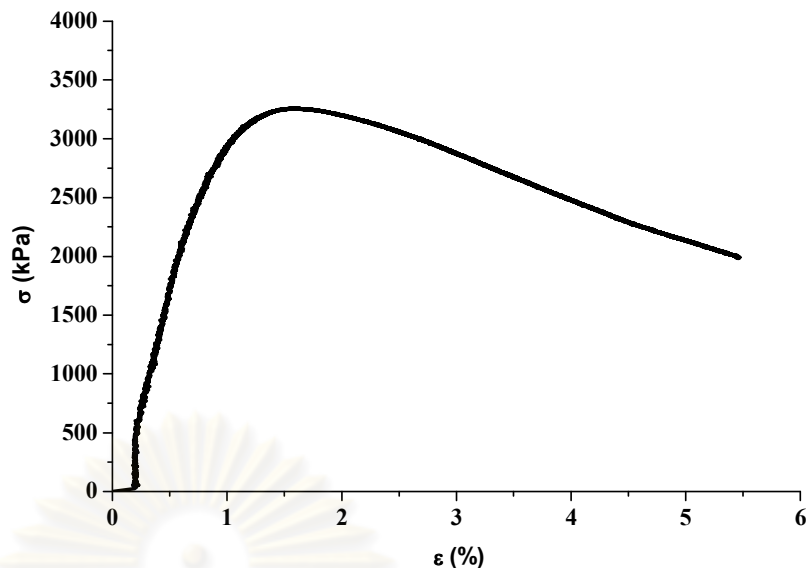
ตัวอย่างแอสฟัลติกคอนกรีต AC40/50 อุณหภูมิ 10°C อัตราความเครียด = 0.0017 ต่อวินาที



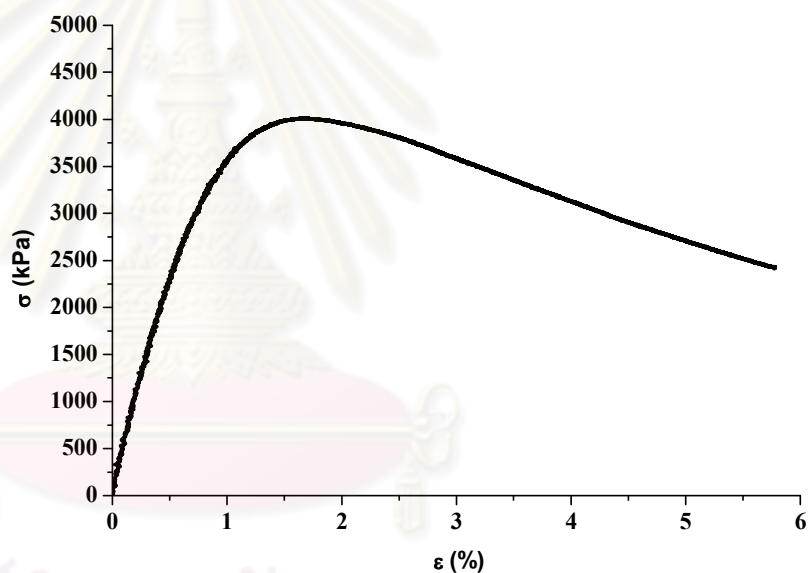
ตัวอย่างแอสฟัลติกคอนกรีต AC40/50 อุณหภูมิ 10°C อัตราความเครียด = 0.0056 ต่อวินาที



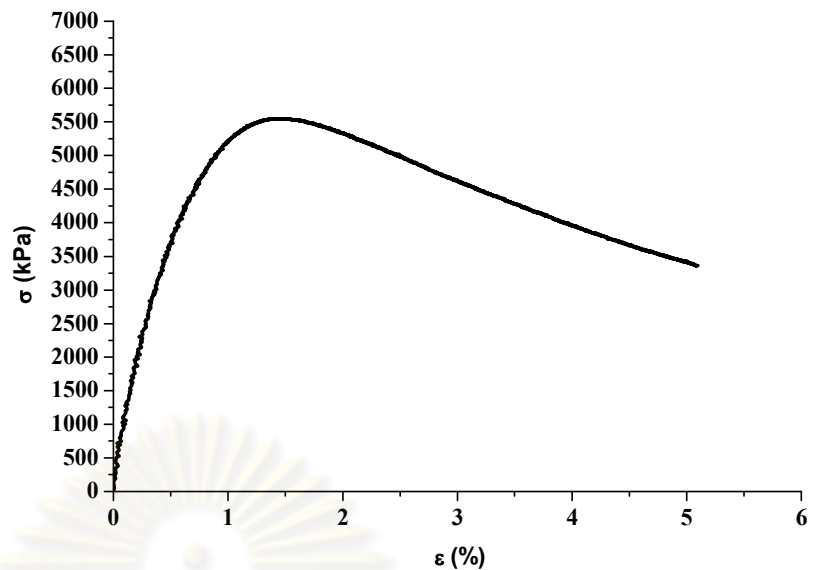
ตัวอย่างแอสฟัลติกคอนกรีต AC40/50 อุณหภูมิ 10°C อัตราความเครียด = 0.0167 ต่อวินาที



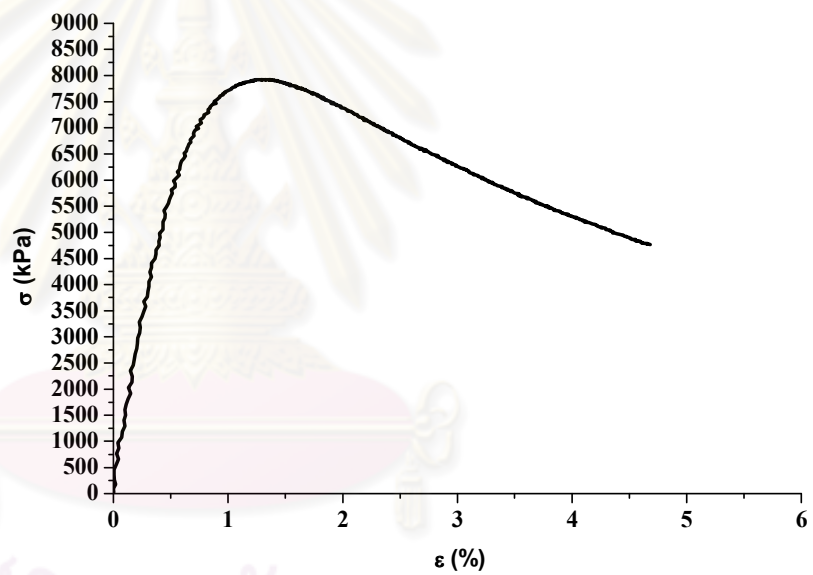
ตัวอย่างแอสฟัลติกคอนกรีต AC40/50 อุณหภูมิ 25°C อัตราความเครียด = 0.0006 ต่อวินาที



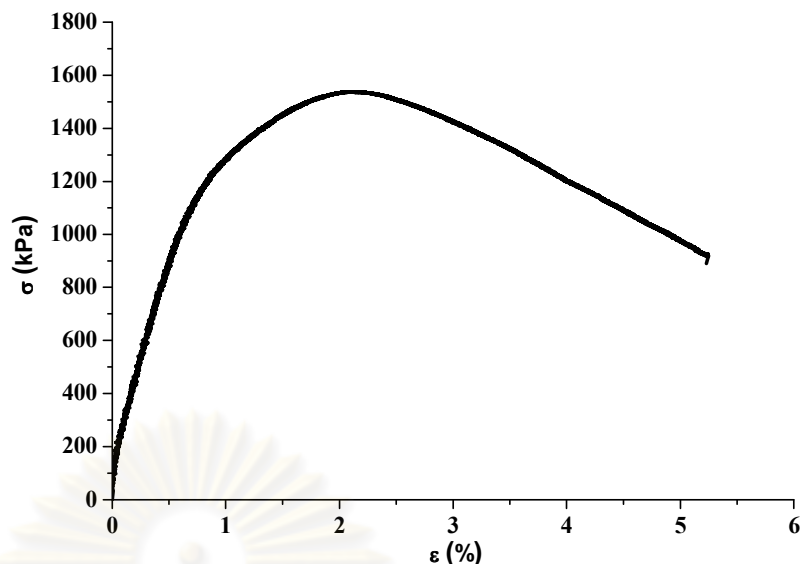
ตัวอย่างแอสฟัลติกคอนกรีต AC40/50 อุณหภูมิ 25°C อัตราความเครียด = 0.0017 ต่อวินาที



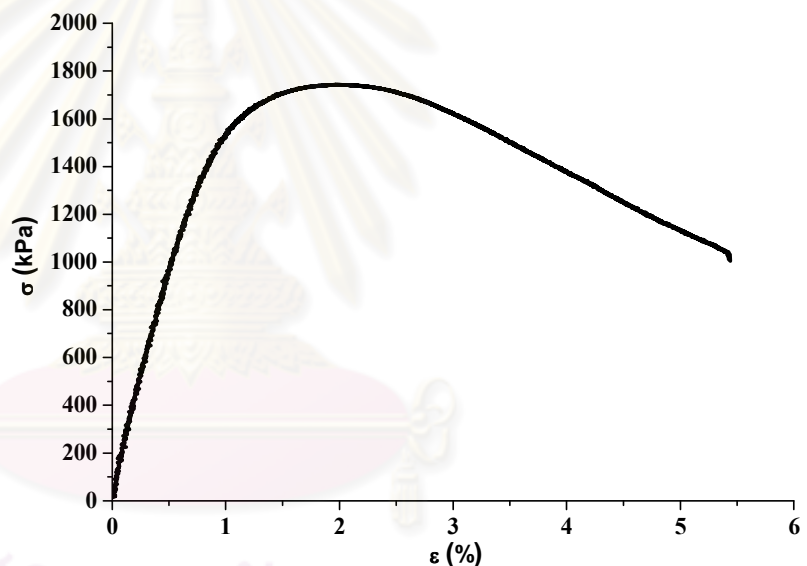
ตัวอย่างแอสฟัลติกคอนกรีต AC40/50 อุณหภูมิ 25°C อัตราความเครียด = 0.0056 ต่อวินาที



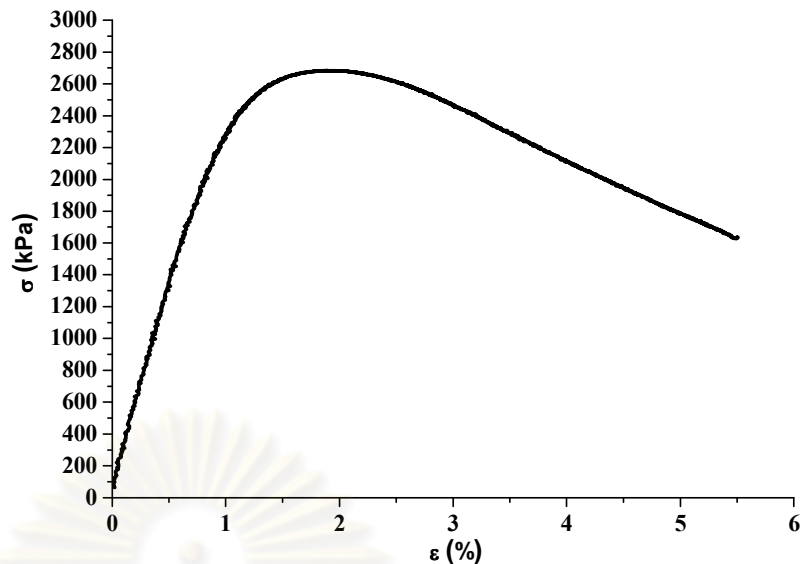
ตัวอย่างแอสฟัลติกคอนกรีต AC40/50 อุณหภูมิ 25°C อัตราความเครียด = 0.0167 ต่อวินาที



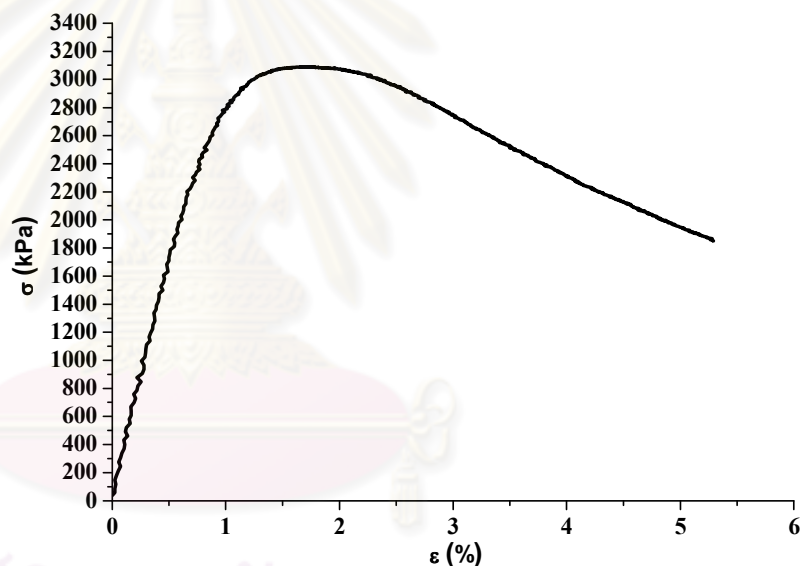
ตัวอย่างแอสฟัลติกคอนกรีต AC40/50 อุณหภูมิ 40°C อัตราความเครียด = 0.0006 ต่อวินาที



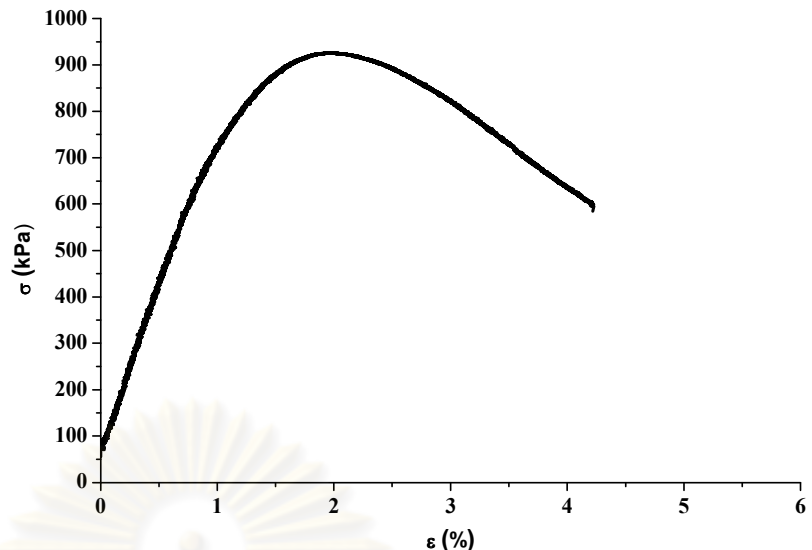
ตัวอย่างแอสฟัลติกคอนกรีต AC40/50 อุณหภูมิ 40°C อัตราความเครียด = 0.0017 ต่อวินาที



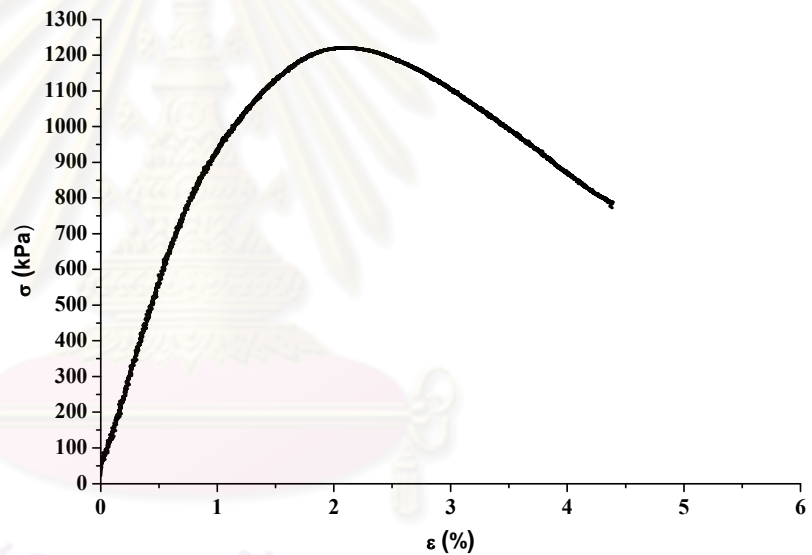
ตัวอย่างแอสฟัลติกคอนกรีต AC40/50 อุณหภูมิ 40°C อัตราความเครียด = 0.0056 ต่อวินาที



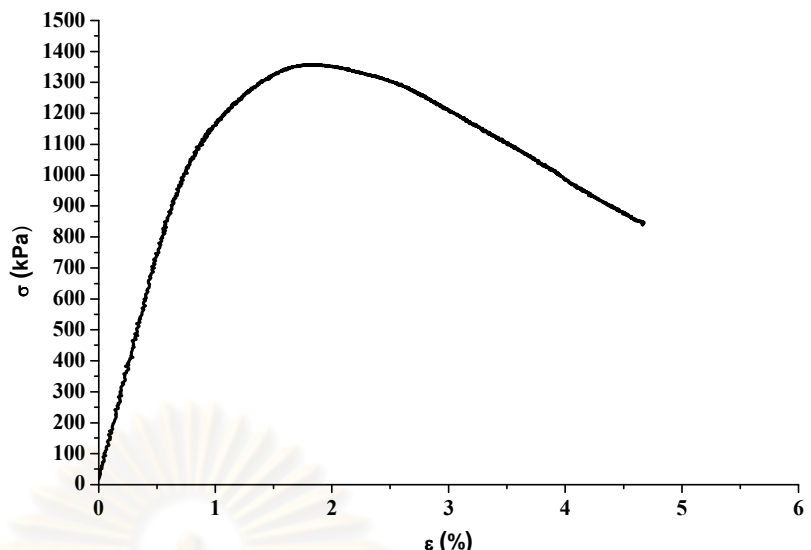
ตัวอย่างแอสฟัลติกคอนกรีต AC40/50 อุณหภูมิ 40°C อัตราความเครียด = 0.0167 ต่อวินาที



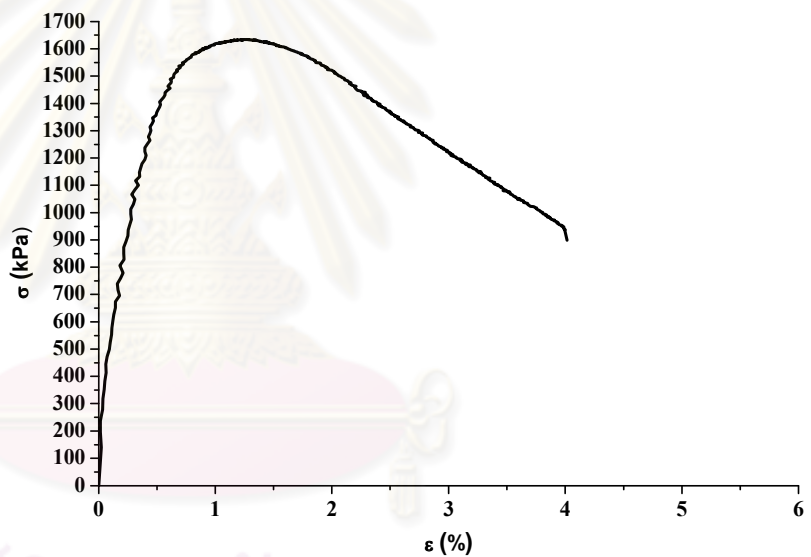
ตัวอย่างแอสฟัลติกคอนกรีต AC40/50 อุณหภูมิ 55°C อัตราความเครียด = 0.0006 ต่อวินาที



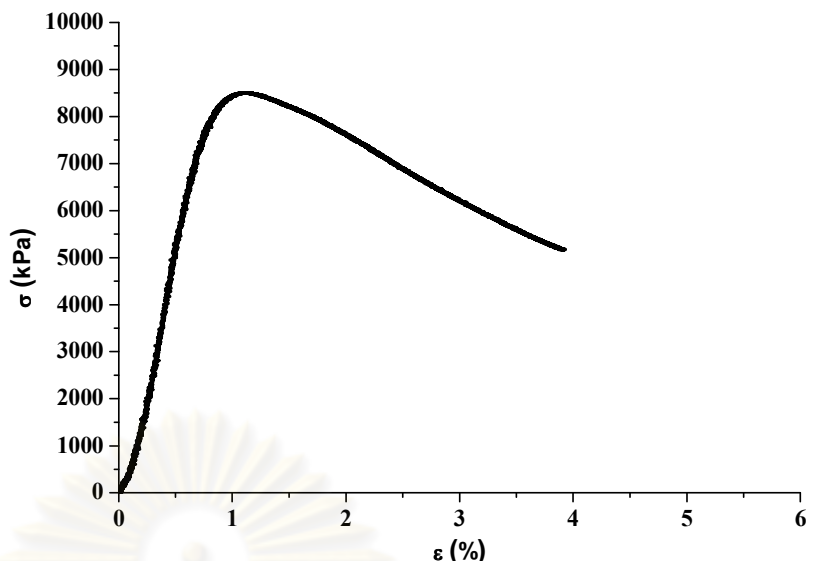
ตัวอย่างแอสฟัลติกคอนกรีต AC40/50 อุณหภูมิ 55°C อัตราความเครียด = 0.0017 ต่อวินาที



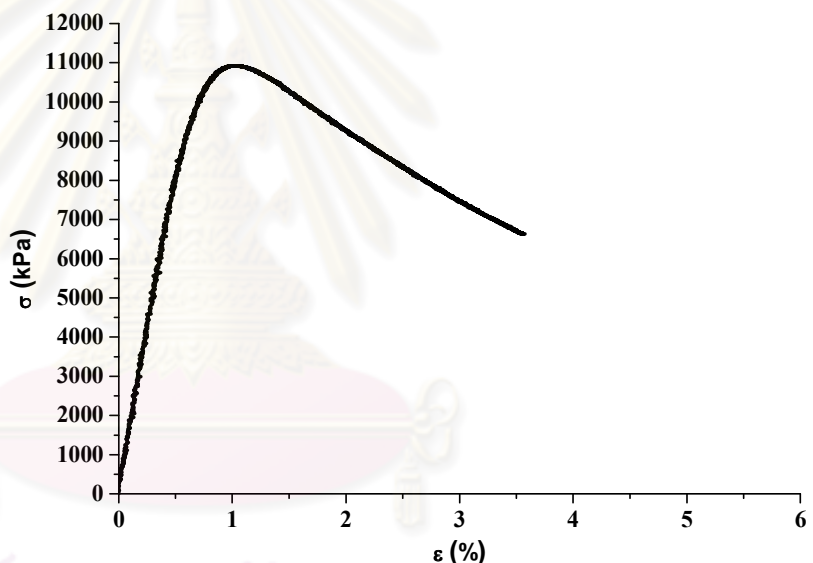
ตัวอย่างแอสฟัลติกคอนกรีต AC40/50 อุณหภูมิ 55°C อัตราความเครียด = 0.0056 ต่อวินาที



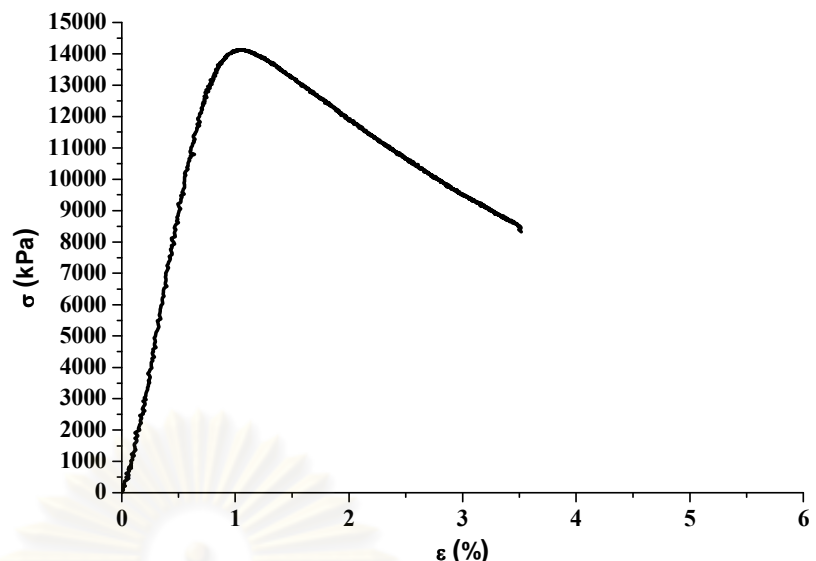
ตัวอย่างแอสฟัลติกคอนกรีต AC40/50 อุณหภูมิ 55°C อัตราความเครียด = 0.0167 ต่อวินาที



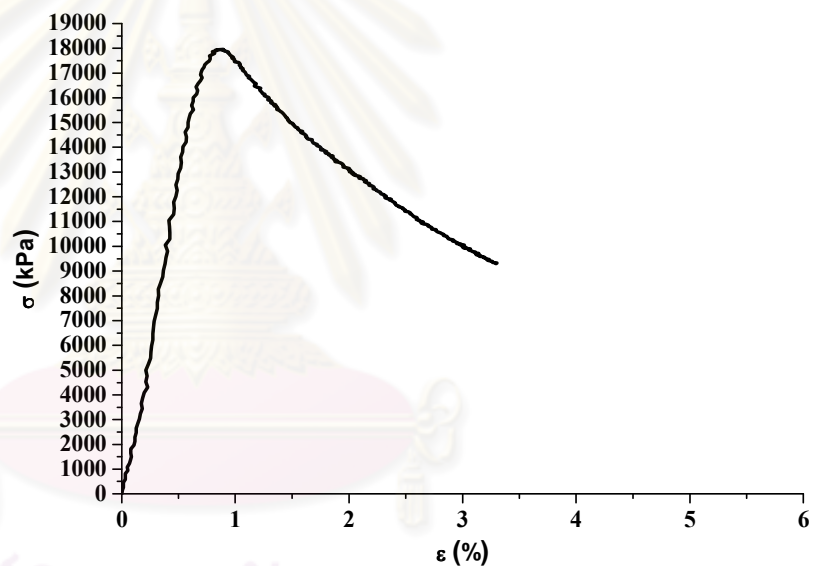
ตัวอย่างแอสฟัลติกคอนกรีต AC60/70 อุณหภูมิ 10°C อัตราความเครียด = 0.0006 ต่อวินาที



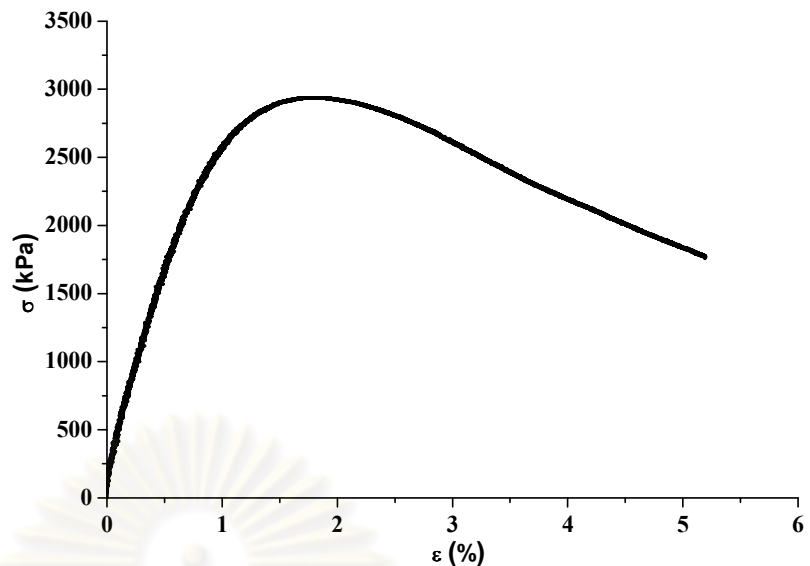
ตัวอย่างแอสฟัลติกคอนกรีต AC60/70 อุณหภูมิ 10°C อัตราความเครียด = 0.0017 ต่อวินาที



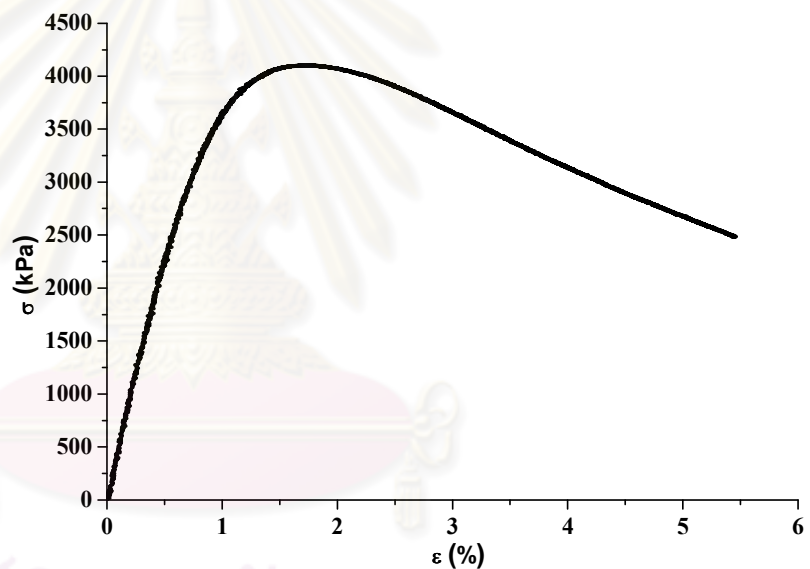
ตัวอย่างแอสฟัลติกคอนกรีต AC60/70 อุณหภูมิ 10°C อัตราความเครียด = 0.0056 ต่อวินาที



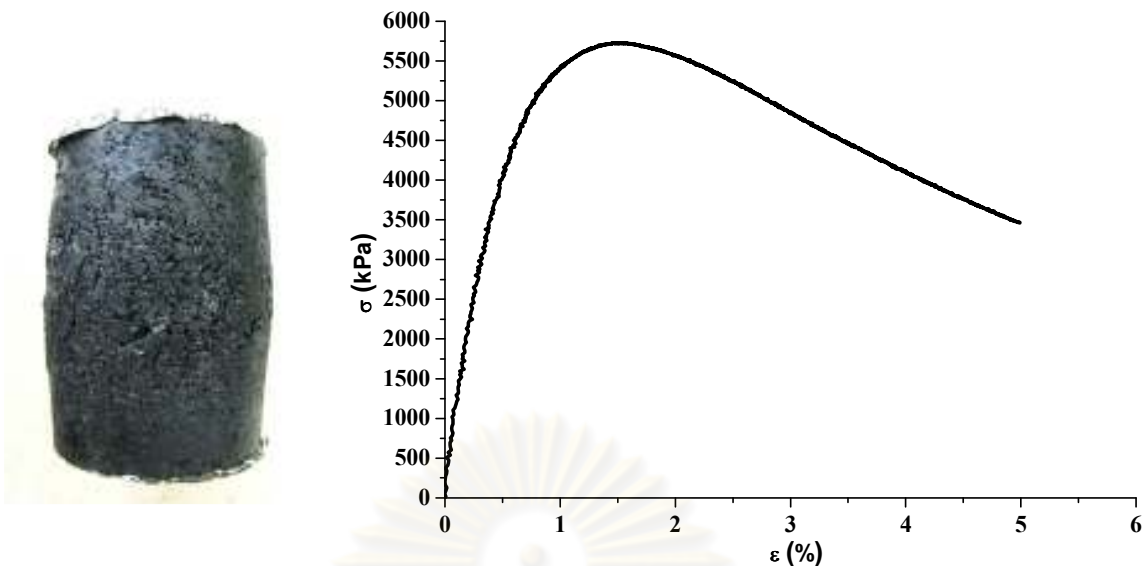
ตัวอย่างแอสฟัลติกคอนกรีต AC60/70 อุณหภูมิ 10°C อัตราความเครียด = 0.0167 ต่อวินาที



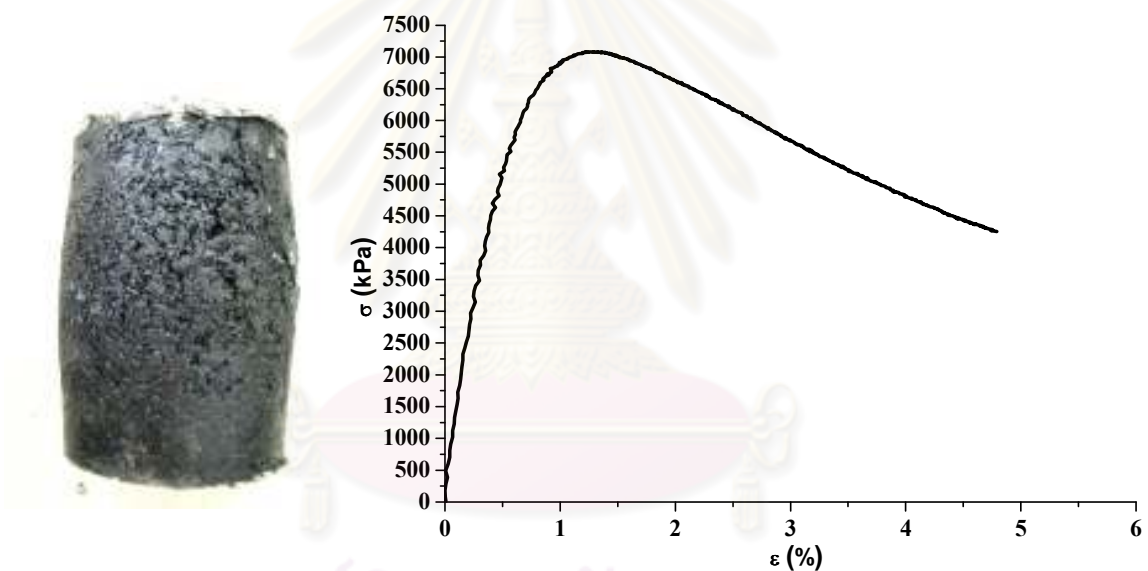
ตัวอย่างแอสฟัลติกคอนกรีต AC60/70 อุณหภูมิ 25°C อัตราความเครียด = 0.0006 ต่อวินาที



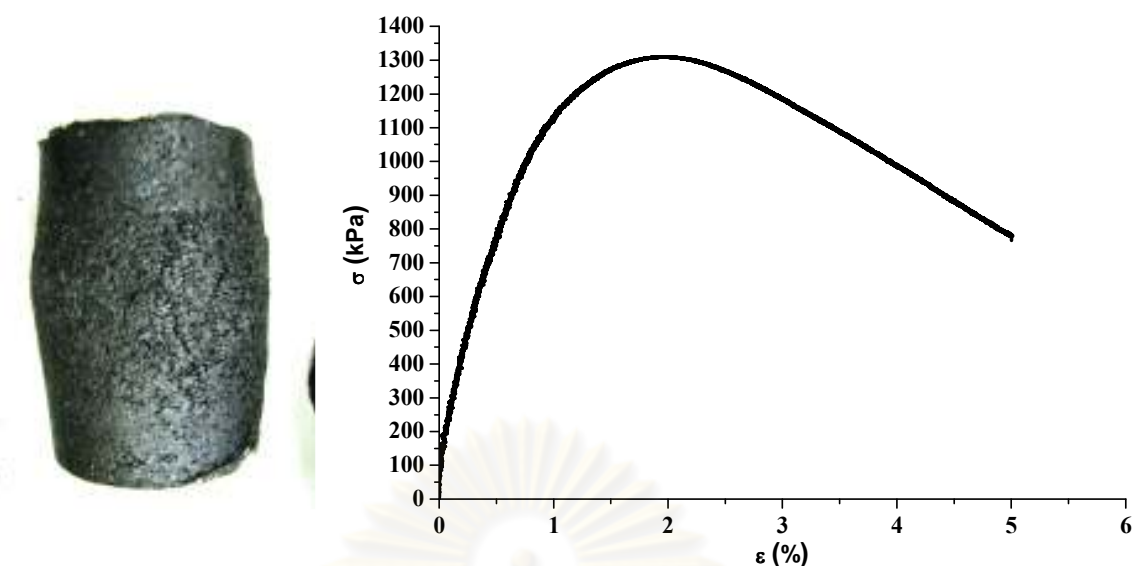
ตัวอย่างแอสฟัลติกคอนกรีต AC60/70 อุณหภูมิ 25°C อัตราความเครียด = 0.0017 ต่อวินาที



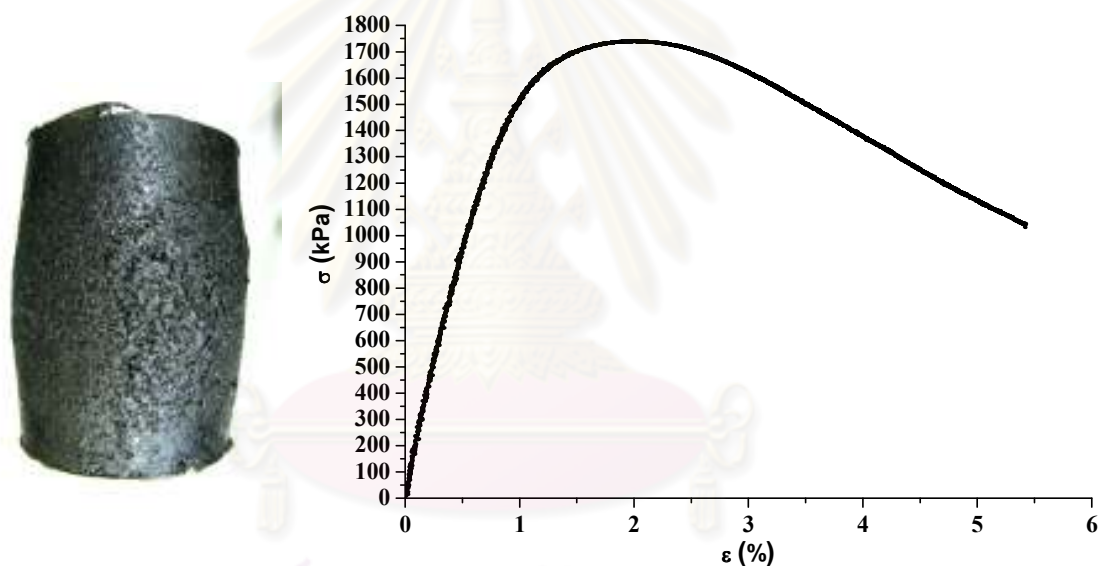
ตัวอย่างแอสฟัลติกคอนกรีต AC60/70 อุณหภูมิ 25°C อัตราความเครียด = 0.0056 ต่อวินาที



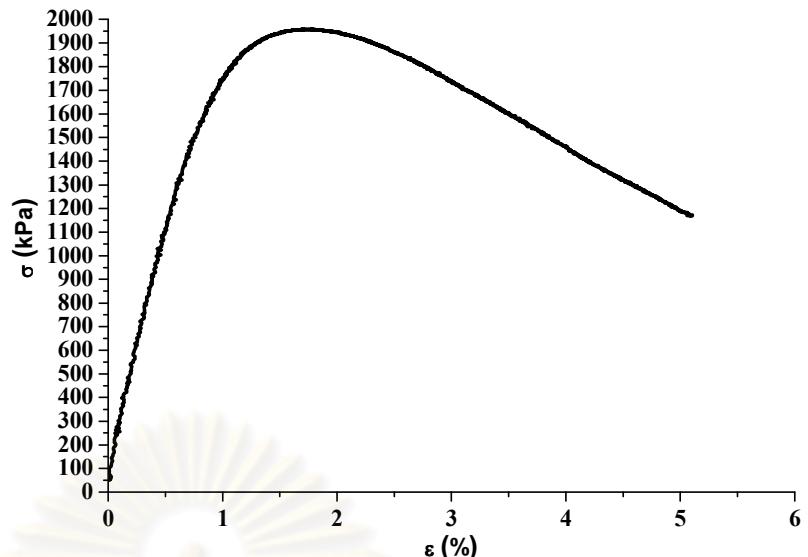
ตัวอย่างแอสฟัลติกคอนกรีต AC60/70 อุณหภูมิ 25°C อัตราความเครียด = 0.0167 ต่อวินาที



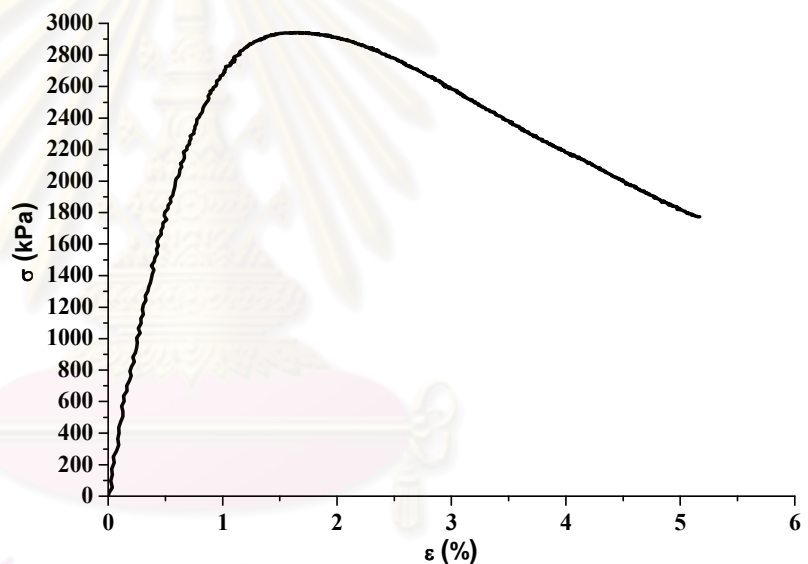
ตัวอย่างแอสฟัลติกคอนกรีต AC60/70 อุณหภูมิ 40°C อัตราความเครียด = 0.0006 ต่อวินาที



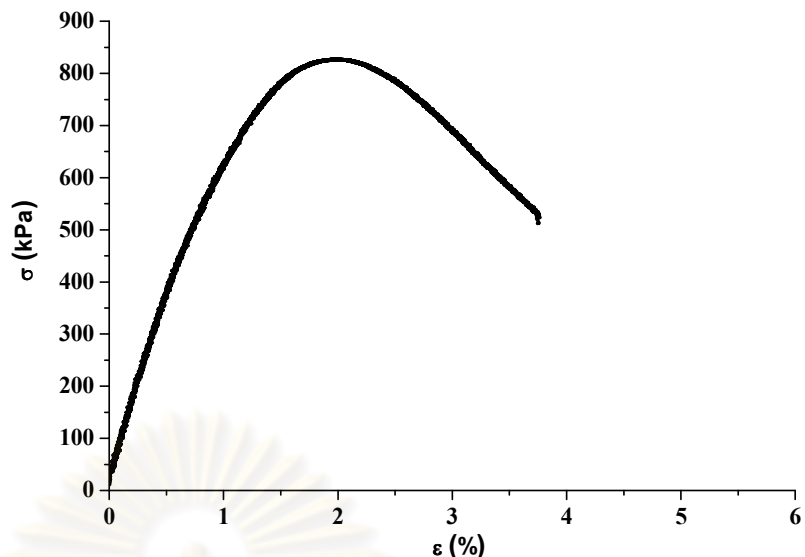
ตัวอย่างแอสฟัลติกคอนกรีต AC60/70 อุณหภูมิ 40°C อัตราความเครียด = 0.0017 ต่อวินาที



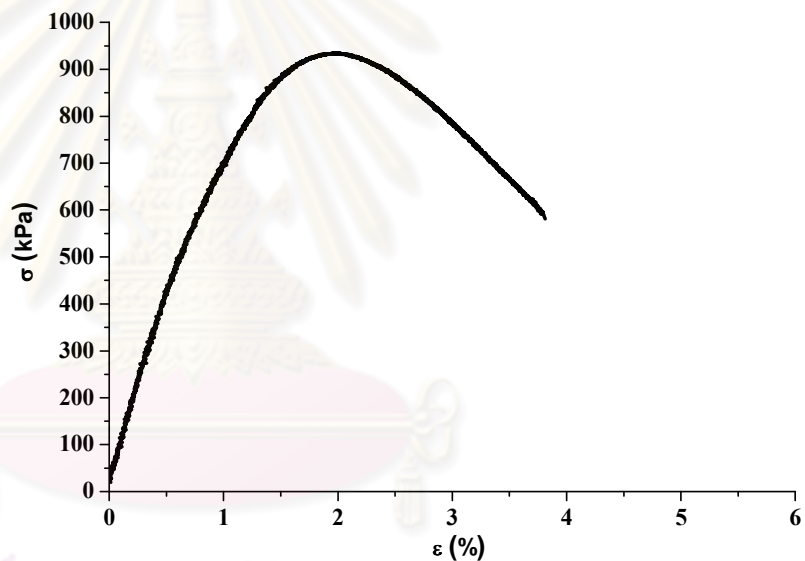
ตัวอย่างแอสฟัลติกคอนกรีต AC60/70 อุณหภูมิ 40°C อัตราความเครียด = 0.0056 ต่อวินาที



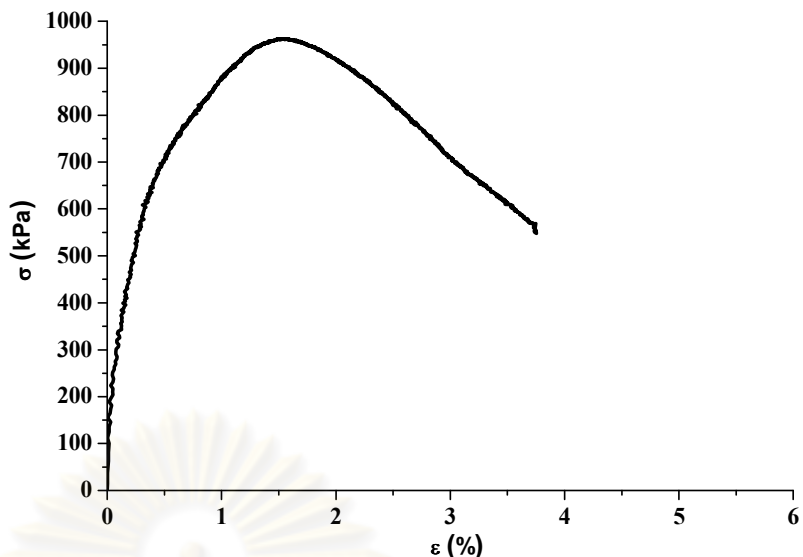
ตัวอย่างแอสฟัลติกคอนกรีต AC60/70 อุณหภูมิ 40°C อัตราความเครียด = 0.0167 ต่อวินาที



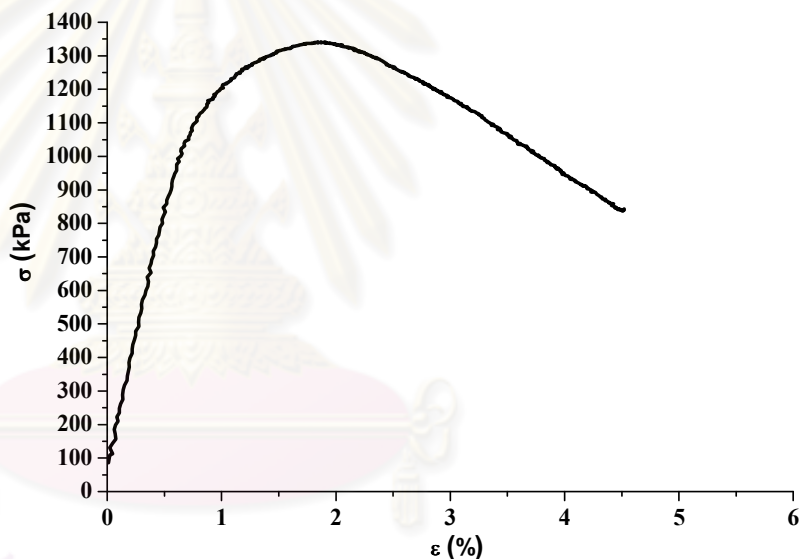
ตัวอย่างแอสฟัลติกคอนกรีต AC60/70 อุณหภูมิ 55°C อัตราความเครียด = 0.0006 ต่อวินาที



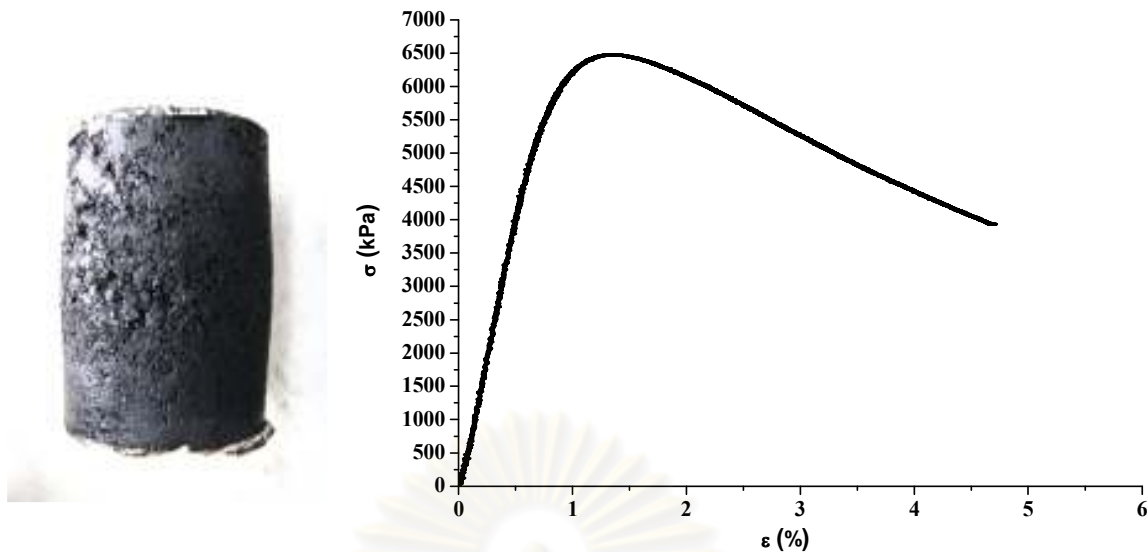
ตัวอย่างแอสฟัลติกคอนกรีต AC60/70 อุณหภูมิ 55°C อัตราความเครียด = 0.0017 ต่อวินาที



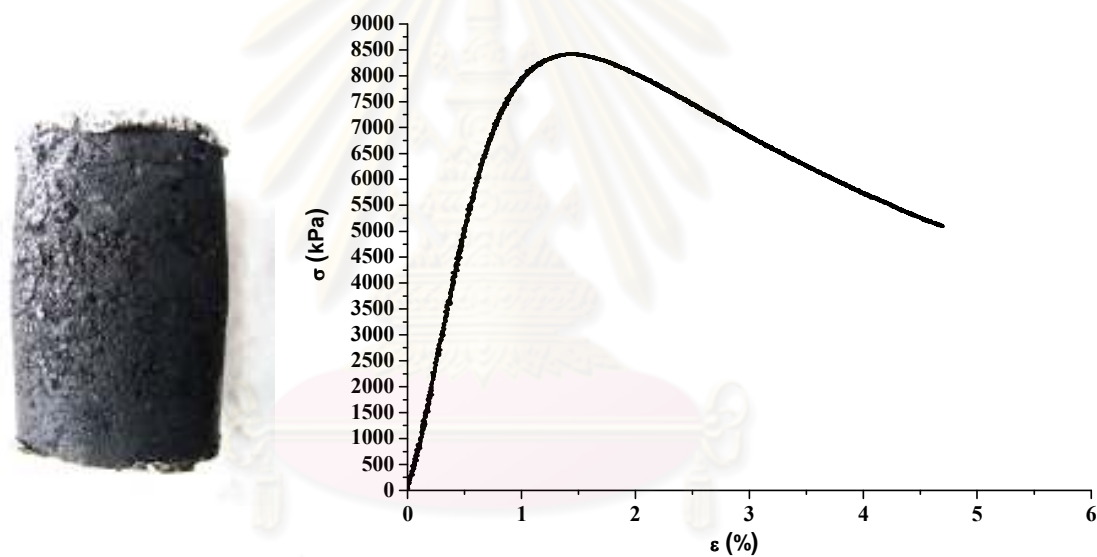
ตัวอย่างแอสฟัลติกคอนกรีต AC60/70 อุณหภูมิ 55°C อัตราความเครียด = 0.0056 ต่อวินาที



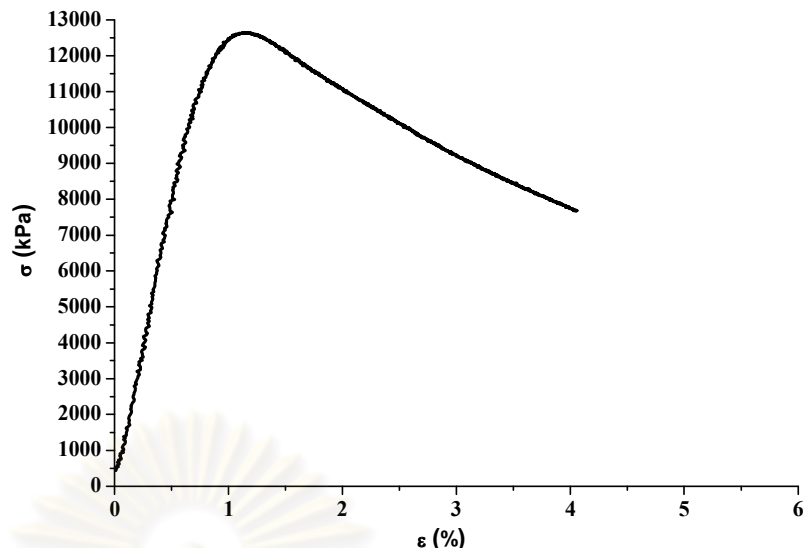
ตัวอย่างแอสฟัลติกคอนกรีต AC60/70 อุณหภูมิ 55°C อัตราความเครียด = 0.0167 ต่อวินาที



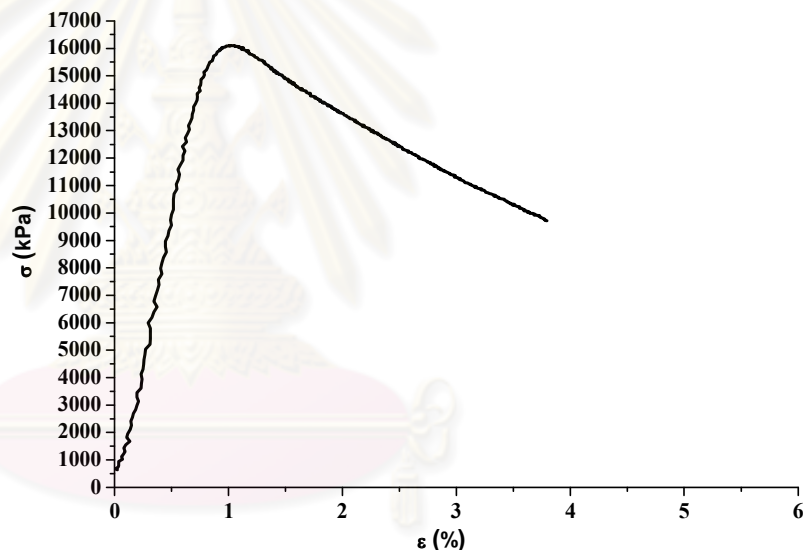
ตัวอย่างแอสฟัลติกคอนกรีต AC80/100 อุณหภูมิ 10°C อัตราความเครียด = 0.0006 ต่อวินาที



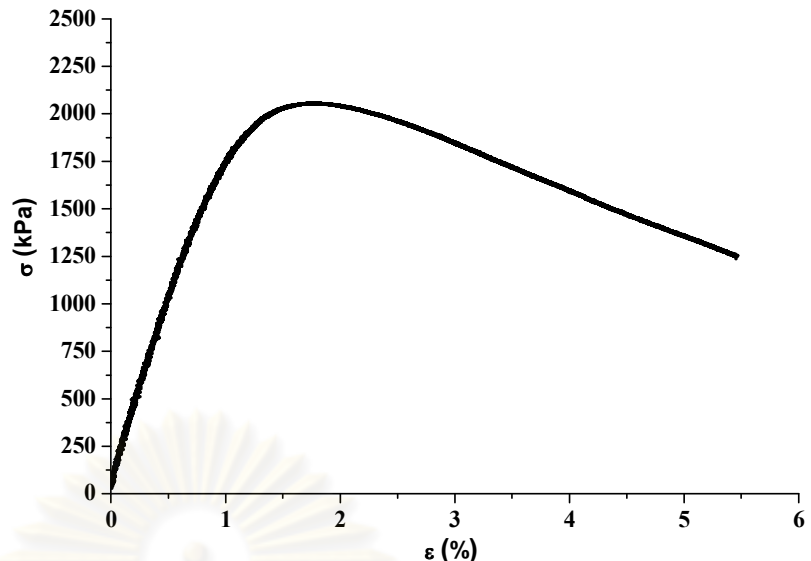
ตัวอย่างแอสฟัลติกคอนกรีต AC80/100 อุณหภูมิ 10°C อัตราความเครียด = 0.0017 ต่อวินาที



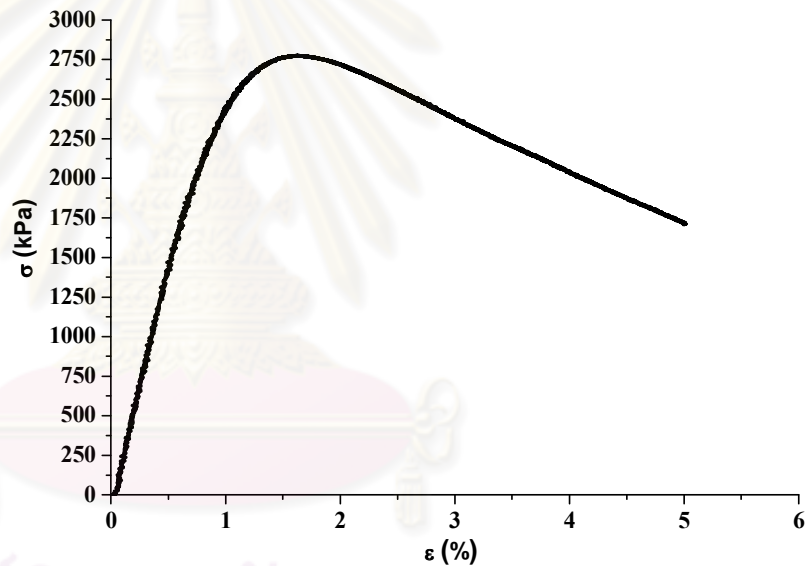
ตัวอย่างทดสอบติกคองกรีต AC80/100 อุณหภูมิ 10°C อัตราความเครียด = 0.0056 ต่อวินาที



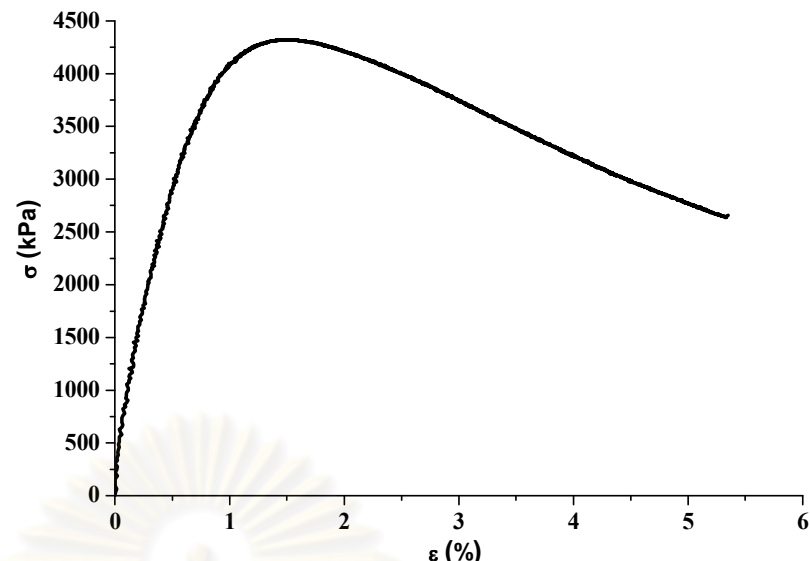
ตัวอย่างทดสอบติกคองกรีต AC80/100 อุณหภูมิ 10°C อัตราความเครียด = 0.0167 ต่อวินาที



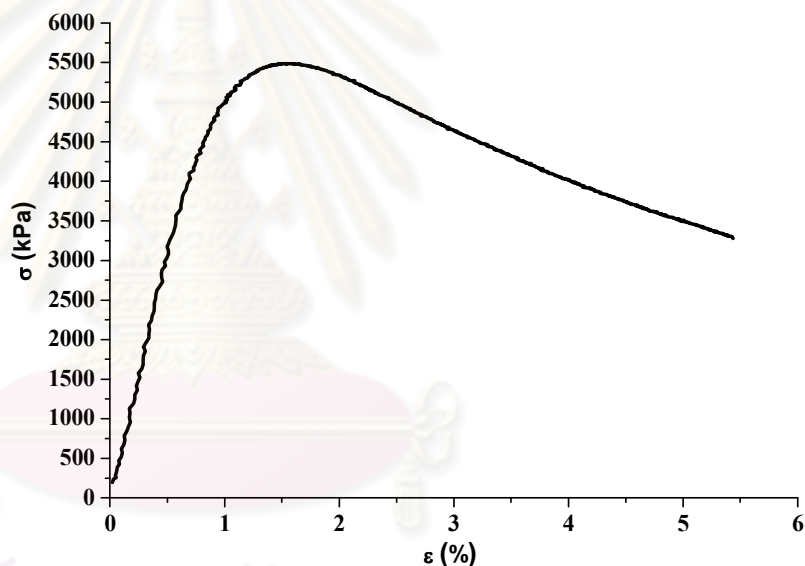
ตัวอย่างแอสฟัลติกคอนกรีต AC80/100 อุณหภูมิ 25°C อัตราความเครียด = 0.0006 ต่อวินาที



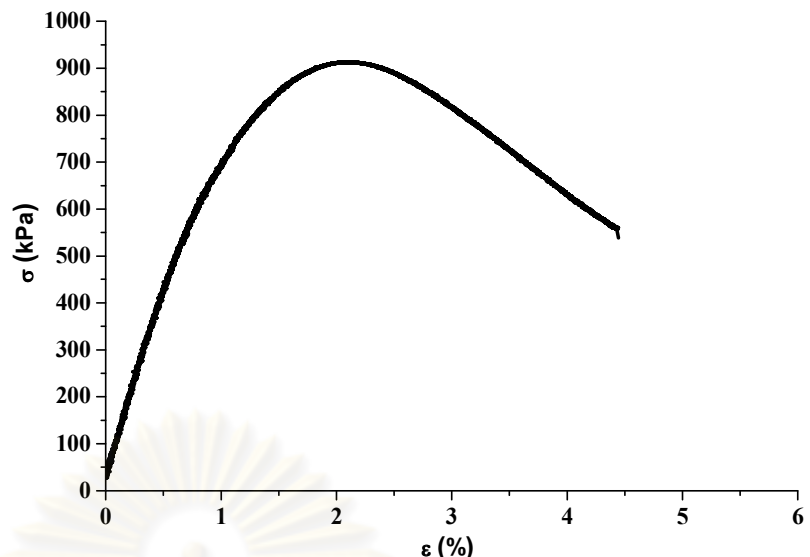
ตัวอย่างแอสฟัลติกคอนกรีต AC80/100 อุณหภูมิ 25°C อัตราความเครียด = 0.0017 ต่อวินาที



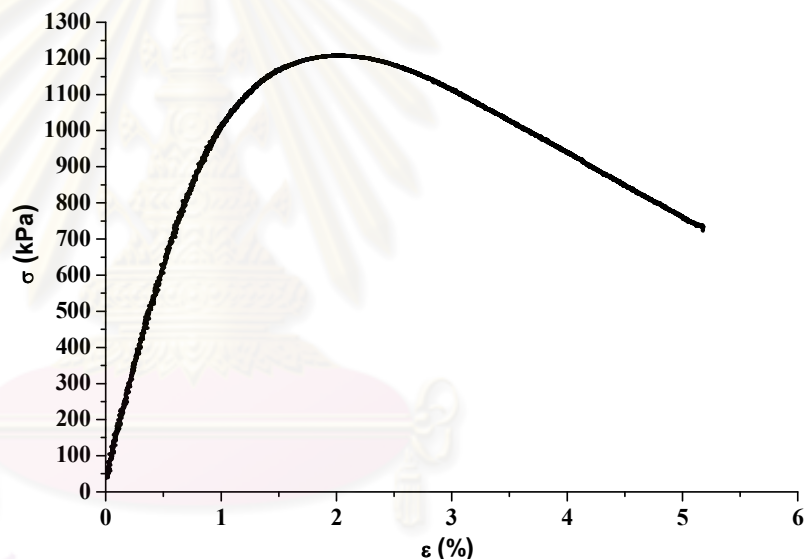
ตัวอย่างแอสฟัลติกคอนกรีต AC80/100 อุณหภูมิ 25°C อัตราความเครียด = 0.0056 ต่อวินาที



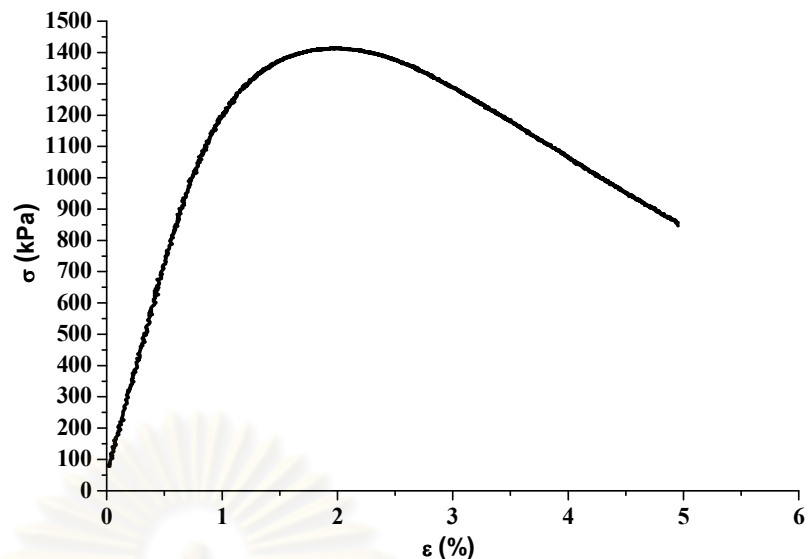
ตัวอย่างแอสฟัลติกคอนกรีต AC80/100 อุณหภูมิ 25°C อัตราความเครียด = 0.0167 ต่อวินาที



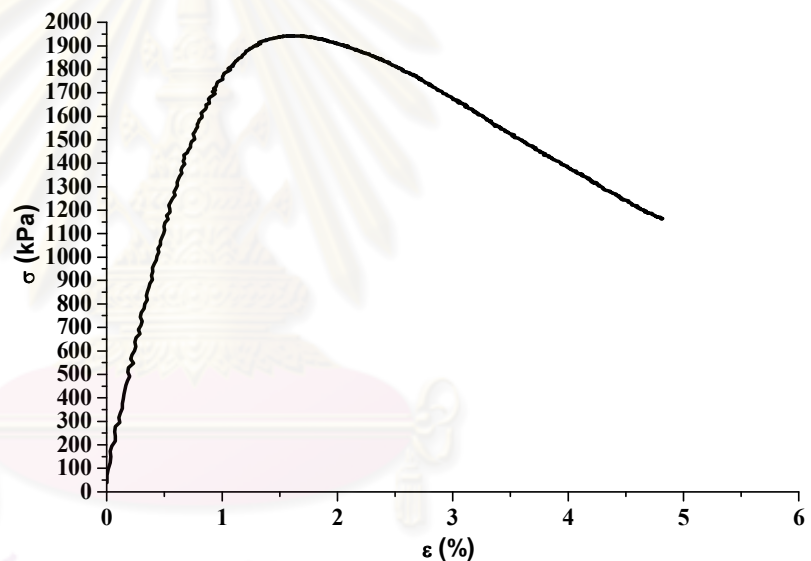
ตัวอย่างแอสฟัลติกคอนกรีต AC80/100 อุณหภูมิ 40°C อัตราความเครียด = 0.0006 ต่อวินาที



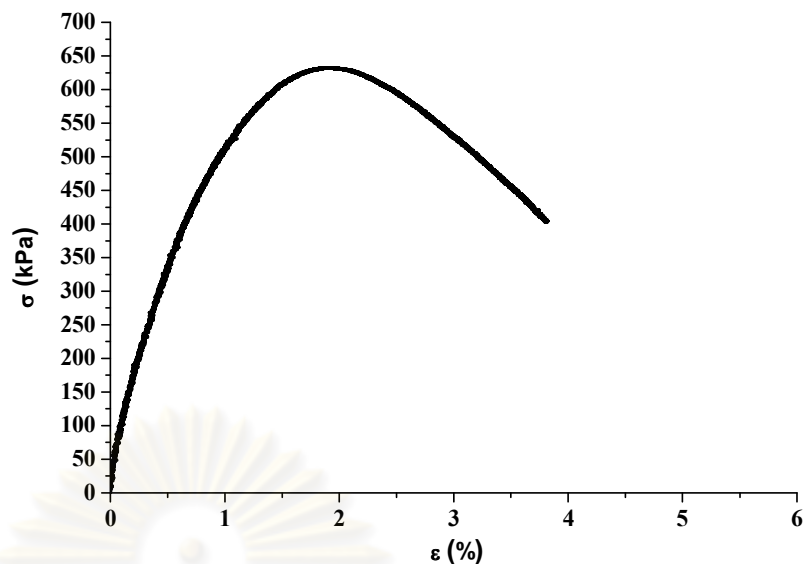
ตัวอย่างแอสฟัลติกคอนกรีต AC80/100 อุณหภูมิ 40°C อัตราความเครียด = 0.0017 ต่อวินาที



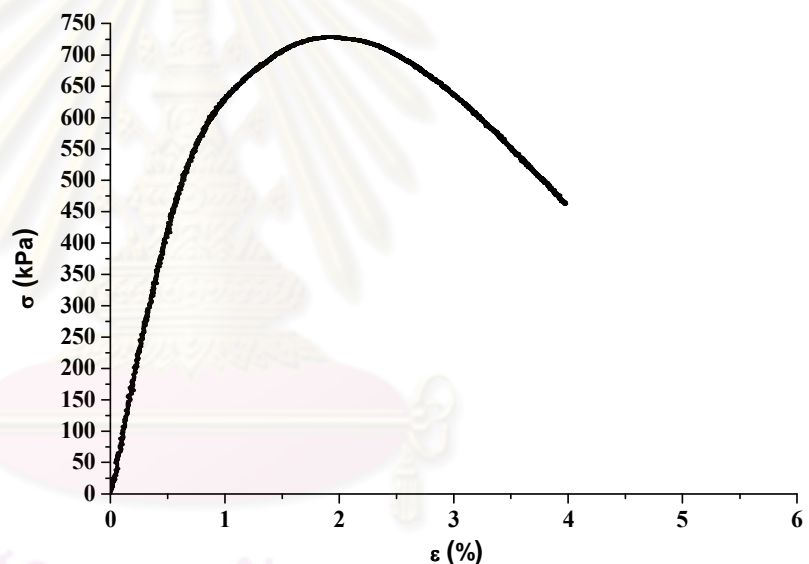
ตัวอย่างแอสฟัลติกคอนกรีต AC80/100 อุณหภูมิ 40°C อัตราความเครียด = 0.0056 ต่อวินาที



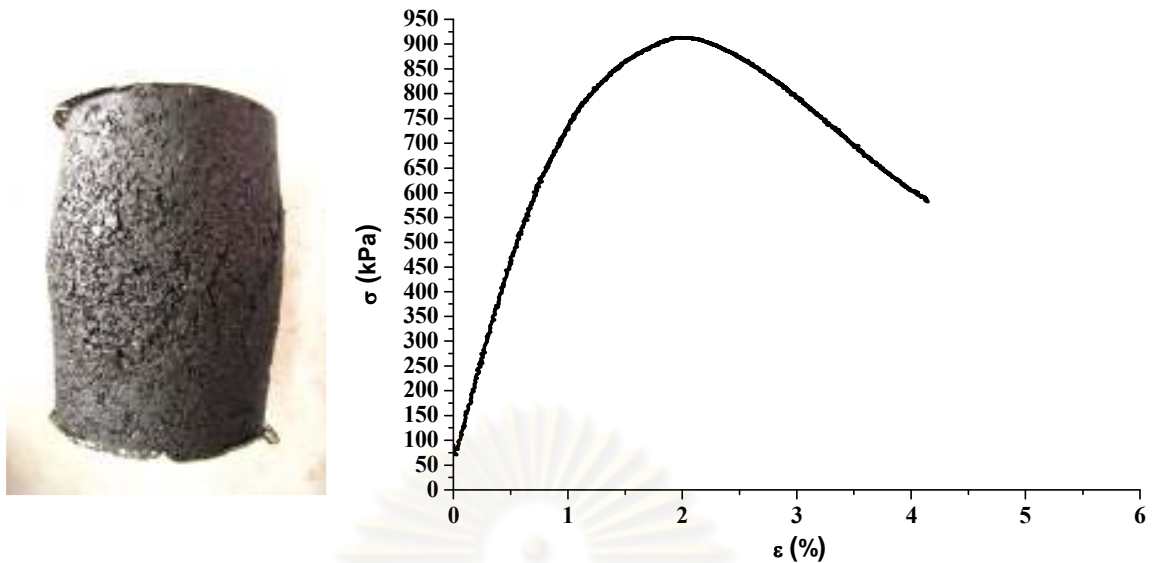
ตัวอย่างแอสฟัลติกคอนกรีต AC80/100 อุณหภูมิ 40°C อัตราความเครียด = 0.0167 ต่อวินาที



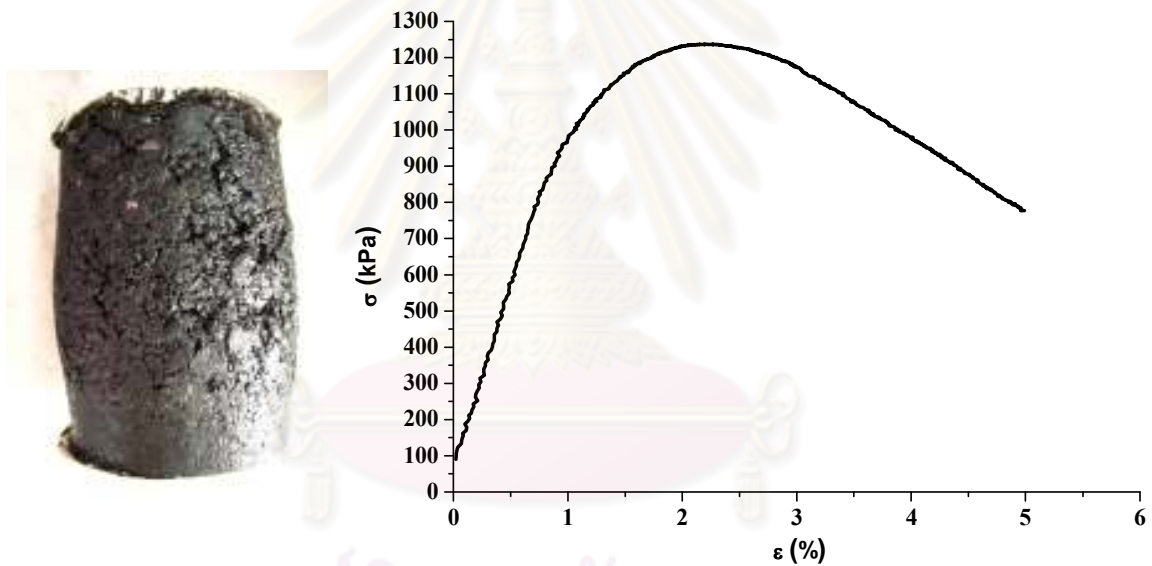
ตัวอย่างแอสฟัลติกคอนกรีต AC80/100 อุณหภูมิ 55°C อัตราความเครียด = 0.0006 ต่อวินาที



ตัวอย่างแอสฟัลติกคอนกรีต AC80/100 อุณหภูมิ 55°C อัตราความเครียด = 0.0017 ต่อวินาที

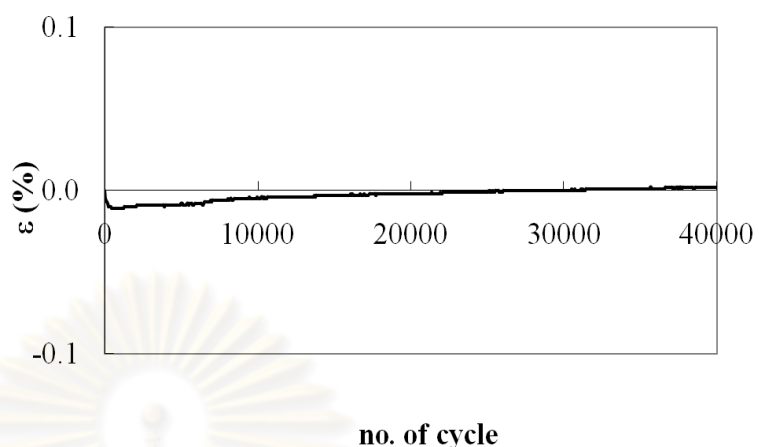


ตัวอย่างแอสฟัลติกคอนกรีต AC80/100 อุณหภูมิ 55°C อัตราความเครียด = 0.0056 ต่อวินาที

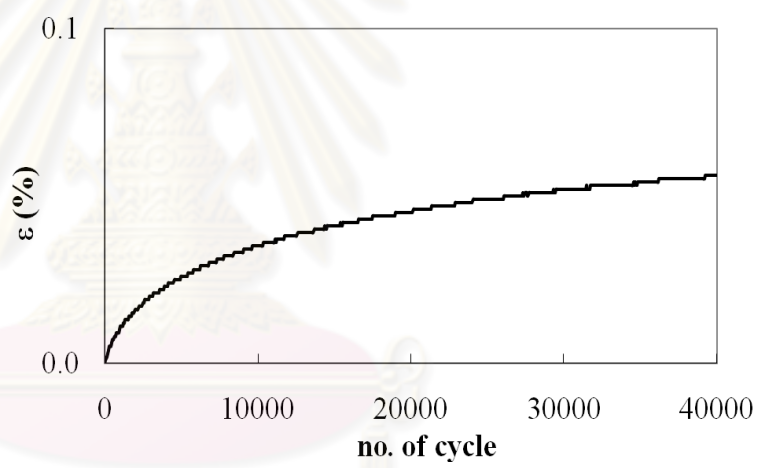


ตัวอย่างแอสฟัลติกคอนกรีต AC80/100 อุณหภูมิ 55°C อัตราความเครียด = 0.0167 ต่อวินาที

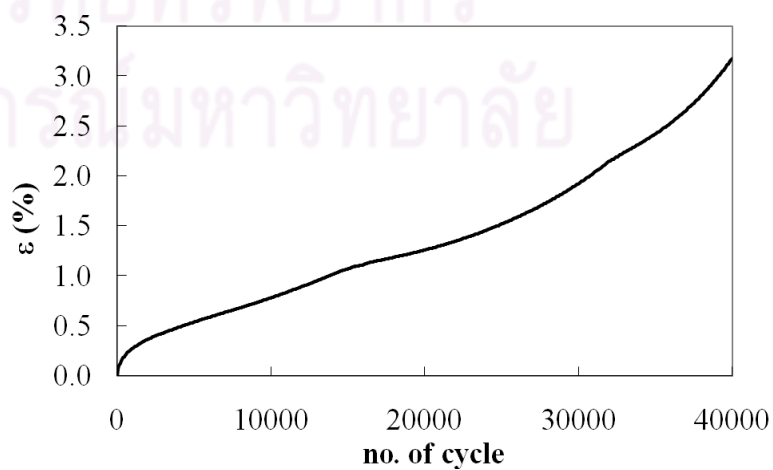
4. การทดสอบแรงอัดแบบปราศจากแรงดันด้านข้างแบบพลวัต



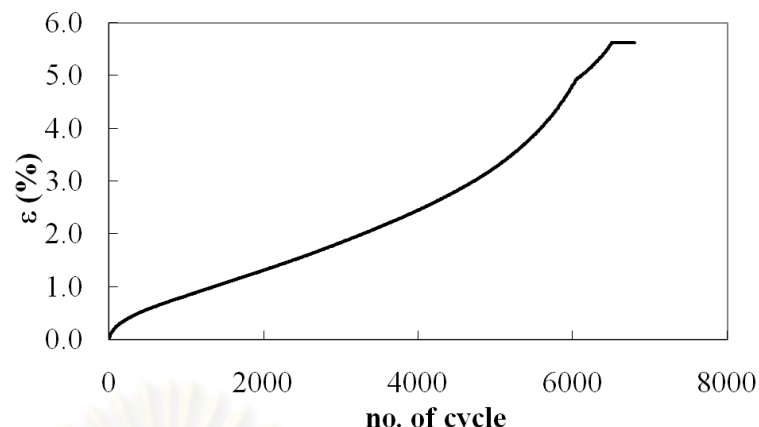
ตัวอย่างแอสฟัลติกคอนกรีต AC40/50 อุณหภูมิ 10°C



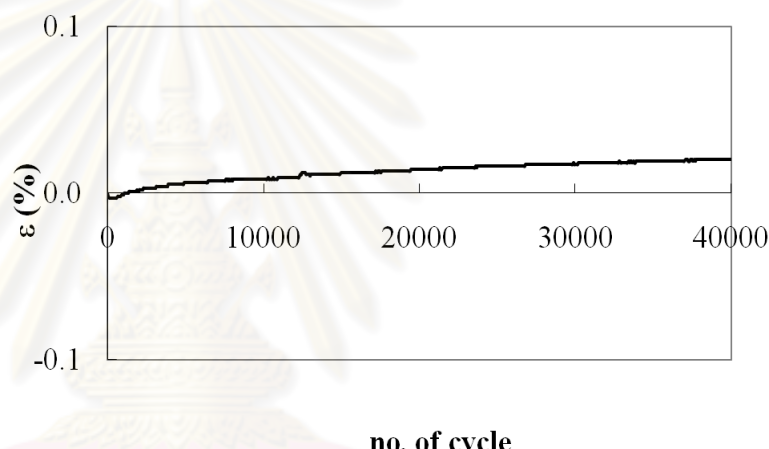
ตัวอย่างแอสฟัลติกคอนกรีต AC40/50 อุณหภูมิ 25°C



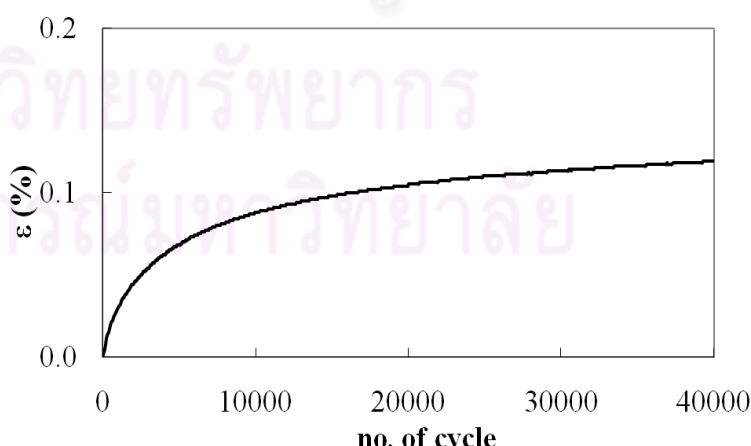
ตัวอย่างแอสฟัลติกคอนกรีต AC40/50 อุณหภูมิ 40°C



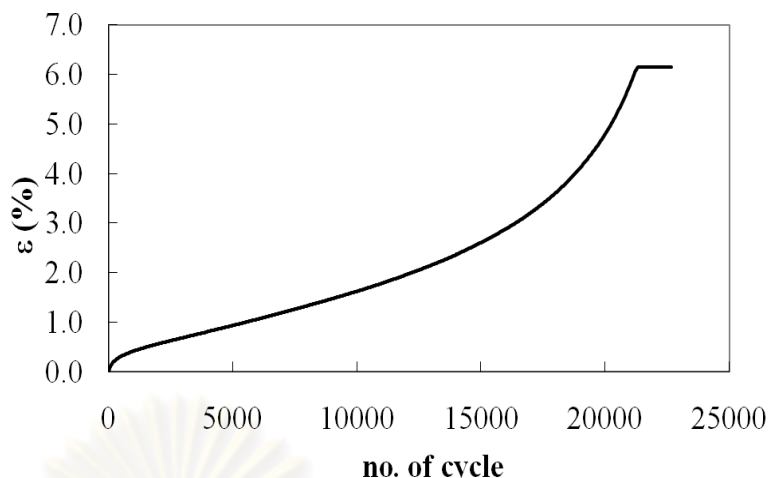
ตัวอย่างแอสฟัลติกคอนกรีต AC40/50 อุณหภูมิ 55°C



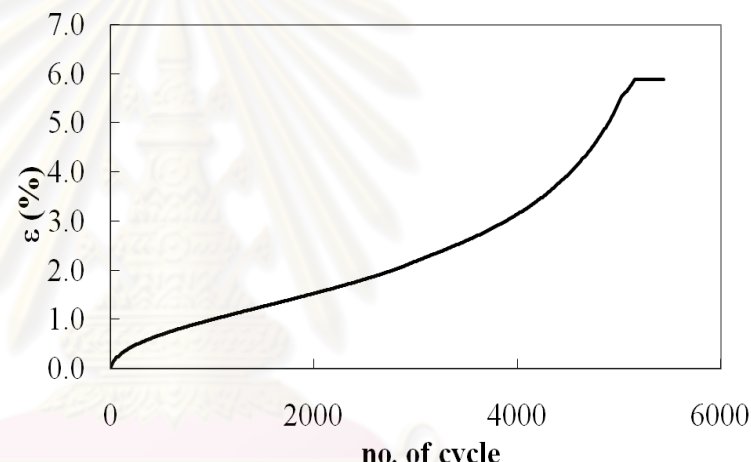
ตัวอย่างแอสฟัลติกคอนกรีต AC60/70 อุณหภูมิ 10°C



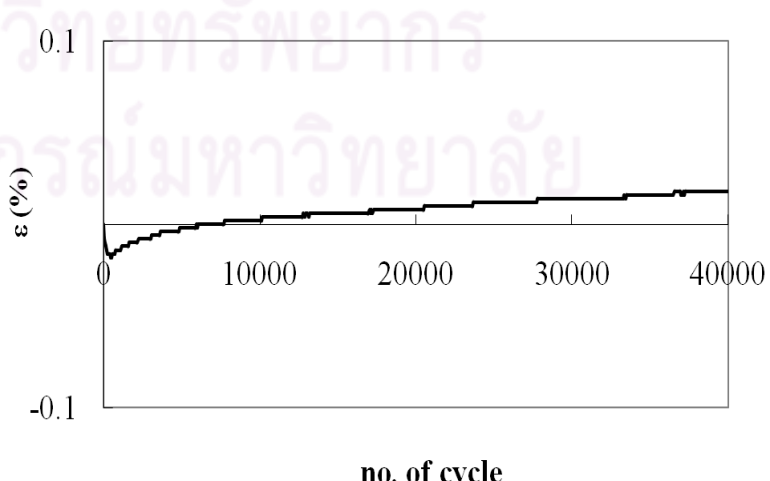
ตัวอย่างแอสฟัลติกคอนกรีต AC60/70 อุณหภูมิ 25°C



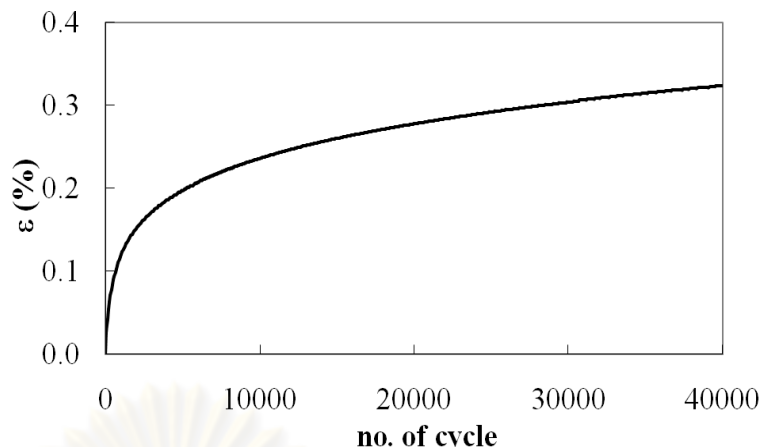
ตัวอย่างแอสฟัลติกคอนกรีต AC60/70 อุณหภูมิ 40°C



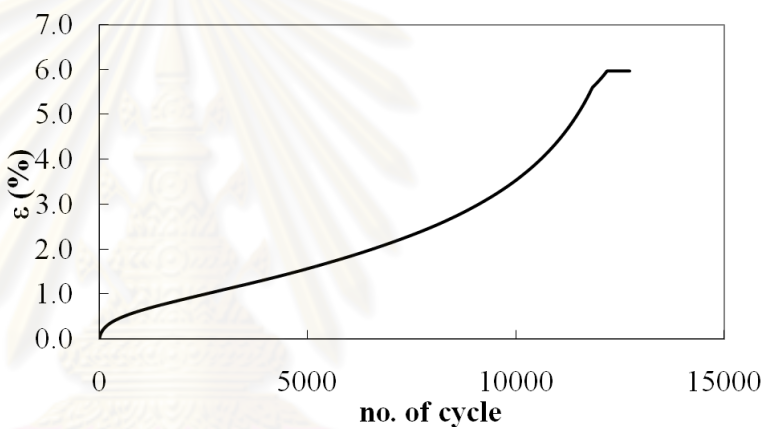
ตัวอย่างแอสฟัลติกคอนกรีต AC60/70 อุณหภูมิ 55°C



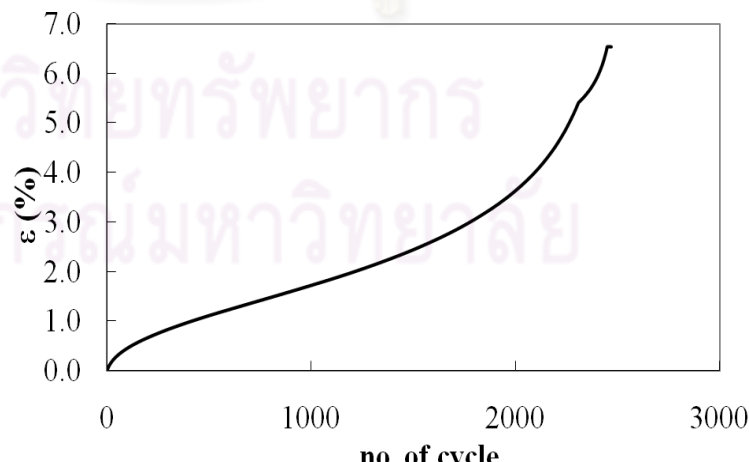
ตัวอย่างแอสฟัลติกคอนกรีต AC80/100 อุณหภูมิ 10°C



ตัวอย่างแอสฟัลติกคอนกรีต AC80/100 อุณหภูมิ 25°C



ตัวอย่างแอสฟัลติกคอนกรีต AC80/100 อุณหภูมิ 40°C



ตัวอย่างแอสฟัลติกคอนกรีต AC80/100 อุณหภูมิ 55°C

ประวัติผู้เขียนวิทยานิพนธ์

นายกีรุยุทธ โภมลวิลาศ เกิดวันที่ 26 พฤศจิกายน พ.ศ. 2529 ที่จังหวัดกรุงเทพมหานคร สำเร็จการศึกษาระดับมัธยมศึกษาจากโรงเรียนสวนกุหลาบวิทยาลัย จังหวัดกรุงเทพมหานคร สำเร็จการศึกษาระดับปริญญาวิศวกรรมศาสตรบัณฑิต สาขาวิชาวิศวกรรมโยธา ภาควิชา วิศวกรรมโยธา คณะวิศวกรรมศาสตร์ จุฬาลงกรณ์มหาวิทยาลัย ในปีการศึกษา 2551 และเข้าศึกษาต่อในหลักสูตรวิศวกรรมศาสตรบัณฑิต สาขาวิชาวิศวกรรมโยธา ภาควิชาวิศวกรรมโยธา คณะวิศวกรรมศาสตร์ จุฬาลงกรณ์มหาวิทยาลัย เมื่อ พ.ศ. 2552

ศูนย์วิทยทรัพยากร
จุฬาลงกรณ์มหาวิทยาลัย